

Basic paradoxes of statistical classical physics and quantum mechanics

Oleg Kupervasser

Scientific Research Computer Center, Moscow State University, 119992 Moscow, Russia

E-mail: olegkup@yahoo.com

Abstract: Both statistical classical mechanics and quantum mechanics are developed and well-known theories. They represent a basis of modern physics. Statistical classical mechanics allows deriving properties of big bodies investigating movements of the smallest atoms and molecules of which these bodies consist, using Newton's classical laws. Quantum mechanics defines laws of movement of the smallest particles at small atomic distances considering them as probability waves. Laws of quantum mechanics are described by Schrödinger equation. Laws of such movement are much more different from laws of movement of large bodies, such as planets or stones. The described two theories are known and well studied for a long time. Nevertheless, they contain a number of paradoxes. It forces many scientists to doubt about internal consistency of these theories. However, the given paradoxes can be resolved within the framework of the existing physics, without introduction of new laws. To make the paper clear even for the inexperienced reader, we enter in this paper some necessary basic concepts of statistical physics and quantum mechanics without use of formulas. Necessary exact formulas and explanations to them can be found in Appendices. For better understanding of the text, it is supplemented by illustrations. Further in the paper the paradoxes underlying thermodynamics and quantum mechanics are discussed. The approaches to solution of these paradoxes are suggested. The first one relies on the influence of the external observer (environment) which disrupts the correlations in the system. The second one is based on the limits of self-knowledge of the system for the case when both the external observer and the environment are included in the considered system. The concepts of **Observable Dynamics, Ideal Dynamics, and Unpredictable dynamics** are introduced. The phenomenon of complex (living) systems is contemplated from the point of view of these Dynamics.

Keywords: Schrodinger's Cat, Observable Dynamics, Ideal Dynamics, Unpredictable Dynamics, self-knowledge, correlations

PACS Codes: 05.45.-a, 03.65.Ta, 03.67.-a, 05.70.Ce, 05.20.Gg, 05.45.Jn

Table of contents

1. Introduction	3
2. Principal paradoxes of classical statistical physics.	5
2.1 Macroscopic and microscopic parameters of physical systems [5, 6].	5
2.2 Phase spaces and phase trajectories. [5, 6].....	6
2.3 Ergodicity and intermixing. [12-14].....	7
2.4 Reversibility and Poincare's theorem.	8
2.5 Entropy. [5, 6, 15]	9
2.6 Evolution of macroscopic entropy for chaotic systems.	10
2.7 The second law of thermodynamics and the paradoxes related to it.....	12
2.8 Additional unstable microscopic correlations and their connection with paradoxes of a statistical physics.....	13
3. Principal paradoxes of quantum mechanics	15
3.1 Basic concepts of quantum mechanics - the wave function, Schrodinger equations, probability amplitude, measurands, indeterminacy principle of Heisenberg [18, 19].....	15
3.2 Pure and mixed states. Density matrix [15,18, 20].	16
3.3 Properties of the isolated quantum system with finite volume and a finite number of particles [15].	17
3.4 Theory of measuring in quantum mechanics [15, 18] (Appendix J, O, P).....	18
3.5 Complexity of attempt of "classical" interpretation of quantum mechanics: introduction of hidden parameters and paradox EPR [18].	19
3.6 Problem of two slots as an illustration of quantum mechanics complexity	21
3.7 Schrodinger's cat paradox [26] and spontaneous reduction [18].	25
3.8 Zeno Paradox or «paradox of a kettle which never will begin to boil».	26
3.9 Quantum correlations of system states and their connection with paradox of the Schrodinger cat.	27
4. Quantum mechanics interpretations. Their failure to solve the paradoxes	28
4.1 Multi-world interpretation. [29, 30, 18].	28
4.2 Copenhagen interpretation.	29
4.3 Interpretation via hidden parameters. [18], (Appendix S,T,U)	31
5. Definition of complete physical system in the theory of measuring.....	31
6. Solution of the paradox of Schrodinger cat.....	32
7. Solution of paradoxes of Loschmidt and Poincare in classical mechanics. Explanation of law of increasing of macroscopic entropy.....	34
8. Deep analogy between quantum mechanics (QM) and classical statistical mechanics (CM) (see also Appendix N).....	37
9. Time arrows synchronization/decoherence [88-94].	39
10. The law of entropy increase and "synchronization of time arrows"/decoherence in the gravitation theory.....	42
11. Ideal and Observable Dynamics.....	45
11.1 Definition of Ideal and Observable Dynamics. Why is Observable Dynamics necessary?.....	45
11.2 What is the selection of Observable Dynamics macroscopic variables restricted by?	48
11.3 Two main methods for Observable Dynamics (Master equations) deriving.	50

11.4 Solution of Zeno paradox from the point of view of Observable Dynamics. Exponential particle decay is a law of Observed instead of Ideal Dynamics.....	50
11.5 Examples of various methods of deriving Observed Dynamics by help of «coarsening»: Boltzmann equation and Prigogine's New Dynamics.....	51
12. Unpredictable Dynamics.....	53
13. Complex (live) systems.....	57
13.1 Life from the point of view of physics - the previous papers.....	57
13.2 Life as process of preventing relaxation and decoherence. Conservation of both macroscopic correlations and unstable classical (or quantum) microscopic correlations.....	59
13.3 Synergetic systems - models of physical properties of complex (living) systems.....	60
13.4 Hypothetical consequences explaining life as a method for correlations conservation.....	64
14. Conclusion.....	68
Appendix A. Phase density function. [5-6, 14].....	70
Appendix B. Definitions of entropy.....	71
Appendix C. Poincare's proof of the theorem of returns.....	71
Appendix D. Correlation.....	72
Appendix E. Thermodynamic equilibrium of the isolated system. Microcanonical distribution. [5, 14].....	72
Appendix F. Theorem about invariance of phase "fluid" volume.....	73
Appendix I. Density matrix.....	77
Appendix J. Reduction of the density matrix and the theory of measurement.....	79
Appendix K. Coarsening of the phase density function and the molecular chaos hypothesis.....	80
Appendix L. Prigogine's New Dynamics.....	81
Appendix M. Impossibility of self-prediction of evolution of the system.....	81
Appendix O. A system reduction at measuring. [15, 18].....	83
Appendix P. The theorem about decoherence at interaction with the macroscopic device. [18, 84]....	84
Appendix R. Zeno Paradox. The theorem of continuously observable kettle which does not begin to boil in any way. [18].....	85
Appendix S. Einstein-Podolsky-Rosen paradox [18].....	87
Appendix T. Bell's inequality. [18].....	88
Appendix U. de Broglie - Bohm theory of wave-pilot [18].....	91
Appendix V. Escher swirl where all levels are crossed. [3].....	92
References and Notes.....	96

1. Introduction

At the very beginning of this paper it is necessary to make a number of extremely important notes.

1) This paper **is not** a philosophical paper on physics, unlike some other papers about paradoxes of quantum mechanics. We use scientific methods to consider a solution of these paradoxes. We also construct the physics excluding these paradoxes and find requirements at which it is possible.

Misunderstanding of physics, leading to these paradoxes, gives set of physical, but not philosophical, errors.

2) This paper **is not** an attempt to give some new interpretation of quantum mechanics. All interpretations (for example, multi-world interpretation, Copenhagen etc.) just try to give more or less evident explanation of quantum mechanics. These interpretations do not solve any paradoxes and do not introduce any new appearance in the physics. The author considers all the existing reasonable interpretations being admissible. A paradox solution in this paper is not related to some interpretation, and is based on general physics.

3) This paper **is not** a popular scientific paper and includes new, original ideas. The paper is designed to a very wide set of specialists including biologists, physicists (in quantum mechanics, statistical physics, thermodynamics, non-linear dynamics) and computer science specialists. Therefore we have given the popular review of physics base. Though it can seem trivial for one expert, but, nevertheless, will be very useful to another expert. Besides, there are no formulas, only figures and text. All formulas are contained in Appendixs. The author is not a pioneer of such style. Examples are books of Penrose [1,2], Hofstadter [3], Mensky [4], Licata [85]. These books are not popular books despite their "easy" style. The author hopes that he also will be allowed to use this nice style.

4) This paper is not just a review of papers being already completed (though many references are given thereto), it also includes original ideas of the author.

5) The author **does not try** to find new laws of physics¹. All reviewing is within framework of already existing physics. The motivation to write this paper was the fact (paradox!) that the author has not encountered **any** paper or the physics textbook where the full and clear explanation of these paradoxes of physics and its consequences is given. Moreover, in many papers these paradoxes are ignored. In other papers the explanation is not full or not correct. In many papers the solution is based on just some one interpretation of physics (usually multi-world). Sometimes some new (but not necessary!) laws of physics are used for explanation there.

¹ Peierls [7], Mensky [4] assume that resolving of quantum mechanics measurement paradox is possible by change of quantum physics laws and introduction concept of "consciousness" in physics. Penrose [1, 2], Leggett [8] assume that laws of quantum mechanics are broken for large enough macroscopical systems. However, many other physics problems have already been successfully solved without introduction of new laws. Examples are Gibbs paradox [9] or interpretation of spin as own rotation moment of Dirac electron wave function [10]. Broken symmetries of the Life or the Universe (such as symmetry of time direction or symmetry of right and left) can be explained by help of fundamental weak interaction. Weak interaction breaks these symmetries. Full explanation can be found in Elitzur paper [11]. However, in the current paper we neglect these small effects and search for some other reasons for asymmetry of time.

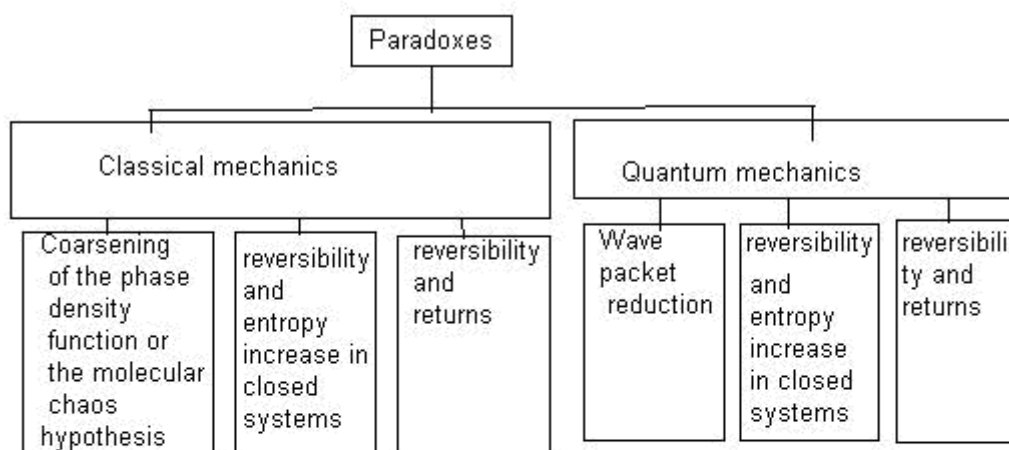


Figure 1. Paradoxes in Classical and Quantum mechanics

2. Principal paradoxes of classical statistical physics.

2.1 Macroscopic and microscopic parameters of physical systems [5, 6].

Let's begin our discussion from statistical physics. We will look at the gas outflow from a jet engine nozzle.

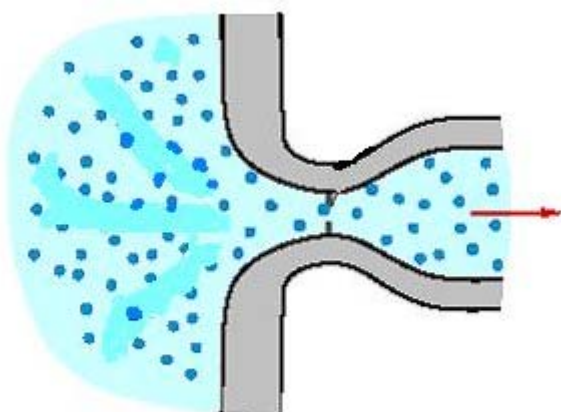


Figure 2. The outflow of gas from a nozzle. Shown (with magnification) are molecules of gas invisible by naked eye.

We will see distribution of density and velocity of flowing gas, but for large volumes only. These volumes include enormous number of invisible molecules. These easily observable density and velocity distribution of flowing gas are defined as **macroscopic parameters** of the system. They give incomplete description of the system. The full set of its parameters is given by velocities and positions of all gas molecules. Such parameters are defined as **microscopic parameters**. Flowing gas is defined as an observable **system**. The system is termed **isolated** if it does not interact with its environment. The system **internal energy** is the sum of all its molecules energies.

Further on (unless the contrary is stated), we will consider isolated systems with the defined internal energy and finite volume.

2.2 Phase spaces and phase trajectories. [5, 6]

Let's introduce the multi-dimensional space. Coordinates and velocities of all molecules of the system will define the axes of this space. Then, the system will be figured by a point of this space. The position of this point will give the full microscopic description of the system. This space is defined as a system **phase space**. The system state change is featured by the point moving in this space and defined as a **phase trajectory**.

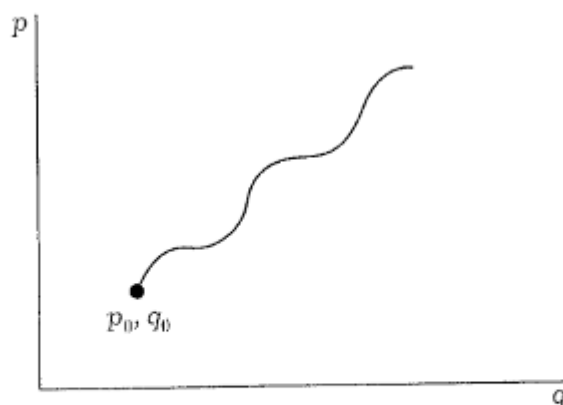


Figure 3. Trajectory in the phase space. The current state of the system described by the point in phase space p, q . Time evolution is described by a trajectory beginning in the initial state point p_0, q_0 . (Fig. from [17])

Let us assume that only macroscopic parameters are known, and microscopic parameters are unknown. Then the system can be described in phase space by a continuous set of points corresponding to these macroscopic parameters. It is the **phase volume ("cloud") of the system** or, otherwise, **ensemble of Gibbs**. All points of this volume have equal probability and correspond to different microscopic (but identical macroscopic) parameters. (Look **Appendix A**) [5, 6]

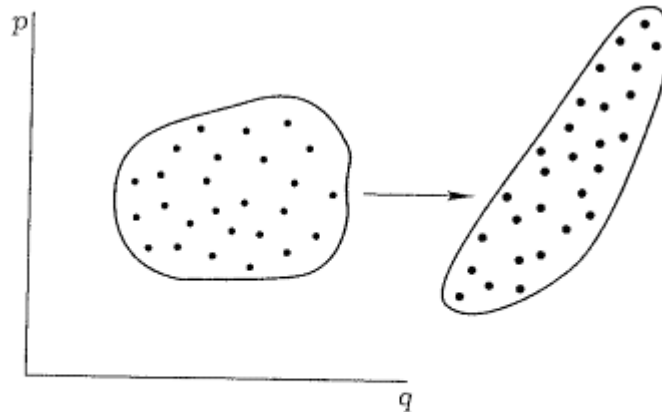


Figure 4. Ensembles in the phase space. Gibbs ensemble is described by a cloud of points with different initial condition. Form of the cloud changes during evolution. (Fig. from [17])

For each set of macroscopic parameters (**a macroscopic state**) it is possible to discover the correspondent **ensemble** of microscopic parameters sets. To make this **ensemble** finite, we will divide the phase space into separate very small meshes. Such method is defined as **discretization** of the continuous space. By such reviewing, the system with finite volume and given internal energy can be featured by a very major, but **a finite ensemble** of states. For each macroscopic state it can be found the corresponding major, but **a finite ensemble** of microscopic states. The majority of systems have property that huge part of its possible microscopic states correspond to only one principal macroscopic state. It is **the equilibrium state**. For example, for gas in given volume, it corresponds to uniform distribution of molecules in the volume.

(Look **Appendix E.**) [5, 6].

2.3 Ergodicity and intermixing. [12-14]

The majority of real systems possess property of **ergodicity** [13, 14]: almost any phase trajectory should visit eventually all microstates meshes, possible for given energy of a system. The system should stay for approximately equal periods of time in each microstate mesh. Ergodic systems possess

the remarkable property. The average value on time of any macroparameter over a trajectory will be identical for all trajectories. It coincides with the average value over the ensemble of systems featuring thermodynamic equilibrium. (This ensemble (named microcanonical) is distributed over a constant energy surface). The majority of real systems possesses property named **chaos** or **intermixing** (So-called **KAM theorem**) [13, 14]: in neighborhood of any point of a phase space there is always such another point that the phase trajectories of these two points diverge exponentially fast [12, 14].

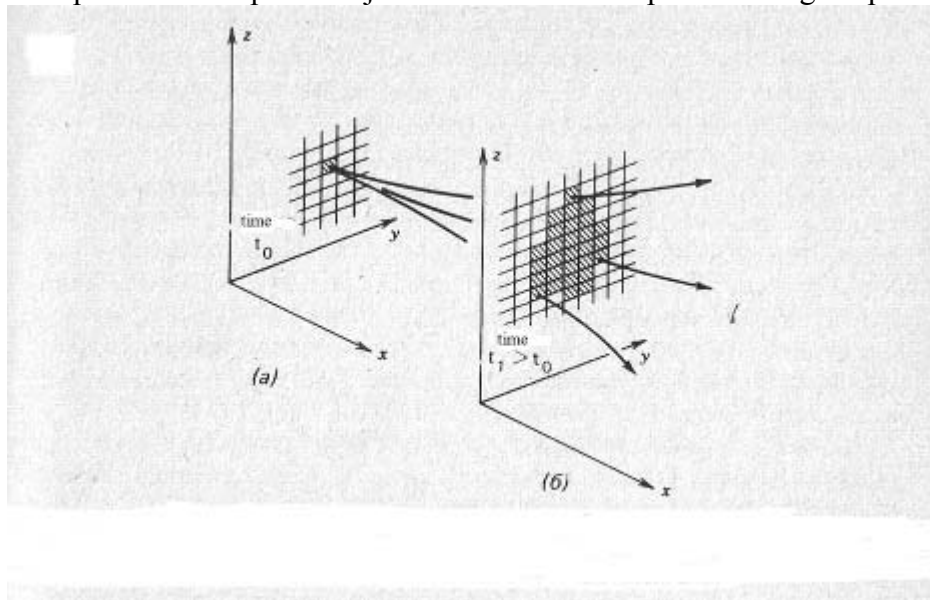


Figure 5. Illustration of uncertainty increasing or information loss in a dynamic system. Shaded square at the moment of time t_0 describes uncertainty of initial condition knowledge. (Fig. from [12])

Exponential speed is defined as follows: if after 1 second trajectories diverge twice from initial magnitude as after the next second they will diverge already in 4 times from initial magnitude. After the next second they diverge in 8 times from initial magnitude etc. It is very fast type of divergence. The systems possessing property of intermixing always are ergodic.

2.4 Reversibility and Poincare's theorem.

Microstate evolution is **reversible**. For each trajectory in phase space there is the inverse trajectory obtained by inversion of all velocities of molecules into opposite values. It is equivalent to reverse demonstration of a film about the process. Almost any trajectories after some time (probably very large) should return to its initial microstate. This statement is named **Poincare's theorem** about returns. (See **Appendix C**) [6] Most of real systems are chaotic and unstable, and phase trajectories from previously neighboring microstates are fast divergent. Therefore at such systems the return time is unequal for even previously neighboring microstates. It strongly depends on an exact position of the initial trajectory point in a mesh that phase space is divided. But for a very small class called

integrable systems, this return time is approximately identical for all initial points of phase mesh. These returns occur periodically or almost periodically.

2.5 Entropy. [5, 6, 15]

Let's introduce the basis concept for the statistical mechanics - **macroscopic entropy**. Suppose that some macroscopic state corresponds to 16 microstates. How many questions that can be answered just «yes» or «no» should be asked in order to understand in what one from these 16 microscopic states the system exists? If we ask about each microstate we need to ask 15 questions to do it. But it is possible to do it in a smarter way. We will divide all microscopic states into two groups, with 8 microstates in each group. The first question will be, to what group does microstate concern? Then, the specified group will be divided into two subgroups with 4 microstates in every one of them, and we will ask the same question. We will continue this procedure until obtaining the single microstate of the system. It is easy to calculate that only four such questions for the current case shall be required. It will be the minimal number of questions for the current case. This minimal necessary number of question can be defined as **macroscopic entropy of macrostate**. [5, 6, 15] (See **Appendix B**) It is easy to calculate that entropy is logarithm with basis 2 of microstate number and increases with increasing of a microstate number. Accordingly, the equilibrium state has maximum entropy, because it corresponds to maximal number of microstate. It is often told that entropy is a measure of disorder. Indeed, the more disorder in the system the more questions are necessary to be asked to find the microstate of system. Therefore, entropy also increases. Why do we need to introduce such "abstruse" conception like entropy? It seems like easier to use the number of microstates instead! But entropy possesses remarkable property. Let us assume that we have the system consisting of two disconnected subsystems. Entropy of a complete system is the sum of two entropies of its subsystems. (Really, full number of questions correspond to full system is sum of questions for each of subsystems). But the numbers of microstates are multiplied. To make sum is easier than to multiply!

The statistical mechanics states some the important properties of physical systems:

Let the initial macroscopic state correspond to some volume in phase space. The theorem exists that during reversible Newtonian evolution of the system, the value of this phase volume is conserved (See **Appendix F.**) [6]. Therefore, the number of microstates corresponding to it also conserves. The entropy corresponding to this set of microstates is defined as **entropy of ensemble**. From conserving of phase volume follows that entropy of ensemble is constant in time.

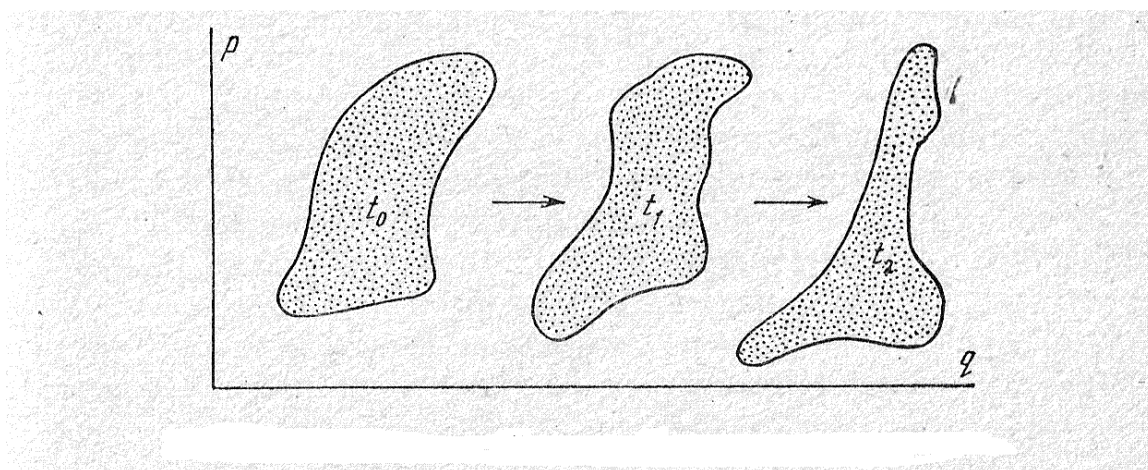


Figure 6. Conservation of volume in phase space. (Fig. from [14])

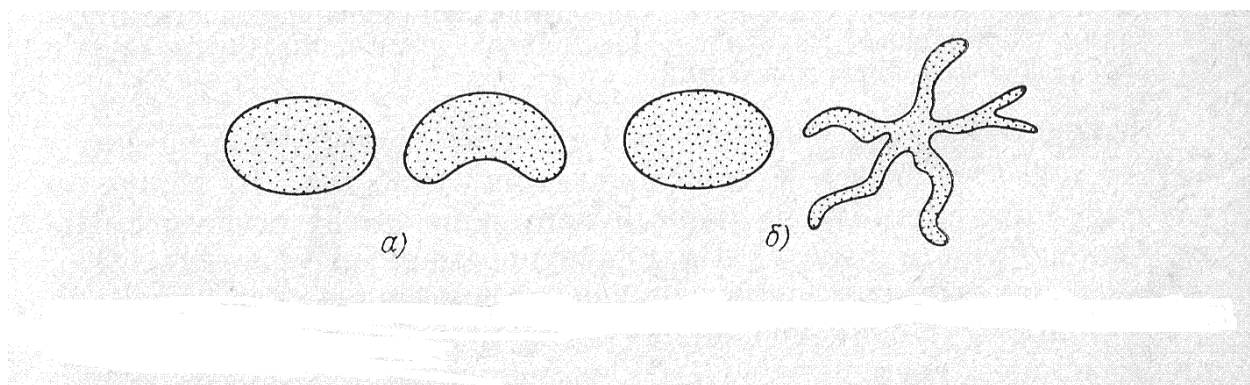


Figure 7. Change of phase volume element in stable a) and unstable b) cases. (Fig. from [13])

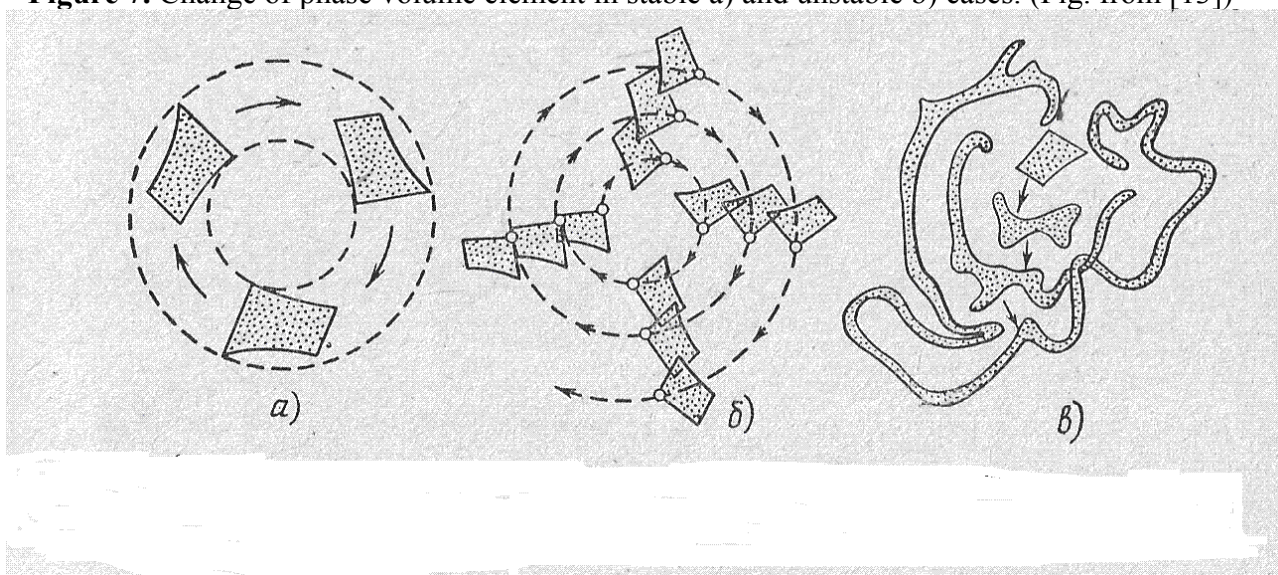


Figure 8. Different types of flows in phase space: a) nonergodic flow b) ergodic flow without intermixing c) ergodic flow with intermixing. (Fig. from [14])

2.6 Evolution of macroscopic entropy for chaotic systems.

From properties of ergodicity follows that the system, from almost any initial microstate, will transfer after a while to equilibrium state, and there will be in this state a *majority of time*. It so happens because the most of transiting microstates during evolution of system ~~are~~ correspond to equilibrium state. Indeed, the equilibrium state has maximum macroscopic entropy. Even if **macroscopic entropy** of initial state was small, after converging to thermodynamic equilibrium it would increase very strongly. This property is opposite to the property of **ensemble entropy** which remains to a constant value during evolution. Indeed, **entropy of ensemble** is defined by a number of microstates that does not change during evolution. It is constant and equal to the initial number of microstates. Whereas, **macroscopic entropy** is defined by a number of microstates which corresponds to a **current macroscopic state**. For thermodynamic equilibrium this number of microstates is very large.

For chaotic systems (systems with intermixing) the following theorem is true:

Processes of *macroparameters evolution* with macroscopic entropy decreasing are strongly unstable with respect to small external noise. By contrast to this processes of *macroparameters evolution* with macroscopic entropy growth are stable².

Let's prove it. We will consider a process with entropy growth. The initial state of the system is featured by some macroscopic state far from thermodynamic equilibrium. Such state is characterized as compact (closed and limited) and convex (containing a straight segment connected its any two points) in phase volume. As the system is chaotic, in a neighborhood of each point there will be also another one with exponentially diverging distance between them. Because of phase volume conservation (See **Appendix F**) in a neighborhood of each phase point always there will be also another one, such what these two points exponentially converge, and not just diverge. As a result of intermixing initially compact small phase volume will spread over constant energy surface in phase space completely and is not so convex. It possesses a large quantity of "sleeves" or "branches". But the full volume of phase "drop" is conserved in any case. "Sleeves" exponentially expand over their lengths and exponentially shrinking over width. Eventually the number of "sleeves" or "branches" grows; they are fancifully incurvate and cover by its "net" at phase energy surface completely. This process is named as a **spreading of phase "drop"** [13, 14]. Let's assume that some small external noise has thrown out a phase point from "sleeve" of a phase drop. But shrinking goes perpendicularly to "sleeve" and the phase point will come nearer to "sleeve", not to go away from it. It means that process of phase drop spreading is stable with respect to noise.

Therewith, noise can strongly influence microstate, but not macrostate. Macrostate is correspondent to an enormous number of molecules microstates. Though external noise can strongly change a state of every individual molecule, full contribution of all molecules to macrostate remains

² *Actually, we will consider a simple example of ideal gas entropy growth. Gas expands from small volume of a box filling this box. Expansion process is clearly stable with respect to small noise. Thereagainst, the inverse process is easily prevented by such small external noise because of molecules scattering.*

unchanged. It is related to “law of large numbers” in the probability theory [16]. Most of microstates, corresponding to some current macrostate, evolve in entropy growth direction, because probability of such evolution is much more. When the phase drop almost spread along the whole constant energy surface, its macrostate would correspond to usual thermodynamic equilibrium. Thus even not small noise cannot affect noticeably its macrostate because the most of microstates in system correspond to equilibrium.

Now we will consider an inverse process going with entropy decreasing. The initial state is defined by points set in phase space gotten from direct process («a phase drop» spreading) final state by molecules velocities reversion. At a reversion of velocities the initial shape of «a phase drop» does not change. But shrinking direction because of velocities reversion is not so perpendicularly, but in parallel to its "branches". Instead of phase drop spreading there will be its shrinkage. Suppose some small external noise has thrown out a phase point from a "sleeve" of a phase drop. But shrinking goes in parallel and the spreading goes perpendicularly to the “sleeve” so the phase point will go away from the "sleeve", instead of coming nearer. It means that process of phase drop shrinkage is unstable to noise

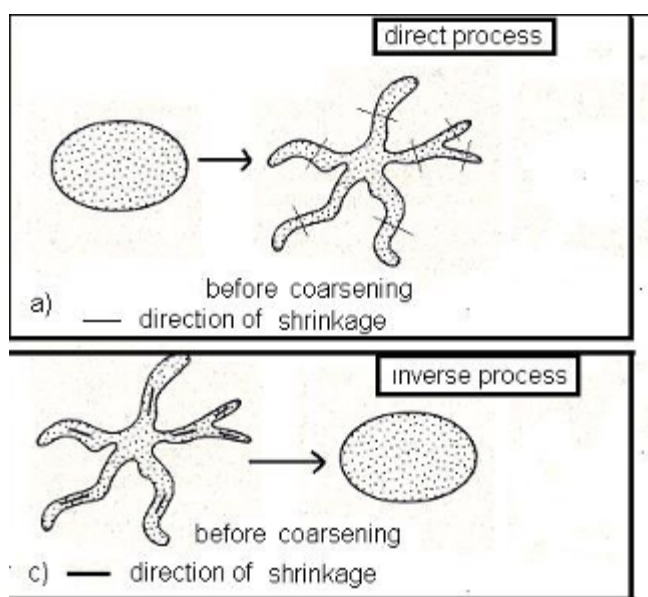


Figure 9. Direct process with macroscopic entropy increasing and its inverse process. Directions of shrinkage are denoted.

2.7 The second law of thermodynamics and the paradoxes related to it.

So, we are ready to discuss the second law of thermodynamics and paradoxes related to it. The second law states:

In the isolated finite volume systems macroscopic entropy cannot decrease, and can just increase or leave constant. Finally macroscopic entropy reaches the maximum in a thermodynamic equilibrium state [5, 6].

The **principal paradox** consists in inconsistency of this entropy growth law with the basis properties of a statistical physics featured above. Really, from reversibility follows that for each process with entropy increasing there is an inverse process with its decreasing. It is **paradox of Loschmidt**. Besides, from Poincare's theorem of returns follows that the system must return to initial state. Hence, and its entropy also will return to initial value! It is **paradox of Poincare**.

The concept of molecules **correlations** of velocities and positions is closely related to these two paradoxes.

2.8 Additional unstable microscopic correlations and their connection with paradoxes of a statistical physics.

Correlation is a measure of mutual dependence of variables. (In our case it is a measure of mutual dependence of molecules velocities and positions). **Pearson's correlation** is the most known one. It is a measure of linear relation of two variables (See **Appendix D**). It is obvious that there are much more complex dependencies and corresponding thereto more complex correlations. Correlations between various variables lead **to restrictions** on possibility of selection of some values of these variables.

The knowledge of a macroscopic state of system is one of sources of correlations. Really, not all but just some microstates can already correspond to the given macroscopic state. Thus, their set is already restricted. It will lead to restriction on possible molecules velocities and positions, i.e. restriction on possible microstate of the system. It is worth noting that all such correlations are macroscopic and are manifested in dependence between macroscopic parameters of the system. For macroscopic states with small entropy the restriction on a select of possible microstates are great and, accordingly, the number of macroscopic parameters and correlations between them is great. For system being at thermodynamic equilibrium entropy reaches the maximum, and the number of macroscopic parameters and correlations between them is small.

Additional or microscopic unstable correlations [17] are defined not just by knowledge of the current macroscopic state, but also by that of previous macroscopic history of system. Suppose that the physical system evolved from an initial macroscopic state into some another current macroscopic state. Thus, not all microscopic states conforming to a current macroscopic state are possible. Only such states which at reversion of velocities of molecules lead to an initial state can be considered (property of reversibility of motion.). It superimposes additional restrictions (correlation) on a set of the microstates corresponding to a current macroscopic state. **Additional unstable correlation** can be spotted in another way, not via knowledge of the past, and via knowledge of the future. According to Poincare's theorem, the system should return to a known initial macroscopic initial state in some known time. Knowing a certain current macroscopic state and knowing when in the future there will

be a return, we can superimpose additional restrictions (correlation) on a set of the microstates corresponding to this current macroscopic state. These correlations are named unstable because they are very unstable with respect to external noise (as we will see below). From definition of these **additional unstable correlations** it can be seen that they are close related to Poincare and Loschmidt paradoxes.

These correlations are named additional with respect to **the macroscopic correlations**. (The macroscopic correlations are correspondent to the macrostate representation). It is existence of these **additional correlations** that leads to violation of the second law of thermodynamics and ensures a possibility of returns and the reversibility, i.e. appearances observed in Poincares and Loschmidt paradoxes.

One of the basic properties of **additional or microscopic correlations** is **instability**. Interaction of different parts of observable system or interaction of the system with environmental systems (including the observer) leads to additional disappearing of correlations. To be more exact, these additional correlations "spread" between parts of the system and/or between the system and surrounding systems. Suppose there is some initial state with small entropy. After some short time the first collisions between molecules shall occur. Their positions and velocity become correlated (Indeed, it can be checked up by velocities converting. Finally we again obtain the initial state). Meanwhile, only close pair of the molecules at collision are correlated. However, in the process of increase of number of the collisions, arising correlations will include larger and larger number of molecules. Finally the correlations will be spread over the entire increasing volume of the system. There is "spreading" of correlations in the system [17].

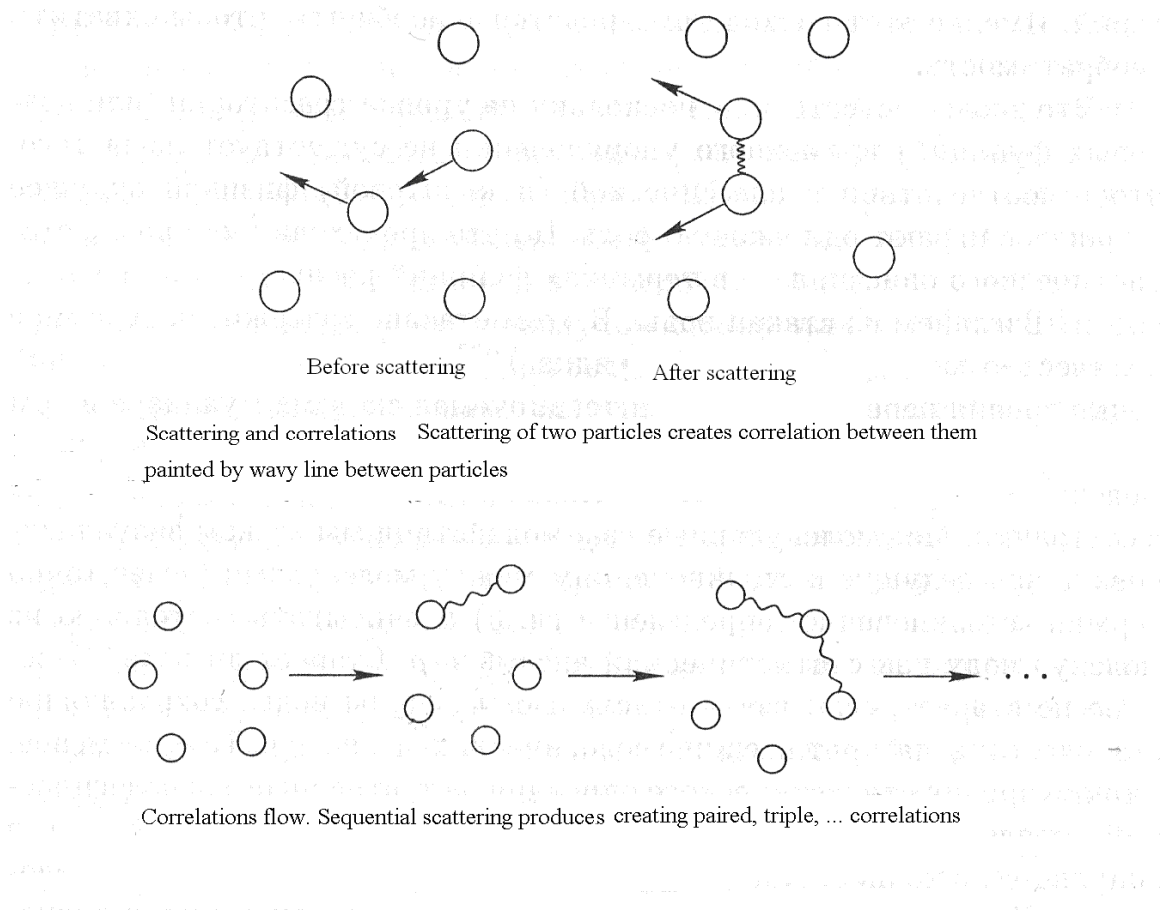


Figure 10. Scattering and correlations. Correlations flow. (Fig. from [17])

Similarly, if the system consists of two non-interacting systems, correlations will exist only inside each system. Returns and reversibility are possible for each of such subsystems. Suppose there is at least a small interaction between these subsystems. Then correlations "will flow" from one subsystem into another, and these two systems become dependent. Accordingly, only their joint return or reversibility will be possible.

3. Principal paradoxes of quantum mechanics

3.1 Basic concepts of quantum mechanics - the wave function, Schrodinger equations, probability amplitude, measurands, indeterminacy principle of Heisenberg [18, 19].

For clarity of presentation, we will give at first **the basic concepts of a quantum mechanics.**

Motion in quantum mechanics is featured not by a trajectory, but by a **wave function**. It is a probability wave, to be more exact, a "probability amplitude" wave. It means that the quadrate of amplitude module of the wave function in some point gives probability to detect a particle in this point. Change in time of this probability wave is defined by **Schrodinger equation** [19]. This is a linear equation, i.e. the sum of its two solutions is also the solution. Thus, amplitudes of probabilities are summed, but not probabilities themselves. Indeed, the probability is defined by the quadrate of amplitude. It imports **nonlinearity** to a wave function evolution process.

Any **measurand** (for example, momentum) is featured by an orthonormal, full set of functions (**a set of eigenfunctions of a measurand**). The wave function can be expanded to this set of eigenfunctions. Each of eigenfunctions set corresponds to some value of a measurand (eigenvalue). **Expansion coefficients** give **probability amplitude** for each such value. If the wave function is equal to some eigenfunction of the measurand set so the value of the measurand in this case is equal to the correspondent eigenvalue. If it is not the case, we can specify just probabilities for various eigenvalues.

The concept of a particle velocity has no explicit physical sense because there is no well defined trajectory of particle and there is just «**a probability wave**» [19]. Momentum is defined now not via a product of velocity and mass, but through wave function expansion coefficients over momentum eigenfunctions. This set of eigenfunctions is similar to an orthonormal, full set of Fourier functions used in Fourier analysis.

Coordinate eigenfunctions are proportional to Dirac delta functions. The coefficients of wave function expansion over Dirac delta functions are given by value of a wave function in an infinite point of Dirac delta function. It corresponds to the above defined sense of a wave function as probability amplitudes.

Both momentum and coordinate correspond to **various sets of the eigenfunctions** [19]. Therefore, no wave function **can correspond simultaneously to both a single momentum eigenvalue and a single coordinate eigenvalue**, contrary to the classical mechanics. There it is the well-known **uncertainty of Heisenberg** [19]. (See **Appendix G.**). The reason is related to difference of its definitions in the quantum and classical mechanics.

3.2 Pure and mixed states. Density matrix [15,18, 20].

Quantum mechanics is most completely described by its wave function. This is the so-called **pure state**. For classical mechanics it was a point in a phase space. What is analogue in quantum mechanics to a classical statistical ensemble of systems (a cloud of points in a phase space)? It is a set of wave functions where to each function there corresponds its probability (instead of "probability amplitude" for expansion of pure state over eigenfunctions). It is definition of **the mixed state**.

Suppose that some system is a part of some large systems. Then, even if the large system is featured by a pure state, the smaller subsystem must be featured by the mixed state in general case. Exception is the case when the pure state of the large system can be described as a product of the small

system wave function and its environment wave function. Let's suppose, for example, that the small quantum system interacts with the device which is in a pure state. Although the large system (including the device and small quantum system) can be featured by a pure state, the small quantum system after measurement in general case is already featured by the mixed state.

For the equivalent representations of mixed and pure states **density matrix** is used [20]. Let us choose some measurand and the corresponding set of eigenfunctions. As the density matrix representation in basis of these eigenfunctions is featured by a square matrix. Every such function corresponds to a **diagonal element** of a density matrix. The value of the element is equal to probability to detect the corresponding eigenvalue during measurement of the measurand.

Nondiagonal elements of a density matrix define correlations between correspondent pairs of eigenfunctions. Nondiagonal elements have maximum value in a pure state, but for the mixed states their magnitude decreases and can become equal to zero. The density matrix always can be rewritten over a different set of eigenfunctions corresponding to some different measurand. Density matrix gives maximally full description of state of the system. Consequently, evolution of density matrix gives full description of evolution of the system. (See **Appendix I.**)

3.3 Properties of the isolated quantum system with finite volume and a finite number of particles [15].

Similar to classical systems, we will consider properties of the isolated (closed) quantum system with finite volume and finite number of particles.

1) Such quantum systems evolve over reversible equations of motion (Schrodinger equation)

2) Poincare's theorem is also correct for such systems. Moreover, quantum systems properties are similar to classical integrable systems properties. (Integrable systems are a very small part of all possible classical systems.) As follows, their returns occur in a nearly periodic fashion. Besides, the period of these returns depends on initial conditions very weakly.

3) For quantum systems it is also possible to define **entropy of ensemble**. Entropy is a measure of uncertainty knowledge about system state. Pure state gives maximally full description of quantum system. Therefore for any pure state entropy is equal to zero by definition. For the mixed state case, the system corresponds to a set of pure states. Therefore, entropy is already above zero. Suppose that the probability one of the pure states is close to 1 (one). Then this mixed state is almost pure and its entropy is almost equal to zero. When all pure states of the mixed state have equality probability, entropy reaches its maximum.

4) During evolution of a quantum system the pure state can evolve just to the pure one. In the mixed state the probabilities of its pure states also leave unchanged. So entropy of ensemble does not change during the quantum system evolution.

5) We can feature large quantum system by a small number of parameters named **macroscopic parameters**. To such mixed macroscopic state there corresponds the large set of pure states defined by microscopic parameters. Accordingly, on the basis of this pure set it is possible to calculate entropy

of a macroscopic state. We will define this entropy as **macroscopic entropy**. Contrary to entropy of ensemble the macroscopic entropy should not conserve during evolution of quantum system.

6) While measuring a quantum system, it will cease to be considered as an isolated system because of interaction with the measuring device. Accordingly, its initially pure state evolves to mixed one, and its microscopic entropy increases. Such evolution can not be reversed just by inversion of measured system. Inversion of the measuring device is necessary too.

3.4 Theory of measuring in quantum mechanics [15, 18] (Appendix J, O, P).

To check a scientific theory, it is necessary to make measuring by means of measuring devices. It is, at least, two measurings: for the initial and final state. If we know the initial state we can compare the measured final state with the state predicted by theory. So, in such a way we can check correctness of the theory.

In the classical mechanics measuring is a simple process of finding current parameters of the system not influencing its dynamics. In this case the full description of system given by all microparameters yields to the unique result of measuring.

In quantum mechanics situation is much more complicated. Measuring influences dynamics of a quantum system. Besides, in quantum mechanics, for a general case, we can predict just some probability of measurement result despite the fullest knowledge of its state (i.e. measured system is in a pure state).

Let's feature measuring process in quantum mechanics more in detail. Let the system in the beginning is featured by some wave function. Measuring of some measurand leads to the situation when the wave function transfers to one of eigenfunctions of a measurand with some probability. This eigenfunction corresponds to measured value of measurand which is equal to its eigenvalue. As it is written above, the probability of such measuring is proportional to the quadrate of wave function amplitude. It is obtained by expansion to eigenfunctions. Thus, after measuring, the system transfers from pure state to mixed state. It is ensemble of these possible measurement results with correspondent probabilities. This process is named **reduction of wave function**. It is not described by Schrodinger equation. Indeed, the Schrodinger equation describes just evolution from a pure state in the pure one. But a result of a reduction is a mixed state obtained from an initial pure state. Besides, the Schrodinger equation is reversible. But the process of reduction is nonreversible. The second type of quantum evolution is possible because during measuring the quantum system is not isolated - it interacts with the **macroscopic classical device**.

The macroscopic device, in order to be consistently featured by quantum mechanics, should be actually **ideally macroscopic**, i.e. either to be in infinite space, or to consist of infinite number of particles. The ideal macroscopic device does not obey Poincare's theorem of returns and has quite certain macroscopic state during all moments of measuring. For the ideal macroscopic device, quantum laws during any finite time yield the same results as classical laws. It ought to be remarked that the real measuring device (i.e. in the finite volume with finite particles number) is macroscopic

but approximately. This note is very essential to our future analysis. It is the main source of paradoxes considered below. Thus, evolution of quantum system is divided into two aspects. The first is reversible Schrodinger evolution. The second is the nonreversible reduction of wave function occurring at interaction with the macroscopic classical device.

We explicitly observe classical devices only, not small quantum systems. So there is no necessity to represent in mind these "mysterious" quantum objects. Indeed, we can consider quantum objects just as some mathematical abstracts, allowing finding connections between results of observations obtained by means of measuring devices. Measuring devices are quite classical and representable. They do not have, for example, parameters which cannot be measured simultaneously, like coordinate and momentum in quantum mechanics. "Evident", "physical", "intuitive" representation of quantum mechanics is necessary just for simplification of understanding of the most complex mathematical models of quantum mechanics. Such understanding can not be completely possible, because our mind intuition is based on the classical world around us. But as it is written above, there is no such practical necessity. However, this impossibility is a real source of well known **"magic" and "mysteriousness" of a quantum mechanics**. Actually, there is no such "mysteriousness".

3.5 Complexity of attempt of "classical" interpretation of quantum mechanics: introduction of hidden parameters and paradox EPR [18].

Quantum mechanics laws have probabilistic nature, and many measurands cannot be measured simultaneously. However, many laws of classical statistical mechanics are also probabilistic. Their probabilistic nature is caused by the hidden microscopic parameters (**Appendix U**): velocities and positions of all molecules. Any classical macroscopic state is featured by a set of possible corresponding microstates. Similarly, we can try to interpret the quantum probability by introducing the **hidden parameters**. The knowledge of all these hidden parameters allows to uniquely determinate all variables in the quantum system. Similarly to the macroscopic classical state, in quantum mechanics some observed state corresponds to a set of possible values of the hidden parameters. However, in quantum mechanics existence of such hidden parameters is possible only under the following assumptions:

- 1) Measurement (except for special cases when one of measurand eigenfunctions is equal to wave function of the observed system) changes the state of the observed system. In a classical case it is possible (at least in principle) to make any measurement without perturbation of the observed system.

- 2) All hidden parameters cannot be measured simultaneously. Let us remind Heisenberg uncertainty principle. Measuring changes a system state (a wave function reduction), and, hence, all hidden parameters cannot be also measured by a set of sequential measurements. All hidden parameters have some well defined values. However, there is no such *real and observable* physical state in which all hidden parameters have these well defined values, but just some probability

distribution of them exists. In any real experiment we can measure only a part from these parameters. Simultaneously this measuring will lead to uncontrollable perturbation for the rest of parameters.

3) **Existence of the hidden parameters in quantum theory is impossible without introduction of long-range interaction between them [18]**. This long-range interaction acts instantaneously across even an infinite distance. However, there is no contradiction with the relativity theory maximal velocity limit, because this interaction can not transfer any information or a mass. Really, the parameters are hidden so the interaction between them is also hidden and not observed. The *observed* appearances can be explained by usual correlation of random values.

This necessity of introduction of unobserved long-range interaction is a **too high price for classical "presentation"**. So the hidden parameters interpretation usually are not used in literature on quantum mechanics. It is easier to consider quantum mechanics laws just as some mathematical method to calculate usual random correlation of observable macroscopic parameters for measuring devices.

This necessity of introduction of long-range interaction of the hidden parameters is illustrated by well-known Einstein-Podolsky-Rosen "Paradox" (EPR) [18], (Appendix R). This "paradox" is actually fictitious. It arises just when somebody wants to make classical interpretation (i.e. hidden parameters interpretation) of quantum mechanics by "the small price" (without long-range interaction).

It is based on the analysis of electron-positron pair states. In the beginning the particles were together, and then scattered over large distance.

An electron (or a positron) has intrinsic angular momentum which is defined as spin. Classical analogue of the intrinsic angular momentum is the angular momentum of the rotating round intrinsic axis. Unlike the classical intrinsic angular momentum, the absolute value of a spin projection has invariable magnitude (1/2), and its projection to any axis has only two possible values: along the axis and across the axis (+1/2 and -1/2). If we choose the other axis it will possess the same property. However, projections to two different axes cannot be measured simultaneously. There is no quantum state in which spin projections to two different axes have certain values. Suppose that the electron-positron pair is conceived with the total spin equal to zero. The electron and the positron will move in opposite directions and up to large distance between them. Exact values of their spins are unknown. Suppose we have measured a spin +1/2 of an electron along a some axis (we will designate it as axis Z). From the conservation law of the full spin the positron spin projection on the same axis is equal to -1/2. We may also measure the positron spin projection along any other axis. If this axis is perpendicular to axes Z we can measure both +1/2 and -1/2 with equal probability. For some different axis, provisions of quantum mechanics also allow to calculate precisely the mutual probabilities of positron-electron spin projections.

Let's assume that spin projections have "classical" interpretation as hidden parameters. Measurement just makes known formerly the hidden value. Then why does some dependence of measured spin projections of an electron and a positron exist? Are these usual random correlations? Or does some long-distance interaction between hidden parameters really exist? With the help of so-called **Bell's inequality (Appendix T)** it is possible to prove the following theorem: **There is no set of hidden parameters and its probability distributions that can explain mutual probabilities**

calculated from quantum mechanics without introducing some long-distance interaction between these hidden parameters. So long-distance spins interaction exists in hidden spins theory.

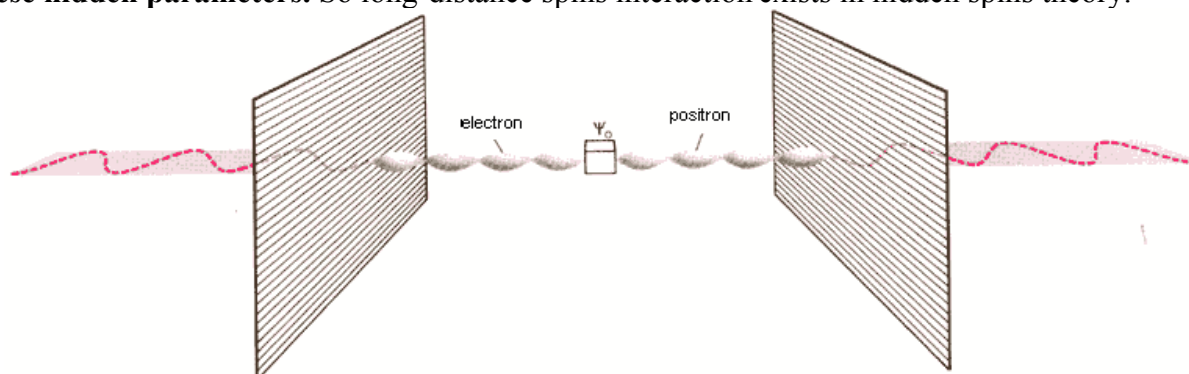


Figure 11. EPR experiment.

However, it is possible to consider not all hidden parameters but just results of measuring. In this case dependence between electron and positron spins can be easily explained by using usual random correlations between the measured parameters. It is result of the fact that we are capable to measure simultaneously only two projections of a spin (one for an electron and one for a proton) from large list of all possible hidden parameters.

The dependence between long-range objects is defined as quantum correlation, if introduction of hidden parameters for explaining this correlation is impossible without long-range interaction of these hidden parameters. For **classical correlations** it is always possible. After measuring the quantum correlations transform to usual classical ones.

Let's sum up. Introduction of hidden parameters in quantum mechanics is impossible without long-range interaction between these parameters. It is possible to refuse hidden parameters and to consider quantum mechanics just as some mathematical apparatus giving random dependence between measured properties of large classical devices. In this case, any long-range interaction is not required. Dependence between observed values can be explained by usual random correlation. Correlation exists because the measured quantum objects were initially together.

3.6 Problem of two slots as an illustration of quantum mechanics complexity

Because of impossibility of "easy" classical interpretation of quantum mechanics, a well-known American physicist Richard Feynman supposed that nobody understands quantum mechanics. Once he noted that «the single secret of quantum mechanics can be expressed by just one experiment that with a double slot and electrons. It is a modern version of the classical experience made in 1801 by an English scientist Thomas Young for demonstrating of the wave nature of light». This experiment was very simple. In Young's experiment light from a source (a narrow slot S) illuminates a screen with two closely positioned slots S_1 and S_2 . While transiting through each of slots, the light is scattered by

diffraction, therefore on white screen E the light beams which have transited through slots S_1 and S_2 , were overlapped. In the field of overlapping of light beams a number of alternating light and dark bands is formed - that we define now as an interference pattern. Young interpreted the dark lines as places where "crests" of light waves from one slot meet "troughs" of waves from the other slot, quenching each other. The bright lines occur in places where crests or troughs from both slots coincide, making light amplification. During almost two hundred years varied variants of two-slot-hole Young experiments were considered as a proof of wave nature of waves on water, radio signals, X-rays, sound and thermal radiation.

We will define a concept of **path difference** of waves from slots. Suppose there is some point on the final screen. The difference of distances from the two slots to this point, measured in wave length units, is named as **path difference** for this point. If it is an integer we have wave the maximum in this point. If it is an integer and half we have the minimum.

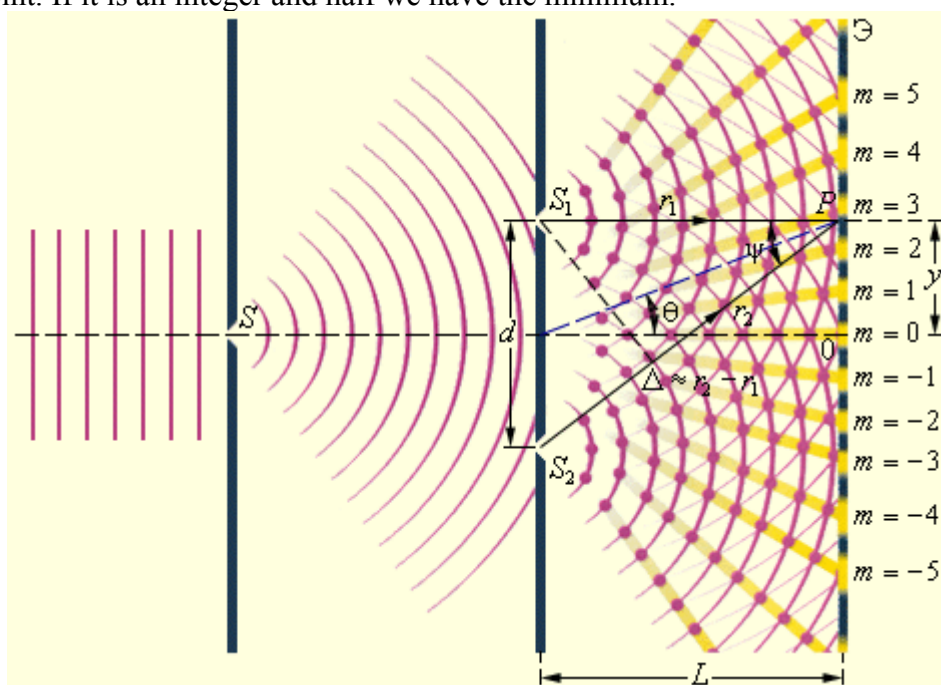


Figure 12. Young's experiment with light. (Fig. from [96])

It's remarkable that Young's experiment can be made with electrons too. Instead of sunlight beam, a beam of electrons transits through parallel slots. The screen plate is coated with a luminophor (similar to the screen of a television tube). Each electron colliding with the luminophor leaves an illuminating point, thus registering its arrival in form of a usual particle. But the image generated by all electrons makes surprising impression. It gives an interference pattern similar to that which is obtained in case of light. It is absolutely unlike to that we would obtain by throwing balls in a fence with two boards taken out (it is similar to two slots). The two-slot-hole experiment with electrons demonstrates that these particles can behave as a wave.

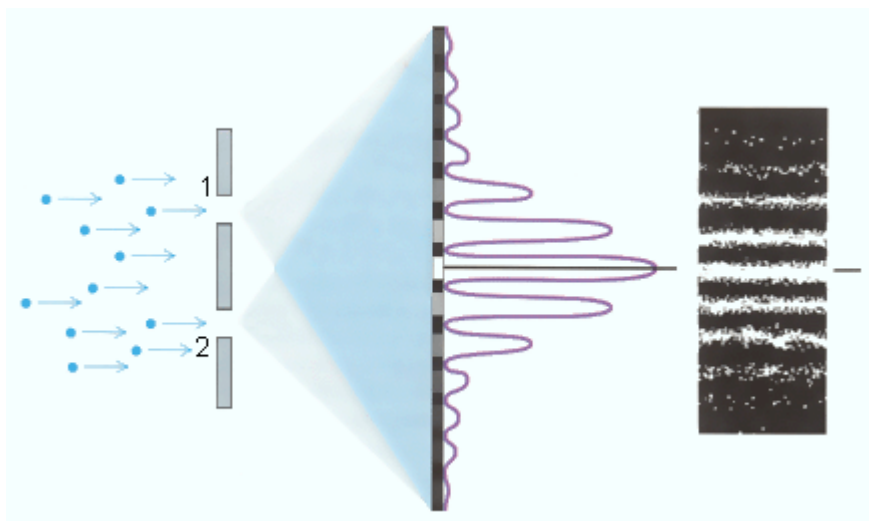


Figure 13. Young's experiment with electrons. (Fig. from [97])

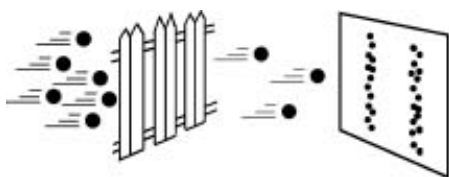


Figure 14. Young's experiment with balls and fence.

If one of slots is closed in two slots electrons diffraction experiment then an interference pattern disappears. The band of the electrons is registered instead. Hereupon we open the second slot and close the first one. In such a way we obtain the second band. The final pattern is similar to the pattern obtained by the balls game described above, i.e. a simple sum of these two bands. But if the both slots are opened simultaneously we observe a complex interference pattern instead. The results of this experiment can not be explained by interaction of electrons - the same result is obtained by emitting of electrons one after one. The reason is that electron position is not defined by a certain trajectory, by wave of probabilities. Two waves from two slots summarize and give an interference pattern. The quadrate of amplitude of sum of these two waves on the screen gives probability to find an electron there.

Let's assume that we arrange a detector which shows through what of slots an electron transits. The final pattern in this case is similar to results of the experiment with alternately closed slots. I.e., the interference pattern disappears. This result is explained by influence of the measuring device - the detector. There is reduction of wave function and its pure state transfers to the mixed one. Thus,

instead of the sum of wave amplitudes from two slots, the probabilities summarize, and the interference pattern disappears.

This experiment shows two main properties of quantum mechanics. At first, **we cannot predict an exact final position of an electron in the screen**, and we can discover just probability for all point. Only a large number of electrons gives a quite certain and predictable distribution pattern on the screen. In the classical case the result was predictable for even a single particle. Secondly, **we cannot perform any measuring of the intermediate state of an electron, without perturbation of this intermediate state causing change of further measuring results**. So, having checked up through what of the slots the electron has transited, we will destroy the further interference pattern. In classical mechanics it was always possible, at least in principle, to make measuring without perturbation of the system dynamics. In quantum mechanics such measurement is possible only if wave function of the measured system is identical to some eigenfunction of a measurand.

The experiment with two slots also allows explaining the mechanism **vanishing of quantum interference effects for macroscopic systems**. It occurs under following three requirements:

1) Coherent, "monochromatic" wave considering in the experiment interacts with its environment or its source. This interaction leads **to transformation of its pure state to the mixed state**. As consequence, the probability wave is not an infinite sine curve, but set of sine curve segments. Such segment of the sine curve is named a wave packet. A phase of some wave packet is random value. Length of a wave packet is about 10-20 wave lengths. It has the order of wave-atom interaction radius. The atoms correspond to the surrounding medium or the source.

2) Consideration system with **macroscopic sizes**. The distances between slots (D) are much larger than lengths of a wave packet ($n\lambda$) and distances from the slots to the screen (L). More precisely: $D \gg \sqrt{L \cdot n\lambda}$, where λ is a wave length.

3) Introduction of **macroscopic parameters** (averaging wave intensity on a length much larger than lengths of a wave packet, and during the period of time much longer than the time of the wave packet transiting through some point).

As the distance between slots increases (at constant value L), the **path difference** becomes much larger than a wave packet length for the most of points of the screen. As result, phases of the waves coming from the slots become random. Hence, it's not amplitudes of wave that are summarized but coarsen macroscopic intensities. Therefore, the interference disappears for the most of points on the screen. As the distance between slots becomes larger than the distance to the screen, the interference remains just in the small neighborhood of a screen point which would be precisely in the middle between slots. The size of an interference range gets equal to a wave packet. At the further increasing of distances between slots, wave intensity in this interference range starts to decrease and converges to zero without decreasing its size³. So, small interference effects are not observed at coarsened (i.e. macroscopic) description.

³ It must be mentioned that this system has **infinite size** in wave propagation direction and the wave is not reflected by the screen. Therefore, unlike the finite systems considered below, if the interference disappears it does not appear again. On

All these effects of vanishing of interference are caused by macroscopic nature of the system and its parameters and also by the mixed nature of initial state. Such transformation of a wave from pure coherent state to mixed state because of interaction (entangling) with its environment is named **decoherence** (from Latin *cohaerentio* - connection) [21-25], (Appendix P). The system is intermixed or entangling with a surrounding medium. For macroscopic (i.e. very large) systems **decoherence** leads to vanishing of quantum interference, as discussed above in the experiments with two slots. The **decoherence** theory has an important consequence: for the macrostate quantum theory predictions are almost coincide with predictions of the classical theory. But the price for this coincidence is irreversibility as we will see further.

3.7 Schrodinger's cat paradox [26] and spontaneous reduction [18].

The complete violation of the wave superposition principle (i.e. the full vanishing of interference) and the wave function reduction would occur only during interaction of quantum system with an ideal macroscopic object or a device. The ideal macroscopic object either has infinite volume, or consists of infinite number of particles. Such an ideal macroscopic object can be consistently described both by quantum and classical mechanics⁴.

Further on (unless the other is assumed) we consider, similarly to the classical case, only systems with finite volume with a finite number of particles. Such devices or objects can be considered as macroscopic just approximately⁵.

Nevertheless, a real experiment shows that even for such non ideal macroscopic objects the destruction of superposition and correspondent wave function reduction may occur. We will define such reduction of imperfect macroscopic objects as **spontaneous reduction**. The spontaneous reduction leads to paradoxes which force to doubt completeness of quantum mechanics, despite all its tremendous successes. We will reduce the most impressive paradox from this series - Schrodinger's cat paradox (Schrodinger 1935) [26].

It is a thought experiment which clarifies the principle of superposition and wave function reductions. A cat is put in a box. Except for the cat, there is a capsule with poisonous gas (or a bomb) in the box which can blow up with 50 percent probability because of radioactive decay of plutonium atom or casually illuminated light quantum. After a while the box is opened and one gets to know

*the other hand, when the distance between slots **converges to infinity** (at constant value L) quantum interference effects converge to zero (for any finite wave packet length and for any finite degree of macroparametres coarsening.*

⁴ Thus, observing light of a remote star, we study it, but we do not influence as it could have been expected on basis of quantum measuring theory. We change only a state of star photons reaching us. This is because we consider the Universe space as infinite. So, illuminated photons have no chance to return to the star and to change its state. In the case of the finite Universe, observable photons can return to a star and influence it. However, for a very large Universe, a very long time may be needed.

⁵ For example, the above described star-observer system in a very large finite Universe would behavior similar to an infinite Universe during a very long, but finite time only.

whether the cat is alive or not. Until the box is opened (measuring is not performed), the Cat stays in a very strange superposition of two states: "alive" and "dead". For macroobjects such situation looks very mysterious⁶. (Thereagainst, for quantum particles superposition of two different states is very natural.) Nevertheless, no basic prohibition for quantum superposition of macrostates exists.

The reduction of these states at opening the box by an external observer does not lead to any inconsistency with quantum mechanics. It is easily explained by interaction of the external observer with the cat during measuring of the cat's state.

But the paradox arises at the closed box when the observer is the Cat itself. Really, the Cat possesses consciousness and it is capable to observe both itself and the environment. At real introspection the cat cannot be simultaneously alive and dead, but is just in one of these two states. Experience shows, that any consciousness creature or feels itself live, or it is dead. Simultaneously both such situation does not exist. Therefore, spontaneous reduction to two possible states (alive and dead) really occurs⁷. The cat, even together with all contents of the box, is not an *ideal* macroscopic object. So such observable and nonreversible spontaneous reduction contradicts to reversible Schrodinger quantum dynamics. In current case it can not be explained by some external influence, because the system is isolated. [18, 27, 7].

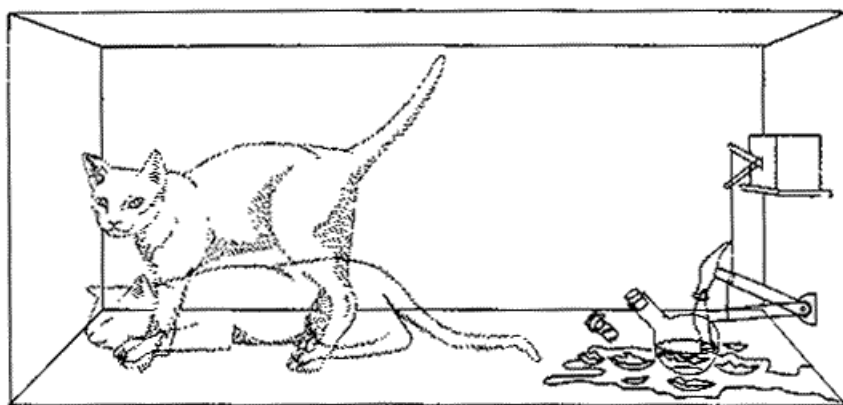


Figure 15. Experiment with Schrodinger Cat. (Fig. from [98])

There are many problems related to a spontaneous reduction. Whether does it actually contradict to Schrodinger quantum dynamics? When the system is enough macroscopic that the spontaneous reduction can happen? Whether must such almost macroscopic system have consciousness like a Cat? What are time moments when a spontaneous reduction can occur?

3.8 Zeno Paradox or «paradox of a kettle which never will begin to boil».

⁶ Sometimes there try to describe such situations with help of art through "paradoxical" images [3, 28], (Appendix V).

⁷ Though there are some exotic attempts to understand how the consciousness can perceive such exotic states of macroobjects [3, 28], (Appendix V). See also the previous reference.

The "**paradox of a kettle which never will begin to boil**" is related to the last of the above mentioned problems. Actually, here are two paradoxes, but not just one.

Let us assume that there is some quantum process. For example, decay of a particle or transmission of a particle from one energy level on another one.

The first paradox is as follows. **If time intervals between acts of registering converge to zero, then the specified process generally never happens during any chosen finite time interval!** It can be explained by influence of quantum measuring. Measuring leads to reduction to the mixed state (broken and not broken particle). Besides, relative process rate (over one particle) converges to zero when measurement time interval converges to zero. These two facts lead to process stoppage for frequent measurements.

The second paradox is as follows. In real life decay of the substance containing large number of particles is always featured by the exponential law. It is not casual. The relative velocity of such decay is constant in time. Accordingly, it is impossible to find observationally "age" of such substance if we do not know an initial number of not broken particles, and broken particles taking away from the system. But quantum decay, according to the quantum mechanics equations, is featured **not by the exponential** law. Therefore, the relative rate of decay at the beginning of the process is equal to zero, and then increases. We can make paradoxical conclusion that it is possible to introduce non-physical concept of the system "age". "Age" can be easily found through the current relative rate of system decay.

We will resolve this second paradox in the part of the paper concerned to Observable Dynamics.

3.9 Quantum correlations of system states and their connection with paradox of the Schrodinger cat.

The concept of **quantum correlation of system states** is closely related to the paradox of Schrodinger cat. Suppose there is some spontaneous reduction of states of the alive or dead cat. Any further measuring then will depend on the previous Cat's state. It can be either "alive cat", or "dead cat". Observed data can be divided into two non-overlapping groups: one group will correspond to "alive cat", the other one to "dead cat". But if Cat is in quantum superposition of these two states the results of the further measurements will depend on the both states of Cat. So it cannot be divided already into two non-overlapping groups. This connection between the initial states, expressed in impossibility to divide further results of measuring into independent non-overlapping groups corresponding to such initial states, is named "quantum correlation of system states".

In mathematical language, this fact is explained by nonlinearity of connection between probability of an observed data and a wave function. In other words, the quadrate of sum is not equal to sum of the quadrates. Appearing additional terms (or the interference terms) are the measure of quantum correlations.

Quantum correlations are corresponding also to nondiagonal elements of a density matrix. For the mixed state obtained as a result of measuring, all nondiagonal terms are equal to zero.

Let's express the paradox of Schrodinger cat in the language of quantum correlations: on the one hand, the cat introspection gives only one from two possible results: or "alive cat", or "dead cat". Thus there is some spontaneous reduction, and quantum correlation between these states disappears. It means that further results of measuring **can be divided** into two independent non- overlapping groups corresponding to initial states.

On the other hand, according to Schrodinger equations, quantum correlation cannot disappear itself, without presence of external forces. It means that further measuring results **can not be divided** into two independent non- overlapping groups corresponding to initial states.

This inconsistency between Schrodinger dynamics and the observable spontaneous reduction will lead to the paradox.

4. Quantum mechanics interpretations. Their failure to solve the paradoxes

One of the problems that we wrote of above is difficulty of understanding of quantum mechanics on the basis of our classical intuition based on the real word experience. There are various interpretations of quantum mechanics [18] that can also serve for simplification of such understanding. It is necessary to specially emphasize that neither of interpretations of quantum mechanics would lead to solving the above mentioned paradoxes, they just allow understanding of quantum mechanics in visual and clear way for our intuition. We will restrict ourselves by only three of the wide list of possible interpretations. The most popular for today and also a very evident one is multi-world interpretation.

4.1 Multi-world interpretation. [29, 30, 18].

Let's describe it in more detail. From the example of Schrodinger cat we can see that quantum evolution can lead to various and macroscopically distinguishable conditions. We really observe only one of them. Multi-world interpretation states that all these states exist simultaneously in certain "parallel worlds", but we (or a cat in our mental experiment) can observe only one of macroscopic alternatives.

The similar approach illustrates the concept of spontaneous reduction by the following. As all the worlds exist simultaneously, all of them can influence results of some measuring. Generally, results of measuring cannot be divided into two disconnected groups related to the alive and dead cat. It means that these worlds correlate with each other and each of them influences the results of measuring. Presence of spontaneous reduction at measuring will lead to losses of this correlation. Results of measuring will break up into independent groups corresponding to various worlds.

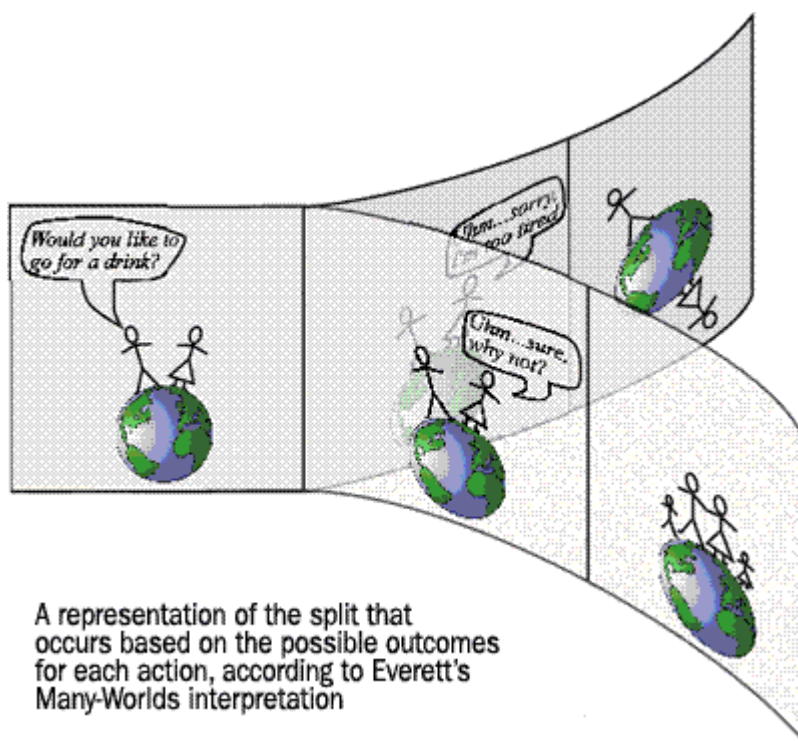


Figure 16. Multi-world interpretation. (Fig. of Max Tegmark from [99])

The multi-world interpretation as such does not explain Schrodinger cat paradox. Really, the Cat observes only one of the existing worlds. Results of the further measurements depend on correlations between the worlds. But neither these worlds nor these correlations are observed. «Parallel worlds» that we know nothing about can always exist. But these worlds can really affect results of some future experiment of ours. I.e. the knowledge of the current state only (in our "world") and quantum mechanics laws does not allow us to predict the future even probabilistically! But it was just such predictions the quantum mechanics has been developed for! Just on basis of spontaneous reduction that destroys quantum correlations between the worlds, we can predict the future using knowledge of only current (and really observed) states of our "world". The paradox of Schrodinger cat returns but just having its shape changed.

It is not clear also how to define the macroscopic states corresponding to "separation" on "the parallel worlds". (Really, wave function expansion is ambiguous, and different sets of orthogonal functions can be used for this purpose.) It is not clear how to find the exact moments of time when this "separation" happens. But solving the paradoxes (contrary to a very widespread mistake) is not the purpose of quantum mechanics interpretations.

4.2 Copenhagen interpretation.

Another interpretation is the Copenhagen interpretation. It is used in today's papers and is standard for most usual book and papers in quantum mechanics field. It states that at the moment of observation of macroscopic states, spontaneous reduction occurs and quantum correlations disappear. So it results in the paradoxes described above.

It is necessary to score that the reduction in the Copenhagen interpretation happens just for a chosen *final* observer in the sequence of measurements. From his point of view, the experiment should be described. The reduction, like velocity of the system, depends on the choice of the observation system.

Let's suppose that some external observer investigates some other observer, for example the external observer (scientist) investigates the Schrodinger Cat. No spontaneous reduction, really observed by the Cat himself, happens for the external observer.

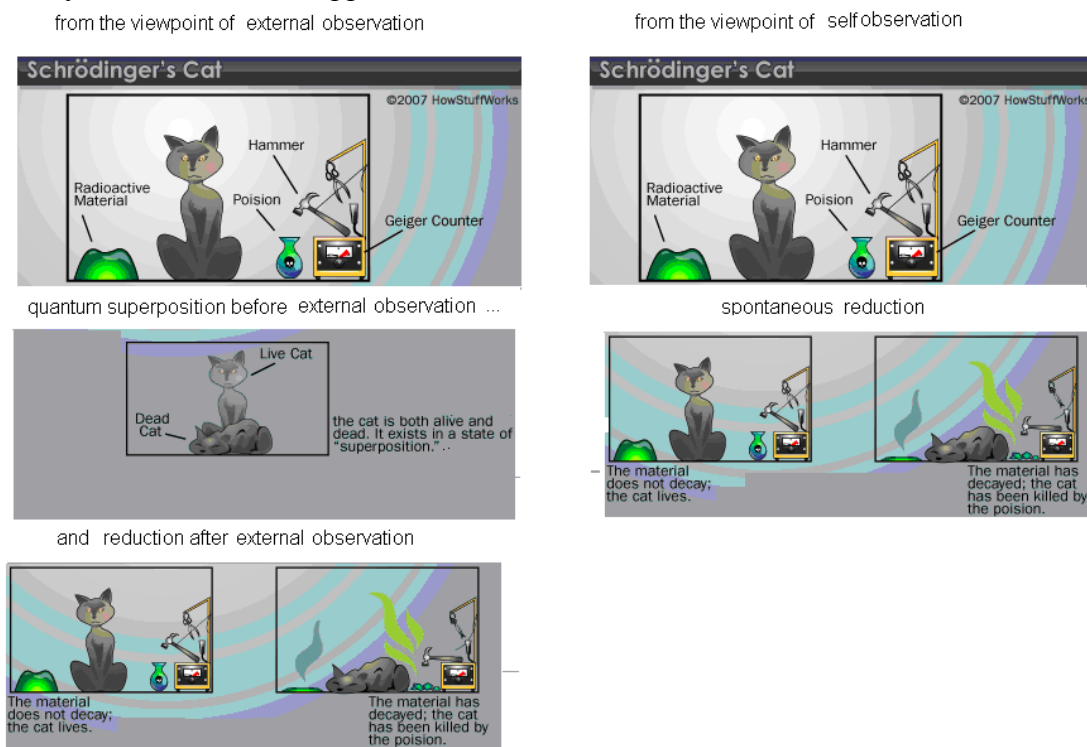


Figure 17. Schrodinger cat experiment from the viewpoint of external observer (experimenter) and self observation (the Cat itself) (Fig. from [100])

From external observer point of view the reduction happens just when the external experimenter opens the box and consequently interacts with the Cat and results in the reduction. It means that there is no paradox for the external observer.

Only when the Cat is regarded as the final observer, there is spontaneous reduction, and consequently there would be the paradox described above. Really, the Cat can feel itself only alive or dead, but not in these two states simultaneously!

This note is very important, as its misunderstanding leads to absolutely erroneous statements [29, 30], that the Copenhagen interpretation is incompatible with the multi-world interpretation.

Actually, as we will see further, the difference between these interpretations is not observable and so both interpretations can be used.

4.3 Interpretation via hidden parameters. [18], (Appendix S,T,U)

Introduction of the hidden parameters defines one more interpretation related to EPR paradox. It is, for example, the wave-pilot theory of de Broglie - Bohm [18]. This theory includes coordinates, velocities, spins and wave function (wave- pilot) being changed in time according to Schrodinger equations, as hidden parameters. Thus, quantum correlations (as we saw above during discussion of EPR paradox) led to locality violation, i.e. long-range interaction between the hidden parameters. For explanation of connection between actually measured (not hidden) parameters such long-range interactions are not necessary. These connections are perfectly described by usual correlation of variables. Thus, the reduction of a macroscopic state (or happening at measuring, or spontaneous) leads to vanishing of quantum correlations which become classical ones.

Difference between quantum correlations and the classical correlations, appearing after reduction, is expressed not only in the existing long-range interaction. Let the correlated long distance parts of the system (these parts was together in a pure state in the beginning) again appear together after some, may be, and long time. Thus in a quantum case we obtain pure state again, but in the classical case accompanied by reduction (or happening at measuring, or spontaneous) - the mixed one. In the case of spontaneous reduction it leads to inconsistency with Schrodinger evolution. Paradoxes do not disappear but just acquire some different appearance.

5. Definition of complete physical system in the theory of measuring.

In measurement theory it is necessary to include both the observer and a surrounding medium into the complete system because in many cases even their small influence cannot be neglected. As it will be clear later on it is true not only for quantum but also for classical mechanics. Generally the complete system consists of three parts: the **observable system**, the **surrounding medium**, and the **observer**. The observer also consists of three parts: **the measuring device**, the **person of the observer** and **the memory** of the observer. The memory is necessary for keeping the sequence of observation. This observation sequence can be used for comparison with the theory. It is necessary for memory to **be isolated from its entire environment**, except for the channel of receiving information. If some external factors can influence it, changing or erasing its contents, no experiments for the theory verification are possible. It is a very important statement. It helps to resolve many paradoxes, including those considered below.

The final point of the complete physical system is the observer's memory. The system includes only one observer. Certainly, many observers can exist, but we should choose a point of view of only one of them. The rest ones would be considered as just parts of the observable system or the

environment. But which one must be chosen? The problem is solved similarly to relativity theory - it is possible to choose any one. But it is important to interpret all facts from the point of view of the single chosen observer. For Schrodinger Cat paradox case the observer can be either the Cat, or the external observer-experimenter. (But not the both together!)

6. Solution of the paradox of Schrodinger cat.

Let's remind that the paradox of the Schrodinger cat consists in inconsistency between the spontaneous reduction observed by a cat and Schrodinger evolution forbidding such reduction. To correctly understand the paradox of Schrodinger cat it is necessary to consider it from the point of view of two observers: the external observer-experimenter or the Cat, i.e. **introspection**.

In case of the external observer-experimenter the paradox does not arise. If the experimenter tries to see whether the cat is alive or not, it influences inevitably the observable system (in agreement with quantum mechanics) that leads to reduction. The system is not isolated and, hence, cannot be featured by a Schrodinger equation. The reducing role of the observer can also be played by the surrounding medium instead. This case is defined as decoherence. Here the role of the observer is more natural and is reduced just to fixing decoherence. In both cases there is entangling of measured system with the environment or the observer, i.e. there are correlations of the measured system with the environment or the observer.

What will be if we consider the closed complete physical system including the observer, observed system and environment? It is Cat's introspection case. The system includes the Cat and his box environment. It ought to be noted that **the full introspection (full in the sense of quantum mechanics) and the full verification of quantum mechanics laws is impossible in the isolated system including the observer himself**. Really, we can measure and analyze a state of external system precisely in principal. But if we include ourselves as well in consideration there are the natural restrictions. It related to possibility to keep in memory and to analyze states of molecules by means of these molecules themselves. Such assumption leads to inconsistencies (**Appendix M**). Therefore, the possibility to find experimentally inconsistency between Schrodinger evolution and spontaneous reduction by help of introspection in an isolate system is also restricted.

Nevertheless, let's try to find some mental experiments leading to inconsistency between Schrodinger evolution and spontaneous reduction.

1) The first example is related to reversibility of quantum evolution. Suppose we have introduced a Hamiltonian capable to reverse quantum evolution of the Cat-box system [29, 30]. Though practically it is almost impossible, theoretically no problem exists. If the spontaneous reduction happens the process would be nonreversible. If the spontaneous reduction is not present the Cat-box system will return to an initial pure state. However, only external observer can make such checkout.

The Cat cannot make it by introspection because Cat's memory will be erased after returning in an initial state.

From the point of view of the external observer, no paradox exists because he does not observe spontaneous reduction that really can lead to a paradox.

2) The second example is related to necessity of Poincare's return of quantum system to an initial state. Suppose the initial state was pure. If spontaneous reduction really exists in the case of Cat introspection, it leads to the mixed state. Then return would be already impossible - the mixed state cannot transfer in a pure state according to a Schrodinger equations. Thus, if the Cat has fixed return, it would come to inconsistency with spontaneous reduction. But the Cat cannot fix return (in the case of quantum mechanics fidelity), because return will erase Cat's memory. So, there is no paradox.

The exterior observer actually can observe this return by measuring an initial and final state of this system. But there also no paradox exists, because he does not observe any spontaneous reduction that really can lead to a paradox.

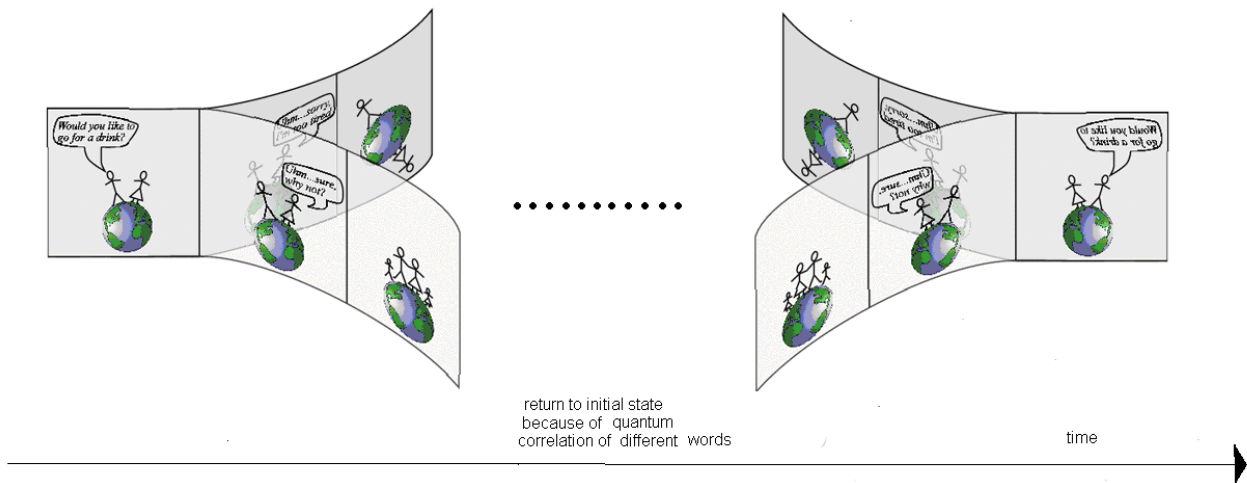


Figure 18. Poincare's return close to initial state due to quantum correlations.

It is worth to note that the inconsistency between spontaneous reduction and Schrodinger evolution can be experimentally observable only when the spontaneous reduction is kept in memory of the observer and this memory is not erased and not damaged. All experiments described above are not covered by this requirement. Thus, these examples clearly show that though the spontaneous reduction really can lead to violation of Schrodinger evolution, this violation experimentally is not observed.

3) The third example. Quantum mechanics gives superposition of a live and dead cat in a box. Theoretically, an exterior observer can always measure this superposition *exactly* if it would be one of measurement eignfunctions. Such measuring would not destroy superposition, contrary to the case when the live and dead cat are eignfunctions of measurement. Having informed the cat about the result of measuring we will enter into inconsistency with spontaneous reduction observed by the cat [31, 32]. Such argumentation would hold a double error.

At first, this experiment is used for *verification* of Cat's spontaneous reduction existence when the observer is the Cat itself. The external observer does not influence Cat's memory only when the spontaneous reduction is not present, and the Cat's state is superposition of live and dead states. But it does influence and can destroy Cat's memory in spontaneous reduction case. So such experiment is not legitimate for verification of spontaneous reduction existence.

So, no contradiction with the past exists.

Secondly, the data transmitted to the Cat is kept in his memory. Thus this transmission changes both the state, and all further evolution of the Cat, i.e. the system can not be considered as isolated in the following. So, no contradiction with the future exists.

The external observer does not see spontaneous reduction and, hence, does not observe the paradox. So, from the external observer's point of view, such verification is quite possible and legitimate. It does not influence the external observer's memory. Moreover, such verification, which does not break evolution of the observable system, allows measuring not just an initial and final state of system but also all intermediate states. I.e. it implements continuous non-perturbative observation!

It ought to be noted that the external observer can observe the superposition of an alive and dead cat just theoretically. Practically it is almost impossible. In contrast for small quantum systems, the superposition is quite observable. It results in the fact that quantum mechanics is considered usually as the theory of small systems. But for small macroscopic (**mesoscopic**) objects such observation is possible too. The large set of particles at low temperatures or some photons states [33] can be an example.

7. Solution of paradoxes of Loschmidt and Poincare in classical mechanics. Explanation of law of increasing of macroscopic entropy

Let us also consider two cases here – when an observer is included into the observable system, and when he is outside of it.

The basic inconsistency of classical statistical mechanics is inconsistency between the law of increasing of entropy and reversible classical motion laws. It is expressed by Poincare and Loschmidt paradoxes.

In case of classical mechanics, unlike quantum mechanics, a more simple case is that when the observer is included into the observable system. Poincare's return of the system to an initial state leads to memory erasing, similarly to the previous chapter argumentation. It makes Poincare paradox experimental observation impossible. The reversion of velocities really leads to entropy decreasing. However, the time direction is relative and not absolute. So we should define positive direction of the time arrow. It is reasonable to choose the time arrow in the direction of entropy growth. We will define such time arrow as the proper time arrow of the system. With respect to this **proper time arrow**, Loschmidt paradox disappears. It ought to be noted that in both paradoxes solutions there is both memory erasing in final system state, and entropy growth in direction of proper system time arrow. Close to the final state, the direction of proper system time arrow reverses with respect to initial state

direction. The main reason of impossibility of paradoxes observation is caused by **impossibility of complete system state knowledge with the help of introspection.**

For the external observer, the situation is more difficult. Theoretically, interaction between the observer and observable system can be made by an arbitrarily small in the classical mechanics. Hence, nothing prevents to observe entropy decreasing. In this case directions of the proper time arrow of the observer and the observable system are opposite. Is it really possible? Theoretically yes, but practically it is almost impossible. Most of real physical systems are intermixing (chaotic) systems. It means that their phase trajectories are exponentially diverges in presence of small noise. Small interaction of the observer with the observable system or a surrounding medium with observable system is inevitably present almost in all cases. We remind that for chaotic systems the following theorem is true:

Processes of *macroparameters evolution with macroscopic entropy decreasing are strongly unstable with respect to small external noise. By contrast to this processes of *macroparameters evolution with macroscopic entropy growth are stable.**

Therefore, inevitable small interaction leads to destroying of entropy decreasing processes and to observer's and observable system's proper time arrows synchronization. Hence the system can not be considered as isolated, and classical mechanics paradoxes for isolated systems are not relevant. Small interaction of a surrounding medium with the observer and with observable system will have the same effect, as interaction of the observer with observable system - proper time arrows synchronization for all subsystems. In this case the role of the observer is more passive and is natural.

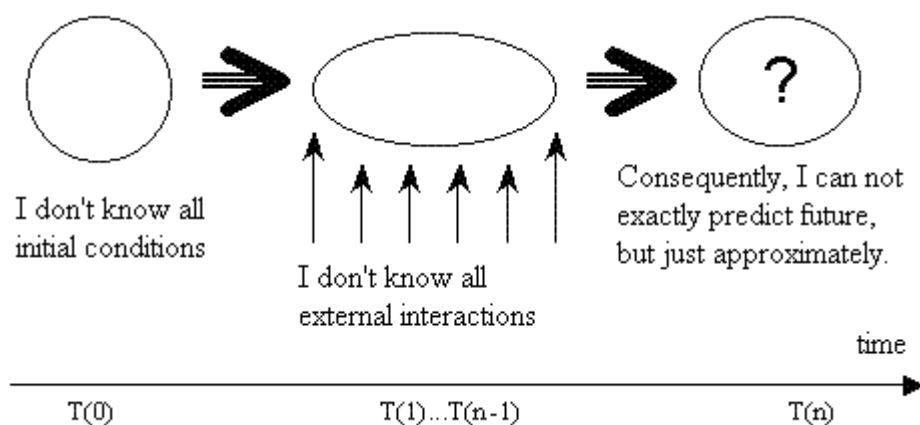


Figure 19. Reasons explaining causes of unpredictability in classical mechanics.

In the works [1, 2, 6, 34] synchronism of all proper time arrows in the surround world is considered as big mystery. Why do we never meet processes with entropy decreasing though their probability is equal to probability of entropy increasing processes? Attempts are made to find explanation in the origin of our Universe⁸ [1, 2, 6, 34]. Nothing of the kind is necessary. Simple, inevitable, small interaction always exists between systems. It leads to visible synchronizing of all proper time arrows.

⁸ Why our present low entropy Universe has not been created from Chaos by some time reversal process [1, 2]? It would look like some large fluctuation! Why its origin is very low entropy state lead to Big Band? The answer

Thus, the trajectories causing entropy decreasing are not stable with respect to small noise from the external observer. In the case of quantum mechanics such noise is even theoretically inevitable during measuring if we do not know the true initial state of the measured system. State measuring leads to inevitable violation of this measured state. In classical mechanics measuring can be made at least theoretically precisely. Therefore we should introduce some small external noise and/or initial state errors "manually" in order to explain entropy growth for the observer.

In actual measuring such small external noise is always present. The enormous efforts, causing environment entropy growth, are necessary to prevent this noise influence. Such environment entropy growth is much larger than entropy decreasing obtained by this observable system isolation. Thus, the entropy increasing law will be fulfilled again. Here there is an analogy to paradox resolution about Maxwell's Demon [37-38] which uses sorting of molecules for entropy decreasing. Acquiring information for sorting leads to entropy increasing much more than correspondent entropy decreasing.

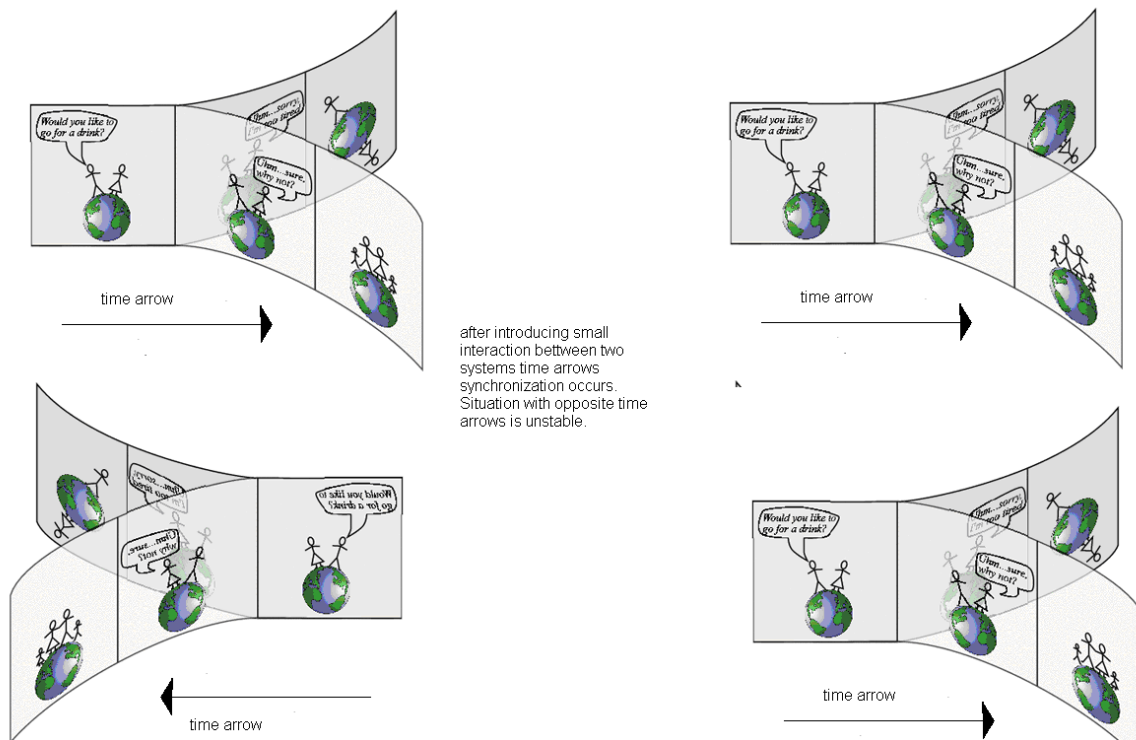


Figure 20. Synchronization of time arrows.

Though prevention of small and all-pervading interaction between systems is a very difficult problem for macroscopic system, for very small systems it is easily executable. Actually, we can observe everywhere small fluctuations which correspond to violations from entropy increasing law. If

is given by Elitzur's paper [35]. There it is shown that the optimal process for desirable low entropy states creation there is creation of initial state with much more lower entropy than the desirable one. This method was named «the sky lift» by him. It is because of analogy with using sky lift for further descent of the mountain.

we neglect a very small friction, reversible processes are easily observable in gravitational astronomy too.

8. Deep analogy between quantum mechanics (QM) and classical statistical mechanics (CM) (see also Appendix N)

From the above described reasons it is possible to guess that there is almost full analogy between properties and paradoxes of CM and QM and also between methods of their solution. We will describe these analogies in more details.

1) The both mechanics are reversible in time.

2) For the both mechanics Poincare's theorem of returns is applicable. However, if for CM **almost-periodic** systems are very small class of systems, for QM all systems in finite volume are **almost-periodic**.

3) In CM there are correlations correspondent to macrostate knowledge and the **additional** hidden microscopic **correlations** related to knowledge of its "history". In QM two types of correlation are also possible: the classical correlations described by density matrix diagonal elements, conserving during measuring reduction, and **hidden quantum correlations**, described by density matrix nondiagonal elements, leading to paradoxes. **Small external noise** from the observer or the environment destroys **additional correlations** in CM and leads to coarsening of phase density function. Similarly in QM, **entangling** of observable system with observer (inevitable interaction during measuring) or **entangling** of observable system with environment (decoherence) lead to vanishing of quantum correlations (density matrix nondiagonal elements vanishing) and wave function **reduction**.

4) In case of introspection observation of Poincare or Loschmidt returns is impossible because of memory erasing. As a result, at introspection observation of additional correlations (in CM) or quantum correlations (in QM) leading to paradoxes is also impossible.

5) In QM and CM it is possible to define two kind of entropy - entropy of ensembles (phase density function) and macroscopic entropy. Entropy of ensembles conserves during reversible evolution, macroscopic entropy can both increase and decrease. At introspection entropy decrease becomes unobservable. For the external observer small interaction of this observer with observable system or observable systems with the environment also makes entropy decrease impossible (or very hard-achievable). Let's try to isolate from an environment noise and to observe some entropy decreasing system. Yet very large entropy increasing is necessary for it. This entropy increasing is much larger than entropy decreasing obtained with the help of isolation. Actually, no completely isolated and impenetrable cavities exist in our real world, no ideal infinitely light-weighted particles. But small and all-pervading interaction does exist.

6) Process of spontaneous reduction in QM is related to neglecting by quantum correlations and transition from a pure state to mixed one, thus, leading to increasing of macroscopic entropy. It is interesting that macroscopic entropy increasing can be found by similar way for Boltzmann equation in CM. It is achieved by introduction of "**molecular chaos hypothesis**". It is related to neglecting by

correlations between particles (i.e. their momentums and coordinates are assumed as independent). Thus the two particles distribution function is considered as the product of one-particle functions. Thus, introduction of spontaneous reduction in the QM equations is very similar to introduction entropy increasing law in CM equations.

7) Laws of QM are statistical. In QM observation of unknown state inevitably results in changing observable system evolution. The most of systems in CM are intermixing, so in reality their behavior also is casual. It is related, firstly, to small interaction of an observable system with an observer or environment. Secondly, our knowledge of initial state is not full. However, theoretically, for very exact accuracy of initial state measuring and full isolation, behavior of the system can be predicted as precisely as we want. However, for reaching such accuracy in reality, enormous entropy increasing of environment shall be needed.

8) In both cases paradoxes arise only for macrosystems. Laws of behavior of microsystems are not applicable because of small external noise and finite accuracy knowledge of the initial state. The single serious difference between QM and CM is the following. In CM small, but finite interaction during measuring (observation) or small errors of the initial state knowledge should be introduced "manually", but in QM it arises naturally because of theoretically inevitable interaction during measuring of unknown quantum state⁹.

In conclusion, we come to an unexpected deduction: the paradox of the Schrodinger Cat in QM is the quantum analogue of entropy increasing law in CM. In QM microsystems are usually investigated, and in CM macrosystems. So these actually equivalent paradoxes possess so different forms. But the main sense of them is the same.

⁹ Very often there are examples of "purely quantum paradoxes", ostensibly not having analogy in the classical statistical mechanics. An example is Elitzur - Vaidman paradox [36] about the bomb which can be discovered without explosion:

1) Let the wave function of one photon branches to two possible channels of some devices. In the end these channels again unite, and there is an interference of two probability waves. Entering bomb into one of the channels will break process of interference and will allow discovering the bomb even if the photon will not detonate it. (The photon is capable to detonate the bomb)

2) The full analogy is the following experiment in CM. In one of the channels where there is no bomb, we throw in a macroscopic beam of many lightweight particles. In other channel where the bomb is present only one lightweight particle travels. This particle is not capable to detonate the bomb, but the bomb can throws it back. This particle is undetectable macroscopically because of finite sensitivity of devices. But if the beam of particles in the end of the channel has unstable dynamics, even presence of one undetectable additional particle can strongly change this dynamics (so-called «effect of the butterfly»). It will allow registering a new particle which will transit through the second channel if bombs are not present. It is the full analogy between QM and CM paradoxes!

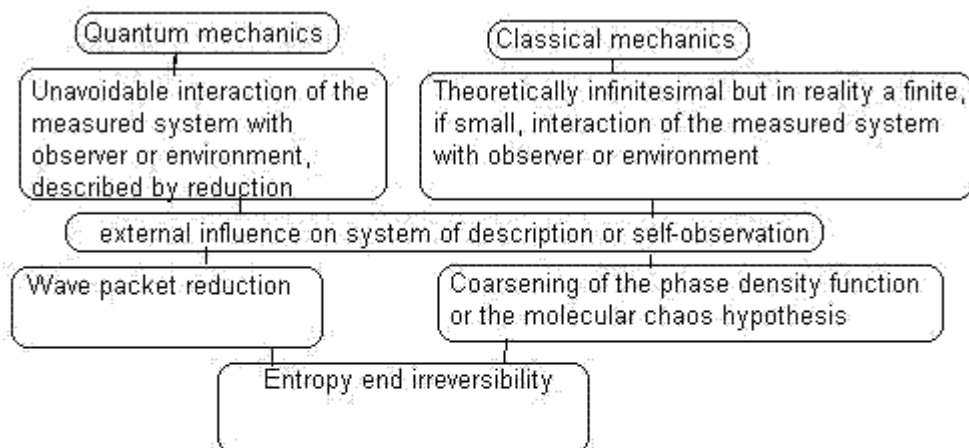


Figure 21. Sources of irreversibility and entropy in physics.

9. Time arrows synchronization/decoherence [88-94].

The follow question can appear. Assume that there exists a process in which the entropy decreases. For definiteness, let us take this process to be a spontaneous reconstruction of a house (previously destroyed in an earthquake).

Let us also take a simple example of the gas expanding from a small region of space into a large volume. If, after some time, all the velocities are reversed, the gas will end up in the starting small volume. If we turn on the camera to take a series of snapshots recording different stages of spontaneous house building/ (gas shrinking), we expect that the camera will record this spontaneous process. Why will the camera not be able to record it? What exactly will prevent the camera to record these snapshots?

The answer this question is following: even a very small interaction between the camera and the observed system destroys the inverse entropy decrease process and results in the time arrow directions synchronization of the observer and the observed system. (A time arrow direction is defined in the direction of the entropy increase.) This very small interaction appears because of light, eliminated by the observed object and reflected by the camera (and also because of light eliminated by camera). In absence of the camera the role of the observer can play environment, eliminating and reflecting the light. (Any process without a observer has no sense. He must appear at some stage of the process. But his influence is much smaller than the environment influence.) External noise (interaction) from the observer/the environment destroys correlation between molecules of the observed system. It results in preventing the inverse process with the entropy decrease. In the quantum mechanics such process is defined as "decoherence". The house reconstruction/(the gas shrinking) will be stopped, i.e., that the

house will not really be reconstructed/(the gas will not shrink). In contrast the entropy increase processes are stable.

Decoherence (time arrows synchronization and “entangling”) and relaxation (during the relaxation a system achieves its equilibrium) are absolutely different processes! During the relaxation macroscopical variables (entropy, temperature, pressure) strongly change to its equilibrium values and invisible microscopical correlations between parts of the system increase. During the decoherence the macroscopical variables (entropy, temperature, pressure) are almost constant. Invisible microscopical correlations inside the subsystems (environment, observer, observed system) are strongly destroyed, but new correlations appear between the subsystems. It is named “entangling” in the quantum mechanics. During this process the time arrows synchronization happens also. Time of the relaxation is much larger than time of the decoherence.

Let us take a simple example of the gas expanding from a small region of space into a large volume. In this entropy-increasing process the time evolution of macroscopic parameters is stable to small external perturbations. If, after some time, all the molecular velocities are reversed, the gas will end up in the starting small volume; this is true in the absence of any perturbation. This entropy-decreasing process is clearly unstable and a small external perturbation would trigger a continuous entropy growth. Thus the entropy-increasing processes are stable, but the decreasing ones are not.

The following example is a citation from Maccone's paper [39, 40]:

"However, an observer is macroscopic by definition, and all remotely interacting macroscopic systems become correlated very rapidly (e.g. Borel famously calculated that moving a gram of material on the star Sirius by 1 m can influence the trajectories of the particles in a gas on earth on a time scale of s [41])"

But no problem exists to reverse together the observer (the camera) and the observed system. Because of the Poincare return theorem for closed system (including the observer and the observed system) it must happen automatically after very large time. But the memory erasing of observer doesn't allow register this process.

The most real systems are *chaotic* – a weak perturbation may lead to an exponential divergence of trajectories, and also there is always a non-negligible interaction between an observed system and an observer/environment. But *in principle* both in the quantum mechanics and in the classical mechanics we can make unperturbative observation of the entropy decrease process. The good example of such mesoscopic device is a quantum computer: no entropy increase law exists for such system. This device is very well isolated from the environment and the observer. But *in practice* unperturbative observation is almost impossible for macroscopical systems. We can conclude that the entropy increase law is *FAPP* (for all practical purposes) *law*.

Let us consider time arrows synchronization for two non-interacting (before some initial moment) systems. The systems had initially the opposite time arrows. It means that there exist two non-interacting systems, such that in one of them time flows (i.e., entropy increases) in one direction, while in the other time flows in another (opposite) direction. However, when they come into an interaction with each other, then one of them (the "stronger" one) will drag the other ("weaker") one to flow in his ("stronger") direction, so that eventually they will both have time flowing in the same direction.

What exactly it means to be "stronger"? Is it something that increases with the number of degrees of freedom of the system? It is not correct. "Stronger" or "weaker" does not depend on the number of degrees of freedom of the systems. For the first system the interaction appears in its *future* after initial moment (In initial moment the systems have opposite time arrows). For the second system the interaction was in its *past*. So situation is *not symmetric in time* and the first system is always "stronger". It happens because of the instability of the entropy decrease processes and stability of the entropy increase processes described above.

Indeed, suppose we have two initially isolated vessels with gas. In the first one gas expands (the entropy increase). In the second one gas shrinks (the entropy decrease).

In the first vessel the gas expands from small volume in the center of a vessel. Velocities of molecules are directed from the center of the vessel to its boundary. It is physically clear that a small perturbation of the velocities can not stop gas expanding. Indeed, velocities after a random small perturbation will continue to be directed from the center of the vessel to its boundary. The noise can even increase expanding. So, the expanding process is stable.

In the second vessel gas shrinks from the full volume of a vessel to its center. Velocities of all molecules are directed to the center of the vessel. It is physically clear that a small random perturbation of the velocities can easily stop gas shrinking. Indeed, the velocities even after a small perturbation will not be directed to center of vessel. Thus, the shrinking process is stopped. So we can conclude that the shrinking process is unstable. This shrinking process can be obtained by reversing gas expanding. If we reverse the molecules velocities of the expanding gas *before* the collisions of the molecules with each other and the vessel boundary such instability is linear and not strong. But for reversing *after* collisions this instability is exponential and much stronger.

Both directions of time have equal roles. But a small random noisy interaction breaks this symmetry for the described above two systems because of the instability of the entropy decrease processes. The symmetry of time exists only for *full* system including the two defined above subsystems. But the time arrows of the interacting subsystems must be the same.

In reality, the interaction with infinite time can be replaced by large finite time T , which is chosen to be much smaller than Poincare return time. So in the first system we have the interaction during $[0, T]$ and in the second one during $[-T, 0]$. Can our argument be still applied? Instead of the asymmetry of the forces in this case we obtain a asymmetry of the initial conditions: At initial moment 0 for the first coordinate system $[0, T]$ the two vessels have the different eigen time arrows. However, at initial moment $-T$ for the second coordinate system $[-T, 0]$ the two vessels have the same eigen time arrows in negative direction. Only if T is exactly equal to Poincare return time the situation will be indeed symmetric. For such situation the two eigen time arrows is also different in moment T , but everyone is opposite its initial direction in time 0. Again the "stronger" system has the interacting forces in its future with respect to its eigen time arrow.

This theory can explain the same direction of entropy growth in all parts of Universe. But it can not explain a low entropy initial condition of the Universe. It is probably a result of the anthropic principle [42].

10. The law of entropy increase and "synchronization of time arrows"/decoherence in the gravitation theory.

In Einstein's general relativity theory motion is reversible similarly to the classical mechanics. But an important difference also exists between the general relativity and the classical mechanics. The general relativity is ambiguous theory. Indeed, in the general relativity two various initial states can give infinitesimally close states after *finite* time interval. It happens, for example, during formation of a black hole as a result of a collapse. Let us consider the inverse process describing a white hole. In this process the infinitesimally close initial states after the *finite* time interval can give the different final states. It means, that an observer/environment can affect considerably on its evolution during *finite* time interval even when the observer/environment infinitesimally weakly interacts with the white hole. As a result of this property the law of the entropy increase turns to be an exact law, but not FAPP (for all practical purposes). So the entropy becomes fundamental concept. Really, there is such fundamental concept, as the entropy of a black hole. Also it is possible to explain existence of this entropy by the perturbation created by the observer. This perturbation may be now even infinitesimal weak unlike the classical mechanics. During the formation of the black hole the entropy increases. Time reversion leads to appearance of the white hole and the entropy decrease.

The white hole cannot exist in reality because of the entropy decrease. The entropy decrease is prohibited in the general relativity because of the same reasons that it is prohibited in the classical mechanics. It is instability of the entropy decrease processes which much stronger in the general relativity, than in the classical mechanics. This instability results in synchronization of the eigen time arrows of the white hole and the observer/environment. The direction of the eigen time arrow of the white hole changes on opposite one, coinciding with the eigen time arrow of the observer/environment. The white hole transforms to the black hole.

Here is also the well-known black hole information paradox [43]: the information (which in classical and a quantum mechanics is conserved) disappears in a black hole for ever. It would seem that there is no problem: probably the information is stored inside of the black hole in some form. However chaotic Hawking radiation makes explicit this process of information losses: the black hole evaporates, but the information is not recovered.

The Hawking radiation concerns to semiclassical gravitation. However the paradox can be formulated also within the frameworks of the general relativity theory. The spherical black hole can be "changed" into a white hole at some moment.[95] Thus process is converted in time. But the information can not be recovered because of the ambiguity (the infinitely strong instability) of the evolution of the white hole.

Usually only two solutions for this problem are considered. Or the information really disappears, or because of interior correlations of the Hawking radiation (or exact reversion of the black hole process after its transmutation to the white hole) the information is conserved. But, most likely, the third solution is true. Because of inevitable influence of the observer/environment it is impossible to distinguish these two situations experimentally! But if it is impossible to check experimentally, it is not a subject of the science

Both for the general relativity theory and for semiclassical gravitation the paradox can be resolved by means of influence of the observer/environment. Really, let us suppose that the Hawking radiation is correlated, not chaotic (or the white hole would be inversed to the black hole exactly). As the infinitesimal influence of the observer/environment leads to the inevitable losses of these correlations (and the correspondent information) during the finite time interval. It is senseless to include the observer into the described system: the complete self-description and introspection is not impossible. The information conservation law can not be checked experimentally for such a case even if it is really correct.

We have now no general theory of quantum gravitation. However for a special case of a 5-dimensional anti-de-Sitter space this paradox is considered by many scientists to be resolved. The information is supposed to be conserved, because a hypothesis about AdS/CFT dualities, i.e. hypotheses that quantum gravitation in the 5-dimensional anti-de-Sitter space (that is with the negative cosmological term) is equivalent mathematically to a conformal field theory on a 4-surface of this world. It was checked in some special cases, but not proved yet in a general case. Suppose that if this hypothesis is really true, as it automatically solves the information problem. The fact of the matter is that the conformal field theory is unitary. If it is really dual to quantum gravitation then the corresponding quantum gravitation theory is unitary too. So, the information in this case is not lost. But we suppose, that it not correct. The process of the formation of a black hole and its subsequent evaporation happens on *all surface* of the anti-de-Sitter space (described by the conformal quantum theory). It includes as well the observer/environment. But the observer can not precisely know an initial state and can not analyze the system behavior because he is a part of this system! So his influence on the system can not be neglected. Thus, the experimental verification of the information paradox again becomes impossible!

Let's consider from the point of view of the entropy increase law such a paradoxical object of the general relativity theory, as a wormhole [44]. We will consider Morris-Thorne wormhole [45]. By a very simple procedure (we put one of the wormhole mouths on a spaceship, then the spaceship moves with relativistic velocity over closed loop and returns the mouth to its initial place) the wormhole traversing space can be transformed into one traversing time. After this transform the wormhole can be used as a time machine, leading to the well-known paradox of a grandfather. How this paradox can be resolved?

For macroscopic wormholes the solution can be found by means of entropy increase law. The realization of this law is ensured by the instability of entropy decrease processes, resulting in time arrows synchronization.

Really, the wormhole traversing space does not lead to the paradox. If an object go into one mouth at some time moment then it go out from the other mouth after some later time moment. Thus the object travels from a initial high-order low entropy environment to the future low-order high entropy environment. During the trip along the wormhole the object entropy also increases. Thus, the directions of the time arrows of the object and the environment are the same. The same conclusions are correct for travelling from the past to the future into a wormhole traversing time

However for travelling from the future to the past the directions of the time arrows of the object and the environment will be already opposite. Really, the object travels from the initial low-order high

entropy environment to the future high-order low entropy environment. But its entropy increases and does not decrease! As we spoke earlier, such process is unstable and will be prevented or forcedly converted by a process of synchronization of the time arrows. It must happen at the moment that moving mouth of wormhole returns to its initial state.

"Free will" allows us to initiate only irreversible processes with the entropy increase, but not with its decrease. Thus, we can not send the object from the future to the past. Process of synchronization of the time arrows (and the correspondent entropy growth law) forbids the initial conditions which are necessary for the travelling of the macroscopic object to the past (and realization of conditions for the paradox of a grandfather).

In paper [46] it is demonstrated, that for the thermodynamic time arrow it is impossible to have identical orientation with the coordinate time arrow over closed timelike curve because of the entropy growth law. The described here process of synchronization of the time arrows (concerned with infinitely large instability and ambiguity of the entropy decrease processes) is that *physical mechanism* which actually ensures both this impossibility and realization of the entropy growth law over the same thermodynamic time arrow.

For microscopic wormholes a situation is absolutely different. If initial conditions are compatible to travelling to the past over a wormhole, there are no reasons which can prevent it. If some small (even infinitesimally small!) perturbation of initial conditions leads to an inconsistency with the wormhole existence, the wormhole can be always easily destroyed [47]. Really, there appears the mentioned above property of the general relativity: infinitely large instability (ambiguity). It means that the infinitesimal perturbation of initial conditions can result in finite changing the final state during finite time!

However, it is not a solution of the grandfather paradox which is a macroscopic, not microscopic phenomenon. Really, suppose that there are two processes with opposite time arrow directions: a cosmonaut and the surrounding Universe. The cosmonaut travels over a wormhole from the Universe's future to the Universe's past. But for the eigen time arrow direction of the cosmonaut it will be travelling from its past in its future. For the general relativity theory the situation described above is impossible even in principle (in contrast with the classical mechanics): even infinitesimal interaction leads to synchronization of time arrow directions because of infinitely large instability (ambiguity) of processes with entropy decrease (in this case "process with entropy decrease" is the cosmonaut travelling from the future in the past). This synchronization of the time arrow directions can be accompanied both destroying the wormholes [47], and conservation of the wormhole and a modification of only initial conditions [46]. But actually the entropy growth law (and the corresponding synchronization of time arrow directions) *does not allow even occurrence* of such situations with an inconsistency between macroscopic initial conditions and a initially defined (unchanging and invariable) macroscopical space-time topology (including a set of wormholes) [46] Let us formulate a final conclusion: *for macroscopic processes* the infinitely large instability (ambiguity) of processes with the entropy decrease (and the correspondent synchronization of time arrow directions) does impossible occurrence of initial conditions incompatible with existence of the given wormholes. This instability also prevents both wormholes destroying, and traveling macroscopic objects to the past (resulting in "the grandfather paradox") Let us conclude. We see a

wonderful situation. The same reasons (which allowed us to resolve the reduction paradox, the Loshmidt and Poincare paradoxes) allow also resolve the information paradox of black holes and the grandfather paradox for wormholes. It is remarkable universality!

11. Ideal and Observable Dynamics

11.1 Definition of Ideal and Observable Dynamics. Why is Observable Dynamics necessary?

We see that the exact equations of quantum and classical mechanics describe **IDEAL** dynamics which is reversible and lead to Poincare's returns. On the other hand, the equations of physics describe **OBSERVABLE** dynamics, for example, of a hydrodynamic equation of viscous fluid, Boltzmann equation in thermodynamics, the law of growth of entropy in the isolated systems (master equations) - are nonreversible and are excluded by Poincare's returns to an initial state.

Let's give definition of Observable and Ideal Dynamics, and also explain necessity of introduction of Observable Dynamics. **Ideal Dynamics** is described by exact laws of quantum or classical mechanics. Why do we use the word "ideal" for our definition? Because really observed laws (entropy increase law and spontaneous reduction) contradict to Ideal Dynamics laws. This violation of Ideal Dynamics is explained or by interaction of measured systems with environment or/and an observer, or by limits of self-knowledge of the system obtained by introspection in case of both the external observer and the environment is included in the considered system. So real systems are either open or do not have full description, i.e. ideal dynamics is impossible.

Can we conclude that using physics laws is impossible in these cases? Absolutely no! The most of such systems can be described by equations of exact (or probability) dynamics, despite their non-isolation or incompleteness. We define this dynamics as **Observable Dynamics**. The most of the equations in physics named master equations (such as, for example, as hydrodynamic equations of viscous fluid, Boltzmann equation in thermodynamics, the law of growth of entropy for isolated systems) are the equations of Observable Dynamics.

In order to possess the property described above, Observable Dynamics should meet certain requirements. It cannot be operated with the full set of **microvariables**. In Observable Dynamics we use just much smaller number of **macrovariables** which are some functions of microvariables. So Observable Dynamics is much more stable with respect to initial condition errors and to external noise. Really, the microstate change does not lead inevitably to a macrostate change because one macrostate is correspondent to large set of microstates. For gas, for example, macrovariables are density, pressure, temperature and entropy. Microvariables are velocities and coordinates of all its molecules.

How can the Observable Dynamics be derived from the Ideal Dynamics? It is derived either by introduction in the Ideal Dynamics of small but finite external noise or by introduction of errors into initial state. These noise or initial state errors always exist in real experiments, but don't occur in ideal models. What is the meaning of small but finite noise? Noise or errors should be large enough to prevent non-observed appearances (inverse processes with entropy decreasing or Poincare's returns). On the other hand, noise or initial state errors should be small enough to keep dynamics of macroparameters to be unchanged for processes with entropy growth.

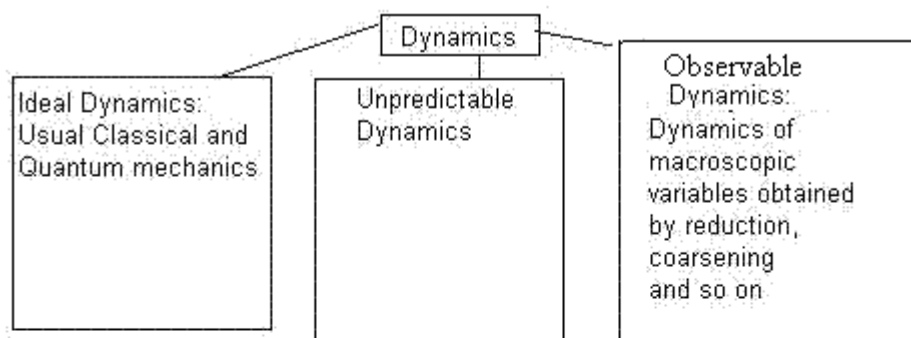


Figure 22. Three types of Dynamics.

Observable Dynamics for processes with entropy growth yields results coinciding with Ideal Dynamics. However, the inverse processes going with entropy decreasing and Poincare's returns are impossible in Observable Dynamics.

The possibility of introduction of Observable Dynamics is related to the above specified stability of the processes going with entropy growth with respect to initial conditions errors and to external noise. On the other hand, **the entropy decreasing processes, and Poincare's returns are unstable** even for small noise and small initial conditions errors. But these appearances also are not observed in real experiments.

What is the reason of entropy growth processes stability in Observable Dynamics with respect to noise (under appropriate selection of macrovariables)? Two main reasons were defined by Schrodinger [48].

The first one has been already described above. Actually, macrostate is correspondent to enormous number of molecules states. Though external noise can strongly change a state of every single molecule the full contribution of all molecules to macrostate remains unchanged. It is related to

“law of large numbers” in the probability theory [16]. An example of correspondent law can be macroscopic fluid or gas motion laws.

The second reason is related to discretization of states in quantum mechanics. As different quantum states are discrete and have strongly different energy, small noise cannot change them. It is the reason for stability of a chemical bond and allows considering macromolecule thermodynamics.

What for is it necessary to use Observed Dynamics, instead of Ideal dynamics if the two yield to identical results in all important observational situations related to entropy growth? Because **Observable Dynamics description is much simpler than that of Ideal Dynamics**. Observable Dynamics throws away unobservable processes (like inverse processes with decrease of entropy or Poincare returns) out of consideration, uses smaller number of variables and simpler equations. Besides, it allows abstracting away from small external noise or incompleteness of initial condition of the system, allowing making description of the system exact or probable.

We know that the true theory is Ideal Dynamics. Observable Dynamics yields different results. Whether it is possible to discover experimentally this difference between these two theories, provided that Ideal Dynamics is really true? Theory can be considered as either correct or not correct just if some real experiment can reject the theory. Such theory is named **falsifiable** in sense of **Karl Popper** [49]. Suppose that Ideal Dynamics is correct. Is Observable Dynamics falsifiable in the sense defined above?

For the complete physical system including the observer, observable system and a surrounding medium Observable Dynamics is not falsifiable in Popper's sense (under condition of fidelity of Ideal Dynamics). I.e. the difference between Ideal and Observable Dynamics in this case cannot be observed in experiment¹⁰.

For the system being only measured, without inclusion of an observer and an environment, Observable Dynamics basically is falsifiable. For this purpose it is necessary to exclude any influence from the surrounding medium or observer of the measured system, to prepare some known initial state, to measure final one and then to compare the obtained result with the theory. There appears temptation to ask: May be some Observable, but not Ideal Dynamics is really true? [1, 2, 8] For example, suppose that the spontaneous reduction really occurs for macroscopic systems which are large enough. I.e., the spontaneous reduction is observed not just by introspection, but for the external observer at the full

¹⁰ Nevertheless, it can be useful. Some calculation can be made easier in its framework. It can be simpler for understanding. For example, in the framework of Galileo related to the sun we can calculate planets dynamics much easier and much more precisely than in that of Ptolemy related to the Earth. Although, principally we may choose any one. Accordingly, the selection between «the Earth rotates around the Sun» and «the Sun rotates around the Earth» remains free and arbitrary. It is defined only by beauty of description and our convenience.

Similarly, in mathematical science the selection of some definitions and axioms is bounded only by our convenience and the requirement of axioms consistency. The theory explaining how to make selection is absent (unlike Göde's theorem of incompleteness). Usually, arguments of "beauty" and theorems "generality" are used to explain some choice. However, these things need more exact definitions. [50]

isolation of a macrosystem from environment noise too. However, in the case of isolated systems being not large, when Ideal Dynamics can be observationally checked, it always appears to be really true.¹¹

However, for macroscopic systems exclusion of any perturbation from surrounding medium or observer on measured system is a very difficult problem, so **practical unfalsifiability** of Observable Dynamics exists. I.e. theoretically it is possible to reject it, but in real experiment it is very difficult to make it.

Let's make here very important note. Some cases are possible when Observable Dynamics can not be formulated correctly. So the system stays unpredictable because of non-isolation or initial state incompleteness. It is the case of the **Unpredictable Dynamics** examined in the following chapter.

11.2 What is the selection of Observable Dynamics macroscopic variables restricted by?

It is of great importance that **the selection of macroparameters cannot be arbitrary**. Observable Dynamics should lead to entropy increasing law and irreversibility. For correct macrovariables definition entropy increasing processes should be stable and equivalent both for Ideal and for Observable Dynamics. On the contrary, the entropy decreasing processes should be unstable in Ideal Dynamics and impossible in Observable Dynamics. This requirement superimposes serious restrictions on selection of possible macroscopic states. So in classical statistical mechanics set of microstates, corresponding to some macrostate, look like a compact, convex drop in phase space.

This macrostate and its entropy increasing dynamics are stable with respect to small external noise. Let's consider set of the phase space points corresponding to the spreaded phase drop with set of narrow branches ("sleeves") and reverse velocities of all molecules. Such ensemble can not be correspondent to any macrostate, although the ensemble is corresponding to initial states of processes with entropy decrease. The impossibility of the correspondent macrostate is explained by instability of such set with respect to small noise. By the same reason it is impossible to select microparameters, i.e. velocities and co-ordinates of all molecules, for system decryption (even as some limiting case). In

¹¹ *Such experiments do exist and are performed for systems of the intermediate size between macro and micro, so-called mesoscopic systems. All these experiments confirm Ideal, not Observable Dynamics. In these experiments the quantum interference is observed (in the absence of a spontaneous reduction) and there are entropy fluctuations. [3, 8].*

However, for really large macroscopic systems similar experiments will not be possible in the foreseeable future. In the fundamental physics the similar situation exists for String Theories and Great Unifications. Experiment which can confirm or reject them will not be possible in the foreseeable future except for some unexpected miracle. But in the Einstein theory of gravitation which is checked up precisely only for not too large gravitation forces, the situation is similar. (We will remind here, for example, mysterious dark substance and energy, and also new gravitation theories of Milgrom [51] and Logunov [52-53]).

chaotic system such microstate is strongly unstable. Certainly, additional reason is also the enormous number of such parameters.

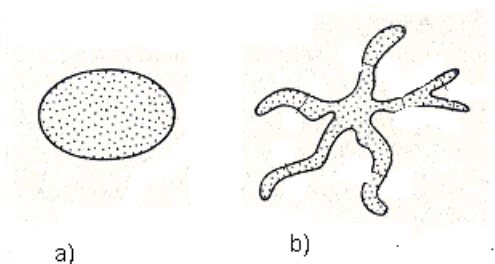


Figure 23. Possible a) and impossible b) distributions for macrostate.

Similarly, in QM there is a problem: for example, why for the basic macrostates of the Schrodinger cat do we choose two basic states defined by live or dead cat, but not two basic states defined by their difference and the sum [54]? From point of view of QM it is also possible. The reason is that an alive or dead cat is stable with respect to environment perturbations. Contrarily, their sum or difference are entangled with an environment and transfer in a mixture of an alive and dead cat during very short time. We named this process as decoherence previously. It finishes much faster than all other thermodynamic relaxational processes [20, 23-25]. I.e. selection of two states to be exactly the alive or dead cat is dictated by necessity of stability to external noise.

Which property of the Ideal Dynamics equations leads to a priority of such states? This property is **locality of interaction**. Only molecules close in space are strongly interacting. Really, states of live and dead cat are strongly separated in space. So their superposition (sum or difference) is easily reduced to their mixture by interaction with surround medium molecules. **Definition of such priority macroscopic states (named pointer states) in case of a quantum mechanics is featured in Zurek papers [21, 22].** Suppose that interaction between molecules would be defined not by closeness of molecules positions but by closeness of its momentums, for example. So in this case the priority macroscopic states (pointer states) would be absolutely different.

For system closed to thermodynamic equilibrium priority macroscopic states (pointer states) correspond to energy eigenfunctions. In energy representation at thermodynamic equilibrium a density matrix is diagonal.

Let's mention here that the selection, both macrovariables set and correspondent Observable Dynamics equations, is ambiguous. There is a large set of possible Observable Dynamicses. As a matter of fact, all thermodynamics **master equations** (for example, hydrodynamic equations of viscous fluid, Boltzmann equation in thermodynamics, the entropy growth law in the isolated systems) are Observable Dynamics equations. Various Observed Dynamics differ by their degree of «macroscopicity», and by choice of a proper macrovariables set.

Let consider an ensemble which is in equilibrium with a thermostat. in QM such ensemble is represented by energy representation of density matrix. Its nondiagonal elements, corresponding to correlations, are zero. Similarly, in the CM, in equilibrium no correlations between the molecules

exist. Two kinds of nonequilibrium exist. The first one is defined by macroscopic correlations of macroparameters. They are expressed in QM by diagonal elements, with the values different from equilibrium, for density matrix in energy representation. These correlations disappear during process named as **relaxation** to equilibrium state. The second one defined by microscopic correlations (It is quantum correlations in QM or additional unstable correlations in CM). Quantum correlations correspond to nonzero nondiagonal elements of density matrix in energy representation. These microscopic correlations are much more unstable and much faster damp than macroscopic ones. Process of their vanishing is named above as decoherence. Decoherence time is much less than relaxation time.

11.3 Two main methods for Observable Dynamics (Master equations) deriving.

Let's consider methods of Observable Dynamics deriving. According to two principal causes leading to necessity of Observable Dynamics application (i.e. external noise for external observer or incompleteness of system state knowledge for introspection), we can divide all methods of deriving of Observable Dynamics into two groups.

The first method is related to introduction of small uncontrollable noise from an external large thermostat (for example, the vacuum is thermostat with zero temperature). [20] This noise destroys the additional microscopic correlations leading to returns and reversibility.

The second method is related to incompleteness of full system state knowledge for introspection. It allows implementing coarsening ("spreading") of the function featuring system states [6, 13] (**Appendix K**). For CM such function is the phase density function, for QM it is a density matrix. If we consider CM case coarsening is flattening (averaging) phase density function in a neighborhood of each point over some time period. Between flattening evolution is featured by the usual equations of Ideal Dynamics. For QM similar procedure is related to a periodic reduction of a wave function [18] and Schrodinger equations uses between reductions. Similar methods of coarsening destroy the additional correlations leading to returns and convertibility. As we already above scored above, these correlations experimentally are not observed for an introspection case.

Observable dynamics (at introspection) should feature behavior of the system (with entropy growth) and should produce results coinciding with Ideal Dynamics, just during some finite time interval. This time is much smaller than Poincare return time. Indeed, the system cannot be observed experimentally during larger time interval because of observer memory erasing at returns.

11.4 Solution of Zeno paradox from the point of view of Observable Dynamics. Exponential particle decay is a law of Observed instead of Ideal Dynamics.

Due to necessity of Observable Dynamics concept, we can remind the above mentioned quantum **Zeno paradox**. Here we give solution of the second part of this paradox (about non-exponential decay) within framework of Observable Dynamics.

Let choose a number of undecayed particles N (with a small possible error) which is the measured macroparameter. During the initial moment t_0 there were N_0 undecayed particles. Ideal quantum dynamics of the further decay is not exponential. But quantum measuring of decay inevitably imports perturbations to Ideal dynamics, doing its inapplicable. We can reduce perturbations imported by measuring, by increasing intervals between measurements. The time interval between measurements (reductions) on the one hand should be large enough in order not to influence essentially dynamics of decay. ($\Delta t \gg \hbar / \Delta E$ where Δt - between reductions, \hbar a-constant lath, ΔE - an difference of energies between states the broken up and not broken up particles) On the other hand, the time interval must be less than an average lifetime of the decayed particle. ($\hbar / \Delta E \ll \Delta t < \tau$, where τ - a medial lifetime of decayed particle). The full time of decay process observation should be much less than Poincare's return time. Indeed, for isolated finite volume systems, including the observer, such returns are not observed because of observer memory erasing. ($n \cdot \Delta t \ll T_{\text{return}}$ where n - number of observations [reductions], T_{return} - Poincare's return time) Suppose that time interval between measurements and full time of observation are chosen correctly, i.e. satisfy all these requirements. For such case the law of decay is already strictly exponential and does not depend on concrete exact value of the chosen time interval between measurements (reductions). This **exponential law of decay** ($N = N_0 \cdot \exp(-(t-t_0) / \tau)$) **is already the law of Observable, but not Ideal dynamics**, according to the Observable Dynamics definition.

11.5 Examples of various methods of deriving Observed Dynamics by help of «coarsening»: Boltzmann equation and Prigogine's New Dynamics.

An example of Observable Dynamics is **Boltzmann equation** [5, 6]. Coarsening ("spreading") of phase density function (**Appendix K**) is produced over two stages. Over the first one, the phase density function is replaced by one particle function. It corresponds to the phase density function averaging over all particles except for one. The equation for a one-particle function is a reversible equation of Ideal Dynamics and depends on a two-particle function. The equation of Observable Dynamics is obtained by the next coarsening step. «Molecular chaos hypothesis» is introduced. It means that correlations between any two particles assume to be zero, so two-partial function is replaced by the product of two one-particle functions. Substituting such two-partial function in the equation described above we come to nonreversible and non-linear Boltzmann equation. It is very similar to QM reduction, when all correlations between possible measuring results (that is to say, nondiagonal density matrix elements) are forced to be zero.

As one more example of Observable dynamics deriving is a coarsening method used in Prigogine's «**New Dynamics**» [14, 55], (**Appendix L**). It is a very wonderful method. Both coarsening ("spreading") procedure and equations of motion (obtained by simple substitution of inverse to

coarsened function in the equations of Ideal Dynamics) are linear. In CM non-isotropic coarsening of phase density function is used. As described above, for chaotic systems in a neighborhood of each phase space point there is such direction that trajectories diverge exponentially along (**a spreading direction**). Also there is a direction that trajectories converge exponentially along (**a shrinking direction**). Just along shrinking direction coarsening ("spreading") of phase function is yielded.

Let's consider a macroscopic state corresponding to some compact, convex «phase drop». This «phase drop», spreading on a phase space, gives many "branches". The shrinking direction is perpendicular to these "branches". Therefore function coarsening along them leads to increasing «phase drop» square, and, correspondingly, to increasing of microstates number and entropy.

Now we will consider an inverse process. The initial state is described by set of phase space points gotten from final state of direct process («phase drop» spreading) by reversion of all molecules velocities. Velocities reversion does not change the spreaded «phase drop» shape. Shrinking direction becomes not perpendicular but parallel to its "branches". Therefore, for this case coarsening along **spreading** direction almost does not change «phase drop» square. Accordingly, the number of microstates and entropy also do not vary almost in contrast with magnification of entropy spread «a phase drop» at direct process.

Thus, **non-isotropic coarsening breaks time direction symmetry**. Consequently, the correspondent equations appear nonreversible.

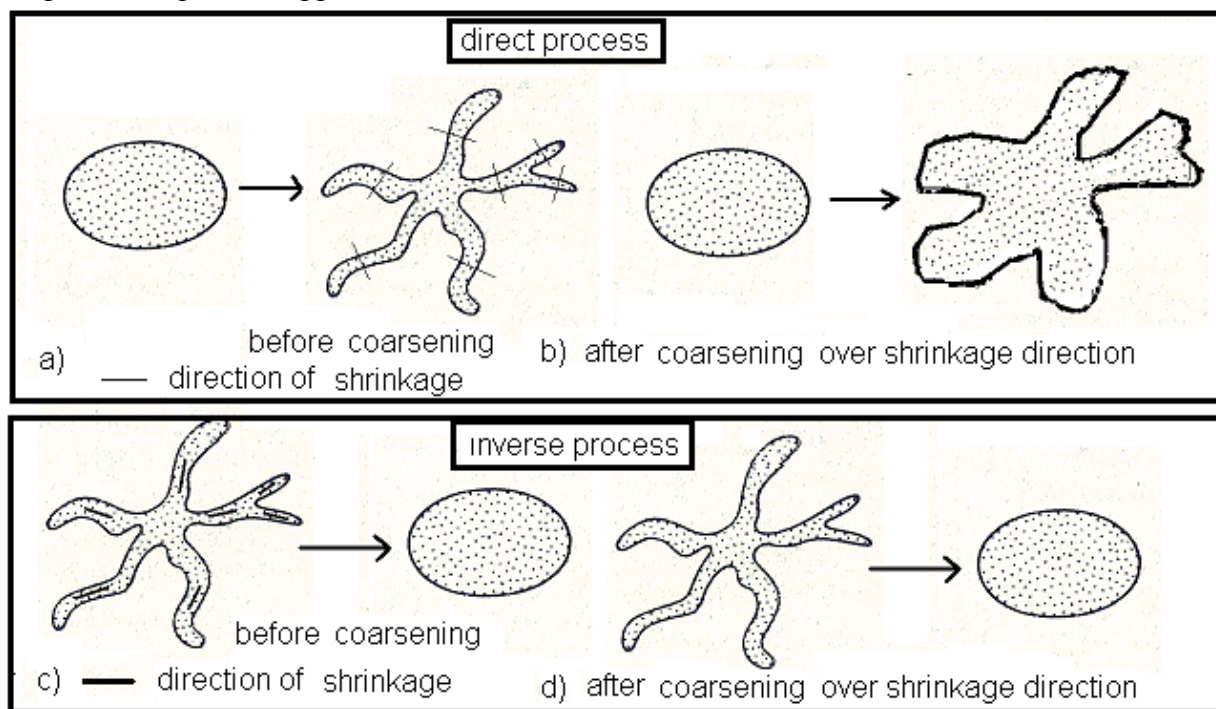


Figure 24. Direct process with macroscopic entropy increasing before coarsening **a)** and after coarsening **b)**. Inverse process before coarsening **c)** and after coarsening **d)**. Direction of shrinkage are denoted. Anisotropic coarsening is produced along direction of shrinkage in Prigogine “New Dynamics”.

Let's consider «New Dynamics» for quantum systems. Similar linear non-isotropic coarsening procedure can be yielded also in QM case, but only for infinitely large quantum systems (the infinite volume or the infinite number of particles). Finite quantum systems with a finite number of particles are almost-periodic, and have a finite return time. For such cases «New Dynamics» is not applicable¹².

Prigogine suggests considering all real quantum systems as infinitely large. The solution, however, can be much easier. Observable Dynamics has sense just during time much less than return time. System cannot be observed experimentally during large time interval because of memory erasing at returns during introspection. But for small time intervals, large volume systems behaviors in a thermodynamic limit are very similar to infinite systems behavior. The thermodynamic limit is a limit when system volume moves to infinity, but the ratio of particles number to full system volume remains constant. If we have a system, for which the thermodynamic limit does not exist at all (for example, the macromolecule) it can be considered as surrounded by environment for which such limit does exist. All these methods allow us to use the equations of “New Dynamics” also for finite QM systems.

«New Dynamics» is often subjected to criticism [34]. The basic argument against this theory is the following. "We can explain all paradoxes and problems of QM/CM without this «New Dynamics»". It is really true, and we indeed have done it in this paper. So, these critics conclude, «New Dynamics» is not necessary and redundant! But we must consider «New Dynamics» not as replacement of QM/CM (that, unfortunately, Prigogine really did), but just as one of the *useful and simple form* of its Observable Dynamics. It allows us to describe physical systems by *simpler and irreversible* laws, excepting unobservable experimentally reversibility and returns. It is its real and big advantage.

Let's consider now a situation when it is not possible to find any Observable Dynamics. This case was defined above as Unpredictable Dynamics.

12. Unpredictable Dynamics

It is not always when Ideal Dynamics, broken by exterior noise (or by incompleteness at introspection), can be replaced by predictable Observable Dynamics. For some systems its dynamics becomes unpredictable in principle. So we define dynamics of such system as **Unpredictable Dynamics**. As follows from the definition, for such systems it is impossible to introduce macroparameters typical of Observable Dynamics and to predict their behavior. Their dynamics is not featured and not predicted by scientific methods. Thus, **the science itself puts boundaries of its applicability**.

We do not doubt about fidelity and universality of basic laws of physics. But the impossibility of full knowledge of (system states)/(system dynamics laws) exists, because of interaction with the

¹² Also New Dynamics is not applicable to almost-periodic systems of CM. However, the most of real CM systems is systems with intermixing (chaotic). Therefore for CM this problem is less important.

observer/environment or incompleteness at introspection. It makes impossible full experimental verification of these basic physical laws in some cases. It gives us some freedom to change these laws, without any inconsistency with experiment. When these modifications lead to predicted dynamics of system it is named as Observable Dynamics. For the other case when any predicted dynamics is not possible, it is already named as Unpredictable Dynamics.

Let's give some examples of Unpredictable Dynamics.

1) Phase transition or bifurcation points. It is a place or *point* of branching or forking of a single macroscopic state, featured by Observable Dynamics, into some set of possible macroscopic states. This branching occurs by changing some regulated external parameter or by time evolution. In these points Observable Dynamics loses the unambiguity. There are huge macroscopic fluctuations and using macroparameters becomes senseless. Evolution also becomes unpredictable in these points, i.e. there is Unpredictable Dynamics.

2) In the modern cosmological models there are additional appearances, except for appearances already featured above. They are related to losses of the information and correspondent incompleteness of system state knowledge. It is Black Hole or unobservable Universe space existing out of observer light cone.

3) Case of uncontrollable unstable microscopic **quantum correlations for system isolated from decoherence** of environment. Suppose that some observer fixes the initial state of quantum system. He can predict and measure any future system state providing no interaction between observed system and environment or observer exists before this measurement. Let us consider another external observer who doesn't know the initial system state. Unlike for the first observer, system behavior is unpredictable for him principally. Really, any attempt of the second observer to measure system state unpredictably destroys system quantum correlations and correspondent evolution. I.e. from the point of view of the second observer there is Unpredictable Dynamics. Well-known examples of such systems are **quantum computers** and **quantum cryptographic transmitting systems** [23-25].

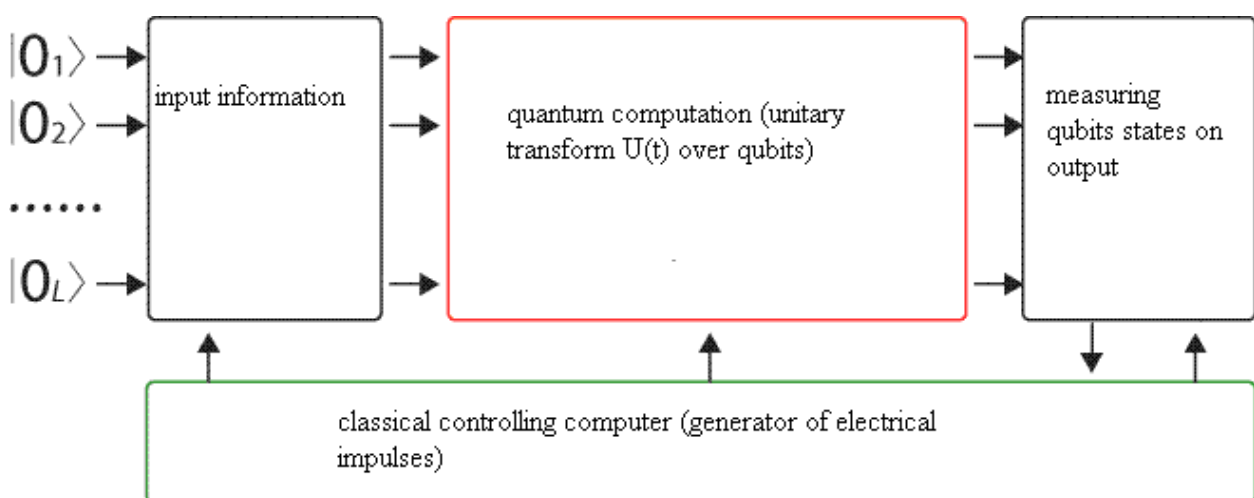


Figure 25. Quantum computer.

Quantum computer is unpredictable for any observer who does not know its state in the beginning of calculations. Any attempt of such observer to measure intermediate state of quantum computer during calculation destroys calculation process in unpredictable way. Its other important property is high parallelism of calculation. It is a consequence of QM laws linearity. Initial state can be chosen as the sum of many possible initial states of “quantum bits of the information”. Because of QM laws linearity all components of this sum can evolve in independent way. This parallelism allows solving very quickly many important problems which usual computer can not solve over real time. It gives rise to large hopefulness about future practical use of quantum computers.

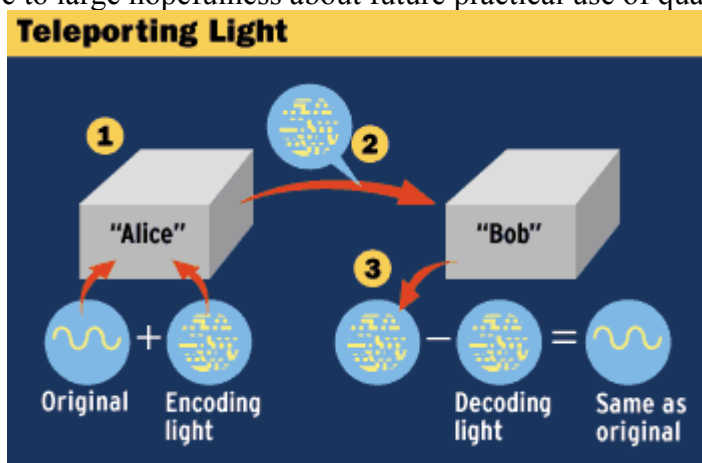


Figure 26. Quantum encoding and decoding. (Fig. from [102])

Quantum cryptographic transmitting systems use property of the unpredictability and unobservability of “messages” that can not be read during transmitting by any external observer. Really, these “messages” are usual quantum systems featured by quantum laws and quantum correlations. An external observer which has no information about its initial states and try make measuring (reading) of "message" over transmission inevitably destroy this transmission. Thus, message interception appears *principally* impossible under physics laws.

It should be emphasized, contrary to the widespread opinion, that both quantum computers and quantum cryptography [23-25] have classical analogues. Really, in classical systems, unlike in quantum systems measuring can be made precisely in principle without any measured state distorting. However, in classical chaotic systems as well there are the uncontrollable and unstable microscopic **additional correlations** resulting in reversibility and Poincare's returns. Introducing “by hands” some small finite perturbation or initial state errors destroys these correlations and erases this principal difference between classical and quantum system behavior. Such small external noise from environment always exists in any real system. By isolation of chaotic classical systems from this external noise we obtain **classical analogues of isolated quantum devices with quantum correlations** [86-87].

Analogues of quantum computers are the **molecular computers** [56, 86-87]. The huge number of molecules ensures parallelism of evaluations. The unstable microscopic additional correlations

(resulting in reversibility and returns) ensure dynamics of intermediate states to be unpredictable for the external observer which is not informed about the computer initial state. He would destroy computer calculation during attempt to measure some intermediate state.

Similar arguments can be used for **classical cryptographic transmitting systems** using these classical unstable microscopic additional correlations for information transition. "Message" is some classical system that is chaotic in intermediate states. So any attempt to intercept it inevitably destroys it similarly to QM case.

4) Conservation of unstable microscopic correlations can be ensured not only by passive isolation from an environment and the observer but also by active dynamic mechanism of perturbations cancelling. It happens in so-called physical **stationary systems** in which steady state is supported by continuous **stream of energy or substance through system**. An example is a micromaser [57] – a small and well conducting cavity with electromagnetic radiation inside. The size of a cavity is so small that radiation is necessary to consider with the help of QM. Radiation damps because of interaction with conducting cavity walls. This system is well featured by density matrix in base energy eigenfunction. This eigenfunctions are Zurek's "pointer states" (similarly to any system of closed to equilibrium). Such set is the best choose for Observable Dynamics. Microscopic correlations correspond to nondiagonal elements of the density matrix. Nondiagonal elements converge to zero much faster than diagonal ones during radiation damping. In other words, decoherence time is much less than relaxation time. However, beam of excited particles, passing through a micromaser, leads to the strong damping deceleration of density matrix nondiagonal elements (microcorrelations). It also leads to non-zero radiation in steady state.

5) An example of very complex stationary systems is alive systems. Their states are very far from thermodynamic equilibrium and extremely complex. These systems are high ordered but their order is strongly different from an order of lifeless periodical crystal. Low entropy disequilibrium of the live is supported by entropy growth in environment¹³. It is metabolism - the continuous stream of substance and energy through a live organism. On the other hand, not only metabolism supports disequilibrium, this disequilibrium is himself catalytic agent of metabolic process, i.e. creates and supports it at necessary level. As the state of live systems is strongly nonequilibrium, it can support existing unstable microcorrelations, disturbing to decoherence. These correlations can be both between parts of live system, and between different live systems (or live systems with lifeless system). If it happens dynamics of live system can be referred to as Unpredictable Dynamics. Huge successes of the molecular biology allow describing very well dynamics of live systems. But there are no proof that we capable to feature completely all very complex processes in live system.

It is very difficult to analyze real live systems within framework of Ideal, Observed and Unpredictable Dynamics because of their huge complexity. But it is possible to construct mathematical models of much less difficult nonequilibrium stationary systems with a metabolism. We can really analyze such systems. This is important problem for the further job of physicists and mathematicians. Some steps to this direction are described below in chapter about synergetic systems.

¹³ So, for example, entropy of *epy Sun* grows. It is an energy source for life on the Earth.

Let us do some important remark. Unstable microcorrelations exist not only in quantum, but also in classical mechanics. For example, they exist in classical chaotic systems (with intermixing). Hence, such models should not be only quantum. They can be classical too! It is very frequent error supposing only the quantum mechanics can feature similar appearances [1, 2]. Above we specified already many times that introduction "by hands" of small but finite interaction or initial state errors erase unstable microcorrelations. Hence, principal difference between quantum and classical mechanics disappears.

6) The cases featured above do not describe all possible types of Unpredictable Dynamics. The exact requirements at which Ideal Dynamics transfers into Observable and Unpredictable Dynamics is the problem which is not solved completely yet by mathematics and physics. Another problem which is not solved completely yet (and, apparently, related to the previous problem) is the important role of these three types of Dynamics in complex (live) systems. The solution of this problem will allow understanding more deeply the physical principles underlying the life. We will devote the following chapter to this problem.

13. Complex (live) systems.

Let's mention here that while the previous statements were strict and exact, statements in the current chapter are more hypothetical. Let's assume in this chapter that the life completely corresponds to laws of physics. The following problems should be considered below:

What is the life and death from the point of view of physics?

Are there some live organism properties that are not compatible to physics?

What are properties of live systems different from lifeless systems from the point of view of physics?

When live systems have consciousness and free will from the point of view of physics?

The life is defined, usually, as special high ordered form of organic molecules existence, possessing ability to metabolism, reproduction, adaptation, motion, and response for external irritants, ability to self-preservation or even to rise of self-organizing. This is a true but too narrow definition: many of live systems possess only a part from these properties, some of these properties also exist in lifeless substance, and inorganic form of life can exist too.

13.1 Life from the point of view of physics - the previous papers.

The first attempt to describe the life from the point of view of physics has given by Schrodinger [48]. In this book life has defined as an aperiodic crystal, i.e. the high ordered¹⁴ form of substance but not based on simple repetition as normal crystals are. It also has given two reasons doing Observable

¹⁴ It means - possessing low entropy. The live system "eats" negentropy from its environment. Thus, it is an essentially open system.

Dynamics of live systems stable to interior and exterior noise: the statistical "law of large numbers" and the step-type behavior of quantum transitions ensuring a stability of chemical bonds. It has marked similarity of live organism and clock: for both cases there is «an order from the order» despite high temperature noise.

The following step to understanding of life was made by Bohr [58]. He paid attention at the fact that according to QM full measuring of live system state inevitably perturbs its behavior. It results in unpredictability and incognizable character of life. The criticism of these sights of Bohr by Schrodinger [59] is not well-grounded. He writes that the full knowledge of quantum system state is probabilistic. So (unlike a classical case) the full quantum system state knowledge allows to predict the future just probably. The problem, however, consists in the fact that measuring creates *stronger* ambiguity than the probabilistic character defined by QM. I.e. it is impossible to predict its behavior even probably! In absence of measuring the behavior would be different, than at its presence [41]. Measuring erases unstable classic (or quantum) correlations between system parts, changing its behavior. Thus, measuring makes behavior of system to be principally unpredictable, and not just probabilistic. It happens not just in QM, but also in CM where between real systems there is a small finite interaction destroying unstable additional microcorrelations.

In Bauer's¹⁵ book [60] it was marked that high ordering (low entropy) are defined not only by nonequilibrium distribution of material in live organism but also by high-ordered (strongly unstable) structure of a live substance. This strongly unstable structure is not only supported by metabolism process but also it is catalytic agent for this metabolism. Seemingly, proteins or viruses have ordered structure also in the crystalline form. However, in a live substance it is possible to meet their much more high-ordered and low-entropy modifications. Eventually, nevertheless, there is degradation of structure in time. It leads to inevitability of death and necessity of reproduction for the conservation of life phenomena. I.e. metabolism process only very strongly decelerates decay of the complex live substance structure, instead of supporting them to be unchanged. The experiments described by Bauer confirm energy production and respective entropy increasing in autolysis. Autolysis is decay of a live substance because of lack of supporting metabolism. At the first stage of process energy is produced because of destruction of strongly unstable initial structure of live substance, and at the second stage of process - because of action of appearing or releasing protolytic (decomposing) enzymes. Bauer considered existence of this overmuch *structural* energy as an essential feature of life.

Most of the above-mentioned papers considered only individual live organisms, whereas in fact it is possible to define and describe life as the totality of the live organisms (biosphere). Here the issue of the origins of life arises. The most complete answer to these questions from the point of view of modern physics is given in the paper of Elitzur [38]. The origin of life in this paper is considered as an ensemble of self-replicating molecules. Coming through the sieve of Darwinian natural selection, life accumulates the genetic information (or rather *useful* information (knowledge), in terms suggested by Elitzur) about the environment. This increases the level of the system's organization (negentropy) in agreement with the second law of thermodynamics. Lamarck's views in their too straightforward

¹⁵ Bauer is a talented Soviet biophysicist who tragically perished in Stalin's prisons. He was considerably ahead of time.

formulation were shown to contradict this law of physics. A wide range of issues is discussed in this paper. However, it has also the following drawbacks:

The description is true for life as a whole, i.e. as a phenomenon, but not so for an individual live organism.

The suggested reasoning disproves just the most simple and straightforward version of Lamarck's theory, whereas there is a number of hypotheses and experiments illustrating the possibility of realization of Lamarck's views in real life [61].

In Elitsur's view, the self-organizing dissipating systems suggested by Prigogine (e.g., Benard cells [62]), in contrast to the live organisms, are denied the adaptation capability. Naturally, the adaptability of Benard cells is incomparable with that of live systems, but still they do exist, even if in a very primitive form. Thus, Benard cells change their geometry or even disappear depending on the temperature difference between the upper and lower layers of the fluid. This can be well considered a primitive form of adaptation.

13.2 Life as process of preventing relaxation and decoherence. Conservation of both macroscopic correlations and unstable classical (or quantum) microscopic correlations.

Bauer determines life as a highly unstable system of self-maintaining due to motion and metabolism. Live systems resist to transition from an unstable state to a more stable one. We can suppose that this instability is mostly due to strongly unstable (additional in CM or quantum in QM) microscopic correlations. Live systems tend to maintain these correlations and preserve them resisting to decoherence process. It must be mentioned that live systems can support such correlations both between their internal parts and with an environment.

Let's remind that we define two types of correlations in physical systems, the first one being stable to small external noise macroscopic correlations between system parameters. For example, it is connection between pressure, density and temperature for ideal gas. The second type is unstable microscopic correlations which lead to reversibility and Poincare's returns, both in quantum and in classical systems. Decoherence destroys these correlations, breaking reversibility and preventing returns. It leads to entropy increasing law. We assume that live systems possess ability to conserve these unstable correlations, slowing down or preventing decoherence.

Let's compare live and lifeless systems property to inhibit destroying and transformation to thermodynamic equilibrium. Systems can actively inhibit to relaxation process. Indeed, it is a case of live or lifeless stationary systems exchanging energy or substance with an environment. However, the system can inhibit not just to relaxation but also to decoherence. In lifeless systems it can be achieved by passive way, i.e. by isolation of the system from an environment. In live open systems it is reached by active interaction with environment, by external and internal motion, by metabolism.

Ability of life to support not only macroscopic but additional classic (or quantum) microscopic correlations makes life to be unpredictable, as it was assumed by Bohr. It is important that quantum

mechanics is not necessary here; similar correlations exist also in classical mechanics. Analogue of quantum correlations are additional microscopic correlations in CM.

Successes of the molecular genetics do not contradict to influence of unstable and unpredictable correlations which may be essential for life. It is possible to create some type of Observable Dynamics for life. Really, live systems are open systems actively interacting with a casual environment. The exterior observer interacts with them usually much less and cannot change in their behavior considerably. However, an attempt to understand and to predict life too explicitly and in details can break the complex and thin correlations conserved by life. It can lead to Unpredictable Dynamics of live systems, resulting in effect predicted by Bohr.

13.3 Synergetic systems - models of physical properties of complex (living) systems.

Let's introduce concept of synergetic physical systems. We will define them as simple physical or mathematical systems illustrating some properties of complex (live) systems. First of all, we are interested in synergetic models of systems, capable to inhibit external noise (decoherence in QM). They conserve system correlations (quantum or classical), leading in reversibility or Poincare's to returns.

There are three methods to construct such systems:

1) The Passive method: it is creation of some "walls" impenetrable for noise. Examples are models of modern quantum computers.

2) The Active method, inverse to passive one: it is some kind of dissipative or live systems, conserving disequilibrium with the help of active interaction environment and also interchanging by energy and substance with environment (metabolism). It seems that the future models of quantum computers should be found in this field.

3) When correlations are considered for system including the whole Universe. The external noise is impossible here. Source of correlations for such system is Big Bang. We will define these correlations, correspondent to whole Universe, as **global correlations**.

Two factors ought to be noted here:

1) Many complex systems during their evolution pass dynamic bifurcation points (time moments). There is a set of possible future evolution ways after this moment of time but not just a single one. Selection of one of them depends on small perturbation of system state in bifurcation time moment [63-65]. In this moment even very small correlations (which can be conserved with the help of methods, describe above) can make enormous influence on evolution of the system. Existence of such correlations restricts predictive capability of physical science but does not restrict our personal intuition. Nevertheless, since we are integral part of this Universe we can really be capable to "anticipate" these correlations at some subjective level in principle. Whereas these correlations are impossible for experimental scientific observation, no contradiction with scientific laws exists here.

2) Very powerful sources of negentropy from an environment are necessary for both passive and active correlations conservation methods. Therefore full entropy of system and its environment can only increase. The entropy increasing law continues to be correct for full system including observable system, environment and observer, though it is not correct for observable system only. Entropy reduction in full system can happen in principle (in according with Ideal dynamics), but it is unobservable, as explained above. So we need not consider such unobservable situations.

Let's demonstrate some examples of synergetic models for physical processes.

So, crystals growth models ability of live systems reproduction. By the way, the analysis of these systems allows discovering a doubtful place [66-67] in Wigner's argumentation [27] about inconsistency between life organism reproduction ability and QM. Let's assume that interaction between reproducing **quantum** system and its environment **is random**. For such interaction Wigner really proves that reproduction probability is close to zero. However, actually this interaction is not casual but defined by a crystalline lattice of already existing crystal. In live organisms for protein synthesis process there crystalline lattice is replaced by existing DNA nucleotide sequence, so the interaction is not random too.

The active deceleration of decoherence, similar to active correlations conservation methods in live systems, exists in open systems like micromasers already described above [57]. They are a one more example of synergetic systems.

One more active mechanism of decoherence inhibition is so-called «**quantum teleportation**» [24]. This process can reproduce the exact copy of any initial quantum state accompanied by destroying of this initial state. (To create copy of any quantum state accompanied by conservation of this state is impossible in QM [24].) We can reproduce this copying over and over again with small time intervals. It is possible to conserve any initial quantum system state for a long time with the help of such a process inhibiting decoherence. This process is equivalent to conservation of the initial measured state in the described above paradox «kettle which never will begin to boil». It is observed at multiple and frequent measuring of a current state. But there exists difference between these two cases too. For «quantum teleportation» case the initial state remains not just unchanged like “kettle paradox” case but also unknown.

Dissipative systems are active synergetic systems too. They illustrate properties of open live systems to relaxation deceleration, conservation of low entropy and primitive form of adaptation to surrounding medium change.

The other example is the quantum isolated systems (for example, the modern quantum computers at low temperatures). They demonstrate the property to conserve unstable quantum correlations. It is similar to conservation of the strong instability in the live systems, related also to conservation of similar quantum or classical correlations. However, unlike live systems, this conservation is passive. Penrose gives example of such systems, probably used by a brain for thinking [1, 2]. It is system of tubulin dimers serving as a basis for cytoskeleton microtubules of neurons (main cells of brain). The system of tubulin dimers is considered by Penrose as some quantum computer [23-25]. Even if this hypothetical model is not true it would illustrate **principal possibility** of quantum correlations existence in brain. Analogue of quantum correlations in CM are additional unstable microcorrelations, and analogue of the quantum computer is the molecular computer with these

additional correlations between molecules. Similar correlations appear in chaotic or almost chaotic classical systems (with intermixing). Probably it is possible to construct model of brain also on the basis of such classical (not quantum) chaotic systems. Thus they would have all properties of quantum computers - unpredictability, parallelism of calculations. Since Penrose wrongly considers classical chaotic systems as unsuitable for modeling of live systems, so he even does not consider such possibility.

Other example of synergetic systems illustrating properties of quantum correlations are the quantum oscillating systems almost isolated from an environment [8]. Let suppose there is some superconducting ring. State "A" corresponds to clockwise current, and a state "B" counter-clockwise one. Then this oscillating quantum almost isolated system can change its states by following: $A \rightarrow A+B \rightarrow B \rightarrow A-B \rightarrow A$. Here "A+B" and "A-B" are quantum superposition of states A and B. Suppose we would like to measure current directions in the ring. Such measuring can destroy superposition state if system would exist in such state at the moment of measuring. Thus, it can change dynamics of system and destroy quantum correlations between states of superposition [8].

It is possible to construct another example of oscillation system sensitive to measuring, which may be interesting for biologists and chemists. It will have actively protection from external noise influence. Let we have a process consisting of three stages. At the first stage there appears enzyme with unstable conformation "A". At the second stage it catalyzes some chemical process. In turn, this process inhibits destroying of unstable conformation A. Let us consider more complex situation. Let suppose there are two unstable conformations "A" and "B" which are capable to catalyze process at the second stage. Enzyme has no fixed conformation "A", but sequential set of unstable transitions from A to B, from B to A, and so forth. At third stage enzyme goes to the third chemical reaction. If at its initial moment enzyme was in conformation A it indeed would catalyze this reaction. Otherwise, no catalysis appears. Thus the third stage depends on finite enzyme conformation state at the end of the second stage. Let during the second stage (at some time moment) we decided to measure enzyme conformation state (by nuclear magnetic resonance, for example). As transition process from A to B (or B to A) is unstable, measuring can break phase of this process. As result, at third stage beginning enzyme can come at conformation B instead of A. Thus, the third stage reaction can not begin. So measuring intermediate enzyme state can destroy process, changing its result products. It can be true, both for quantum, and for the classical mechanics types of process.

With the help of synergetic "toy" models it is possible to understand synchronicity (simultaneity) not coupled casually processes and global correlations phenomena.

Example are nonstationary systems with "peaking" (blow up) [63-65] considered by Kurdyumov's school. In these processes some function is defined on plane. Its dynamics is featured by the non-linear equations, similar to the burning equation. Blowing up solution function can converge to infinity for *finite* time in single or several closed points on plane. It is interesting that function comes to infinity in all these points at the same moment of time, i.e. synchronously.

By means of such models we can illustrate population growth (or engineering level of civilizations) in megacities of our planet [68]. Points of the infinity growth are megacities, and population density is a function value.

Let's complicate the problem. Suppose that during some initial time moment there is very fast expansion ("inflation") of the plane with blowing up process. Nevertheless, processes of converging to infinity in points set remain synchronous despite that these points already are not closed and lie at huge distance.

This more complex model can explain qualitatively synchronism of processes in very far parts of our Universe after fast expansion caused by Big Bang ("inflation"). These blowing up processes appear only at some narrow set of burning equation coefficients. It allows drawing analogy with «anthropic principle» [69]. Anthropic principle states that fundamental constants have such values to allow our observed Universe to appear with anthropic entities inside, capable to observe it.

It is also interesting to illustrate the complex processes by means of "cellular" models. A good example is the discrete Hopfield model [70, 71]. This system can be featured as a square two-dimensional lattice of meshes which can be either black or white. We will set some initial state of a lattice. Coefficients of the linear interaction between meshes are unequal. They can be chosen in such a way that during its discrete evolution the initial state transfers in one of possible terminating states from previously defined known set of states (attractors). Let these attractors be A or B letters.

There are such initial unstable states which differ just on one mesh (a critical element). Thus, one of them has attractor A, and another one - B. Such synergetic model is a good illustration of *global instability of complex systems*. It also shows that this instability features the system as a whole, but it is not feature of some its parts. Only an external observer can change critical element and thus change the system evolution. Внутренняя динамика самой системы сделать это не может. Internal dynamics of the system itself is not capable of it. *Global correlation* between meshes of unstable initial state define unambiguously which attractor must be chosen by this lattice (either A or B).

This model can be interpreted as a neural network with feedback or as a spin lattice (spin glass) with unequal interactions between spins. The system can be used for pattern recognition.

It is possible to complicate model. Let each mesh in the lattice featured above itself is a similar sub-lattice. Let assume that the process runs in two stages.

At the first stage, large meshes do not interact, interaction is only in sub-lattices which change under the usual method. Initial states of all sub-lattices can be chosen as unstable. We will associate the final state A of sub-lattices as a black mesh of the large lattice, and B - as a white one.

The second stage of evolution is defined as usual evolution of this large lattice already, without modifications in sub-lattices. Its initial state which appeared at the previous stage can be unstable too.

Let the total state of coarsened lattice be the letter A, and its each large mesh is A too. Let us name this state «A-A». Then appearance of this exact final state (but not some different one) is capable to explain correlations in unstable initial state by global meshes and by defined values of interaction coefficients between meshes.

Let's assume that before the featured above two stages process our coarsened lattice occupied a very small field of space but as a result of expansion ("inflation") was extended to enormous sizes. It

was only thereafter when the process featured above had begun. So it is possible to explain existence of global correlations in unstable initial state (resulting in lattice attractor «A-A») by initial closeness of meshes (before "inflation"). A specific selection of interaction coefficients between meshes (also resulting in attractor «A-A») is possible to explain similarly to «anthropic principle».

Indeed, this coarsened lattice can be compared to our "Universe". Its big meshes (sub-lattice) can be compared to "live organisms", inhibiting (actively or passively) «decoherence». «Decoherence» is an influence of some big mesh "environment" (i.e. influence of other meshes) on processes existing inside this mesh. Then global correlations of unstable initial lattice states can serve as analogues of possible global correlations of unstable initial state of our Universe, and interaction coefficients of meshes correspond to fundamental constants. Initial process of lattice expansion corresponds to Big Bang.

13.4 Hypothetical consequences explaining life as a method for correlations conservation.

The definition of life as the totality of systems maintaining correlation in contrast to the external noise is a reasonable explanation of the mysterious silence of Cosmos, i.e. the absence of signals from other intelligent worlds. All parts of the universe, having the unique center of origin (Big Bang), are correlated, and life maintains these correlations which are at the base of its existence. Therefore the emergence of life in different parts of the Universe is correlated, so that all the civilizations have roughly the same level of development, and there are just no supercivilizations capable of somehow reaching Earth.

The effects of long-range correlations can explain at least a part of the truly wonderful phenomena of human intuition and parapsychological effects. A well-known psychiatrist Charles Jung wrote about it in his paper "On Synchronicity" [72-75]. We will cite here the most interesting fragments from this paper. Here is a fragment defining "synchronicity":

“But I would rather approach the subject the other way and first give you a brief description of the facts which the concept of synchronicity is intended to cover. As its etymology shows, this term has something to do with time or, to be more accurate, with a kind of simultaneity. Instead of simultaneity we could also use the concept of a meaningful coincidence of two or more events, where something other than the probability of chance is involved. A statistical- that is, a probable concurrence of events, such as the "duplication of cases" found in hospitals, falls within the category of chance...

...space and time, and hence causality, are factors that can be eliminated, with the result that acausal phenomena, otherwise called miracles, appear possible. All natural phenomena of this kind are unique and exceedingly curious combinations of chance, held together by the common meaning of their parts to form an unmistakable whole. Although meaningful coincidences are infinitely varied in their phenomenology, as acausal events they nevertheless form an element that is part of the scientific picture of the world. Causality is the way we explain the link between two successive events. Synchronicity designates the parallelism of time and meaning between psychic and psychophysical

events, which scientific knowledge so far has been unable to reduce to a common principle. The term explains nothing, it simply formulates the occurrence of meaningful coincidences which, in themselves, are chance happenings, but are so improbable that we must assume them to be based on some kind of principle, or on some property of the empirical world. No reciprocal causal connection can be shown to obtain between parallel events, which are just what gives them their chance character. The only recognizable and demonstrable link between them is a common meaning, or equivalence. The old theory of correspondence, was based on the experience of such connections- a theory that reached its culminating point and also its provisional end in Leibniz' idea pre-established harmony, and was then replaced by causality. Synchronicity is a modern differentiation of the obsolete concept of correspondence, sympathy, and harmony. It is based not on philosophical assumptions but on empirical experience and experimentation.”

Here is citation giving an example of «synchronicity» from Jung’s personal experience:

“I have therefore directed my attention to certain observations and experiences which, I can fairly say, have forced themselves upon me during the course of my long medical practice. They leave to do with spontaneous meaningful coincidences of so high a degree of probability as to appear flatly unbelievable. I shall therefore describe to you only one case of this kind, simply to give an example characteristic of a whole category of phenomena. It makes no difference whether you refuse to believe this particular case or whether you dispose of it with an ad hoc explanation. I could tell you a great many such stories, which are in principle no more surprising or incredible than the irrefutable result arrived at by Rhine, and you would soon see that almost every case calls for its own explanation. But the causal explanation the only possible one from the standpoint of natural science breaks down owing to the psychic relativization of space and time which together form the indispensable premises for the cause-and-effect relationship.

My example concerns a young woman patient who, in spite of efforts made on both sides, proved to be psychologically inaccessible. The Difficulty lay in the fact that she always knew better about everything. Her excellent education had provided her with a weapon ideally suited to this purpose, namely a highly polished Cartesian rationalism with an impeccably "geometrical" idea of reality. After several fruitless attempts to sweeten her rationalism with a somewhat more human understanding, I had to confine myself to the hope that something unexpected and irrational would turn up, something that burst the intellectual retort into which she had sealed herself. Well, I was sitting opposite of her one day, with my back to the window, listening to her flow of rhetoric. She had an impressive dream the night before, in which someone had given her a golden scarab-a costly piece of jewellery. While she was still telling me this dream, I heard something behind me gently tapping on the window. I turned round and saw that it was a fairly large flying insect that was knocking against the window from outside in the obvious effort to get into the dark room. This seemed to me very strange. I opened the window and immediately caught the insect in the air as it flew in. It was a scarabaeid beetle, or common rose-chafer, whose golden green color most nearly resembles that of a

golden scarab. I handed the beetle to my patient with the words "Here is your scarab." This broke the ice of her intellectual resistance. The treatment could now be continued with satisfactory results.

This story is meant only as a paradigm of the innumerable cases of meaningful coincidence that have been observed not only by me but by many others, and recorded in large collections. They include everything that goes by the name of clairvoyance, telepathy, etc., from Swedenborg's well-attested vision of the great fire in Stockholm to the recent report by Air Marshal Sir Victor Goddard about the dream of an unknown officer, which predicted the subsequent accident to Goddard's plane.

All the phenomena I have mentioned can be grouped under three categories:

1. The coincidence of a psychic state in the observer with a simultaneous, objective, external event that corresponds to the psychic state or content (e.g., the scarab), where there is no evidence of a causal connection between the psychic state and the external event, and where, considering the psychic relativity of space and time, such a connection is not even conceivable.

2. The coincidence of a psychic state with a corresponding (more or less simultaneous) external event taking place outside the observer's field of perception, i.e., at a distance, and only verifiable afterward (e.g., the Stockholm fire).

3. The coincidence of a psychic state with a corresponding, not yet existent, future event that is distant in time and can likewise only be verified afterward.

*In groups 2 and 3 the coinciding events are not yet present in the observer's field of perception, but have been anticipated in time in so far as they can only be verified afterward. For this reason I call such events **synchronistic**, which is not to be confused with **synchronous**."*

This «synchronicity» described by Jung from the scientific point of view can be explained not just by accidental coincidence but also by unstable unobserved correlations existing between live organisms and environmental objects. As we already wrote above, metabolism processes can support such correlations and inhibit their «entangling» with an environment during decoherence. As these correlations are unstable, they are not observed (i.e. correspond to Unpredictable dynamics). This explanation does not necessarily require the use of quantum mechanics, since similar correlations can be found in classical mechanics that have analogues of the quantum correlations. Attribution of such correlations exclusively to quantum mechanics is a common mistake.

Unobservability of these correlations for the external observer does not mean that they can not be registered by our subjective experience in form of some «presentiments». Similarly, the external

observer cannot measure or predict calculation result of quantum computer because any attempt of doing it would destroy this calculation. Let assume that the quantum computer has some "consciousness". Then he can have some "presentiment" of a future result of calculation, unlike the external observer who can not.

The above consideration **does not "prove"**, however, that «synchronicity» is actually related to unstable correlations. We can just conclude that such assumption does not contradict to physics. Any observational verification of this hypothesis does not seem possible **in principle**. The reason is **principal unobservability of these correlations**.

For example, let's assume that some person had started two initially correlated quantum computers and knew their initial state. Further it got dead or disappeared. Then we never can predict future calculations results for these two computers. If we would see some correlations between its calculations results (for example, they are the same) we have not any way to choose between two possibilities: it is caused by initial conditions correlations or it can be explained by simple accidental coincidence. Indeed, any attempt to measure internal state of quantum computer during calculation process leads inevitably to destroying its correct operation! Similar reasonings are correct not only for quantum but also for chaotic classical systems with unstable additional microscopic correlations.

May be our real World of live entities actually is also a set of such correlated computers with unobservable unstable correlations between them? And the role of live substance consists just in conservation of these correlations? Only God can know their exact initial state if we suppose His existence. But existence of such correlations is quite possible, because our World has appeared from a single point as a result of «Big Band». And all live organisms on our planet, may be, can be a result of unique "protocell" evolution.

Large human insight and some parapsychological effects can lie in a narrow field, on the verge of comprehensibility by exact science. This is the field of Unpredictable Dynamics. Their basic elusiveness and instability does not allow for natural selection to increase these properties [76, 77]. Because of instability and unpredictability it also is not possible to investigate these appearances by scientific methods. Though these appearances do not contradict to any physical laws and are quite possible from point of view of physics.

Mensky [4] in his book also tries to justify some fine points of human intuition and parapsychological effects through specific features of quantum mechanics. However, he makes some very typical errors.

1) For explanation of these effects there is no necessity of quantum mechanics laws "violations". For example, no transitions to other parallel Worlds (introduced by Multi-world interpretation) by means of "consciousness forces" of some "medium" are necessary. It is enough to assume some correlation between desires of "medium" and happening events. Because of these correlations the environment can "play along" our desires. In turn, the consciousness, because of these correlations can "have a presentiment" of the future. Attempt "to measure" or "to discover" these unstable quantum correlations will lead just to their vanishing and nonreversible changing further evolution. Any "violation" of usual quantum mechanics laws by "medium" is not necessary.

2) Effects, similar to quantum ones, can happen in classical chaotic systems too. Accordingly, all these effects can be modeled classically, without quantum mechanics.

3) Mensky writes about complexity and even impossibility of validation of individual system evolution from the scientific point of view. During such evolution we observe non-repeated events. Their probabilities are described by different probability distributions. Really, usually in a science for verification of some probabilistic theory, an ensemble of the same events is used with the help of «law of large numbers». [16] Nevertheless, there is the “law of large numbers” for events of different kinds too! (Generalized Chebyshev’s theorem, Markov’s theorem) [16] Hence, by means of these statements consistency in QM laws can be examined also for such a complex set of different events, correspondent to individual system evolution.

14. Conclusion.

Thus, **this paper is not** just a kind of **abstract philosophical discussion**. Lack of understanding of the principles discussed in this paper can lead to mistakes in solving physical problems. Most of the real systems cannot be described with ideal equations of quantum or classical mechanics. The influence of the measurement and environment on the system (which is inevitable in quantum mechanics and almost always present in classical mechanics) disturbs the evolution of the system. The attempt to include the observer and the environment into the system to be described leads to the paradox of the self-observing system (see **Appendix M**). Such system cannot measure and retain complete information on its own state. Even the approximate (self-) description in such system can only have applicability in time domain limited by times small enough to be much less than the return time for this system. After this return time is determined according to the Poincare’s theorem all the information concerning the previous state of the system is inevitably erased. However, the description of the system in this case is possible in the frame of observable dynamics. The possibility of such description is explained by the independence of observable dynamics on the type and value of external noise for a wide range of noise types, thus observable dynamics is determined only by the properties of the system itself. Observable dynamics can be based on roughening of the distribution function or density matrix, because the initial state of the system is not defined precisely. The difference between the observable and the ideal dynamics cannot be experimentally verified even when observer and environment are included into the system to be described, because self-description is limited in precision and observation time domain. Thus the returns of the system to the initial state predicted by the Poincare’s theorem for ideal dynamics cannot be observed by the self-observing system due to the effect of erasing of information concerning the previous states. Introduction of Observable Dynamics helps to solve all the known paradoxes of classical and quantum mechanics.

Lack of understanding of the principles discussed in this paper can lead to mistakes in solving physical problems. Given below are several examples of such mistakes, including the errors in the pole theory for the problems of flame front motion and the “finger” growth at the liquid/liquid interface.

Sivashinsky et al. [78] state that the Ideal Dynamics of poles causes an acceleration of the flame front propagation, and that this is not due to noise because the effect does not disappear with the

decrease of noise, and depends purely on the properties of the system. However, the noise-connected Observable Dynamics does not depend on the noise over a wide range of its values.

Tanveer *et al.* [79] found a discrepancy between the theoretical predictions for “finger” growth in the problem of interfacial fluid flow and the results of numerical experiments. However, no understanding was reached in paper [79] of the connection of this discrepancy with the numerical noise, which leads to a new Observable Dynamics.

These are just two examples taken from the daily practice of the author of the present paper, and more such examples can be easily found.

The results of this paper are necessary for through understanding of the basics of nonlinear dynamics, thermodynamics, and quantum mechanics.

In usual problems of physics usually there is no necessity for the deep analysis of a situation made in this paper. It related to fact that usual considered physical systems are either systems with small number of particles, or systems of many particles closed to thermodynamic equilibrium. In such systems it is possible either to use precise Ideal Dynamics, or to use the simplified "approximate" methods for deriving Observable Dynamics. It is, for example, reduction in QM or Boltzmann equation in CM. Therefore, interest of physicists to papers similar to this one is small enough. However, many physical systems are not included into narrow class, featured by Ideal or simple Observable Dynamics. Their behavior basically is unpredictable, even probabilistically. We named their behavior as Unpredictable Dynamics. Quantum computer concerns to such systems from the point of view of the observer who did not observed its "start". Systems with Unpredictable Dynamics can include also some stationary systems far from thermodynamic equilibrium. Live organisms can be examples of such stationary systems. Even if such systems could be partially or completely featured by Observable Dynamics, its deriving is very nontrivial problem. If physics would try to feature such complex systems, then understanding of methods stated in this paper becomes necessary. Many such problems still wait for solution from physicists and mathematicians:

1) Which methods for deriving of Observable Dynamics of complex systems exist?

2) When deriving of Observable Dynamics is impossible and system can be featured just by Unpredictable Dynamics?

3) Whether is it possible to create «synergetic» systems «on paper» (for example, similar to Penrose's tubulins), which would illustrate **principal possibility** of appearance and existence of complex stationary systems (both classical, and quantum), featured by Unpredictable Dynamics? We will try to give here only some guesses about this possibility:

a) The systems featured by Unpredictable Dynamics, should be capable to inhibit decoherence and to conserve unstable additional classical (or quantum) correlations both inside complex systems, and between systems.

b) Such systems can have several unstable states and can transfer between them during evolution. The stream of negentropy, substances or energies (i.e. metabolism) would allow to conserve these unstable states and process, without destroying it, and to protect them from external noise. On the other hand, unstable systems can serve itself as catalytic agents of this metabolism. In such systems would be possible both inverse processes, and Poincare's returns. Indeed, they are protected from external noise (decoherence) by the metabolism. External noise would be reduced and be incapable to

destroy these process or states. But, any attempt to measure a current state or process in this unstable system would destroy its dynamics. Thus, this dynamics would be unobservable. Such systems can be not only quantum, but also classical.

c) In usual physics a macrostate is considered as some passive function its microstate. However, suppose that some system itself is capable to measure both the own macrostate, and its environment macrostates. In such a way, **feedback of macrostates through microstate appears.** [3] (Appendixes **M and V**)

d) It can be some kind of self-replicated **cellular automata.** [80]

Last years were published very interesting papers in the direction of building-up such «synergetic» systems, probably similar to live organisms [81-83]. It must be mentioned that build-up of such models is a problem of physics and mathematics, not philosophy.

Appendix A. Phase density function. [5-6, 14]

The state of a system of N particles identical from the point of view of classical mechanics can be given by the coordinates $\mathbf{r}_1, \dots, \mathbf{r}_N$ and momenta $\mathbf{p}_1, \dots, \mathbf{p}_N$ of all the N particles of the system. For brevity's sake we shall further use the notation

$$x_i = (\mathbf{r}_i, \mathbf{p}_i) \quad (i=1, 2, \dots, N)$$

to designate the set of coordinates and the momentum spatial components of a single particle, and the designation

$$X = (x_1, \dots, x_N) = (\mathbf{r}_1, \dots, \mathbf{r}_N, \mathbf{p}_1, \dots, \mathbf{p}_N)$$

to denote the set of coordinates and momenta of all the particles of the system. The corresponding state of $6N$ variables is called $6N$ -dimensional phase space.

We shall consider a Gibbs ensemble, i.e. a set of identical macroscopic systems in order to define the concept of distribution function. The experimental conditions are similar for all these systems. However, since these conditions do not determine the state of the systems unambiguously, then different values of X shall correspond to different states of the ensemble at a given time t .

We select a volume dX in the vicinity of the point X . Assume that at a given time t this volume contains points characterizing the states of dM systems from the total number M of systems in the ensemble. Then the limit of the ratio of these values

$$\lim_{M \rightarrow \infty} dM/M = f_N(X, t) dX$$

defines the density function of the distribution in phase state at time t . This function is obviously normalized as follows:

$$\int f_N(\mathbf{X},t)d\mathbf{X}=1$$

The Liouville equation for the phase density function can be written in the form:

$$i \frac{\partial f_N}{\partial t} = L f_N$$

where L is the following linear operator:

$$L = -i \frac{\partial H}{\partial p} \frac{\partial}{\partial x} + i \frac{\partial H}{\partial x} \frac{\partial}{\partial p}$$

where H is the energy of the system.

Appendix B. Definitions of entropy.

We can give the following definition of entropy:

$$S = -k \int_{(X)} f_N(\mathbf{X},t) \ln f_N(\mathbf{X},t)$$

In quantum mechanics entropy is defined via density matrix:

$$S = -k \operatorname{tr} \rho \ln \rho \text{ [15]}$$

where tr stands for matrix trace.

Entropy defined in such a way does not change in the course of reversible evolution. Coarsened values of f_N or ρ should be used to obtain the changing entropy.

Appendix C. Poincare's proof of the theorem of returns.

The number of the phase points which are leaving the given phase volume g during motion and not returned in it, will be eventually less any finite portion of the full number of phase points. We will prove this standing.

Let's consider the system having finite phase volume G . We will select inside this volume some *fixed* surface σ , restricting small volume g . We will consider the phase points flowing through a surface σ from volume g . The velocity of transition of a phase point on a phase trajectory depends only on phase coordinates, therefore number of the points flowing in a unit of time through the fixed surface σ , does not depend on time. We will designate through g' the volume occupied with phase points which flow in a unit of time from phase volume g , not being returned in it again. During T $g'T$ volumes of a phase fluid flows from volume g . As the flowed out volume is $g'T$. Under the assumption, it is not returned more in volume g as it should fill a remaining part of the full phase volume G . A phase fluid is incompressible, therefore flowed out of g the volume $g'T$ should not exceed volume in which it will flow out, i.e.

$$Tg' < G - g < G. \quad (1)$$

Volume G is finite, therefore at finite g' this inequality can be satisfied only for finite T . For $T \rightarrow \infty$, the inequality (1) is satisfied only at $g' \rightarrow 0$, as it must be shown.

Appendix D. Correlation.

Let's consider the following problem. A series of measurements of two random variables X and Y has been carried out, and measurements were carried out pairwise: i.e. we got two values for one measuring - x_i and y_i . Having the sample consisting of pairs (x_i, y_i) , we wish to check, whether there is dependence between these two variables. This dependence is named **correlation**. Correlation can exist not only between two, but also a larger number of magnitudes.

Dependence between random variables can have the functional character, i.e. to be the strictly functional relation linking their values. However, at handling of experimental data dependences of other sort are much more often - statistical dependences. Distinction between two aspects of dependences consists in the fact that that the functional connection establishes strict correlation between variables, and statistical dependence only speaks for the fact that distribution of random variable Y depends on what value is accepted by a random variable X .

Coefficient of Pearson's Correlation.

There are some various coefficients of correlation to each of which the above told will relate. Coefficient of Pearson's Correlation characterizing a degree of a linear relation between variables is most widely known. It is defined as

$$r = \frac{\sum_i (x_i - \bar{x})(y_i - \bar{y})}{\sqrt{\sum_i (x_i - \bar{x})^2} \sqrt{\sum_i (y_i - \bar{y})^2}}$$

Appendix E. Thermodynamic equilibrium of the isolated system. Microcanonical distribution. [5, 14]

We will be interested in an *adiabatic system* – a system isolated from external bodies and having certain, strictly given energy E .

MICROCANONICAL distribution

Let's consider an adiabatic system, i.e. a system which cannot exchange energy with external bodies at invariable external parameters. For such a system, obviously,

$$(1) \quad H(X, a) = E = const$$

and phase density function $\varphi(\epsilon)$ should look like acute maxima since energy of the system can be practically precisely fixed and will not change eventually. But phase density $\varphi(\epsilon)$ in a limit at $\Delta E \rightarrow 0$

turns, up to a constant factor, to a Dirac delta function $\delta \{ \varepsilon - E \}$. Thus, for an adiabatic isolated system it is possible to suppose:

$$\omega (X) = [1 / \Omega (E, \alpha)] \delta \{ E - H (X, \alpha) \}, \tag{2}$$

Where $1 / \Omega (E, \alpha)$ is the norming factor that can be found from requirement of normalization, i.e.

$$\Omega (E, \alpha) = \int_{(X)} \delta \{ E - H (X, \alpha) \} dX \tag{3}$$

Expression (2) is named as microcanonical Gibbs distribution. On basis of this distribution it is possible to calculate phase averages of any physical quantities for adiabatic isolated system with the help of formula

$$\bar{F} = \int_{(X)} F(X) \frac{1}{\Omega(E, \alpha)} \delta \{ E - H (X, \alpha) \} dX \tag{4}$$

Magnitude $\Omega (E, \alpha)$ has visual geometrical meaning. $\Omega (E, \alpha) dE$ has sense of phase volume of lamina concluded between hypersurfaces $H(X, \alpha) = E$ and $H (X, \alpha) = E + dE$.

Appendix F. Theorem about invariance of phase "fluid" volume.

Let suppose that each mass point of system is featured by Cartesian coordinates

$$x_k, y_k, z_k \quad (k = 1, 2, \dots, N).$$

We also sometimes will designate of these three coordinates vector \vec{r}_k . This system of N mass points can be featured also $3N$ by generalized coordinates:

$$q_n (x_1, \dots, z_N) \quad (n=1, 2, \dots, 3N).$$

Equations of motion of such conservative system are the equations of Lagrange

$$\frac{d}{dt} \frac{\partial L}{\partial \dot{q}_k} - \frac{\partial L}{\partial q_k} = 0 \quad (k = 1, 2, \dots, 3N) \tag{1}$$

Where $L=K-U$ -function of Lagrange, or a Lagrangian; K - a kinetic energy; a system U -potential energy. However in a statistical physics it is more convenient to use equations of motion in the Hamilton shape:

$$\left. \begin{aligned} \dot{q}_k &= \frac{\partial H}{\partial p_k} \\ \dot{p}_k &= -\frac{\partial H}{\partial q_k} \end{aligned} \right\} k = 1, 2, \dots, 3N, \left. \begin{aligned} H &= \sum_{k=1}^{3N} p_k \dot{q}_k - L, \quad p_k = \frac{\partial L}{\partial \dot{q}_k} \end{aligned} \right\} \quad (2)$$

- A Hamiltonian function, or a Hamiltonian, a $(q_1, q_2, \dots, q_{3N}; p_1, p_2, \dots, p_{3N})$ - a population of canonical variables. In blanket deductions we will designate all canonical variables letter X and, supposing:

$$q_k = X_k, p_k = X_{k+3N} \quad (k=1, 2, \dots, 3N). \quad (3)$$

For formulas transforming to compact form all population of variables $(X_1, X_2, \dots, X_{6N})$ will be often designated by one letter (X) , and product of all differentials $dX_1 dX_2 \dots dX_{6N}$ it will be designated through dX .

The equations of Hamilton represent system of the differential equations of the first order, so values of all variables X during the moment t are completely defined if values of these variables X_0 during the moment $t = 0$ are known. This property of the Hamilton shape mechanically allows introducing geometrically the evident image of the system and its motion in a phase space. Driving of phase ensemble in a phase space can be considered as motion of a phase fluid, by analogy to motion of a usual fluid in three-dimensional space. In other words, phase space points are identified with points of the imaginary phase fluid filling space.

It is easy to prove, that for the systems, satisfying to the Hamiltonian equations, a phase fluid is incompressible. Really, the denseness of a usual three-dimensional incompressible fluid is constant. Hence, owing to the continuity equation

$$-\frac{\partial \rho}{\partial t} = \text{div } \vec{v} \rho = \rho \text{ div } \vec{v} + \vec{v} \cdot \nabla \rho \quad (4)$$

And requirements $\rho = \text{const}$ for an incompressible fluid, we have:

$$\text{div } \vec{v} = \frac{\partial \dot{x}}{\partial x} + \frac{\partial \dot{y}}{\partial y} + \frac{\partial \dot{z}}{\partial z} \quad (5)$$

This theorem can be easily extended for a fluid in many-dimensional space, and consequently, for an incompressible phase fluid the requirement of equality to zero of a multi-dimensional divergence should be satisfied, i.e.

$$\sum_{k=1}^{6N} \frac{\partial \dot{X}_k}{\partial X_k} = 0 \quad (6)$$

It can be seen easily, however, that owing to the equations of Hamilton (2)

$$\sum_{k=1}^{6N} \frac{\partial \dot{X}_k}{\partial X_k} = \sum_{k=1}^{6N} \left(\frac{\partial \dot{q}_k}{\partial q_k} + \frac{\partial \dot{p}_k}{\partial p_k} \right) = \sum_{k=1}^{6N} \left(\frac{\partial^2 H}{\partial q_k \partial p_k} - \frac{\partial^2 H}{\partial p_k \partial q_k} \right) \equiv 0 \quad (7)$$

, as it must be shown.

Since a phase fluid is incompressible so during its motion there is the invariable phase volume occupied with any part of this fluid.

Appendix G. The basic concepts of quantum mechanics. [18-20]

Wave function.

The basis of a mathematical apparatus of quantum mechanics is made by the statement that the system state can be described by (generally speaking, complex) function of coordinates $\Psi(q)$, and the quadrate of the module of this function defines a probability distribution of values of coordinate q : $|\Psi(q)|^2 dq$ is probability to find values of coordinates in $[q, q+dq]$ space interval for measuring produced over the system. Function Ψ is termed as a system *wave function*.

Observable variables.

Let's consider some physical quantity f , characterizing state of a quantum system. Strictly speaking, in the following discussion we should speak not about one variable, but about their full set at once. However, for simplicity we will speak below only about one physical quantity.

Values of some physical quantity are named as its *eigenvalues*, and their full set is named as *spectrum* of eigenvalues for this variable. In classical mechanics a set of all possible values of any variable is generally continuous. In a quantum mechanics also there are physical quantities (for example, coordinates) which eigenvalues fill the continuous number; in such cases it is *continuum spectrum* of eigenvalues. If all possible eigenvalues are some discrete set; in such cases it is *discrete spectrum*.

Let's consider at first for simplicity that considered variable f possesses a discrete spectrum. Variable eigenvalues f we will designate as f_n where the index n can have values 1, 2, 3, We will designate Ψ_n for system wave function of state correspondent to value f_n of variable f . Ψ_n is named as *eigenfunctions* of the given physical quantity f . Each of these functions is normalized, i.e.

$$\int |\Psi_n|^2 dq = 1. \quad (1)$$

If the system has some arbitrary state with some wave function Ψ the measuring of variable f will give one of eigenvalues f_n . According to a principle of superposition the wave function ψ should represent a linear combination of all eigenfunctions ψ_n correspondent to all values f_n that can be measured with nonzero probability. Therefore, generally any state function Ψ can be presented in the following form

$$\Psi = \sum a_n \Psi_n, \quad (2)$$

,where summation is yielded on all n , and a_n - some constant coefficients.

Thus, we can conclude that any wave function can be expanded to the set of eigenfunctions of some physical quantity. Such a set is named *complete set of functions*.

In expansion (2) the module quadrate $|a_n|^2$ defines probability to measure f_n of variable f for state with a wave function Ψ . Sum of all probabilities should be equal to one; in other words, the relation should take place

$$\sum_n |a_n|^2 = 1 \quad (3)$$

Observable variable can be defined by means of the operators over function space. Result of operator action on function is also function. Then eigenfunctions ψ_k and its eigenvalues λ_k are simply a solution of the functional equation:

$$A \psi_k = \lambda_k \psi_k \quad (4)$$

, where A is an operator of correspondent observable variable.

Label H is usually used for Hamiltonian - an energy operator.

For one particle in external field $U(x, y, z)$ it is defined by the following formula:

$$H \equiv -\frac{\hbar^2}{2m} \Delta + U(x, y, z) \quad (5)$$

, where $\Delta = \frac{\partial^2}{\partial x^2} + \frac{\partial^2}{\partial y^2} + \frac{\partial^2}{\partial z^2}$ - an operator of Laplace

The matrix form of a quantum mechanics.

Let's expand some function under operator action, and the output function over eigenfunctions of some observable variable. Then both these functions can be noted as columns of these expansion coefficients. The operator of the observable variable can be noted in the form of a square matrix. Product of this matrix on a column of coefficients of expansion of the first function will give coefficients of expansion of the second function. This form of operators and functions is named **the matrix form of a quantum mechanics**.

Schrodinger equation.

Let's write out here a wave equation of motion for a particle in an external field.

$$i\hbar \frac{\partial \Psi}{\partial t} = -\frac{\hbar^2}{2m} \Delta \Psi + U(x, y, z) \Psi. \quad (6)$$

The equation (6) has been found by Schrodinger in 1926 and is named *a Schrodinger equation*.

Uncertainty principle of Heisenberg.

If we characterize indeterminacies of coordinates and momentums by average quadratic fluctuations

$$\delta x = \sqrt{(x - \bar{x})^2}, \quad \delta p_x = \sqrt{(p_x - \bar{p}_x)^2},$$

it is possible to find the minimal possible value of their product.

Let's consider a one-dimensional case - a package with wave function $\psi(x)$, depending only on one coordinate; we will guess for simplicity that medial values x and p_x in this state are equal to zero. We start with obvious inequality

$$\int_{-\infty}^{+\infty} \left| \alpha x \varphi + \frac{d\varphi}{dx} \right|^2 dx \geq 0$$

Where α is any real constant.

Let's calculate this integral.

Using that

$$\int x^2 |\varphi|^2 dx = (\delta x)^2$$

$$\int \left(x \frac{d\varphi^*}{dx} \varphi + x \varphi^* \frac{d\varphi}{dx} \right) dx = \int x \frac{d|\varphi|^2}{dx} dx = - \int |\varphi|^2 dx = -1$$

$$\int \frac{d\varphi^*}{dx} \frac{d\varphi}{dx} dx = - \int \varphi^* \frac{d^2\varphi}{dx^2} dx = \frac{1}{\hbar^2} \int \varphi^* \hat{p}_x^2 \varphi dx = \frac{1}{\hbar^2} (\delta p_x)^2,$$

finally we obtain:

$$\alpha^2 (\delta x)^2 - \alpha + \frac{(\delta p_x)^2}{\hbar^2} \geq 0$$

This quadratic trinomial (over α) is non-negative for any α , if its discriminant is non-positive. From this condition we can obtain inequality:

$$\delta x \delta p_x \geq \hbar/2 \tag{7}$$

The minimal possible value of product is equal to $\hbar/2$.

This *uncertainty principle* (7) was found by *Heisenberg* in 1927

We see that decreasing of coordinate uncertainty (i.e. δx) results in increasing uncertainty of momentum along the same axis (δp_x), and on the contrary. In particular case, when the particle is in some strictly certain point of space ($\delta x = \delta y = \delta z = 0$), so $\delta p_x = \delta p_y = \delta p_z = \infty$. It means that all values of momentum have equality probability. On the contrary, if the particle has strictly certain momentum p all its positions in space have equal probability.

Appendix I. Density matrix.

Consider a beam of N_a particles prepared in state $|\chi_a\rangle$, and another beam of N_b particles in state $|\chi_b\rangle$ independent on the first one. To describe the combination of beams we introduce the mixed state operator ρ defined as follows:

$$\rho = W_a |\chi_a\rangle \langle \chi_a| + W_b |\chi_b\rangle \langle \chi_b|,$$

where $W_a=N_a/N$, $W_b=N_b/N$, $N=N_a+N_b$

Operator ρ is called a density operator or a statistical operator. It describes the way the beams were prepared and therefore contains complete information about the total beam. In this sense the mixture is completely defined by the density matrix. In the special case of a pure state $|\chi\rangle$ the density operator is given by the expression

$$\rho=|\chi\rangle\langle\chi|.$$

Operator ρ is usually convenient to write in matrix form. Therefore we choose a basic set of states (most commonly used are $|+1/2\rangle$ and $|-1/2\rangle$) and decompose the $|\chi_a\rangle$ and $|\chi_b\rangle$ states over this basic set as follows:

$$\begin{aligned} |\chi_a\rangle &= a_1^{(a)} | +1/2\rangle + a_2^{(a)} | -1/2\rangle, \\ |\chi_b\rangle &= a_1^{(b)} | +1/2\rangle + a_2^{(b)} | -1/2\rangle. \end{aligned}$$

In the representation of $|\pm 1/2\rangle$ states we have the relations for the kept states:

$$\begin{aligned} |\chi_a\rangle &= \begin{pmatrix} a_1^{(a)} \\ a_2^{(a)} \end{pmatrix} \\ |\chi_b\rangle &= \begin{pmatrix} a_1^{(b)} \\ a_2^{(b)} \end{pmatrix}, \end{aligned}$$

and for the conjugated states:

$$\begin{aligned} \langle\chi_a| &= (a_1^{(a)*}, a_2^{(a)*}), \\ \langle\chi_b| &= (a_1^{(b)*}, a_2^{(b)*}). \end{aligned}$$

Using the matrix multiplication rules we obtain for the “external product”:

$$|\chi_a\rangle\langle\chi_a| = \begin{pmatrix} a_1^{(a)} \\ a_2^{(a)} \end{pmatrix} \begin{pmatrix} a_1^{(a)*} & a_2^{(a)*} \end{pmatrix} = \begin{pmatrix} |a_1^{(a)}|^2 & a_1^{(a)} a_2^{(a)*} \\ a_1^{(a)*} a_2^{(a)} & |a_2^{(a)}|^2 \end{pmatrix}$$

and a similar expression for the $|\chi_b\rangle\langle\chi_b|$ product. Substituting these expressions into the density operator, we obtain the density matrix.

$$\rho = \begin{pmatrix} W_a |a_1^{(a)}|^2 + W_b |a_1^{(b)}|^2 & W_a a_1^{(a)} a_2^{(a)*} + W_b a_1^{(b)} a_2^{(b)*} \\ W_a a_1^{(a)*} a_2^{(a)} + W_b a_1^{(b)*} a_2^{(b)} & W_a |a_2^{(a)}|^2 + W_b |a_2^{(b)}|^2 \end{pmatrix}$$

Since the $|\pm 1/2\rangle$ states were used for the basic state, the obtained expression is called density matrix in $\{|\pm 1/2\rangle\}$ representation.

Statistical density matrix P_0 .

In conclusion, we make several notes concerning the statistical matrix P_0 which has remarkable properties. We know that all the possible macroscopic states of the system in classical statistical thermodynamics are considered *a priori* equiprobable. In other words, the states are considered equally probable, unless information is available concerning the total energy of the system, its contact with the thermostat ensuring the constant temperature of the system, etc. Similarly, in wave mechanics all the states of the system corresponding to the functions forming the complete system of orthonormalized functions can be *a priori* considered equiprobable. Let $\varphi_1, \dots, \varphi_k$, is such a system of basis functions. Provided the system is characterized by a mixture of the φ_k states, in the absence of other relevant information we can assume that the statistical matrix of the system has the form

$$P_0 = \sum_k p P_{\varphi_k}, \text{ where } \sum_k p = 1,$$

i.e. that P_0 is the statistical matrix of a mixed state with all equal statistical weights. Since φ_k are the basis functions, matrix P_0 can be represented as follows:

$$(P_0)_{kl} = p \delta_{kl}$$

If matrix P_0 characterizes the statistical state of the ensemble of systems at the initial moment of time, and the same value A is measured in all the systems of the ensemble, then the statistical state of the ensemble would be still characterized by the P_0 matrix.

The equations of motion for the density matrix.

The equations of motion for the density matrix ρ have the form:

$$i \frac{\partial \rho_N}{\partial t} = L \rho_N$$

where L is the linear operator:

$$L\rho = H\rho - \rho H = [H, \rho],$$

where H is the energy operator of the system.

If A is the operator of a certain observable, then the average value of the observable can be found as follows:

$$\langle A \rangle = \text{tr} A \rho$$

Appendix J. Reduction of the density matrix and the theory of measurement

Assume that the states $\sigma^{(1)}, \sigma^{(2)}, \dots$ are “clearly discernible” in measuring a certain object. The measurement performed over the object in one of these states yields numbers $\lambda_1, \lambda_2, \dots$. The initial state of the measuring device is designated a . If the measured systems was initially in the state $\sigma^{(v)}$, then the state of the complete system “measured system plus the measuring device” before their interaction is determined by the direct product $a \times \sigma^{(v)}$. After the measurement

$$a \times \sigma^{(v)} \rightarrow a^{(v)} \times \sigma^{(v)}$$

Assume now that initial state of the measured system is not clearly discernible, but is an arbitrary mixture: $\alpha_1 \sigma^{(1)} + \alpha_2 \sigma^{(2)} + \dots$ of such states. In this case, due to the linearity of the quantum equations, we obtain:

$$a \times [\sum \alpha_v \sigma^{(v)}] \rightarrow \sum \alpha_v [a^{(v)} \times \sigma^{(v)}]$$

There is a statistical correlation between the state of the object and the state of the device in the final state resulting from the measurement. A simultaneous measurement of two values in the system “measured object and measuring system” (the first one is the measured characteristic of the studied object, and the second is the position of the measuring device indicator) always leads to correlating results. Therefore one of the measurements mentioned above is superfluous: a conclusion on the state of the measured object can always be made based on observing the measuring device.

The state vector obtained as the measurement result cannot be represented as a sum in the right hand part of the relation above. It is a so-called mixture, i.e. one of the state vectors having the form:

$$a^{(v)} \times \sigma^{(v)},$$

and the probability of this state appearing as the result of interaction between the measured object and the measuring device is $|\alpha_v|^2$. This transition is called wave packet reduction. And corresponds to the transition of the density matrix from the non-diagonal form $\alpha_v \alpha_{\mu}^*$ to the diagonal form $|\alpha_v|^2 \delta_{v\mu}$. This transition is not described by the quantum mechanical equations of motion.

Appendix K. Coarsening of the phase density function and the molecular chaos hypothesis.

Coarsening of the density function is called its substitution with an approximate value, e.g.:

$$f_N^*(X,t) = \int_{(Y)} g(X-Y) f_N(Y,t) dY$$

where

$$g(X) = 1/\Delta D(X/\Delta)$$

$$D(x) = 1 \text{ for } |X| < 1$$

$$D(x) = 0 \text{ for } |X| \geq 1$$

Another example of coarsening is the “molecular chaos hypothesis”. It implies substitution of a two-particle distribution function with a product of single-particle functions as follows:

$$f(x_1, x_2, t) \rightarrow f(x_1, t) f(x_2, t)$$

Appendix L. Prigogine’s New Dynamics.

The New dynamics introduced by Prigogine is often mentioned in the present paper. Given below is a brief introduction to this theory based on the monographs [14, 55].

A linear operator Λ is introduced, which acts on the phase density function or density matrix ρ so that:

$$\tilde{\rho} = \Lambda^{-1} \rho$$

$$\Lambda^{-1} 1 = 1$$

$$\int \tilde{\rho} = \int \rho$$

where Λ^{-1} remains positive. The requirement on the operator Λ is that the function Ω defined via the function $\tilde{\rho}$ as follows:

$$\Omega = \text{tr} \tilde{\rho}^+ \tilde{\rho} \text{ or } \Omega = \text{tr} \tilde{\rho} \ln \tilde{\rho}$$

complies with the inequality $d\Omega/dt \leq 0$

The equation of motion for the transformed function $\tilde{\rho}$ is

$$\frac{\partial \tilde{\rho}}{\partial t} = \Phi \tilde{\rho}$$

where $\Phi = \Lambda^{-1} L \Lambda$

Φ is noninvertible markovian semigroup.

$$\Lambda^{-1}(L) = \Lambda^+(-L)$$

Operator Λ^{-1} for the phase density function corresponds to the coarsening in the direction of phase volume decrease. In quantum mechanics such operator can only be found for an infinite volume or an infinite number of particles. A projection operator P is introduced in quantum mechanics, which makes all the non-diagonal elements of the density matrix zero. Operator Φ and the basis vectors of the density matrix are chosen so that the operators Φ and P are permutable:

$$\frac{\partial P \tilde{\rho}}{\partial t} = P \Phi \tilde{\rho} = \Phi P \tilde{\rho}$$

Appendix M. Impossibility of self-prediction of evolution of the system.

Suppose there is a powerful computer capable of predicting its own future and that of its environment based on the calculation of motion of all the molecules. Suppose that the prediction is rolling of a black or white ball from a certain device, which is an integral part of the computer and is described by the machine. The device rolls out a white ball when the computer predicts a black one, and rolls out a black ball when the white one is predicted. It is clear that the predictions of the computer are always false. Since the choice of the environment is arbitrary, then this contrary instance proves the impossibility of exact self-observation and self-calculation. Since the device always contradicts the predictions of the computer, then complete self-prediction of the system including both the computer and the device is impossible.

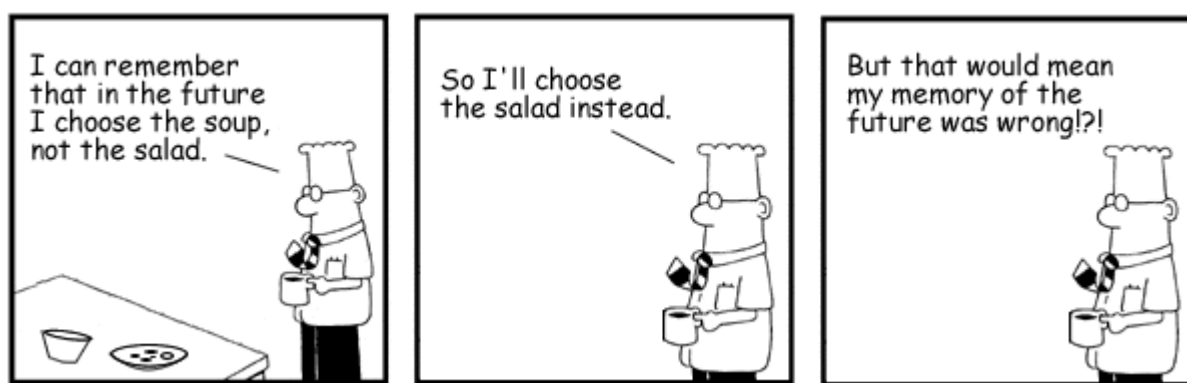


Figure 27. Impossibility of self-prediction. (Fig. from [101])

Appendix N. Tables of correspondence between the quantum and classical mechanics.

Table 1. Basic Properties of quantum and classical mechanics

Quantum mechanics	Classical mechanics
Density matrix	Phase density function
Equation of motion for the density matrix	Liouville equation
Wave packet reduction	Coarsening of the phase density function or the molecular chaos hypothesis
Unavoidable interaction of the measured system with observer or environment, described by reduction	Theoretically infinitesimal but in reality a finite, if small, interaction of the measured system with observer or environment
Non-zero non-diagonal elements of the density matrix	Correlations between the velocities and positions of particles in different parts of the system

Table 2. Probability formulations in classical and quantum mechanics. [18]

	Classical mechanics	Quantum mechanics
Pure state	Point (q, p) of phase space	State vector $ \psi\rangle$
General state	Probability density $\rho(q, p)$	Positive hermitean operator ρ
Normalization condition	$\int \rho dq dp = 1$	$\text{tr } \rho = 1$
condition for pure state	$\rho = \delta$ -function	$\rho = \psi\rangle\langle\psi $ (operator ρ rank is equal to 1)
Equation of motion	$\frac{\partial \rho}{\partial t} = \{H, \rho\}$	$i\hbar \frac{\partial \rho}{\partial t} = [H, \rho]$
Observable	Function $A(q, p)$	Hermitean operator A
Average value	$\int A \rho dq dp$	$\text{tr}(A\rho)$

Appendix O. A system reduction at measuring. [15, 18]

Let's consider a situation when the measuring device was at the beginning in state $|\alpha_0\rangle$, and the object was in superposition of states $|\psi\rangle = \sum c_i |\psi_i\rangle$, where $|\psi_i\rangle$ - experiment eigenstates. The initial statistical operator is given by expression

$$\rho_0 = |\psi\rangle\langle\alpha_0| \langle\alpha_0| \langle\psi| \tag{1}$$

The partial track of this operator which is equal to statistical operator of system, including the object only, looks like

$$\text{tr}_A(\rho_0) = \sum_n \langle\varphi_n| \rho_0 | \varphi_n\rangle$$

where $|\varphi_n\rangle$ - any complete set of device eigenstates. Thus,

$$\text{tr}_A(\rho_0) = \sum_n \langle\varphi_n| \alpha_0\rangle \langle\alpha_0| \varphi_n\rangle \langle\psi| = |\psi\rangle\langle\psi|, \tag{2}$$

Where the relation $\sum |\varphi_n\rangle\langle\varphi_n| = 1$ and normalization condition for $|\alpha_0\rangle$ are used. We have statistical operator correspondent to object state $|\psi\rangle$. After measuring there is a correlations between device and object states so the state of full system including device and object, is featured by a state vector

$$|\Psi\rangle = \sum c_i e^{i\theta_i} |\psi_i\rangle |\alpha_0\rangle. \tag{3}$$

And the statistical operator is given by expression

$$\rho_0 = |\Psi\rangle\langle\Psi| = \sum c_i c_j^* e^{i(\theta_i - \theta_j)} |\psi_i\rangle\langle\psi_j| |\alpha_i\rangle\langle\alpha_j|. \tag{4}$$

The partial track of this operator is equal

$$\begin{aligned} \text{tr}_A(\rho) &= \sum_n \langle\varphi_n| \rho |\varphi_n\rangle = \\ &= \sum_{(ij)} c_i c_j^* e^{i(\theta_i - \theta_j)} |\psi_i\rangle\langle\psi_j| \langle\alpha_i|\alpha_j\rangle = \\ &= \sum_{(ij)} c_i c_j^* \delta_{ij} |\psi_i\rangle\langle\psi_j| \end{aligned} \tag{5}$$

(Since various states $|\alpha_i\rangle$ of device are orthogonal each other); thus,

$$\text{tr}_A(\rho) = \sum |c_i|^2 |\psi_i\rangle\langle\psi_i|. \tag{6}$$

We have obtained statistical operator including object only, featuring probabilities $|c_i|^2$ for object states $|\psi_i\rangle$. So we come to formulation of the following theorem.

The theorem 5.5 (about measuring). If two systems S and A interact in such a manner that to each state $|\psi_i\rangle$ systems S there corresponds a certain state $|\alpha_i\rangle$ of systems A the statistical operator $\text{tr}_A(\rho)$ over full systems (S and A) reproduces wave packet reduction for measuring, yielded over system S , which was before measuring in a state $|\psi\rangle = \sum c_i |\psi_i\rangle$.

Suppose that some subsystem is in mixed state, but full system including this subsystem is in pure state. Such mixed state is named *as improper mixed state*.

Appendix P. The theorem about decoherence at interaction with the macroscopic device. [18, 84]

Let's consider now that the device is a macroscopic system. It means that each distinguishable configuration of the device (for example, position of its arrow) is not pure quantum state. It states nothing about a state of each separate arrow molecule. Thus, in the above-stated reasoning the initial state of the device $|\alpha_0\rangle$ should be described by some statistical distribution on microscopic quantum states $|\alpha_{0,s}\rangle$; the initial statistical operator is not given by expression (1), and is equal

$$\rho_0 = \sum_s p_s |\psi\rangle |\alpha_{0,s}\rangle\langle\alpha_{0,s}| \langle\psi|. \tag{7}$$

Each state of the device $|\alpha_{0,s}\rangle$ will interact with each object eigenstate $|\psi_i\rangle$. So it will transform to some other state $|\alpha_{i,s}\rangle$. It is one of the quantum states of set with macroscopic description correspondent to arrow in position i ; more precisely we have the formula

$$e^{iH\tau/\hbar} (|\psi\rangle |\alpha_{0,s}\rangle) = e^{i\theta_{i,s}} |\psi\rangle |\alpha_{i,s}\rangle. \tag{8}$$

Let's pay attention at appearance of phase factor depending on index s . Differences of energies for quantum states $|\alpha_{0,s}\rangle$ should have such values that phases $\theta_{i,s} \pmod{2\pi}$ after time τ have been randomly distributed between 0 and 2π .

From formulas (7) and (8) follows, that at $|\psi\rangle = \sum_i c_i |\psi_i\rangle$ the statistical operator after measuring will be given by following expression:

$$\rho = \sum_{(s,i,j)} p_s c_i c_j^* e^{i(\theta_{i,S} - \theta_{j,S})} |\psi_i\rangle \langle \alpha_{i,s}| \langle \alpha_{j,s}| \langle \psi_j| \tag{9}$$

As from (9) the same result (6) can be concluding. So we see that the statistical operator (9) reproduces an operation of reduction applied to given object. It also practically reproduces an operation of reduction applied to device only ("practically" in the sense that it is a question about "macroscopic" observable variable). Such observable variable does not distinguish the different quantum states of the device corresponding to the same macroscopic description, i.e. matrix elements of this observable variable correspondent to states $|\psi_i\rangle \langle \alpha_{i,s}|$ and $|\psi_j\rangle \langle \alpha_{j,s}|$ do not depend on r and s . Average value of such macroscopic observable variable A is equal

$$\begin{aligned} \text{tr}(\rho A) &= \sum_{(s,i,j)} p_s c_i c_j^* e^{i(\theta_{i,S} - \theta_{j,S})} \langle \alpha_{j,s}| \langle \psi_j| A |\psi_i\rangle \langle \alpha_{i,s}| = \\ &= \sum_{(i,j)} c_i c_j^* a_{i,j} \sum_s p_s e^{i(\theta_{i,S} - \theta_{j,S})} \end{aligned} \tag{10}$$

As phases $\theta_{i,s}$ are distributed randomly, the sum over s are zero at $i \neq j$; hence,

$$\text{tr}(\rho A) = \sum |c_i|^2 a_{ii} = \text{tr}(\rho' A) \tag{11}$$

where

$$\rho' = \sum |c_i|^2 p_s |\psi_i\rangle \langle \alpha_{i,s}| \langle \alpha_{j,s}| \langle \psi_j| \tag{12}$$

We obtain statistical operator which reproduces operation of reduction on the device. If the device arrow is observed in position i , the device state for some s will be $|\alpha_{i,s}\rangle$. The probability to find state $|\alpha_{i,s}\rangle$ is equal to probability of that before measuring its state was $|\alpha_{i,s}\rangle$. Thus, we come to following theorem.

The theorem 5.6. About decoherence of the macroscopic device. Suppose that the quantum system interacts with the macroscopic device in such a manner that there is a chaotic distribution of device states phases. Let ρ - a statistical operator of the device after the measuring, calculated with the help of Schrodinger equations, and ρ' - the statistical operator obtained as a result of reduction application to an operator ρ . Then it is impossible to yield such experiment with the macroscopic device which would register difference between ρ and ρ' .

For a wide class of devices it is proved that the chaotic character in distribution of phases formulated in the theorem 5.6 really takes place, if the device evolves nonreversibly at measuring. It is so-called Daneri-Loinger-Prosperi theorem [84].

Appendix R. Zeno Paradox. The theorem of continuously observable kettle which does not begin to boil in any way. [18]

Theorem:

Let A is an observable variable of the quantum system, having eigenvalues 0 and 1. Assume, that measurings observable variable A are yielded in instants $t_0=0, t_1, \dots, t_N=T$ on a time interval $[0, T]$ and

the reduction is applied after each such measuring. Let p_n - probability of that measuring during the moment t_n yields result 0. Then, if $N \rightarrow \infty$, and so, that $\max(p_{n+1} - p_n) \rightarrow 0$,

$$p_N - p_0 \rightarrow 0 \tag{13}$$

(So, if the system was some value of observable variable A at instant $t = 0$, it will have the same value of A also at instant $t = T$).

The proof:

Let P_0 be projection operator on characteristic space of observable variable A , corresponding to an eigenvalue 0, and let $P_1 = 1 - P_0$ the projection operator on characteristic space with an eigenvalue 1. Let ρ_n be the statistical operator characterizing the state of the system immediately before measuring at instant t_n . Then, the statistical operator after measuring is given by expression

$$\rho_n' = P_0 \rho_n P_0 + P_1 \rho_n P_1 \tag{14}$$

So the statistical operator characterizing the state of the system state immediately before measuring at instant t_{n+1} , will be equal

$$\rho_{n+1} = e^{-iH\tau_n} \rho_n' e^{iH\tau_n} \tag{15}$$

Where H - a system Hamiltonian, and $\tau_n = t_{n+1} - t_n$. We note here, that if the operator ρ_n is equal to sum of k terms of type $|\psi\rangle \langle\psi|$, the operator ρ_{n+1} would be sum no more than $2k$ such terms; since $\rho_n = |\psi_0\rangle \langle\psi_0|$, it is follows, that the operator ρ_n is the sum of finite number of such terms. According to (15), we have

$$\rho_{n+1} = \rho_n' - i\tau_n [H, \rho_n'] + O(\tau_n^2). \tag{16}$$

Since $P_0^2 = P_0, P_0 P_1 = 0$, so

$$P_0 \rho_{n+1} P_0 = P_0 \rho_n P_0 - i\tau_n [P_0 H P_0, P_0 \rho_n P_0] + O(\tau_n^2). \tag{17}$$

Hence, the probability of that measuring at instant t_n would yield result 0, is equal

$$\begin{aligned} p_{n+1} &= \text{tr}(\rho_{n+1} P_0) = \text{tr}(P_0 \rho_{n+1} P_0) = \\ &= \text{tr}(P_0 \rho_n P_0) - i\tau_n \text{tr}[P_0 H P_0, P_0 \rho_n P_0] + O(\tau_n^2). \end{aligned} \tag{18}$$

The second equality is valid because $P_0^2 = P_0$. We will consider now that the operator $P_0 \rho_n P_0$ is equal to the sum of finite number of terms of type $|\psi\rangle \langle\psi|$ and for any operator X the relation is valid:

$$\text{tr}(X|\psi\rangle \langle\psi|) = \langle\psi| X |\psi\rangle = \text{tr}(|\psi\rangle \langle\psi| X). \tag{19}$$

Hence, the commutator track in (18) is equal to zero, therefore

$$p_{n+1} = p_n + O(\tau_n^2). \tag{20}$$

Let's designate maximum value τ_n by τ ($\tau = \max \tau_n$); then there is such constant value k , that

$$p_{n+1} - p_n \leq k\tau_n^2 \leq k\tau\tau_n \tag{21}$$

Therefore

$$p_N - p_0 = \sum_{n=0}^{N-1} (p_{n+1} - p_n) \leq k\tau \sum_{n=0}^{N-1} \tau_n = k\tau T \rightarrow 0$$

At $\tau \rightarrow 0$.

Appendix S. Einstein-Podolsky-Rosen paradox [18].

Such point of view may be possible that difficulties considered in quantum mechanics are related exclusively by that the quantum mechanics vector of a state. It does not give full information about a system state: really there are other variables hidden from us, named as hidden variables. Its values completely characterize a state of system and predict its future behavior more in details, than the quantum mechanics. Serious argument of existence of such additional hidden variables has advanced by Einstein, Podolsky and Rosen in 1935. We will consider an electron and a positron pair born simultaneously in a state with the full spin 0. This spin state represents an antisymmetric combination of spin states of two particles with a spin 1/2, i.e. it looks like

$$|\Psi\rangle = \frac{1}{\sqrt{2}}(|\uparrow\rangle|\downarrow\rangle - |\downarrow\rangle|\uparrow\rangle) \quad (22)$$

where $|\uparrow\rangle$ and $|\downarrow\rangle$ - the one-particle eigenstates of a component of a spin s_z with eigenvalues $+1/2$ and $-1/2$ accordingly, and in a two-particle spin state (22) spin state of an electron is noted by the first factor.

As the state with the zero angular momentum is invariant with respect to rotations, it should look like (22) independently on axis direction. Thus, it is possible to note also

$$|\Psi\rangle = \frac{1}{\sqrt{2}}(|\rightarrow\rangle|\leftarrow\rangle - |\leftarrow\rangle|\rightarrow\rangle) \quad (23)$$

Where $|\leftarrow\rangle$ and $|\rightarrow\rangle$ are the one-particle eigenstates of a component of a spin s_x .

Let's assume that the electron and a positron move in opposite directions and achieve very large distance between each other. Then measuring z component of electron is yielded. Thus, measured observable variable is $s_z(e^-)$ of full system; after such measuring the system state will be projected on some correspondent eigenstate of this observable variable: if measuring gives value $+1/2$ after measuring the system would transfer in a state $|\uparrow\rangle|\downarrow\rangle$. It means that the positron will be in a state $|\downarrow\rangle$ and measuring z -component of his spin $s_z(e^+)$ with the full definiteness will give value $-1/2$. We can note that this information about positron is obtained by means of the experiment yielded over electron. It is at great distance from positron and, consequently, can not influence it. Einstein, Podolsky and Rosen concluded therefore that the result of the experiment about the positron state (namely that $s_z(e^+) = -1/2$) should be a real fact which took place also before experiment with the electron.

Let's assume that electron spin is measured not for z -axis, but x -axis. Then from

(23) it follows that the system state will be projected either on state $|\leftarrow\rangle|\rightarrow\rangle$ or on a state $|\rightarrow\rangle|\leftarrow\rangle$. So the positron would have some certain value for its x -component.

$s_x(e^+)$. Such state of positron also should exist before last experiment. Hence, before the experiment the positron had certain values both $s_z(e^+)$ and $s_x(e^+)$. But they are incompatible observable variables, and they haven't simultaneous eigenstates: no such quantum mechanics state exists where both of them could have certain values. Einstein, Podolsky and Rosen made from here conclusion that quantum mechanics description is incomplete and there are "elements of realities"

which the quantum mechanics does not consider. Let's consider quantum mechanics explanation of EPR paradox. After the experiment over electron, full system has really transferred to eigenstate $|\uparrow\rangle$ $|\downarrow\rangle$ if it was measured value $+1/2$ for $s_z(e^-)$, or to eigenstate $|\rightarrow\rangle$ $|\leftarrow\rangle$ if it was measured value $+1/2$ for $s_x(e^-)$. It means that after experiment the positron is in certain state, either $|\downarrow\rangle$ or $|\leftarrow\rangle$ accordingly, and this state is different from positron state before experiment. But it does not mean, that the positron state has been changed by the experiment over electron as the positron at all had no any certain state before experiment carrying out. If nevertheless to insist that the positron should be featured somehow separately it is necessary to be converted to its statistical operator. According to (22) and (23), this operator (before experiment) is given by expression

$$\rho_{e^+} = \text{tr}_{e^-} |\Psi\rangle\langle\Psi| = \frac{1}{2} (|\uparrow\rangle\langle\uparrow| + |\downarrow\rangle\langle\downarrow|) = \quad (24)$$

$$= \frac{1}{2} (|\rightarrow\rangle\langle\rightarrow| + |\leftarrow\rangle\langle\leftarrow|) \quad (25)$$

I.e. it is equal to unit operator in two-dimensional positron spin space multiplied by $1/2$. We will consider now a statistical operator of a positron immediately after experiment but before the information about its result can reach positron. If the component measured in experiment with electron was s_z then the positron state would be or $|\uparrow\rangle$, or $|\downarrow\rangle$ with equal probability, and the statistical operator would have an appearance (24). If the component measured in experiment with electron was s_x the positron state would be or $|\rightarrow\rangle$, or $|\leftarrow\rangle$ with equal probability, and the statistical operator would have an appearance (25), i.e. the same, that in the previous case and before experiment with an electron. Though these three situations (before experiment, after experiment on measuring s_z and after experiment on measuring s_x) are differently featured with use of positron states, all of them correspond to the same statistical operator, and between them there is no experimentally observable difference. Thus, there is no experimentally observed interaction between electron and far positron, i.e. EPR experiment cannot be used for information transfer with velocity more than light velocity.

Appendix T. Bell's inequality. [18]

We will show now that the instantaneous interaction is inevitable for any theory with hidden variables which leads to the same consequences as quantum mechanics does.

Let's consider a situation in which experiments are carried out over two particles separated in space, and we will deduce consequences from an assumption, that results of experiment carried out over one of particles, are depend just on this experiment. They do not depend on results of any experiment carried out over other particle. This property is named *locality*. It will be shown below that the locality requirement results in such restrictions on correlations between results of experiments over different particles which contradict quantum mechanics predictions.

Basically between a locality and determinism no connection exists. Let's assume that probabilities are defined by some set of variables. We will designate this set by symbol λ (in case of two particles

separated in space these variables can consist of the variables featuring individually both particles, and the variables featuring general devices, influencing simultaneous on both particles). Then for each experiment E it is possible to specify probability $p_E(\alpha | \lambda)$ of measuring α when variables have values λ . The theory will be *local* if experiments E and F , which are separated in space, are independent in sense of probability theory. From here we conclude that

$$p_{E \oplus F}(\alpha \oplus \beta | \lambda) = p_E(\alpha | \lambda)p_F(\beta | \lambda) \tag{26}$$

Any local theory which reproduces all predictions of quantum mechanics concerning EPR experiment for two separated particles with a spin 1/2, will be equivalent to the deterministic theory. Let's suppose that electron and positron are separated by a very large distance. Also let in experiment E the component of electron spin is measured in some direction, and in experiment F the component of positron spin is measured in the same direction. We will designate arrows \uparrow and \downarrow two possible observed dates. Then, as the full spin is equal to zero, we know, that experiments E and F will always yield opposite results; according to probability theory,

$$p_{E \oplus F}(\uparrow \oplus \uparrow) = p_{E \oplus F}(\downarrow \oplus \downarrow) = 0 \tag{27}$$

Let $\rho(\lambda)$ be the probability density characterizing probability that variables have values λ ; then the composite probability (27) is equal to

$$\begin{aligned} p_{E \oplus F}(\uparrow \oplus \uparrow) &= \int p_{E \oplus F}(\uparrow \oplus \uparrow)\rho(\lambda)d\lambda = \\ &= \int p_E(\uparrow | \lambda)p_F(\uparrow | \lambda)\rho(\lambda)d\lambda \end{aligned}$$

(28)

Since full probability is equal to zero, an integrand, being nonnegative, should be zero everywhere. Hence,

$$\text{either } \rho(\lambda) = 0 \text{ or } p_E(\uparrow | \lambda) = 0 \text{ or } p_F(\uparrow | \lambda) = 0. \tag{29}$$

Similarly we conclude, that

$$\text{either } \rho(\lambda) = 0, \text{ or } p_E(\downarrow | \lambda) = 0, \text{ or } p_F(\downarrow | \lambda) = 0 \tag{30}$$

As experiment E has only two results \downarrow and \uparrow , we have the equivalent statements

$$p_E(\uparrow | \lambda) = 0 \Leftrightarrow p_E(\downarrow | \lambda) = 1 \tag{31}$$

From (29) - (31) follows, that if $\rho(\lambda) \neq 0$ all four probabilities should be equal either 0, or 1. Hence, for all values λ which are possible actually, results of experiments are completely defined by value λ .

Thus, if we assume that the probability distribution of hidden variables is not influenced by type of experiment yielded over particles we can conclude that just deterministic theories should be considered.

Let's assume that each of two separated particles can be subjected by one of three experiments A, B, C , each of which can give only two results ("yes" or "no"). Then in the deterministic local theory the result of experiment A with a particle 1 is defined by property of system which we will designate a_1 : it is a variable which can take values + and -. We have also similar variables b_1, c_1, a_2, b_2, c_2 . We assume now that experiment A always gives opposite values for two particles; then $a_1 = -a_2$. We will similarly assume that experiments B and C yield opposite results too for both particles, i.e. $b_1 = -b_2$ and $c_1 = -c_2$.

Let's consider now particles which are prepared with the fixed probability of values sets a, b and c .

Suppose $P(a = 1, b = 1)$ designates probability that the particle has the specified values a and b . Then

$$P(b = 1, c = -1) = P(a = 1, b = 1, c = -1) + P(a = -1, b = 1, c = -1) \leq P(a = 1, b = 1) + P(a = -1, c = -1) \quad (32)$$

Hence, when pairs of particles are prepared with opposite values a, b and c , we have $P(b_1 = 1, c_2 = 1) \leq P(a_1 = 1, b_2 = -1) + P(a_1 = -1, c_2 = 1)$. (33)

Each item in the right part of this inequality gives probability of result of experiment carried out over various particles; therefore the inequality can be checked even in case when A, B, C experiments cannot be carried out simultaneously over a single particle.

The probabilities calculated according to rules of quantum mechanics in the following case do not satisfy inequality (33). Indeed, we assume that two particles (an electron and a positron) with spin 1/2 are prepared in state with full spin equal to 0; then we know that measuring of a component of a spin in any given direction will yield opposite results for both particles. Let A, B, C designate experiments on measuring of components of a spin along three axes laying in one plane, and let the angle between axes A and B is equal θ , and the angle between axes B and C is equal φ . We will calculate probability $P(b_1 = 1, c_2 = 1)$ entering into the left part of the inequality (33); it should be interpreted as probability that both measurements of components of spins of particles 1 and 2 along axes, the angle between which is equal to φ , will yield the same outcome $+1/2$. We take as an axis for a particle 1 axis z ; Then if at measuring of a component of a spin of a particle 1 along the specified axis we would obtain value $1/2$ after measuring the particle 1 will transfer in an eigenstate $|\uparrow\rangle$, and a particle 2 - in an eigenstate $|\downarrow\rangle$. Eigenstates of the measuring yielded over a particle 2, are obtained by rotational displacement of states $|\uparrow\rangle$ and $|\downarrow\rangle$ on an angle φ (we will tell round an axis x); thus, the eigenstate corresponding to an eigenvalue $+1/2$, looks like

$$\begin{aligned} |+(\varphi)\rangle &= e^{-i\varphi J_x} |\uparrow\rangle = [\cos(\frac{1}{2}\varphi) + 2iJ_x \sin(\frac{1}{2}\varphi)] |\uparrow\rangle = \\ &= \cos(\frac{1}{2}\varphi) |\uparrow\rangle + i \sin(\frac{1}{2}\varphi) |\downarrow\rangle \end{aligned} \quad (34)$$

Hence, the required probability is equal to $P(b_1 = 1, c_2 = 1) = \frac{1}{2} |\langle +(\varphi) | \downarrow \rangle|^2 = \frac{1}{2} \sin^2(\frac{1}{2}\varphi)$ (35)

(Since probability of $+1/2$ for a particle 1 is equal $1/2$). It is similarly possible to calculate entering into (33) probabilities

$$P(a_1 = 1, b_2 = -1) = \frac{1}{2} \cos^2(\frac{1}{2}\theta)$$

And

$$P(a_1 = -1, c_2 = 1) = \frac{1}{2} \cos^2[\frac{1}{2}(\theta + \varphi)].$$

Thus, the inequality (33) is reduced to an inequality

$$\sin^2(\frac{1}{2}\varphi) \leq \cos^2(\frac{1}{2}\theta) + \cos^2[\frac{1}{2}(\theta + \varphi)],$$

Or to an inequality

$$\cos \theta + \cos \varphi + \cos(\theta + \varphi) \geq -1, \quad (36)$$

Which are not fulfilled at $\theta = \varphi = 3\pi/4$. As a result we come to the following theorem.

The theorem 5.8 (Bell’s theorem). Let’s assume that two separated particle can be subject to one of three two-valued experiments. The same experiment yielded over both particles always yields opposite results. If particles are featured by local theory and experiments does not influence particles properties probability distributions then experiments results probabilities satisfy to an inequality (33).

This inequality is not fulfilled in quantum mechanics for a system of two particles with a spin 1/2, having the full spin equal 0.

Appendix U. de Broglie - Bohm theory of wave-pilot [18].

Typical features of quantum mechanics (in particular, the interference effects) make building-up theory of hidden variables to be a very hard problem. Some time ago the theorem (J. von Neumann) [15] seemed to be proved that no theory of such type can reproduce all consequences of quantum mechanics. But this proof appeared erroneous as the following counterexample shows. We will consider a separate simple particle, moving in the potential of $V(\mathbf{r})$. We assume, that the particle is featured in an instant t not only a wave function $\psi(\mathbf{r}, t)$, but also some vector $\mathbf{q}(t)$, and the wave function satisfies to a usual Schrodinger equations

$$i\hbar \frac{\partial \Psi}{\partial t} = -\frac{\hbar^2}{2m} \Delta \Psi + U(x, y, z) \Psi. \tag{37}$$

And the vector \mathbf{q} satisfies to the equation

$$\frac{d\mathbf{q}}{dt} = \frac{j(\mathbf{q}, t)}{\rho(\mathbf{q}, t)}$$

where j and ρ are density of probability current and probability density:

$$j = \frac{\hbar}{m} \text{Im}[\bar{\psi} \nabla \psi], \quad \rho = |\psi|^2. \tag{38}$$

Let's assume now that in instant $t = 0$ it is large number of such particles exists, each of which is featured by the same wave function $\psi(\mathbf{r}, 0)$, but the different vector \mathbf{q} .

Let portion of particles for which value of this vector is in volume dV , containing a point \mathbf{q} , is equal to $\sigma(\mathbf{q}, 0)dV$; let this portion in instant t is equal $\sigma(\mathbf{q}, t) dV$. Then, considering \mathbf{q} as the particle coordinate, it is possible to consider all collective of particles as fluid with density σ and a field of velocities $\mathbf{u} = j/\rho$ according to (37). The last values should satisfy to the equation of continuity

$$\frac{\partial \sigma}{\partial t} + \nabla \cdot (\sigma \mathbf{u}) = 0 \tag{39}$$

i.e.

$$\frac{\partial \sigma}{\partial t} = -\nabla \cdot \left(\frac{\sigma j}{\rho} \right) \tag{40}$$

The equation of continuity has the single solution $\sigma(\mathbf{r}, t)$ for given $\sigma(\mathbf{r}, 0)$, $j(\mathbf{r}, t)$ and $\rho(\mathbf{r}, t)$. This equation have solution $\sigma = \rho$. Thus the equation (40) is equation of continuity. It has been shown, that this equation is a consequence of a Schrodinger equations (37). Hence, if distribution of values \mathbf{q} for

particles is featured at $t = 0$ by function ρ it would be characterized by this function at all future instants.

Thus, we can conclude that each particle with wave function satisfied to Schrodinger equations (37) has certain coordinate q in space and any our observational device creating particles with wave function ψ , yields particles with certain distribution of their coordinates; the portion of these particles $|\psi(q)|^2 dV$ is in volume dV near point q . It is valid if the observational device creating particles with a wave function ψ , with probability $|\psi(q)|^2 dV$ yields particles in volume dV . As values ψ and q evolve in time, according to the deterministic equations (37), (38), such distribution will be correct for all instants if it was correct during the initial moment.

It is possible to extend also such theory on systems from several particles, but thus there is one obvious difficulty. We will consider, for example, system of two particles. Variables will be q_1 and q_2 , and the two-particle wave function looks like $\psi(r_1, r_2)$. As equations of motion it is necessary to consider a two-particle Schrodinger equation and two equations

$$\frac{dq_1}{dt} = \frac{j_1}{\rho}, \quad \frac{dq_2}{dt} = \frac{j_2}{\rho},$$

Where

$$j = \frac{\hbar}{m} \text{Im}[\bar{\psi} \nabla_1 \psi], \quad j = \frac{\hbar}{m} \text{Im}[\bar{\psi} \nabla_2 \psi], \quad \rho = |\psi|^2.$$

Here j_1 and, consequently, dq_1/dt can be function q_2 : motion of the first particle depends on position of the second particle. Thus, there is the instantaneous interaction between two particles, and it should be observed even in that case, when there will be no potential $V(r_1, r_2)$ for interaction between particles. It is the result of correlations between the particles, arising in the formalism of a quantum mechanics operating with wave functions. In particular, wave EPR function shows such correlations between separated particles.

Appendix V. Escher swirl where all levels are crossed. [3]

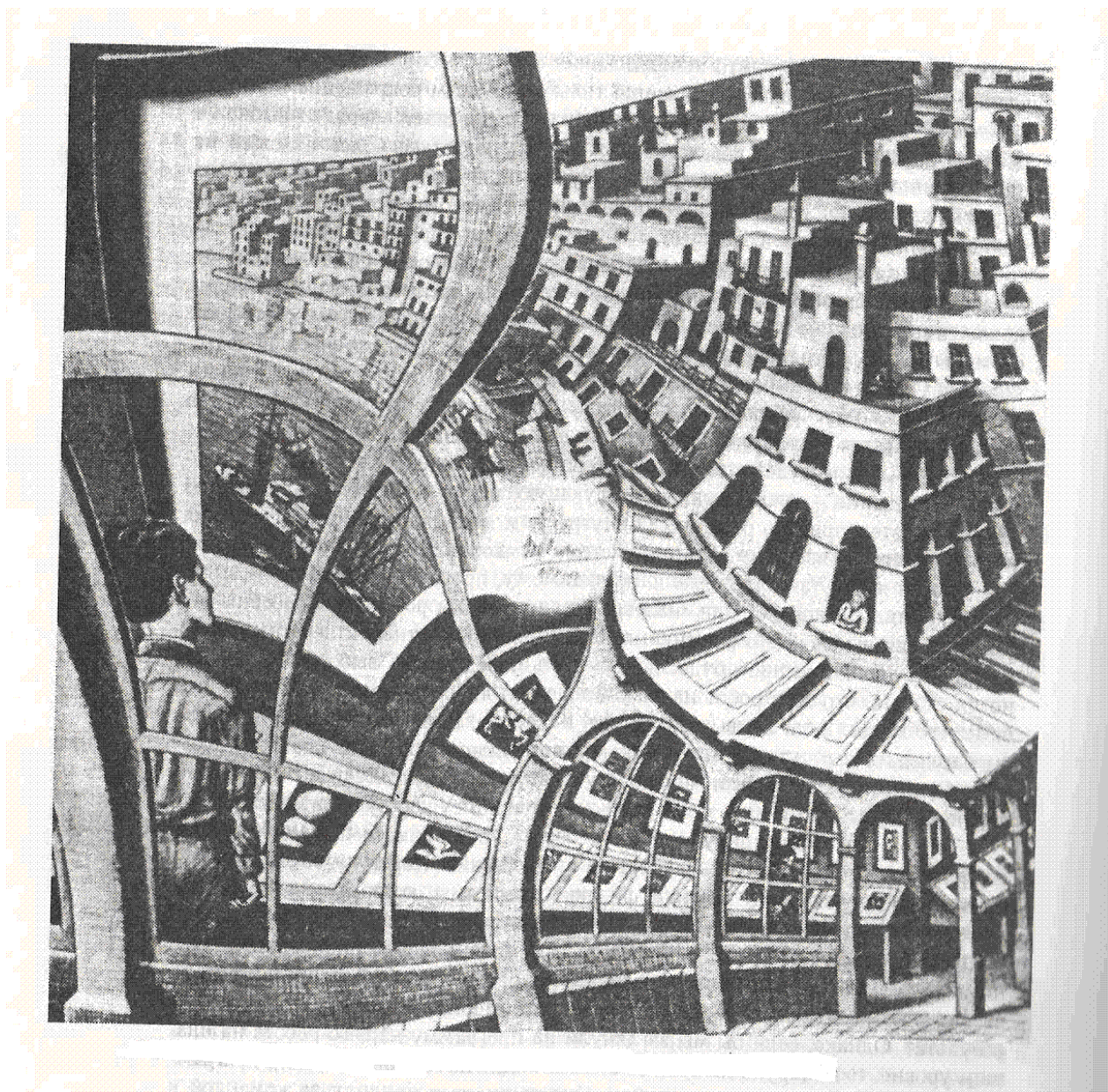


Figure 28. “Picture gallery” Escher M.K. (lithography 1956)

Extremely beautiful and at the same time strange disturbing illustration of a cyclone "eye" generated by Entangled Hierarchy is given by Escher in his "Picture gallery" (fig. 28). On this lithograph the picture gallery where a young man is figured, looking at a ship pattern in harbour of a small town, maybe Maltese, judging by the architecture, with its turrets, calottes and flat immovable roofs, on one of which a boy sits on the sun; and two floors down some woman - may be mother of this boy - looks from a window of the apartment arranged directly over the picture gallery where there is a young man, looking on a ship pattern in harbour of small town, maybe, Maltese - But that is it!? We have returned again to the same level with which began, though logically it could not happen in any way. Let's draw the diagram of that we see on this pattern (fig. 29):

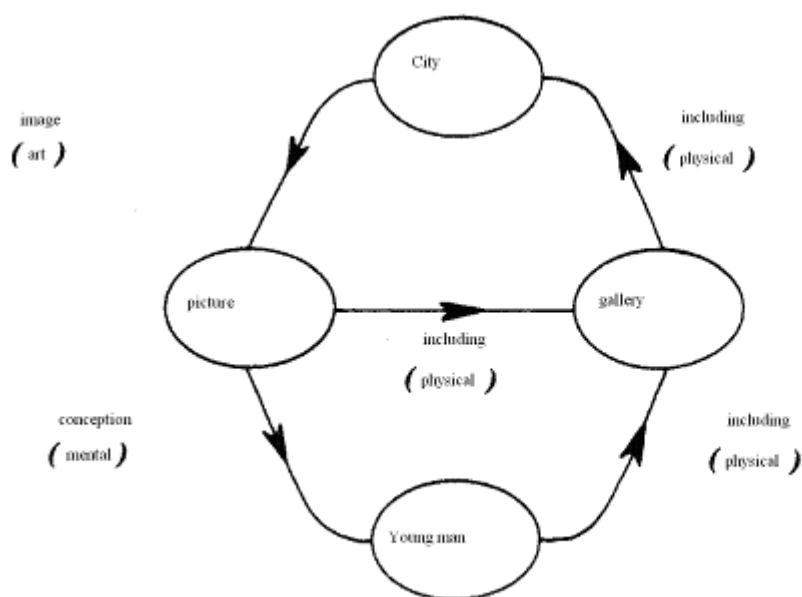


Figure 29. An abstract diagram of Escher's "Picture gallery" (Fig. from [3])

On this diagram three aspects of insertion are shown. The gallery is physically included in a city ("insertion"); the city is artly included in a pattern ("image"); the pattern mentally is included in the person ("representation"). Though this diagram can seem exact, actually it is arbitrary, because amount of the levels shown on it is arbitrary. Other variant of the upper half of diagram (**figure 30**) is presented below:

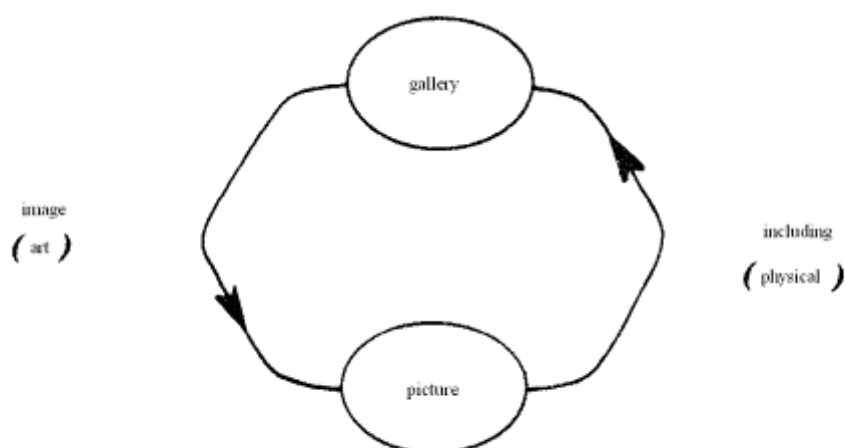


Figure 30. A short version of the previous diagram. (Fig. from [3])

We have cleaned the city level: though conceptually it is useful it is possible not to use it. The Fig. 30 looks the same as the diagram "Drawing hands": it is a two-stage Strange Loop. Dividing signs are arbitrary, though they seem us natural. It is visible more clearly from even more simplified diagram of "Picture gallery":

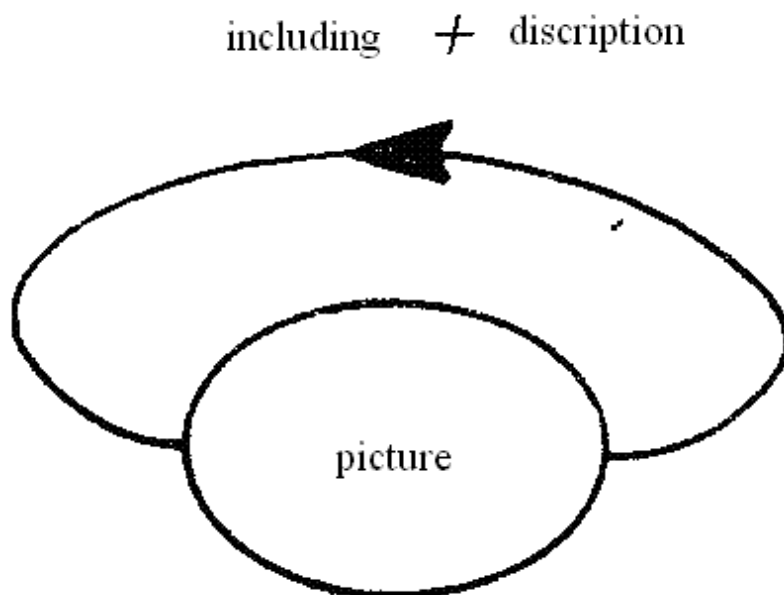


Figure 31. Following shorting of the previous diagram in **figure 29**. (Fig. from [3])

The paradox of a pattern is expressed here in the extremely form. But if the pattern “is included in itself” is the young man “included in itself” too? This problem is answered with **fig. 32**.

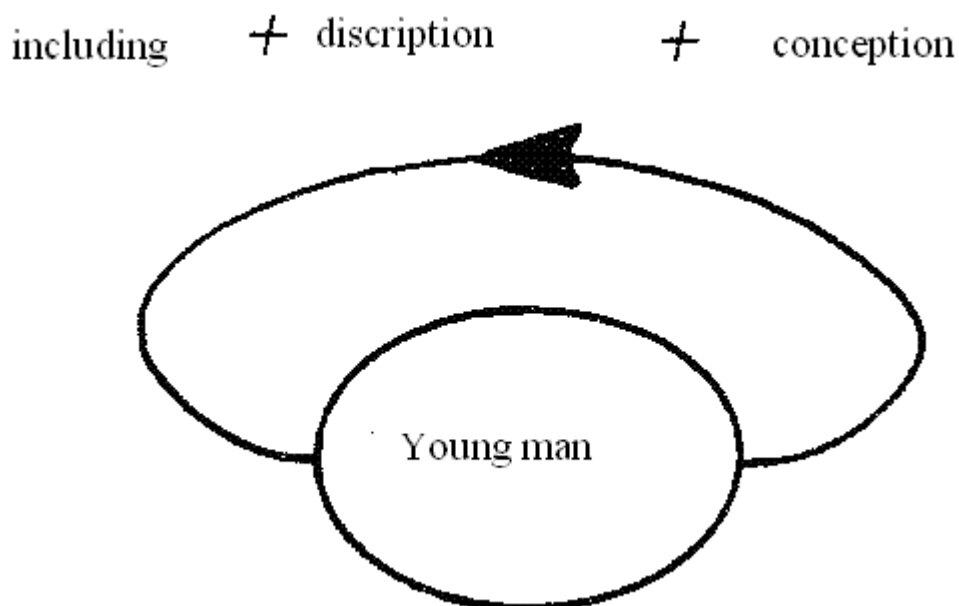


Figure 32. Different shorting of the previous diagram in figure 29. (Fig. from [3])

Here we see the young man in himself, in that sense what is obtained from connection of three aspects of "interior".

Whether there are viewers looking at "Picture gallery", tightened "in themselves"? Actually, it does not happen. We can avoid this swirl because we are out of system. Looking at the pattern we see things imperceptible for the young man, - for example, Escher's subscript "MCE" in the central "blind stain". Though this stain seems imperfection, most likely, the imperfection consists in our expectations, as Escher could not finish this fragment of the pattern to conflicting to rules on which he created it. The swirl centre remains - and should remain - incomplete. Escher could make its arbitrarily small, but it could not be saved of it absolutely. Thus, we, while looking outside, see that "Picture gallery" is incomplete, that the young man on the pattern can not see. Here Escher gave an art metaphor of the Gödel Theorem about incompleteness. Therefore Escher and Gödel are so tightly interlaced in my book.

References and Notes

1. Roger Penrose, *The Emperor's New Mind*, Oxford University Press, New York, NY, USA 1989
2. Roger Penrose, *Shadows of the Mind*, Oxford University Press, New York, NY, USA 1994
3. Douglas R. Hofstadter *Godel, Escher, Bach: An Eternal Golden Braid*, Bask Books, USA, 1979
4. Menskij, M.B. *Chelovek i kvantovyy mir*, Vek2, Frjazino, Russia, 2007 (in Russian)
5. Klimontovich, L. *Statistical Physics*, Nauka, Moscow, 1982; Harwood, New York, 1986
6. Terletsky, P. *Statistical Physics*, North-Holland Publ. Co., Amsterdam 1971
7. Rudolf Peierls, *Surprises in theoretical physics*. Princeton, N.J.: Princeton University Press, 1979
8. A.J. Leggett, *Quantum mechanics at the macroscopic level*, conferenciers LES HOUCHES session XLVI 30 Juin -1 Aout 1986 Chance and matter
9. Gelfer, M.; Lyuboshits, V.L.; Podgoretsky, M.I.; *Gibbs Paradox and. Identity of Particles in Quantum Mechanics*, Nauka, Moscow USSA, 1975 (in Russian)
10. Ohanian, H.C. *Amer. J. Phys.*, **1986**, JUNE, v 54, N6, p. 5000
11. Avshalom C. Elitzur; Meir Shinitzky *P-Violation Manifested at the Molecular Level – A Simple Means for Absolute Definitions of "Left" vs. "Right"*, 2005, APS/123-QED
12. Francis, C. *Moon Chaotic Vibrations*, A Wiley-Interscience Publication John Wiley & Sons, NY
13. Zaslavsky *Chaos in Dynamic Systems*, Harwood Academic Publishers, New-York, 1985, 370 pages.
14. Ilya Prigogine *From being to becoming: time and complexity in the physical sciences*, W.H. Freeman, San Francisco, 1980.
15. J. von Neumann *Mathematische Grundlagen der Quantemechanik*, Springer, Berlin, 1932
16. Ventzel, E. *Probability Theory*, Nauka, Moscow, Russia, 1964, p. 575 (in Russian).
17. Prigogine Ilya *The End of Certainty*, The Free Press, NY, 1997
18. Anthony Sudbery, *Quantum Mechanics and the Particles of Nature: An Outline for Mathematicians*, Cambridge University Press, New York, 1986

19. Landau, L.D.; Lifshitz, E.M. *QUANTUM MECHANICS. Non-Relativistic Theory. Course of Theoretical Physics*, Vol. 3, Pergamon, London, 1958
20. Karl Blum *Density Matrix Theory and Applications*, Plenum Press, New York, 1981
21. Wheeler, J.A.; Zurek, W.H. *Quantum Theory and Measurement*, Princeton University Press, Princeton, N.J., 1983
22. Wojciech Hubert Zurek Decoherence, einselection, and the quantum origins of the classical, *REVIEWS OF MODERN PHYSICS*, **2003**, JULY, VOLUME 75
23. Valiev, K.A.; Kokin, A.A., *Quantum computers: Expectations and Reality*, RKhD, Izhevsk Russia 2004 (in Russian)
24. Belokurov, V. V.; Timofeevskaya, O. D.; Khrustalev, O. A. *Kvantovaya Teleportatsiya - Obyknovennoe Chudo (Quantum Teleportation — An Ordinary Miracle)*, NITs 'Regulyarnaya i Khaoticheskaya Dinamika' Publ., Izhevsk, 2000
25. Collected works (Feynman; Deutsch; Shore; etc.), *Quantum computers and quantum calculations*, NITs 'Regulyarnaya i Khaoticheskaya Dinamika' Publ., Izhevsk, 2000
26. Erwin Schrödinger *Naturwissenschaften*, 1935, November, 48, 807; 49, 823; 50, 844,
27. Eugene P. Wigner *Symmetries and Reflection*, The MIT Press, Cambridge [Mass.] , London , 1970
28. Giuseppe Caglioti, *The Dynamics of Ambiguity, with a preface by Hermann Haken*, Springer, Berlin, Heidelberg, New York., 1992

29. Lev Vaidman *Many-Worlds Interpretation of Quantum Mechanics*, Stanford encyclopedia of philosophy, 2002,
<http://plato.stanford.edu/entries/qm-manyworlds/>
30. Lev Vaidman, *ON SCHIZOPHRENIC EXPERIENCES OF THE NEUTRON OR WHY WE SHOULD BELIEVE IN THE MANY-WORLDS INTERPRETATION OF QUANTUM THEORY*, 1996,
<http://arxiv.org/abs/quant-ph/9609006v1>
31. Albert, D. Z, *Quantum Mechanics and Experience*. Harvard University Press, Cambridge, 1992
32. John Byron Manchak, *Self-Measurement and the Uncertainty Relations*, Department of Logic and Philosophy of Science, University of California.
<http://philo.at/kollektion/index.php/record/view/8261>
33. Alexei Ourjountsev; Hyunseok Jeong; Rosa Tualle-Brouri; Philippe Grangier Generation of optical 'Schrödinger cats' from photon number states, *Nature*, **2007**, 16 August, 448, p. 784-786
34. Bricmont, J. *Science of Chaos or Chaos in Science?* , arXiv:chao-dyn/9603009 v1
<http://arxiv.org/abs/chao-dyn/9603009>
35. Goren Gordon; Avshalom Elitzur *The Ski-Lift Pathway: Thermodynamically Unique, Biologically Ubiquitous*, 2007
36. Avshalom Elitzur; Vaidman, L. Quantum mechanical interaction – free measurement, *Found Phys.*, 29, p. 987-997
37. Rastrigin L.A, *This Chancy, Chancy, Chancy World, Philosophy of Probability*, Mir, Russia ,February, 1986 (in Russian)
38. Avshalom C. Elitzur Let There Be Life. Thermodynamic Reflections on Biogenesis and Evolution, *Journal of Theoretical Biology*, 168, p. 429-459
39. Maccone, L. Quantum Solution to the Arrow-of-Time Dilemma, *Phys. Rev. Lett.*, **2009**, 103, 080401
<http://arxiv.org/abs/0802.0438>
40. Oleg Kupervasser; Dimitri Laikov *Comment on “Quantum Solution to the Arrow-of-Time Dilemma” of L. Maccone*, 2009
<http://arxiv.org/abs/0911.2610>

41. Brian D. Josephson Limits to the universality of quantum mechanics, *Foundations of Physics*, **1988**, December, V. 18, N. 12, p. 1195-1204
<http://www.tcm.phy.cam.ac.uk/~bdj10/papers/QMlimits.html>
42. Hogan J. Why the Universe is Just So, *Rev.Mod.Phys.*, **2000**, 72 , (Arxiv:[astro-ph/9909295](http://arxiv.org/abs/astro-ph/9909295))
43. *Black hole information paradox*, Wikipedia - the free encyclopedia
http://en.wikipedia.org/wiki/Black_hole_information_paradox
44. Joaquin P. Noyola *Relativity and Wormholes*, Department of Physics, University of Texas at Arlington, Arlington, TX 76019, 2006
http://www.uta.edu/physics/main/resources/ug_seminars/papers/RelativityandWormholes.doc
45. M. Morris, and K. Thorne, *Am. J. Phys.*, **1988**, 56, 4
46. Hrvoje Nikolic, CAUSAL PARADOXES: A CONFLICT BETWEEN RELATIVITY AND THE ARROW OF TIME, *Foundations of Physics Letters*, **2006**, June, V.19, N. 3, p. 259-267
47. Krasnikov, S. V. The time travel paradox, *Phys.Rev. D*, **2002**, 65
<http://arxiv.org/abs/gr-qc/0109029>
48. Erwin Schrodinger *What is life? The Physical Aspect of the Living Cell*, Cambridge University Press, New York, 1946
49. Karl Popper *Logik der Forschung*, 1934 (*The Logic of Scientific Discovery*, English translation 1959)
50. D. Kazhdan, *Mathematics in the 20-th century*, On conference in Tel-Aviv University, 2000
51. Milgrom, Mordehai Does Dark Matter Really Exist?, *Scientific American*, 2002, Aug., 42-50, 52
52. Logunov A. A.; Mestvirishvili, M. A. Principles of. Relativistic Gravitation Theory, *Fiz. Elem. Chastits At. Yadra*, **1986**, 17, p. 5–159
53. Logunov, A. A. *Teoriya Gravitatsionnogo Polya (Theory of Gravitational Field)*, Nauka, Moscow, 2000 (in Russian)
54. Stephen Hawking; Roger Penrose *The Nature of Space and Time*, Princeton University, Princeton, NJ, 1996
55. Gregoire Nicolis; Ilya Prigogine *Exploring Complexity*, Freeman and Co., New York, USA, 1989
56. Nicolas H. Voelcker; Kevin M. Guckian; Alan Saghatelian; M. Reza Ghadiri Sequence-addressable DNA Logic, *Small*, **2008**, Volume 4, Issue 4, Pages 427 – 431
57. Marlan O.Scully; H. Walther The micromaser spectrum , *Phys. Rev. A*, **1991**, 44, p. 5992–5996
58. Bohr N. *Atomic Physics and Human Knowledge*, Chapter 3, Wiley, New York, 1987
59. Erwin Schrodinger *Science and Humanism Physics in Our Time*
60. Bauer, E. *Theoretical biology*, Intl Specialized Book Service Inc, Portland, Oregon, U.S.A, 1984
61. Edward J. Steele; Robyn A. Lindley; Robert V. Blanden *Lamarck's signature. How retrogenes are changing Darwin's natural selection paradigm*, Allen & Unwin, Sydney, Perseus Books, Reading, MT, USA, 1998
62. Getling, A.V. *Rayleigh-Benard Convection: Structures and Dynamics*, World Scientific Publishing Company, Library Binding, Incorporated, 1997, 250 pages
63. Helena N. Knyazeva, Kurdyumov S.P., “ Foundations of synergetics ”, part1, Moscow, “KomKniga”,2005 in Russian
64. Helena N. Knyazeva; Kurdyumov, S.P. *Foundations of synergetics, part2*, KomKniga, Moscow, 2006-2007 (in Russian)
65. Samarskii, A.A.; Galaktionov, V.A.; Kurdyumov, S.P.; Mikhailov, A.P. *Blow-up in Quasilinear Parabolic Equations*, Walter de Gruyter, Berlin, 1995.
66. MANFRED EIGEN *SELFORGANIZATION OF MATTER AND THE EVOLUTION OF BIOLOGICAL MACROMOLECULE* , Die Naturwissenschaften , 58. Jahrgatig, Oktober 1971, Heft 10(Springer-Verlag, Berlin Heidelberg New York)
67. Eigen, M. Molecular self-organization and the early stages of evolution, *Quarterly Review of Biophysics*,**1971**, vol. 4, p. 149

68. Kapitza, S.P.; Kurdyumov, S.P.; Malinetskii, G.G. *Synergetics and Prognoses of the Future*, Nauka Publishers, Moscow, 1997 (in Russian).
69. Hogan, J. Why the Universe is Just So, *Rev.Mod.Phys.*, **2000**, 72 (arxiv: [astro-ph/9909295](http://arxiv.org/abs/astro-ph/9909295))
70. Malinetskii, G.G. *Mathimatical basis of synergetics*, LKI, Moscow, 2007 (in Russian)
71. Hopfield, J. J. Neural networks and physical systems with emergent collective computational abilities, *Proceedings of National Academy of Sciences*, **1982**, April, vol. 79, no. 8, pp. 2554–2558. [PNAS Reprint \(Abstract\)](#) [PNAS Reprint \(PDF\)](#)
72. *The Portable Jung* Edited by J. Campbell, NY, The Viking Press, 1971;
73. Jung, *The Structure and Dynamics of the Psyche, Collected Works*, Vol. 8, pars. 969-997;
74. Jung, *On Synchronicity (in Man and Time)*, Papers from the Eranos Yearbooks.3, NY and London, 1957,
75. Jung, *On Synchronicity*, lecture at the 1951 Eranos conference, in Switzerland, published in Zurich, 1952
<http://poetrylicence.blogspot.com/2009/06/on-synchronicity.html>
76. Stanislaw Lem, *the Total of the Process engineering, SUMMA TECHNOLOGIAE*, Krakow, 1964, <http://www.frankpr.net/Lem/Summa/contents.htm>
77. Stanislaw Lem, *the Mask, Maska*, Krakow, WL, 1976 part in *Mortal Engines*, Harvest/HBJ Book; Reissue edition, 1992
78. Rahibe, M.; Aubry, N.; Sivashinsky, G.I.; Lima, R. Formation of wrinkles in outwardly propagating flames, *Phys. Rev. E*, **1995**, 52, 4, p. 3675
79. Siegel M.; Tanveer S. *Phys. Rev. Lett.*, **1996**, Vol 76, N 3, p.419- 422
80. Robert Matthews, *25 Big Ideas*, Oneworld Oxford, England, 2005
81. George Musser, Easy Go, Easy Come. (How Noise Can Help Quantum Entanglement), *Scientific American Magazine*, **2009**, November
<http://www.scientificamerican.com/sciammag/?contents=2009-11>
82. Michael Moyer, Chlorophyll Power. (Quantum Entanglement, Photosynthesis and Better Solar Cells), *Scientific American Magazine*, **2009**, September
<http://www.scientificamerican.com/article.cfm?id=quantum-entanglement-and-photo>
83. Jianming Cai; Sandu Popescu; Hans J. Briegel *Dynamic entanglement in oscillating molecules and potential biological implications*,
<http://arxiv.org/abs/0809.4906>
84. Daneri, A.; Loinger, A.; Prosperi, G. M. Quantum theory of measurement and ergodicity conditions, *Nuclear Phys.*, **1962**, v 33, p.297-319
85. Licata, I. ; Sakaji, A. Eds. *Physics of Emergence and Organization*, World Scientific, 2008
paper: Ignazio Licata, *Emergence and Computation at the Edge of Classical and Quantum Systems*
86. Siegelmann, H.T. *Neural Network and Analog Computation: Beyond the Turing Limit*, Birkhauser, 1998
87. Calude, C.S., Paun, G. Bio-steps beyond Turing, *BioSystems*, 2004, v 77, 175-194
88. H.D. Zeh, *The Physical Basis of the Direction of Time* (Springer, Heidelberg, 2007).
89. H. D. Zeh Remarks on the Compatibility of Opposite Arrows of Time *Entropy* 2005, 7(4), 199-207
90. H. D. Zeh Remarks on the Compatibility of Opposite Arrows of Time II *Entropy* 2006, 8[2], 44-49
91. Schulman, L.S., *Phys. Rev. Lett.* 83, 5419 (1999).
92. Schulman, L.S., *Entropy* 7[4], 208 (2005)
93. Oleg Kupervasser, Hrvoje Nikolic, Vinko Zlatic, arXiv:1011.4173 <http://arxiv.org/abs/1011.4173>
94. Oleg Kupervasser, arXiv:0911.2610 <http://arxiv.org/abs/0911.2610>
95. Nikodem J. Popławski «Radial motion into an Einstein–Rosen bridge» *Physics Letters B* 687 (2010) 110–113

96. Russian geometrical portal <http://www.neive.by.ru>
97. aYp.ru Portal <http://fizika.ayp.ru/>
98. David M. Harrison, Department of Physics, University of Toronto “Schrodinger's Cat”
<http://www.upscale.utoronto.ca/PVB/Harrison/SchrodCat/SchrodCat.pdf>
99. Josh Clark “How Quantum Suicide Works” <http://science.howstuffworks.com/science-vs-myth/everyday-myths/quantum-suicide3.htm>
100. Toy Anxiety's Blog <http://toyanxiety.wordpress.com/2009/10/30/flash-forward-schrodingers-cat/>
101. "What Is Reality?" <http://www.ipod.org.uk/reality/index.asp>
102. “Quantum Teleportation” Kenneth Chang ABCNEWS.com

Основные парадоксы статистической классической физики и квантовой механики.

Купервассер Олег,

Московский Государственный Университет

E-mail:

olegkup@yahoo.com

2009 год

Аннотация.

Статистическая классическая механика и квантовая механика - это две разработанные и хорошо известные теории. Они представляют собой основу современной физики. Статистическая классическая механика получает свойства больших тел, исследуя движения мельчайших атомов и молекул, из которых эти тела состоят, используя классические законы Ньютона. Квантовая механика определяет законы движения мельчайших частиц на малых атомных расстояниях, рассматривая их как волны вероятности. Законы квантовой механики описываются уравнением Шредингера. Законы такого движения очень отличаются от законов движения крупных тел, таких как планеты или камни. Описанные две теории давно известны и хорошо изучены. Тем не менее, они содержат ряд парадоксов. Это заставляют многих ученых усомниться во внутренней непротиворечивости этих теорий. [9], [35]. Однако данные парадоксы могут быть разрешены в рамках существующей физики, без введения каких либо новых законов¹. Чтобы сделать изложение понятным даже для неподготовленного читателя, мы вводим в этой статье некоторые необходимые основные понятия статистической физики и квантовой механики без использования формул. Необходимые точные формулы и разъяснения к ним могут быть найдены в Приложениях. Текст снабжен иллюстрациями для лучшего понимания текста. В дальнейшем в статье обсуждаются парадоксы, лежащие в основе термодинамики и квантовой механики. Дано их разрешение с точки зрения влияния внешнего наблюдателя (окружающей среды), разрушающего **дополнительные неустойчивые микроскопические корреляции между микроскопическими параметрами системы, или ограниченности самопознания системы** (в смысле полного описания ее состояния и предсказания ее будущего) в случае, когда и наблюдатель, и окружающая среда включены в систему. Введены понятия **Наблюдаемая Динамика**,

¹ Пайерлс [7], Менский [46] считают, что для разрешения парадокса измерения в квантовой механике необходимо изменение законов квантовой физики путем введения в нее понятие «сознания». Пенроуз [44], [45], Легет [10] считают, что законы квантовой механики нарушаются для достаточно больших макроскопических тел. Однако без введения новых законов уже были успешно разрешены многие другие проблемы физики. Такие как, например, парадокс Гиббса [4] или интерпретация спина как собственного момента вращения Дираковского электрона [5]. Иногда нарушение симметрии Жизни или Вселенной (таких как симметрия направления времени или правого и левого) видят в фундаментальном слабом взаимодействии. Примером может служить работа Элицура [59]. Слабое взаимодействие на самом деле нарушает эти симметрии. Однако в данной работе мы пренебрежем этими малыми эффектами и будем искать иные причины асимметрии.

Идеальная Динамика и Непредсказуемая Динамика. Дано рассмотрение явления в сложных системах (в живых системах) с точки зрения этих Динамик.

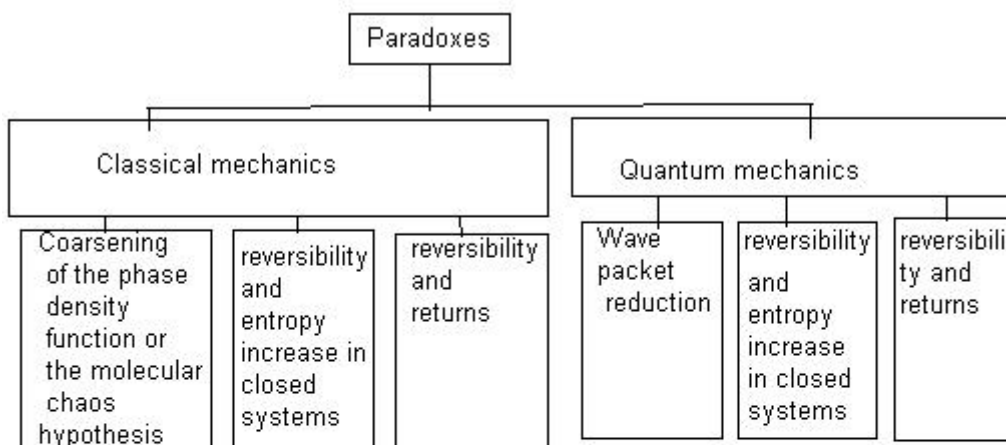


Figure1 Paradoxes in Classical and Quantum mechanics

Оглавление.

Введение.	4
1. Главные парадоксы классической статистической физики.	5
1.1 Макроскопические и микроскопические параметры физических систем. [1],[2].	5
1.2 Фазовое пространство и фазовые траектории.[1],[2]	6
1.3 Эргодичность и перемешивание. [34], [35], [9].....	7
1.4 Обратимость и теорема Пуанкаре.	8
1.5 Энтропия. [1], [2], [29]	8
1.6 Эволюция макроскопической энтропии для хаотических систем.	10
1.7 Второе начало термодинамики и связанные с ним парадоксы.	12
1.8 Дополнительные микроскопические корреляции и их связь с парадоксами статистической физики.	12
2. Главные парадоксы квантовой механики.	14
2.1 Основные понятия квантовой механики – волновая функция, уравнение Шредингера, амплитуда вероятности, измеряемые величины, соотношение неопределенности Гейзенберга.[3], [36]	14
2.2 Чистые и смешанные состояния. Матрица плотности. [3], [15], [29]	15
2.3 Свойства изолированной квантовой системы с конечным объемом и конечным числом частиц. [29].....	16
2.4 Теория измерений в квантовой механике.[3], [29] (Приложение J, O, P).....	16
2.5 Сложность в попытке «классической» интерпретации квантовой механики: введение скрытых параметров и парадокс ЭПР.[3]	17
2.6 Задача двух щелей как иллюстрация сложности квантовой механики.	20

2.7 Парадокс Шредингеровского Кота [51] и спонтанная редукция.[3]	23
2.8 Парадокс Зенона или «парадокс котелка, который никогда не закипит».....	25
2.9 Квантовые корреляции состояний системы и их связь с парадоксом Шредингеровского Кота.....	25
3. Интерпретации квантовой механики. Их нерелевантность для решения парадоксов.	26
3.1 Многомировая интерпретация. [37], [38],[3].....	26
3.2 Копенгагенская интерпретация.	28
3.3 Интерпретация через скрытые параметры.[3], (Приложение S, T, U)	29
4. Определение полной физической системы в теории измерений.	29
5. Разрешение парадокса Шредингеровского кота.....	30
6. Разрешение парадоксов Лошмидта и Пуанкаре в классической механике. Объяснение закона роста макроскопической энтропии.....	32
7. Аналогия между квантовой механикой (КМ) и классической статистической механикой (КСМ). (Приложение N).....	35
8. Синхронизация стрел времени/декогеренция.	37
9. Закон возрастания энтропии и синхронизация стрел времени/декогеренция в теории гравитации.	39
10. Идеальная и Наблюдаемая Динамика.	42
10.1 Определение Идеальной и Наблюдаемой Динамики. Почему необходима Наблюдаемая Динамика?	42
10.2 Чем ограничивается выбор макроскопических переменных Наблюдаемой динамики?.....	45
10.3 Методы получения Наблюдаемой Динамики.(Master equations).....	47
10.4 Разрешение парадокса Зенона с точки зрения Наблюдаемой Динамики. Экспоненциальный распад частиц– закон Наблюдаемой, а не Идеальной Динамики.	47
10.5 Примеры различных методов получения Наблюдаемых Динамик путем «огрубления» («размазывания»): уравнение Больцмана и Новая Динамика Пригожина.	48
11. Непредсказуемая Динамика.....	50
12. Жизнь и смерть.....	54
12.1 Жизнь с точки зрения физики – предыдущие работы.	54
12.2 Жизнь как процесс сопротивления процессу релаксации и декогеренции. Сохранение при этом как макроскопических корреляций, так и дополнительных классических (или квантовых) корреляций.....	56
12.3 Синергетические системы - модели физических свойств сложных (живых) систем.....	57
12.4 Гипотетические последствия взгляда на жизнь как средство сохранения корреляций.	61
13. Заключение.....	64
Приложение А Функция фазовой плотности. [1], [2], [9].....	66
Приложение В Определения энтропии. [1], [2], [9], [29].....	66
Приложение С. Доказательство теоремы Пуанкаре о возвратах. [2].....	67
Приложение D . Корреляция. [56]	67
Приложение Е.Термодинамическое равновесие изолированной системы. Микроканоническое распределение. [2], [9].....	68
Приложение F .Теорема о неизменности объема фазовой «жидкости». [1], [2]	68
Приложение G. Основные понятия квантовой механики. [36], [3], [15]	70
Приложение I. Матрица плотности. Чистое и смешанное состояние. [15], [29].....	72
Приложение К. Огрубление функция фазовой плотности и гипотеза молекулярного хаоса. [33], [2]	75

Приложение L. «Новая динамика» Пригожина. [9], [12]	76
Приложение M. Невозможность самопредсказания системы.	76
Приложение N. Соответствие квантовой и классической механик. Таблицы.	77
Приложение O. Редукция системы при измерении. [29], [3]	78
Приложение P. Теорема о декогеренции при взаимодействии с макроскопическим прибором.[3], [30]	79
Приложение R. Парадокс Зенона. Теорема о непрерывно наблюдаемом котелке, который никак не закипает. [3]	80
Приложение S. Парадокс Эйнштейна — Подольского — Розена. [3]	82
Приложение T. Неравенство Белла.[3]	83
Приложение U. Теория волны-пилота де Бройля — Бома. [3]	86
Приложение V. Водоворот Эшера, где скрещиваются все уровни. [58]	87
Литература.....	90

Введение.

В самом начале этой статьи следует сделать несколько крайне важных замечаний.

1) Эта статья **не является** философской работой на тему основ физики, как некоторые другие работы посвященные парадоксам квантовой механики. Мы рассматриваем разрешение парадоксов физики научными методами и обсуждаем, как можно построить физику, исключая эти парадоксы, и условия, при которых это возможно. Не понимание основ физики, приводящее к этим парадоксам, приводит к ряду вполне физических, а отнюдь не философских ошибок.

2) Эта работа **не является** попыткой дать очередную новую интерпретацию квантовой механики. Все интерпретации (например, многомировая интерпретация, Копенгагенская и т.д.) лишь пытаются дать более или менее наглядное толкование квантовой механики, не разрешая её парадоксов и не внося ничего нового в саму физику явления. Автор считает все существующие разумные интерпретации допустимыми и дает разрешение парадоксов не связанное с той или иной конкретной интерпретацией, а основанное на самой физике явления.

3) Эта работа **не является** научно-популярной статьей и включает в себя новые, оригинальные идеи. Мы обращаемся в этой статье к очень широкой аудитории, включающей биологов, физиков из самых различных областей этой науки (квантовая механика, статистическая физика, термодинамика и нелинейная динамика), специалистов по компьютерным наукам. Поэтому мы дали популярный обзор основ физики, который хотя может показаться тривиальным для одних специалистов, но, тем не менее, будет очень полезен для других специалистов (в том числе и для физиков из различных областей физики). Автор считает **крайне важным** сохранить эту часть статьи. Кроме того, в тексте нет формул, а лишь поясняющие текст рисунки. Все формулы вынесены в Приложения и необязательны для понимания текста. Следует отметить, что автор не является пионером подобного стиля изложения. Примером служат книги Пенроуза [44], [45], Хофштадтера [58], Менского [46], Ликата [85] которые не являются научно-популярными, несмотря на видимый «легкий» стиль изложения. Автор является сторонником именно такого стиля изложения. Хотя автор и не включает себя сам в число

этих очень выдающихся ученых, он крайне надеется, что и ему позволят последовать их заразительному примеру.

4) Эта статья **не является** просто обзором уже сделанных работ (хотя этому уделено много места), но включает в себя и оригинальные идеи автора.

5) Автор **не пытается** открыть новых законов физики. Все рассмотрение идет в рамках уже существующей физики. Мотивацией для написания этой статьи послужил тот факт (и также парадокс!), что автор не встретил **ни одной** статьи или учебника физики, где дается исчерпывающее и полное объяснение этих парадоксов физики и следствий из них вытекающих. Более того, во многих работах они или обходятся молчанием, или утверждается их «неважность» для «практической» физики. В других работах их изложение или не полно (например, исчерпывается только лишь одной декогеренцией) или вообще не ясно. Во многих работах их разрешение пытаются увязать неразрывно только с той или иной конкретной интерпретацией физики (как правило, многомировой) или изобрести новые законы физики для их объяснения.

1. Главные парадоксы классической статистической физики.

1.1 Макроскопические и микроскопические параметры физических систем. [1],[2].

Начнем со статистической физики. Посмотрим на течение газа из сопла ракетного двигателя.

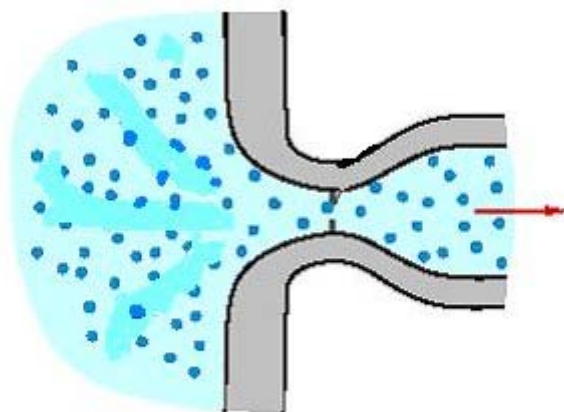


Рис2. Истечение газа из сопла. Показаны, в увеличенном размере, на самом деле невидимые невооруженным глазом молекулы газа.

Мы увидим распределение плотности и скорости вытекающего газа, но лишь для больших объемов. Эти объемы включают огромное число невидимых молекул. Подобные легко наблюдаемые распределения скорости и плотности газа в пространстве называются **макроскопическими параметрами** системы. Они дают неполное, частичное описание системы. Полный набор ее параметров определяется скоростями и позицией всех молекул газа. Такие параметры называется **микроскопическими параметрами**. Сам вытекающий

газ называется наблюдаемой **системой**. Система называется **замкнутой**, если она не взаимодействует с окружением. **Внутренней энергией** системы называется суммарная энергия всех ее молекул.

В дальнейшем, если не оговорено иное, мы будем рассматривать замкнутые системы с заданной внутренней энергией и конечным объемом.

1.2 Фазовое пространство и фазовые траектории.[1],[2]

Введем многомерное пространство. Осями этого пространства будут координаты и скорости всех молекул системы. Тогда сама система будет изображаться точкой этого пространства. Положение этой точки будет давать полное микроскопическое описание системы. Подобное пространство называется **фазовым пространством** системы. Изменение состояния системы описывается движением точки в этом пространстве и называется **фазовой траекторией**.

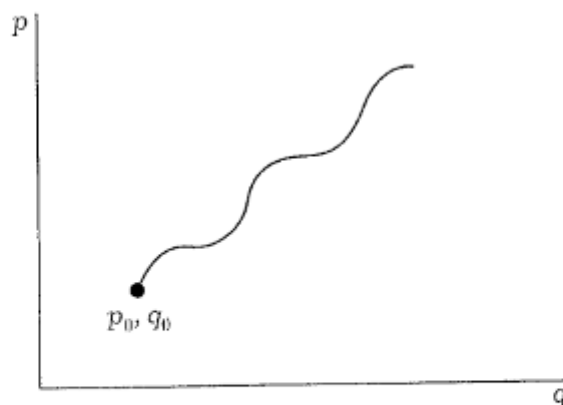


Figure 3. Траектория в фазовом пространстве. Динамическое состояние представлено точкой в фазовом пространстве p, q . Эволюцию во времени описывает траектория, которая исходит из начальной точки p_0, q_0 . (Рис. из [17])

Пусть известны только макроскопические параметры, а микроскопические параметры неизвестны. Тогда систему можно описать непрерывным набором точек, отвечающим этим макроскопическим параметрам. Это **фазовый объем («облако»)** системы или, иначе, **ансамбль Гиббса**. Все точки этого объема равновероятны и соответствуют разным микроскопическим, но одинаковым макроскопическим параметрам. (Смотри Приложение А) [1], [2]

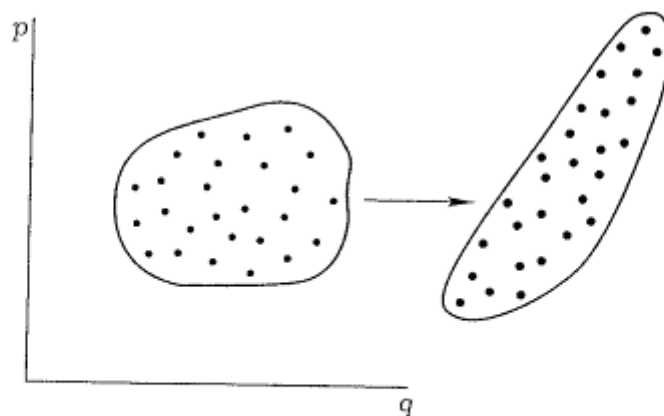


Figure 4. Ансамбли в фазовом пространстве. Ансамбль Гиббса представлен облаком частиц, отличающихся начальными условиями. Форма облака изменяется со временем. (Рис. из [17])

Для каждого набора макроскопических параметров (**макроскопическое состояние**) можно найти бесконечное число соответствующих ему наборов микроскопических параметров (**микроскопических состояний**). Для того чтобы сделать это число конечным, разобьем фазовое пространство на отдельные очень малые ячейки. Такой метод называют **дискретизацией** непрерывного пространства. При таком рассмотрении систему с конечным объемом и заданной внутренней энергией можно описать очень большим, но **конечным** числом состояний. Каждому макроскопическому состоянию теперь соответствует большой, но конечный набор микроскопических состояний. Для большинства систем подавляющее число из всех их возможных микроскопических состояний относится к одному главному макроскопическому состоянию. Оно называется **термодинамически равновесным состоянием**. Например, для газа в заданном объеме, оно соответствует равномерному распределению этого газа по объему. (Смотри Приложение Е.) [1], [2]

1.3 Эргодичность и перемешивание. [34], [35], [9]

Большинство реальных систем обладает свойством **эргодичности** [9], [35]: почти любая фазовая траектория должна с течением времени побывать во всех микросостояниях, возможных в системе. (Мы здесь имеем в виду микросостояния после дискретизации). В каждом микросостоянии система находится примерно равное время. Эргодические системы обладают замечательным свойством. Возьмем среднее по времени значение любого макропараметра для траектории. Оно будет одинаково для всех траекторий и совпадает со средним по ансамблю систем, описывающему термодинамическое равновесие.

Подавляющее большинство реальных систем обладает более сильным свойством **хаотичности или перемешивания** (так называемая **теорема КАМ**) [9], [35]: в окрестности любой начальной точки фазового пространства всегда существует другая

точка, такая, что фазовые траектории, выходящие из этих двух точек, расходятся экспоненциально быстро [34], [9].

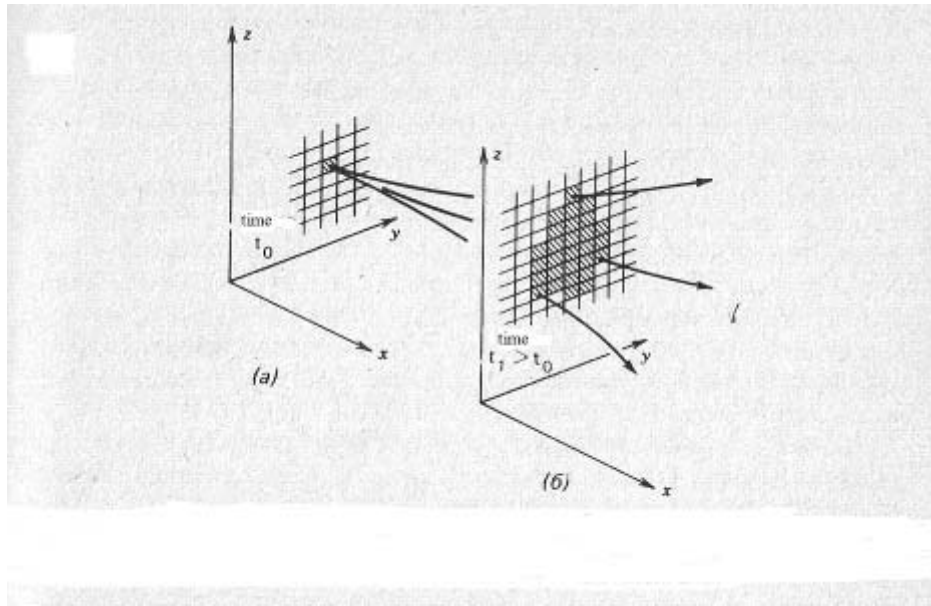


Figure 5. Иллюстрация увеличения неопределенности, или потери информации, в динамической системе. Заштрихованный квадрат в момент времени $t=t_0$ показывает неопределенность знания начальных условий. (Рис. из [12])

Экспоненциальная быстрота определяется следующим образом: если за 1 секунду траектории расходятся в два раза от начальной величины, то за следующую секунду они разойдутся уже в 4 раза от начальной величины, ещё за следующую секунду в 8 раз от начальной величины и т.д. Это очень быстрый тип расходимости. Системы, обладающие свойством перемешивания, всегда являются эргодическими.

1.4 Обратимость и теорема Пуанкаре.

Изменение микросостояний **обратимо**. Для каждой фазовой **траектории** существует обратная ей траектория, полученная изменением всех скоростей молекул на противоположные значения. Это эквивалентно прокручиванию пленки фильма, снятого о системе, в обратном направлении.

подавляющая часть фазовых траекторий спустя возможно очень большое время должно вернуться в исходное микросостояние, из которого оно вышло. Это утверждение называется **теоремой Пуанкаре** о возвратах. (Смотри **Приложение С.**) [2] Большинство реальных систем являются хаотическими и обладают неустойчивостью и быстрой расходимостью фазовых траекторий из первоначально близлежащих микросостояний. Поэтому у таких систем время возврата неодинаково и сильно зависит от точного положения начальной точки фазового пространства внутри ячейки, определяющей ее начальное микросостояние. Но для очень узкого класса так называемых **интегрируемых систем** это время возврата примерно одинаково для всех точек начальной фазовой ячейки и эти возвраты происходят периодически или почти периодически.

1.5 Энтропия. [1], [2], [29]

Введем базисное для статистической механики понятие **макроскопической энтропии**. Пусть некоторому макроскопическому состоянию соответствует 16 микросостояний.

Какое минимальное число вопросов, допускающих только ответы «да» или «нет», нужно задать, чтобы выяснить, в каком из микроскопических состояний находится система? Если последовательно спрашивать о каждом микросостоянии может потребоваться до 15 вопросов. Но можно поступить и хитрее. Разобьем все микроскопические состояния на две группы, по 8 микросостояний в каждой группе. Первый вопрос будет, к какой группе относиться искомое микросостояние? Затем, указанную группу разобьем на две подгруппы по 4 микросостояния в каждой и зададим тот же вопрос. Продолжим эту процедуру до получения группы из одного искомого микросостояния. Нетрудно подсчитать, что потребуется лишь четыре таких вопроса. Это и будет минимальное число вопросов. Оно носит название **макроскопической энтропии**. [1], [2], [29] (Смотри **Приложение В**) Ясно, что чем больше микросостояний соответствует макроскопическому состоянию, тем выше его энтропия. Соответственно, термодинамически равновесное состояние имеет максимальную энтропию. Часто говорят, что энтропия является мерой беспорядка. Это естественно. Чем больше беспорядка в системе, тем больше вопросов нужно задать, чтобы понять, в каком точно состоянии система находится. Зачем нам нужно вводить эту «заумную» энтропию? Можно ведь просто использовать число микросостояний! Но энтропия обладает замечательным свойством. Пусть мы имеем систему, состоящую из двух несвязанных подсистем. Энтропия полной системы это сумма энтропий двух её подсистем. Действительно, ведь это общее число вопросов об их состояниях, которые просто складываются. А числа микросостояний перемножаются! Суммировать же всегда проще, чем перемножать.

Статистическая механика формулирует несколько важных свойств физических систем: Пусть начальное макроскопическое состояние описывается неким фазовым объемом. Существует теорема, доказывающая, что при обратимом Ньютоновском процессе эволюции системы этот фазовый объем сохраняется (Смотри **Приложение F**.) [2]. Соответственно сохраняется и соответствующее ему число микросостояний. Энтропия, соответствующая этому набору состояний, называется **энтропией ансамбля** систем. Из свойства сохранения фазового объема следует, что энтропия ансамбля постоянна во времени.

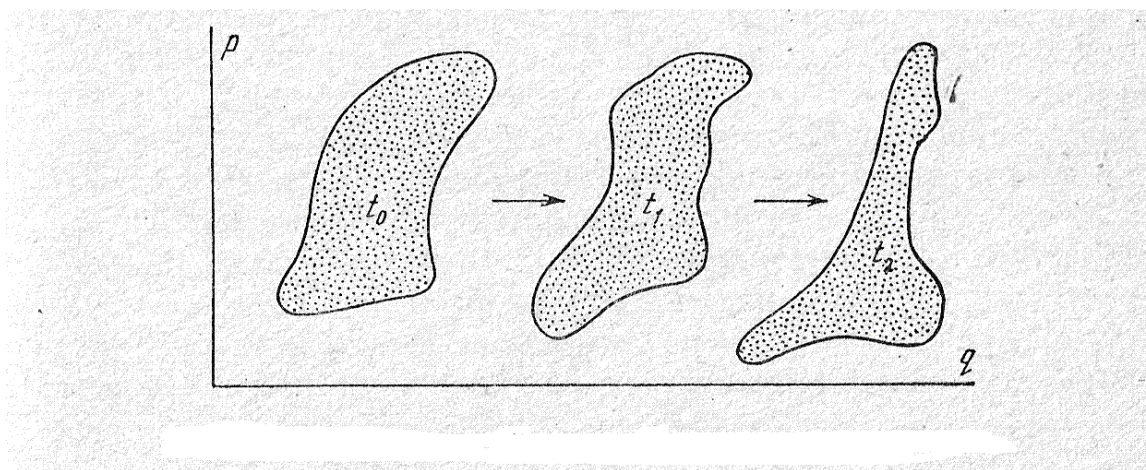


Figure 6. Сохранение объема в фазовом пространстве. (Рис. из [14])

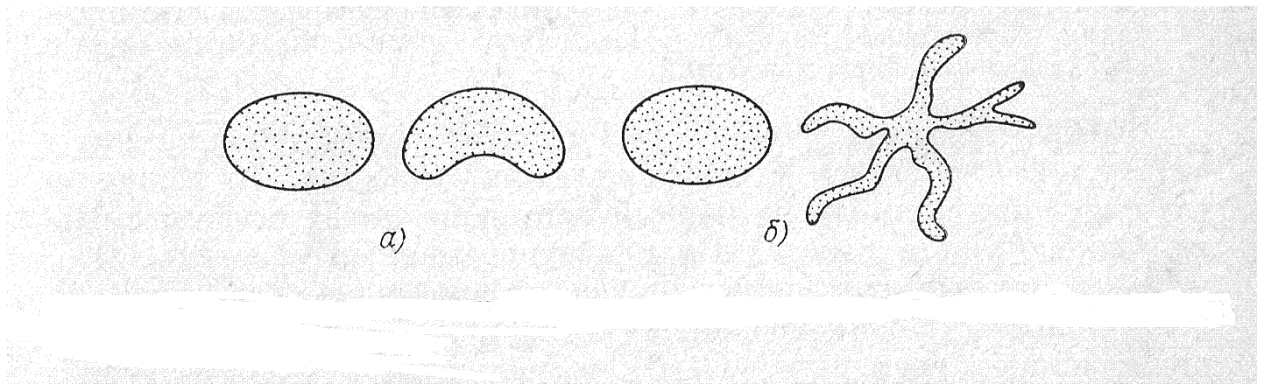


Figure 7. Изменение элемента фазового объема в устойчивом а) и неустойчивом б) случаях. (Рис. из [13])

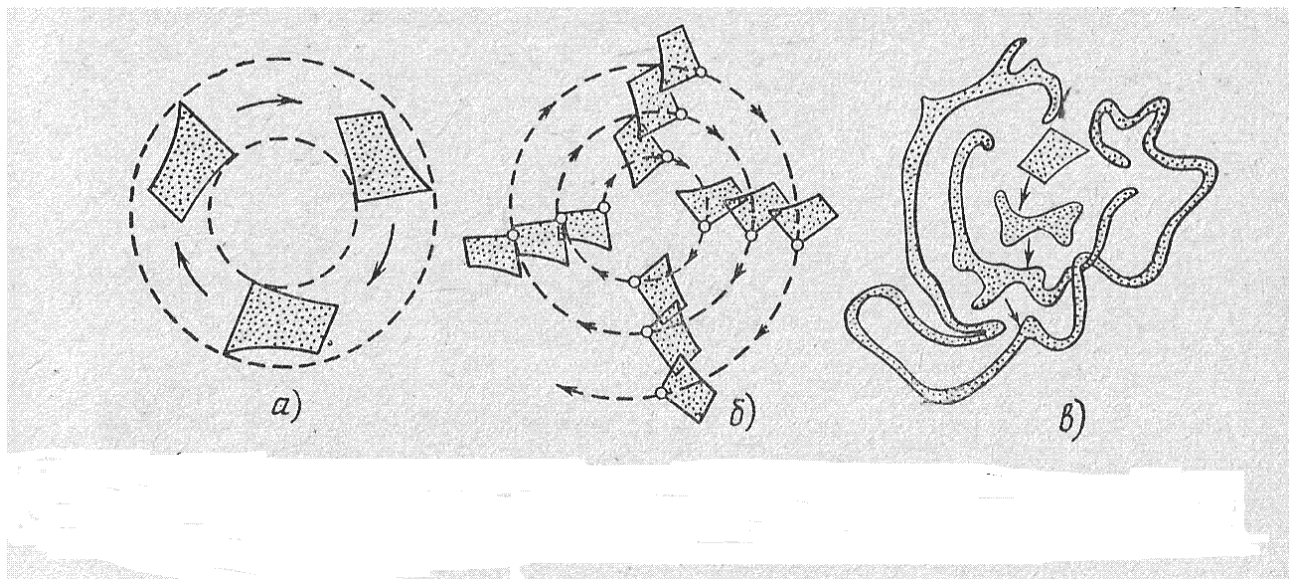


Figure 8. Различные типы потоков в фазовых пространствах: а) неэргодический поток б) эргодический поток без перемешивания в) поток с перемешиванием. (Рис. из [14])

1.6 Эволюция макроскопической энтропии для хаотических систем.

Из свойств эргодичности следует, что система, изображаемая точкой в фазовом пространстве, из почти любого первоначального состояния спустя некоторое время перейдет в термодинамически равновесное состояние, и будет находиться в этом состоянии *большинство* времени. Это связано с тем, что большинство микросостояний системы, через которые она проходит в процессе эволюции, отвечает термодинамически равновесному состоянию.

Термодинамически равновесное состояние обладает максимальной макроскопической энтропией. Даже если в начальном состоянии макроскопическая энтропия была мала, при переходе к термодинамическому равновесию она очень сильно возрастет. Это свойство противоположно свойству энтропии ансамбля, которая остается постоянной. Эта разница связана с тем, что энтропия ансамбля определяется начальным набором микросостояний. В то время как макроскопическая энтропия определяется набором микросостояний, которые соответствуют текущему макроскопическому состоянию. Для термодинамического равновесия это число микросостояний очень велико.

Для хаотических систем (систем с перемешиванием) верна следующая теорема:

Процессы изменения *макропараметров*, протекающие с уменьшением макроскопической энтропии, сильно неустойчивы по отношению к малому внешнему шуму. При этом процессы изменения *макропараметров*, связанные с ростом макроскопической энтропии, являются наоборот устойчивыми².

Докажем это. Рассмотрим вначале процесс с ростом энтропии. Пусть начальное состояние системы описывается неким макроскопическим состоянием, далеким от термодинамического равновесия. Такое состояние характеризуется компактным (замкнутым и ограниченным) и выпуклым (содержащим отрезок, соединяющий любые две его точки) фазовым объемом. Поскольку систем хаотическая, в окрестности каждой точки будет и другая, с которой она экспоненциально удаляется. Из-за сохранения фазового объема (Смотри **Приложение F .**) в окрестности каждой фазовой точки всегда будет и другая, с которой она экспоненциально сближается, а не только удаляется. В результате, из малого компактного начального фазового объема образуется размазанный по всему фазовому пространству объем, который является уже не выпуклым множеством. Он обладает огромным количеством «рукавов» или «ветвей». При этом сам полный объем фазовой «капли» сохраняется. «Рукава» экспоненциально расширяются вдоль их длины и экспоненциально сжимаются вдоль их ширины. С течением времени число «рукавов» или «ветвей» растет, они причудливо изгибаются и покрывают своей «сетью» весь фазовый объем. Этот процесс называют **растеканием фазовой «капли»** [9], [35]. Пусть малый внешний шум выбросил фазовую точку за пределы «рукава» фазовой капли. Но процесс сжатия идет перпендикулярно «рукаву» и фазовая точка будет приближаться к «рукаву», а не удаляться от него. Это означает, что процесс растекания фазовой капли устойчив к шуму.

К тому же, шум может влияния сильно на микросостояние, но не макросостояние. Макросостояние соответствует огромному числу микросостояний молекул. Хотя внешний шум может сильно изменить состояние каждой одиночной молекулы, но полный вклад всех молекул в макросостояние остается неизменным. Это связано с "законом больших чисел" в теории вероятности [56]. Большинство микросостояний, соответствующих некоторому текущему макросостоянию, приводят к росту энтропии, потому что вероятность такого развития намного больше. Когда фазовая капля растечется почти вдоль всей поверхности постоянной энергии, её макросостояние будет соответствовать просто обычному термодинамическому равновесию. При этом даже уже не малый шум уже не может заметно повлиять на ее макросостояние, поскольку подавляющее большинство микросостояний в системе отвечают именно этому состоянию.

Теперь рассмотрим обратный процесс, идущий с уменьшением энтропии. Начальное состояние определяется набором точек фазового пространства, полученных из конечного состояния прямого процесса (растекшейся «фазовой капли») путем обращением скоростей всех молекул. При обращении скоростей начальная форма растекшейся «фазовой капли» не меняется. Но направление сжатия из-за обращения скоростей уже не перпендикулярно, а параллельно её «веткам». Вместо растекания фазовой капли будет происходить её сжатие. Пусть малый внешний шум выбросил фазовую точку за пределы «рукава» фазовой капли. Но процесс расширения идет уже перпендикулярно «рукаву» и фазовая точка будет удаляться от него, а не приближаться. Это означает, что процесс сжатия фазовой капли неустойчив к шуму.

² На самом деле, рассмотрим простой пример роста энтропии идеального газа, расширяющегося из малого объема ящика до полного заполнения этого ящика. Если процесс расширения устойчив к малому шуму, то обратный процесс сжатия легко предотвращается таким малым внешним шумом, рассеивающим молекулы.

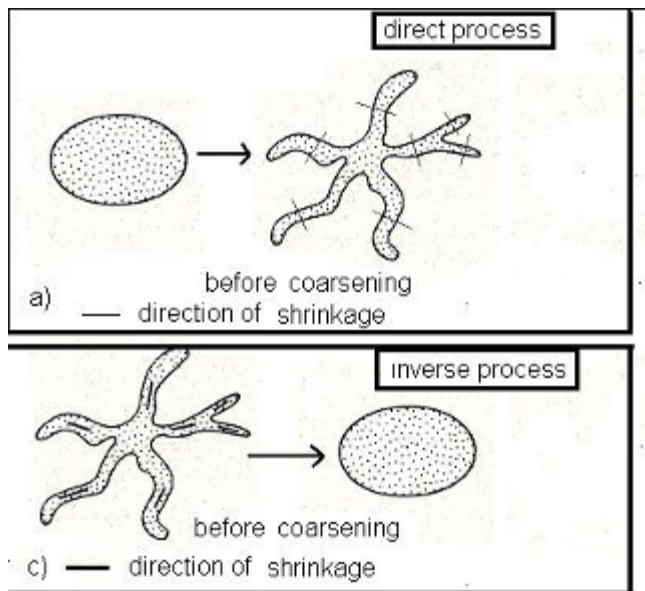


Рис. 9. Прямой процесс с увеличением макроскопической энтропии и обратный процесс к нему процесс. Направления сжатия обозначены.

1.7 Второе начало термодинамики и связанные с ним парадоксы.

Теперь мы готовы определить второе начало термодинамики и вносимые им парадоксы. **Второе начало гласит: в замкнутых системах конечного объема макроскопическая энтропия не может уменьшаться, а может только лишь расти или не меняться. Со временем макроскопическая энтропия достигает максимума в состоянии термодинамического равновесия [1], [2].**

Главный парадокс состоит в противоречии этого закона **возрастания энтропии** с описанными выше базисными свойствами статистической физики. Действительно, из обратимости следует, что на каждый процесс с увеличением энтропии есть обратный процесс с таким же её уменьшением. Это **парадокс Лошмидта**. Кроме того, из теоремы Пуанкаре о возвратах следует, что рано или поздно система вернется в прежнее состояние и, следовательно, и ее энтропия также вернётся к начальному значению! Это **парадокс Пуанкаре**.

С этими двумя парадоксами тесно связано понятие **корреляций** скоростей и положений молекул, составляющих физические тела.

1.8 Дополнительные микроскопические корреляции и их связь с парадоксами статистической физики.

Корреляция является количественной мерой зависимости переменных (В нашем случае это мера зависимости скоростей и положений молекул). Наиболее известна **корреляция Пирсона**. Она является мерой **линейной** зависимости двух переменных. (Смотри **Приложение D.**) Очевидно, что существуют гораздо более сложные зависимости и соответствующие им более сложные корреляции. Корреляции между различными переменными приводят к **ограничениям** на возможность выбора тех или иных значений этих переменных.

Одним из факторов, обеспечивающих корреляцию, является знание макроскопического состояния системы. Действительно, теперь уже не все, а лишь некоторые микросостояния могут соответствовать данному макроскопическому состоянию. Таким образом, их набор уже ограничен, что приведет к возникновению ограничения на скорости и положения

молекул, определяющих возможные микросостояния системы. Следует отметить, что все такие **корреляции являются макроскопическими и описываются как зависимость между макроскопическими параметрами системы**. У макроскопических состояний с низкой энтропией ограничения на выбор возможных микросостояний велики и, соответственно, велико число возможных макроскопических параметров и корреляций между ними. У системы находящейся при термодинамическом равновесии энтропия достигает максимума, а число возможных макроскопических параметров и корреляций между ними мало.

Дополнительные или микроскопические корреляции [33], определяются знанием не только текущего макроскопического состояния, но и макроскопической истории системы. Пусть физическая система эволюционировала из начального макроскопического состояния в некое другое текущее макроскопическое состояние. При этом не все микроскопические состояния, отвечающие текущему макроскопическому состоянию возможны. Только такие состояния, которые при обращении скоростей молекул приводят к начальному состоянию, могут быть рассмотрены (свойство обратимости движения.). Это накладывает дополнительные ограничения (корреляции) на набор микросостояний, соответствующих текущему макроскопическому состоянию. **Дополнительную корреляцию** можно определить по-другому, не через знание прошлого, а через знание будущего. Согласно теореме Пуанкаре система должна вернуться в известное начальное макроскопическое исходное состояние через некоторое, заранее известное время. Зная некое текущее макроскопическое состояние и зная, когда в будущем произойдет возврат, мы можем наложить дополнительные ограничения (корреляции) на набор микросостояний, соответствующих этому текущему макроскопическому состоянию. Из определения этих **дополнительных корреляций** видно, что они тесно связаны с парадоксами Пуанкаре и Лошмидта. Именно существование этих **дополнительных корреляций** (дополнительных по отношению к **макроскопическим корреляциям**, определяемых заданием макросостояния) приводит к нарушению закона возрастания энтропии и обеспечивает возможность возвратов и обратимости, наблюдаемых в парадоксах Пуанкаре и Лошмидта.

Одним из основных свойств **дополнительных или микроскопических корреляций** является **неустойчивость** динамики этих дополнительных корреляций. При взаимодействии разных частей системы или взаимодействии этой системы с окружающими системами (в том числе и наблюдателем) дополнительные корреляции исчезают, а, точнее говоря, «растекаются» между частями системы и/или между самой системой окружающими ее системами. Пусть имеется некое начальное состояние с низкой энтропией. После некоторого малого времени происходит первые столкновения между молекулами. Их положения и скорости становятся коррелированными (это можно проверить, обратив скорости). Коррелированы пока что лишь близкие пары столкнувшихся молекул. Однако, по мере роста числа столкновений, возникающие корреляции будут включать все больше молекул и распространятся по все большему объему системы. Происходит "растекание" корреляций по системе [33].

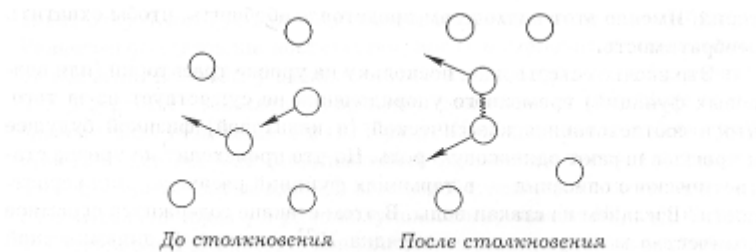


Рис. 3.2. Столкновения и корреляции. Столкновения двух частиц создает корреляцию между ними (условно изображенную волнистой линией).

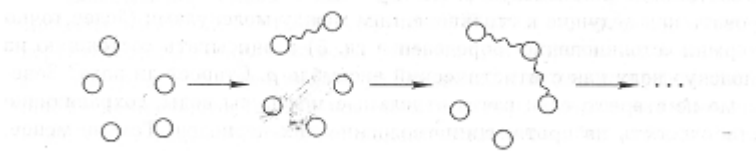


Рис. 3.3. Поток корреляций. Последовательные столкновения приводят к возникновению парных, тройных, ... корреляций.

Figure 10. Рассеяние и корреляции. Поток корреляций. (Рис. из [17])

Аналогично, если система состоит из двух не взаимодействующих систем, корреляции будут существовать только внутри каждой системы. Возвраты и обратимость возможны для каждой из таких подсистем. Пусть есть хотя бы малое взаимодействие между этими подсистемами. Тогда корреляции "перетекут" из одной подсистемы в другую, и эти две системы станут зависимыми. Соответственно, будет возможен только их совместный возврат или обратимость.

2. Главные парадоксы квантовой механики.

2.1 Основные понятия квантовой механики – волновая функция, уравнение Шредингера, амплитуда вероятности, измеряемые величины, соотношение неопределенности Гейзенберга.[3], [36]

Чтобы дальнейшее изложение было яснее, определим вначале основные понятия квантовой механики.

Движение в квантовой механике описывается не траекторией, а **волновой функцией**. Это волна вероятности, а точнее волна "**амплитуды вероятности**". Это означает, что квадрат амплитуды волновой функции в некоторой точке дает вероятность нахождения частицы в этой точке. Движение этой волны вероятности во времени описывается **уравнением Шредингера [36]**. Это линейное уравнение, т.е. сумма двух его решений также являются решением. Таким образом, амплитуды вероятностей суммируются, но не сами вероятности, поскольку они получаются из амплитуд возведением в квадрат. Это и вносит элемент нелинейности в процесс распространения волновой функции.

Любая измеряемая величина (например, импульс) описывается ортонормальным, полным набором функций (набор собственных функций измеряемой величины). Волновая функция может быть разложена по этому набору функций. Каждая из функций набора соответствует некому определенному значению (собственному значению) измеряемой величины. Коэффициенты разложения дают амплитуду вероятности для каждого такого значения. Если волновая функция совпадает с собственной функцией измеряемой величины, то эта величина имеет в этом состоянии одно определенное значение. Если же

нет – мы можем указать лишь вероятности для различных значений измеряемой величины.

Понятие скорость частицы теперь не имеет никакого физического смысла, поскольку нет траектории, а есть лишь «волна вероятности» [36]. Импульс теперь определяется не через скорость, а через коэффициенты разложения волны вероятности на набор собственных функций импульса. Этот набор функций аналогичен ортонормальному, полному набору Фурье функций в Фурье анализе.

Собственные функции координаты пропорциональны Дельта-функциям Дирака. Коэффициент разложения волновой функции для такой функции дается значением волновой функции в точке, где Дельта-функция Дирака обращается в бесконечность. Это соответствует приведенному ранее смыслу волновой функции как амплитуды вероятности.

Поскольку импульс и координата соответствуют различным наборам собственных функций [36], никакая волновая функция не может иметь одновременно точные значения импульса и координаты, в противоположность классической механике. Причина связана с различием определений этих величин в квантовой и классической механике. Это и есть знаменитая **неопределенность Гейзенберга**. [36] (Смотри Приложение G.).

2.2 Чистые и смешанные состояния. Матрица плотности. [3], [15], [29]

Наиболее полное описание квантовой системы дает её волновая функция. Это, так называемое, **чистое состояние**. Для классической механики это была точка в фазовом пространстве. Каков аналог ансамбля систем в классической статистической физике (облако точек в фазовом пространстве)? Это набор волновых функций, где каждой функции соответствует её вероятность (а не «амплитуда вероятности»!). Так определяется **смешанное состояние** квантовой системы.

Пусть некоторая система является частью некоторой большей системы. Тогда, даже если большая система описывается чистым состоянием, для описания только меньшей подсистемы в общем случае необходимо использовать смешанное состояние.

Пусть, например, малая квантовая система взаимодействует с прибором, который находится в чистом состоянии. Тогда большая система (прибор – малая квантовая система) описывается чистым состоянием, но сама малая квантовая система после измерения описывается уже смешанным состоянием.

Для единообразного описания смешанных и чистых состояний используют матрицы плотности. [15] Выберем некоторую измеряемую величину и соответствующей ей набор ортонормальных функций. Тогда матрица плотности в представлении этих функций описывается квадратной матрицей. Каждой такой функции соответствует диагональный элемент матрицы плотности. Он равен вероятности найти систему в состоянии, определяемой этой функцией.

Недиагональные элементы матрицы плотности определяют разницу между чистым и смешанным состояниями. В чистом состоянии недиагональные элементы матрицы плотности имеют максимальное значение, для смешанных состояний их величина уменьшается и может стать равной нулю. Величина недиагональных элементов является мерой корреляции между состояниями системы, определяемыми базисными функциями матрицы плотности. Матрицу плотности всегда можно переписать в другом ортонормальном базисе функций, соответствующем какой-либо другой измеряемой величине. Эволюция во времени матрицы плотности заменяет эволюцию волновой функции в чистом состоянии или ансамбля (набора) волновых функций в смешанном состоянии. Вид этих уравнений в обоих случаях одинаков, что и обуславливает удобство в использовании матрицы плотности вместо набора волновых функций. (Смотри Приложение I.)

2.3 Свойства изолированной квантовой системы с конечным объемом и конечным числом частиц. [29]

Так же как мы сделали и для классических систем, рассмотрим здесь свойства изолированной (замкнутой) квантовой системы в с конечным объёмом с конечным числом частиц..

- 1) Такие квантовые системы описываются обратимыми уравнениями движения Шредингера.
- 2) Для таких систем верна теорема Пуанкаре. Более того, по своим свойствам квантовые системы подобны классическим интегрируемым системам (которые составляют лишь незначительную часть классических систем). Их возвраты происходят почти периодическим образом. Кроме того, период этого возврата очень слабо зависит от начальных условий.
- 3) Для квантовых систем можно определить энтропию ансамбля. Энтропия – это мера неопределенности, а чистое состояние единственно и дает максимально полное описание квантовой системы. Поэтому для любого чистого состояния энтропия принимается равной нулю по определению. Для смешанного состояния энтропия уже больше нуля, и такому состоянию соответствует уже набор чистых состояний. Пусть вероятность какого-либо одного из чистых состояний, описывающих смешанное состояние, близка к единице. Тогда это смешанное состояние почти чистое и его энтропия почти равна нулю. Когда же все чистые состояния смешанного состояния равновероятны, энтропия достигает своего максимума.
- 4) При эволюции квантовой системы чистое состояние переходит в чистое. В смешанном состоянии вероятности чистых состояний тоже постоянны. А значит и микроскопическая энтропия не меняется в процессе эволюции квантовой системы.
- 5) Мы можем описать большую квантовую систему с большим числом квантовых параметров лишь небольшим числом параметров, которые будем называть макроскопическими. Данному макроскопическому состоянию соответствует целый набор чистых состояний, которые будем называть микроскопическими. Соответственно на основе этого набора можно определить энтропию макроскопического состояния, которую будем называть макроскопической энтропией. В отличие от энтропии ансамбля она не должна сохраняться в процессе эволюции квантовой системы.
- 6) В процессе измерения квантовой системы, она перестает быть замкнутой, поскольку взаимодействует с прибором. Соответственно, ее чистое состояние переходит в смешанное, а микроскопическая энтропия возрастает. Такая эволюция необратима без обращения во времени также и измерительного прибора.

2.4 Теория измерений в квантовой механике.[3], [29] (Приложение J, O, P)

Для того чтобы проверить научную теорию, необходимо проводить измерения с помощью измерительных приборов. Это, как минимум, два измерения: для начального и конечного состояния. Зная начальное состояние и сравнивая измеренное конечное состояние с предсказанием теории, можно проверить ее достоверность.

В классической механике измерение - это простой процесс определения текущих параметров системы, не влияющий на её динамику. В классической механике полное описание её начального состояния дает однозначный результат измерения.

В квантовой механике всё много сложнее. Измерение влияет на динамику квантовой системы. Кроме того, в квантовой механике мы можем предсказать лишь вероятность того

или иного результата измерения, даже если начальное состояние является чистым, т.е. дает наиболее полное описание квантовой системы.

Опишем процесс измерения в квантовой механике подробнее. Пусть система в начале описывается некоторой волновой функцией. Измерение некоторой величины приводит к тому, что волновая функция в момент измерения переходит скачком в одну из собственных волновых функций измеряемой величины. Это происходит, поскольку только для такой собственной функции измеряемая величина имеет определенное значение, получаемое в результате измерения. Как мы уже писали выше, вероятность такого измерения пропорциональна квадрату амплитуды разложения на собственные функции. Таким образом, после измерения система переходит из чистого состояния в смешанное состояние. Этот процесс носит название **редукции волновой функции**. Он не описывается уравнением Шредингера. Действительно, уравнение Шредингера описывает лишь переходы из чистого состояния в чистое. В результате редукции мы получаем из чистого состояния смешанное состояние. Кроме того, уравнение Шредингера обратимо. Процесс редукции необратим. Наличие этих **двух различных типов эволюции** квантовой системы объясняется тем, что в момент измерения квантовая система не замкнута – она взаимодействует с **макроскопическим классическим прибором**.

Макроскопический прибор, чтобы быть непротиворечиво описанным квантовой механикой, должен быть на самом деле **идеально макроскопическим**, т.е. или находиться в бесконечном пространстве, или состоять из бесконечного числа частиц. Идеальный макроскопический прибор не удовлетворяет условиям теоремы Пуанкаре о возвратах и имеет вполне определенное макроскопическое состояние во все моменты измерения. Для идеального макроскопического прибора квантовые законы в течение любого конечного времени дают тот же результат, что и классические законы. Следует отметить, что реальный измерительный прибор в ограниченном замкнутом объеме является макроскопическим лишь приближенно. Это замечание очень существенно для нашего анализа. Оно и является основным источником обсуждающихся в дальнейшем парадоксов.

Таким образом, эволюция квантовой системы разбивается на два вида. Первый это обратимая эволюция Шредингера. Второй это необратимая редукция волновой функции, происходящая при взаимодействии с макроскопическим классическим прибором.

Поскольку мы непосредственно наблюдаем лишь классические приборы, нет необходимости "наглядно" представлять себе "загадочные" квантовые объекты. По сути, квантовые объекты - это всего лишь математические абстракции, позволяющие описать связи между результатами показаний измерительных приборов. Сами приборы вполне классические и представимые. У них нет, например, параметров, которые нельзя померить одновременно, подобно координате и импульсу частицы в квантовой механике. "Наглядное", "физическое", "интуитивное" представление квантовой механики необходимо лишь для облегчения понимания самого сложного математического аппарата квантовой механики. Такое понимание до конца не возможно, поскольку наша интуиция основывается на классическом окружающем мире. Но, как мы уже написали выше, и нет такой практической необходимости. Однако эта невозможность и является основой всем известной **"магии" и "загадочности" квантовой механики**.

2.5 Сложность в попытке «классической» интерпретации квантовой механики: введение скрытых параметров и парадокс ЭПР.[3]

Законы квантовой механики носят вероятностный характер, причем многие величины не могут быть измерены одновременно. Однако вероятностны и многие законы классической статистической механики. Там их вероятностный характер объяснялся наличием **скрытых микроскопических параметров (Приложение У)**: скоростей и положений всех молекул. Любое классическое макроскопическое состояние описывается

набором возможных микросостояний, соответствующих ему. Мы можем сделать попытку наглядной интерпретации вероятностных квантовых параметров, введя (по аналогии с классической статистической механикой) также и в квантовую механику свои скрытые параметры. Знание всех этих скрытых параметров позволяет однозначно определить все измеряемые в квантовой системе величины. Как и макроскопическое состояние, реальное наблюдаемое состояние в квантовой механике соответствует некому набору возможных значений скрытых параметров, а не их точным значениям. Однако, в отличие от классической статистической механики, в квантовой механике введение таких скрытых параметров возможно лишь при следующих очень серьезных допущениях:

1) Измерение (за исключением особых случаев совпадения одной из собственных функций измеряемой величины с волновой функцией наблюдаемой системы) неизбежно меняет состояние измеряемой системы. В классическом случае мы полагаем возможность любого измерения без возмущения.

2) Все скрытые параметры не могут быть измерены одновременно. Так, например, мы ранее уже говорили о принципе неопределенности и невозможности измерить одновременно координату и импульс частицы. Измерение меняет состояние системы (редукция волновой функции), и, следовательно, все скрытые параметры не могут быть измерены также и в результате серии последовательных измерений. Мы можем предположить, что все скрытые параметры имеют некое вполне определенное значение. Но не существует такого реального и наблюдаемого физического состояния, в котором все скрытые параметры имеют некое вполне определенное значение. В любом реальном эксперименте мы можем напрямую найти определенные однозначные значения лишь для части из этих параметров. В то же время это же измерение приведет к неконтролируемому изменению и статистической неопределенности всех других скрытых параметров.

3) **Введение скрытых параметров невозможно без введения дальнего действия [3]** между ними. Дальнее действие – это взаимодействие, которое распространяется мгновенно на любые расстояния. Это, однако, не противоречит известному из теории относительности факту, что никакое взаимодействие, связанное с передачей информации или массы, не может распространяться быстрее скорости света. Ведь это дальнее действие не переносит информацию или массу и его, соответственно, невозможно напрямую экспериментально наблюдать! Перенос информации возможен лишь для экспериментально наблюдаемого взаимодействия. Причиной этого служит свойство, описанное в предыдущем пункте. А именно, невозможность одновременно измерить все скрытые параметры и обнаружить это взаимодействие.

Эта необходимость введения ненаблюдаемого дальнего действия является слишком высокой ценой за классическую "наглядность", и поэтому скрытые параметры обычно не используются в квантовой механике. Если же рассматривать законы квантовой механики просто лишь как некую математическую взаимосвязь между результатами реально наблюдаемых показаний макроскопических приборов, то никаких противоречий или необходимости вводить дальнее действие не возникает.

Эта необходимость введения дальнего действия скрытых параметров иллюстрируется знаменитым «парадоксом» Эйнштейна-Подольского-Розена (ЭПР).[3], (Приложение R) Заметим, что этот «парадокс» на самом деле фиктивный. Он возникает только тогда, когда законы квантовой механики пытаются проинтерпретировать классически и одновременно "легкой ценой", т.е. введением скрытых параметров, но без дальнего действия. Он основывается на анализе состояний пары электрон-позитрон, которые в начале были вместе, а затем разлетелись на большое расстояние.

Каждый электрон (или позитрон) обладает собственным вращательным моментом, который носит название спина. Классический аналог собственного момента – момент волчка, вращающегося вокруг собственной оси. В отличие от классического момента, абсолютная величина проекции собственного момента электрона имеет неизменную

величину ($1/2$), а её проекция на любую ось имеет только два возможных значения: вдоль оси и против оси ($+1/2$ и $-1/2$). Если мы выберем иную ось, то она будет обладать тем же свойством. Однако проекции на две разных оси не могут быть измерены одновременно. Не существует квантового состояния, в котором проекции спина на две разных оси имеют определенное значение.

Пусть рождается электрон-позитрон с суммарным спином ноль. Предположим теперь, что электрон и позитрон движутся в противоположных направлениях, пока не удалятся друг от друга на большое расстояние. Величины их спинов при этом неизвестны. Пусть мы померили спин электрона вдоль некоей оси (обозначим ее как ось Z) и получили значение $+1/2$. Отсюда можно сделать однозначный вывод о результате измерения проекции спина позитрона на ту же ось. Действительно, из закона сохранения полного спина (вначале он был равен нулю) эта проекция равна $-1/2$. Мы можем вместо этого провести измерение проекции спина позитрона вдоль любой другой оси. Если эта ось перпендикулярна оси Z , то равной вероятностью спин позитрона равен как $+1/2$, так и $-1/2$. Для других положений оси квантовая механика также позволяет точно рассчитать условные вероятности измерения проекции спина позитрона при известной данной проекции спина электрона на ось Z .

Предположим, что все возможные проекции спина можно проинтерпретировать «классически». Это означает, что все они имеют некое определенное известное значение, а измерение лишь «проявляет», делает наблюдаемым его. Это означает, что за скрытые параметры принимаются проекции спина частиц на все возможные оси.

Чем тогда объясняется связь спинов электрона и позитрона, описанная выше? Тем, что существует статистическая связь (корреляция) между возможными значениями скрытых параметров? Или измерение спина электрона за счет некоего дальнего действия скрытых параметров влияет также на спин позитрона? С помощью так называемого **неравенства Белла (Приложение Г)** можно доказать следующую теорему. **Не существует такого набора скрытых параметров (т.е. проекций спина) и распределения вероятности, ему соответствующего, который определял бы все найденные из квантовой теории условные вероятности только за счет статистических корреляций между скрытыми параметрами (проекциями спина) этого набора.** Т.е. для объяснения связи спинов необходимо введение дальнего действия.

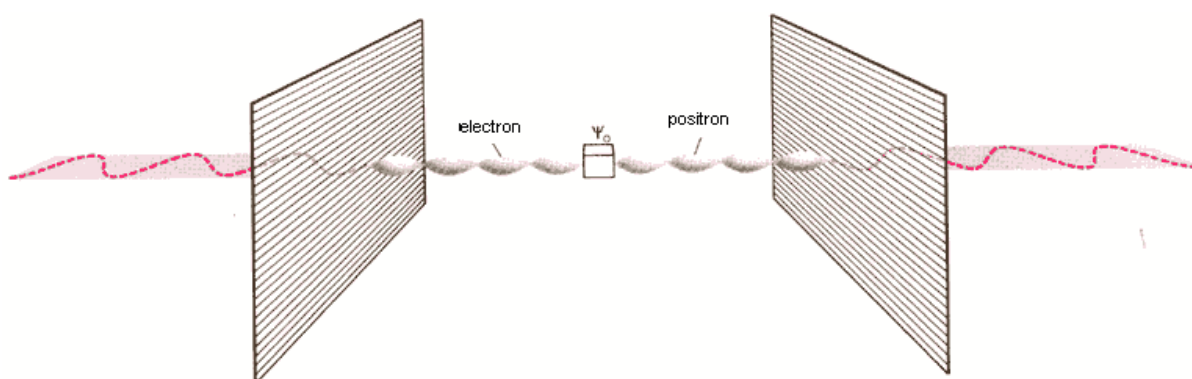


Рис 11. Разлетающиеся электрон и позитрон в ЭПР парадоксе.

Однако, можно рассматривать не все скрытые параметры, а лишь результаты измерения. В этом случае связь между спинами электрона и позитрона легко объясняется обычными статистическими корреляциями между измеренными параметрами. Это связано с тем, что мы способны померить только две проекции спина (одну для электрона и одну для протона), а все.

Корреляции удаленных объектов, существующие до измерения, являются **квантовыми**, если попытка их толкования "классически" (т.е. на основе набора скрытых

параметров) приводит к необходимости введения дальнего действия скрытых параметров. Это и отличает их от **классических корреляций**, которые подобных допущений не требуют. После же осуществления измерения, квантовый характер корреляций необратимо исчезает, и они переходят в самые обычные классические корреляции.

Подведем итоги рассмотрения. Мы либо должны отказаться от необходимости вводить скрытые параметры, либо согласиться с возможностью дальнего действия для этих параметров. В случае отказа от скрытых параметров и рассмотрении квантовой механики лишь как некоего математического аппарата, дающего связь между результатами измерения, никакого дальнего действия уже не требуется. Существует связь между результатами измерений проекций спинов электрона и позитрона, однако она носит характер обычной статистической корреляции двух вероятностных величин (проекций спина). Она объясняется тем, что в прошлом эти частицы были вместе. Так, например, для проекции спина $+1/2$ для электрона мы всегда получаем проекцию спина на ту же ось $-1/2$ для позитрона.

2.6 Задача двух щелей как иллюстрация сложностей квантовой механики.

Именно из-за невозможности "легкой" классической интерпретации квантовой механики известный американский физик Ричард Фейнман полагал, что никто не понимает квантовую механику. Однажды он заметил, что «единственная тайна квантовой механики заключена в интерпретации одного-единственного эксперимента — эксперимента с двойной щелью и электронами, современной версии классического опыта, выполненного в 1801 году английским исследователем Томасом Юнгом для демонстрации волновой природы света». Опыт этот был на удивление простым. В опыте Юнга свет от источника, в качестве которого служила узкая щель S , падал на экран с двумя близко расположенными щелями S_1 и S_2 . Проходя через каждую из щелей, световой пучок уширялся вследствие дифракции, поэтому на белом экране Э световые пучки, прошедшие через щели S_1 и S_2 , перекрывались. В области перекрытия световых пучков образуется ряд чередующихся светлых и темных полос — то, что мы теперь называем интерференционной картиной. Юнг интерпретировал темные линии как места, где «гребни» световых волн от одной щели встречаются с «впадинами» волн от другой щели, гася друг друга. Яркие же линии получаются в местах, где гребни или впадины от обеих щелей совпадают, вызывая усиление света. На протяжении почти двухсот лет различные варианты двухщелевого опыта Юнга рассматривались как доказательство того, что волны на воде, радиосигналы, рентгеновские лучи, звук и тепловое излучение распространяются в виде волн.

Определим понятие **разность хода** волн от щелей. Пусть имеется некоторая точка на конечном экране. Разница расстояний от двух щелей, измеренной в единицах длины волны, называется разницей хода волны для этой точки. Если разница хода целое число мы имеем максимум волны в этой точке. Если это целое число плюс половина, то имеем минимум.

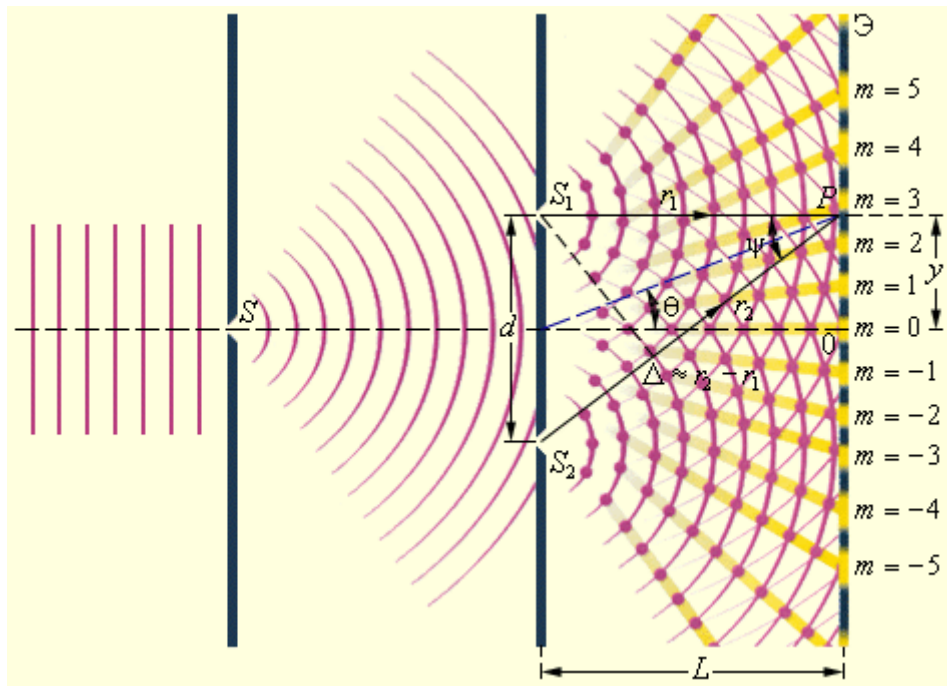


Рис. 12. Схема интерференционного опыта Юнга. (Рис. из [96])

Замечательно то, что опыт Юнга можно выполнить и с электронами. Вместо пучка солнечного света через параллельные щели проходит поток электронов, экраном служит покрытая люминофором пластина (подобная экрану телевизионной трубки). Каждый электрон при ударе о люминофор оставляет на нем светящуюся точку, фиксируя тем самым свое прибытие в виде частицы. Но изображение, сформированное всеми электронами, производит удивительное впечатление. Оно принимает вид интерференционного рисунка: яркие полосы, образованные множеством светящихся точек, чередуются с темными областями, где они почти отсутствуют. Картина в целом подобна той, которая получается в случае света, и совершенно непохожа на ту, которую мы получили бы, бросая, скажем, мячики в изгородь с двумя вынутыми из нее досками, то есть с двумя щелями. Двухщелевой эксперимент с электронами, демонстрируя, что частицы могут вести себя как волны.

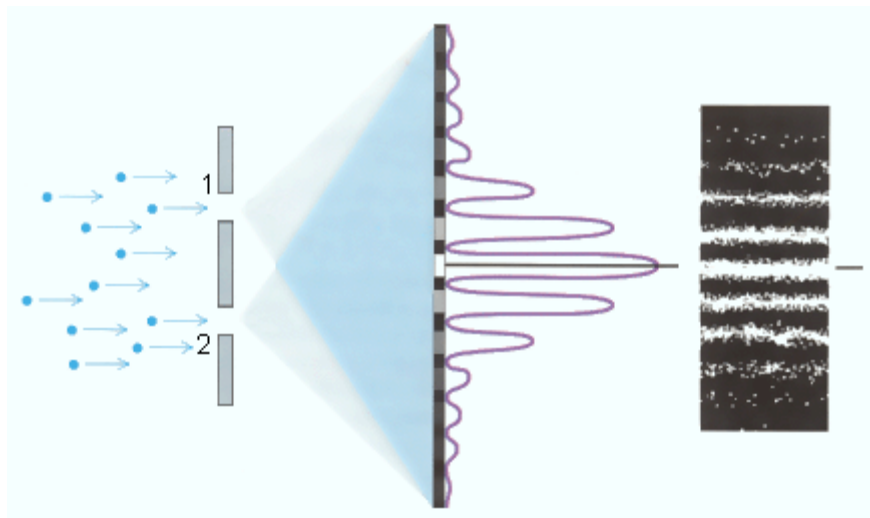


Рис. 13. Дифракция электронов на двух щелях. (Рис. из [97])

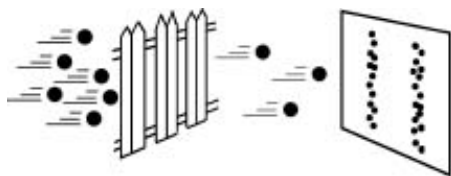


Рис. 14 Мячики, пролетающие сквозь щель в заборе, оставляют на стене следы в виде двух полос — «изображения» щелей. Так же вел бы себя и свет, будь он просто потоком частиц.

Если в опыте по наблюдению дифракции электронов на двух щелях закрыть одну из щелей, то интерференционные полосы исчезнут, и фотопластинка зарегистрирует полосу электронов, продифрагировавших на одной щели. Если затем открыть вторую щель мы получим вторую полосу. Итоговая картина в целом подобна той, которую мы получили бы, бросая, скажем, мячики в изгородь с двумя вынутыми из нее досками, то есть с двумя щелями. Если же открыты одновременно обе щели, то наблюдаемое интерференционное распределение не является простым наложением этих двух независимых распределений от каждой из щелей в отдельности. Результаты этого эксперимента не могут быть объяснены взаимодействием электронов – тот же результат получается, если выпускать электроны по одному. Причина в том, что позиция электрона определяется не некоторой траекторией, а волной вероятности. Две волны от двух щелей складываются и дают интерференционную картину. Квадрат амплитуды этой суммарной волны на экране даёт вероятность попадания туда электрона.

Предположим, мы располагаем детектором, который показывает, через какую из щелей проходит электрон. Итоговая картина в этом случае подобна той, которая получается в результате опыта попеременного закрытия двух щелей, описанного выше, т.е. интерференционная картина исчезает. Этот результат объясняется влиянием измерительного прибора – детектора. Происходит описанная выше редукция волновой функции и чистое состояние переходит в смешанное. Таким образом, вместо суммы амплитуд волновых функций от двух щелей, суммируются вероятности, определяемые каждой из этих волн, и интерференционная картина исчезает.

Этот эксперимент демонстрирует два важнейших свойства квантовой механики. Во-первых, **мы не можем предсказать точное место попадания электрона в экран**, а можем лишь найти вероятность его попадания в ту или иную точку. Лишь большое число электронов дает вполне определенную и предсказуемую картину распределения их совместных попаданий на экран. В классической механике результат предсказаний был однозначен даже для одной частицы. Во-вторых, **мы не можем произвести любое измерение промежуточного состояния электрона, не исказив результата последующих измерений**. Так, проверив через какую из щелей прошёл электрон, мы разрушим интерференционную картину. В классической механике теоретически всегда было возможно провести измерение, не меняя последующей динамики системы. В квантовой механике так можно измерить лишь величину, одна из собственных функций которой совпадает с текущей волновой функцией системы.

Опыт с двумя щелями также позволяет объяснить механизм **исчезновения квантовых интерференционных эффектов для макроскопических систем**. Он происходит при следующих трех условиях:

- 1) взаимодействие падающей на экран когерентной, "монохроматической" волны с окружением или источником излучения приводит к **переходу ее чистого состояния в смешанное состояние**. Как следствие, волна вероятности не является бесконечной синусоидой, а разбивается на отдельные отрезки синусоид. Такие отрезки синусоид носят название волновых пакетов. Соотношение фаз между волновыми пакетами – случайная величина. Длина волнового пакета около 10-20 длин волн. Она имеет порядок радиуса взаимодействия волны с атомами окружающей среды (атомами источника излучения).

- 2) **переход к макроскопическим размерам.** Расстояниям между щелями (D) велико и много больше длины волнового пакета ($n\lambda$) и расстояния от щелей до экрана (L). Точнее: $D \gg \sqrt{L \cdot n\lambda}$, где λ -длина волны.
- 3) **рассмотрение макроскопических параметров** (усреднение интенсивности волны на отрезке, много больше длины волнового пакета, и в течение периода времени, много больше времени прохождения волнового пакета через неподвижную точку)

Когда расстояние между щелями растет (при постоянной L), разница хода становится много больше размера волнового пакета для большинства точек экрана. Как результат, разница фаз волн, приходящих от щелей становится переменной, случайной величиной. Следовательно, складываются уже не амплитуды волн от щелей, а их огрубленные макроскопические интенсивности. В итоге, на большей части экрана интерференция исчезает. Когда расстояние между щелями становится больше расстояния до экрана, интерференция остается лишь в малой окрестности точки экрана, находящейся точно посередине между щелями. Ее размер равен ширине волнового пакета. При дальнейшем увеличении расстояний между щелями интенсивность волны в интерференционной области начинает уменьшаться и стремится к нулю. Столь малые интерференционные эффекты не наблюдаются при огрубленном (т.е. макроскопическом) описании³.

Все эти эффекты исчезновения интерференции связаны с макроскопичностью системы и ее параметров, а также смешанным, не чистым начальным состоянием. Такой переход из чистого состояния в хаотическое смешанное состояние из-за взаимодействия с окружением носит название **декогеренции** (от латинского *cohaerentio* - сцепление, связь) [31], [39], [16], [16], [47], [48], (Приложение Р). Система перемешивается или запутывается с окружающей средой. Для макроскопических (т.е. очень больших) систем декогеренция приводит к исчезновению квантовой интерференции, как мы видели выше в опыте с двумя щелями. Теория декогеренции имеет важное следствие: для макросостояния предсказания квантовой теории практически совпадают с предсказаниями классической теории. Но ценой за это совпадение является необратимость, как мы увидим далее.

2.7 Парадокс Шредингеровского Кота [51] и спонтанная редукция.[3]

Полное, сто процентное нарушение принципа суперпозиции (т.е. полное исчезновение интерференции) и редукция волновой функции происходит лишь при взаимодействии квантовой системы с идеальным макроскопическим объектом или прибором. Идеальный макроскопический объект имеет либо бесконечный объем, либо состоит из бесконечного числа частиц. Такой идеальный макроскопический объект может быть непротиворечиво описан как квантовой, так классической механикой⁴.

³ Следует отметить, что эта система имеет **бесконечные размеры**, поскольку волны бегут к бесконечности в направлении, перпендикулярном экрану, а не отражаются обратно. Поэтому, в отличие от конечных систем, обсуждаемых далее, интерференция исчезая, не появляется вдруг снова вновь. С другой стороны, для расстояния между щелями **стремящимся к бесконечности** (при постоянной L) квантовые интерференционные эффекты стремятся к нулю для любой конечной ширины волновых пакетов и любой конечной степени огрубления параметров.

⁴ Так, наблюдая свет удаленной звезды, мы её изучаем, но не оказываем при этом на неё никакого влияния, как ожидалось бы из квантовой теории измерений. Мы изменяем лишь состояние дошедших до нас и наблюдаемых нами фотонов света звезды. Происходит это потому, что мы считаем пространство Вселенной бесконечным. Наблюдаемые фотоны не имеют шанса вернуться к наблюдаемой звезде и изменить ее состояние. В случае же конечной Вселенной, наблюдаемые фотоны могут вернуться к звезде, и таким путем наше наблюдение окажет влияние на звезду. Правда, в случае большого объема Вселенной ждать этого придется очень долго.

В дальнейшем, если не оговорено иное, мы рассматриваем, как и в случае классической статистической механики, лишь системы конечного объема с конечным числом частиц. Для таких систем приборы или объекты могут считаться лишь приближенно макроскопическими⁵.

Тем не менее, реальный эксперимент показывает, что и для таких неидеальных макроскопических объектов может происходить разрушение суперпозиции и редукция волновой функции. Будем называть такую редукцию неидеальных макроскопических объектов **спонтанной редукцией**. Спонтанная редукция приводит к многочисленным парадоксам, которые заставляют сомневаться в полноте квантовой механики, несмотря на все её огромные успехи. Приведем самый впечатляющий парадокс из этой серии – **парадокс «кота Шредингера»**. [51](Эрвин Шредингер, 1935)

Это умозраительный эксперимент, проясняющий принцип суперпозиции и редукции волновой функции. Кота помещают в коробку. В ней, кроме кота, находится капсула с ядовитым газом (или бомба), которая может взорваться с 50-процентной вероятностью благодаря радиоактивному распаду атома плутония или случайно залетевшему кванту света. Через некоторое время коробка открывается и выясняется, жив кот или нет. До тех пор пока коробка не открыта (не произведено измерение), кот пребывает в очень странной суперпозиции двух состояний: «живой» и «мертвый». Применительно к окружающим нас макрообъектам такая ситуация выглядит странно⁶. (Для элементарных частиц нахождение одновременно в двух, казалось бы, взаимоисключающих состояниях совершенно естественно.) Тем не менее, никакого принципиального запрета на квантовую суперпозицию состояний для макрообъектов нет.

Редукция этих состояний при открытии коробки и внешнем наблюдении не приводит к противоречию с квантовой механикой. Она легко объясняется воздействием внешнего наблюдателя на кота при измерении.

Парадокс возникает при закрытой коробке, когда наблюдателем является сам Кот. Действительно, Кот обладает сознанием и способен наблюдать как самого себя, так и свое окружение. При реальном самонаблюдении кот не может быть одновременно жив и мертв, а находятся лишь в одном из этих двух состояний. Опыт показывает, что любое сознающее существо либо ощущает себя живым, либо оно мертво. Одновременно и тем и другим оно чувствовать себя не может!⁷ Кот даже вместе со всем содержимым ящика - это не *идеальный* макроскопический объект. Поэтому наблюдаемая и необратимая спонтанная редукция на состояния живой и мертвый, приводящая к отклонению динамики этой системы от идеальной обратимой Шредингеровской эволюции, казалось бы, уже не может быть ничем объяснена. В этом и состоит суть парадокса «кота Шредингера»[3], [6], [7].

⁵ Например, описанное выше поведение системы звезда-наблюдатель для конечной, но очень большой Вселенной совпадает с поведением в бесконечной Вселенной лишь в течение очень большого, но конечного промежутка времени.

⁶ Иногда пытаются изобразить такие ситуации средствами искусства через «парадоксальные» картины. [8], [58], (Приложение V).

⁷ Хотя и существуют экзотические попытки представить себе, как сознание может воспринимать такие смешанные состояния макрообъектов [8], [58], (Приложение V). Смотри также предыдущую сноску.

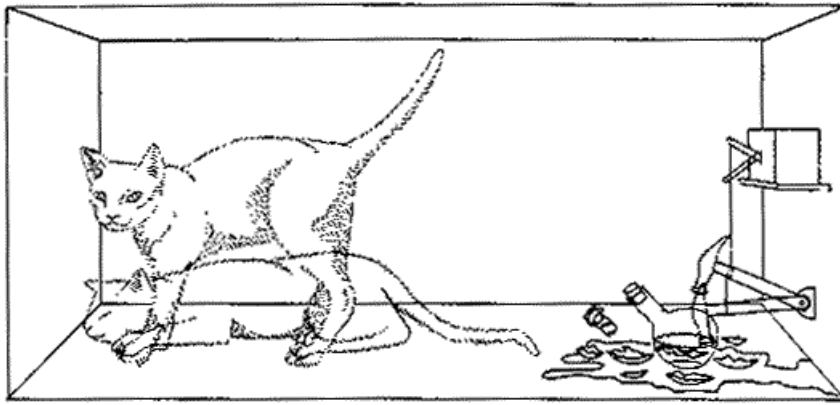


Рис. 15 Опыт со Шредингеровским Котом. Суперпозиция живого и мертвого Кота. (Рис. из [98])

Возникает масса вопросов, связанных со спонтанной редукцией. Противоречит ли она на самом деле Шредингеровской динамике? Насколько макроскопической должна быть система, чтобы спонтанная редукция происходила? Должна ли такая почти макроскопическая система обладать сознанием, подобно коту? С какой частотой по времени происходит спонтанная редукция?

2.8 Парадокс Зенона или «парадокс котелка, который никогда не закипит».

С последним из этих вопросов связан **«парадокс котелка, который никогда не закипит»**. На самом деле, здесь возникает не один, а два парадокса. Пусть происходит во времени некий квантовый процесс. Например, распад частицы или перехода частицы с одного энергетического уровня на другой.

Первый парадокс заключается в том, что если устремить временные интервалы между актами регистрации этого процесса к нулю, указанный процесс вообще никогда не происходит за любой заранее выбранный конечный промежуток времени! Это объясняется неустранимым влиянием квантового измерения. Измерение приводит к редукции смешанного состояния на распавшуюся и не распавшуюся частицу. Кроме того, относительная (на одну частицу) скорость процесса при уменьшении интервала между измерениями стремиться к нулю. Эти два факта приводят к тому, что процесс прекращается при чрезмерно частых измерениях.

Второй парадокс заключается в следующем. В реальности распад вещества, содержащего большое число частиц, всегда описывается экспоненциальным законом. Это не случайно. Относительная скорость такого распада постоянна во времени. Соответственно, невозможно экспериментально определить "возраст" такого вещества, если мы не знаем начальное число нераспавшихся частиц, а продукты распада удаляются из системы.

Но квантовый распад, согласно уравнениям квантовой механики, описывается **не экспоненциальным** законом. Поэтому относительная скорость распада в самом начале процесса равна к нулю, а затем растет. Мы приходим к парадоксальному выводу, что можно ввести нефизическое понятие «возраста» системы, который может быть легко определен через текущую относительную скорость распада системы.

Мы разрешим этот второй парадокс в следующей части статьи, посвященной Наблюдаемой Динамике.

2.9 Квантовые корреляции состояний системы и их связь с парадоксом Шредингеровского Кота.

С парадоксом Шредингеровского Кота тесно связано понятие **квантовой корреляции состояний системы**. Пусть происходит спонтанная редукция состояний живого или мертвого кота. Тогда любое дальнейшее измерение будет зависеть от того, в каком состоянии был перед этим Кот. Результаты измерений можно разбить на две группы: одна группа будет соответствовать живому Коту, другая мертвому. Если Кот находится в квантовой суперпозиции, то результат последующего измерения будет зависеть от обоих состояний Кота, его невозможно уже разбить на две несвязанных группы. Эта связь между текущими состояниями, проявляющаяся в невозможности получения независимых результатов измерений в будущем, называется квантовой корреляцией состояний системы.

На языке математики, этот результат объясняется нелинейностью связи между вероятностью результата измерений и волновой функцией. Квадрат суммы не равен сумме квадратов. Появляющиеся дополнительные члены (или интерференционные члены) определяют квантовую корреляцию.

Квантовая корреляция определяется недиагональными членами матрицы плотности. Для смешанного состояния, получающегося в результате измерения, все недиагональные члены нулевые.

Выразим парадокс Шредингеровского Кота на языке квантовых корреляций:

С одной стороны, результат самонаблюдения кота однозначно дает только один из результатов: кот жив или мертв. Таким образом происходит **спонтанная редукция, и квантовая корреляция** между этими состояниями **исчезает**. Это означает, что результаты всех последующих измерений можно разбивать на две независимые группы, соответствовать живому и мертвому коту.

С другой стороны, согласно уравнению Шредингера, квантовая корреляция не может сама исчезать, без наличия внешних сил. Это означает, что результаты последующих измерений нельзя разбивать на две независимые группы.

Это противоречие между Шредингеровской динамикой и наблюдаемой спонтанной редукцией приводит к парадоксу.

3. Интерпретации квантовой механики. Их нерелевантность для решения парадоксов.

Одной из проблем, о которой мы писали выше, является трудность понимания квантовой механики на основе нашей интуиции, почерпнутой из повседневного мира, описываемого классической механикой. Для облегчения такого понимания и служат различные интерпретации квантовой механики [3]. Надо особо подчеркнуть, что ни одна из интерпретаций квантовой механики не приводит к разрешению описанных выше парадоксов, а лишь позволяет наглядно и понятно для нашей интуиции понять саму квантовую механику. Приведем лишь три из широкого списка возможных интерпретаций. Наиболее популярной ныне и также очень наглядной является многомировая интерпретация.

3.1 Многомировая интерпретация. [37], [38],[3].

Опишем её подробнее. На примере Шредингеровского кота мы видели, что квантовая эволюция может приводить к различным, макроскопически различимым состояниям. Мы наблюдаем лишь одно из них. Многомировая интерпретация утверждает, что все эти состояния существуют одновременно в неких «параллельных мирах», но мы (или сам кот

в мысленном эксперименте) можем наблюдать лишь одну из макроскопических альтернатив.

Подобный подход следующим образом иллюстрирует понятие спонтанной редукции. Поскольку все миры существуют одновременно, все они могут оказывать влияние на результат последующего измерения. В общем случае результаты измерения невозможно разбить на две несвязанные группы, связанные с живым и мертвым котом. Значит эти миры коррелируют друг с другом и влияют совместно на последующие измерения. Наличие же спонтанной редукции при измерении приводит к потере этой корреляции. Результаты всех последующих измерений распадаются на независимые группы, соответствующие различным мирам.

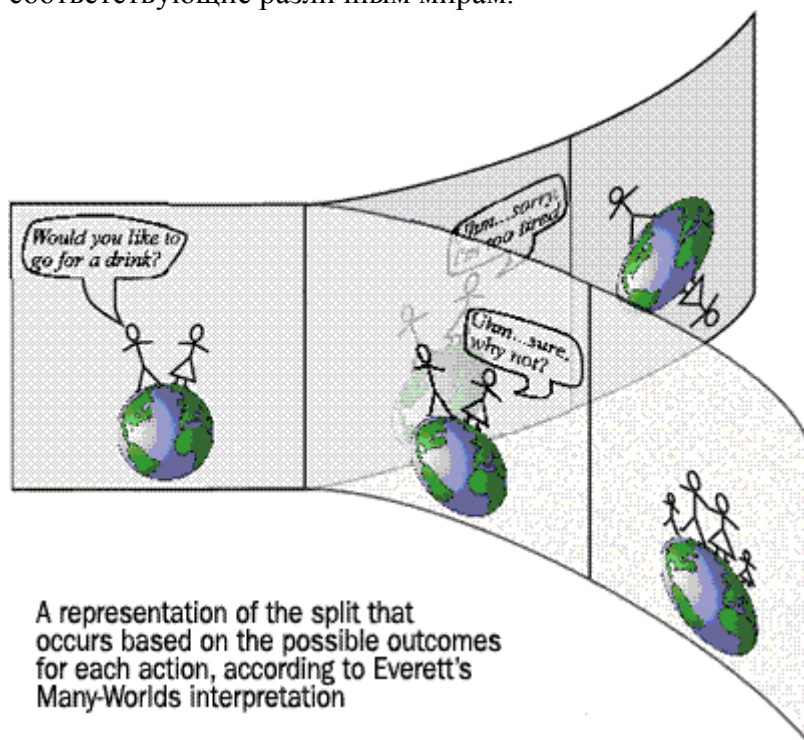


Рис. 16. Многомировая интерпретация. (Рис. Max Tegmark из [99])

Многомировая интерпретация не объясняет сама по себе парадокса Шредингеровского Кота. Действительно, Кот наблюдает лишь один из существующих миров. Результаты же дальнейших измерений зависят от корреляций между мирами. Но ни эти миры, ни эти корреляции не являются наблюдаемыми. Всегда могут существовать параллельные миры, о которых мы ничего не знаем и которые могут повлиять на результат будущего эксперимента. Т.е. знание лишь текущего состояния и законов квантовой механики не позволяет нам предвидеть будущее даже вероятно! Но именно для такого предсказания и была изобретена квантовая механика. Лишь приняв существование необъяснимой спонтанной редукции, уничтожающей квантовые корреляции между мирами, мы можем предсказать будущее на основе знания лишь текущего (и реально наблюдаемого) состояния нашего мира. Парадокс Шредингеровского Кота возвращается, просто изменив форму.

Попрежнему неясны вопросы, как однозначно определить макроскопические состояния, соответствующие «разделению» на разные миры. (Ведь разложение волновой функции неоднозначно и возможно по различным наборам ортогональных функций.) Непонятно и в какие точно моменты времени, это «разделение» происходит. Но

разрешение парадоксов, вопреки очень широко распространенному заблуждению, и не является целью интерпретаций квантовой механики.

3.2 Копенгагенская интерпретация.

Другой интерпретацией является Копенгагенская интерпретация. С этой точки зрения, как наиболее стандартной и используемой в литературе, и ведется изложение в данной работе. Она утверждает, что в момент наблюдения макроскопических состояний происходит спонтанная редукция и квантовые корреляции исчезают. Это ведет к появлению парадоксов, изложенных выше.

Следует отметить, что редукция в Копенгагенской интерпретации происходит лишь для *конечного* наблюдателя в цепочки измерений. С его точки зрения и должен описываться весь эксперимент. Редукция, подобно скорости системы, зависит от выбора конкретной системы наблюдения.

Пусть внешний наблюдатель исследует другого наблюдателя, например Шредингеровского Кота. Никакой спонтанной редукции, наблюдаемой Котом, для внешнего наблюдателя не происходит.



Рис 17. Опыт со Шредингеровским Котом с точки зрения внешнего наблюдателя и с точки зрения самого Кота (самонаблюдение). (Рис. из [100])

Редукция происходит лишь в момент внешнего наблюдения над Котом, когда экспериментатор открывает ящик. Значит для внешнего наблюдателя нет и парадокса.

Только, если в качестве конечного наблюдателя эксперимента рассматривается сам Кот, возникает спонтанная редукция, и появляется описанный выше парадокс. Ведь Кот может ощущать себя лишь живым или мертвым, но не как и то и другое одновременно!

Это замечание очень важно, поскольку непонимание его приводит к совершенно ошибочным утверждениям [37], [38], что Копенгагенская интерпретация якобы несовместима с Многомировой интерпретацией. На самом деле, как мы увидим далее, разница между этими интерпретациями экспериментально не наблюдаема и обе они вполне законны.

3.3 Интерпретация через скрытые параметры.[3], (Приложение S, T, U)

Еще одной интерпретацией, связанной с парадоксом ЭПР и затронутой в этой работе, было введение скрытых параметров. Это, например, теория волны-пилота де Бройля - Бома. [3]. Она включает как скрытые параметры координату, скорость, спин и волновую функцию (волна - пилот), изменяющуюся во времени в соответствии с уравнением Шредингера. Квантовые корреляции при этом, как мы видели в парадоксе ЭПР, приводили к нарушению локальности, т.е. дальнодействию между скрытыми параметрами. Для объяснения связи между реально измеренными, а не скрытыми параметрами, такие дальнодействия уже не нужны. Эти связи описываются обычной корреляцией случайных величин. Таким образом, редукция макроскопического состояния (или происходящая при измерении, или спонтанная) приводит к исчезновению квантового характера корреляций, которые становятся классическими.

Отличие квантовых корреляций от классических корреляций, возникающих после редукции, проявляется не только в дальнодействии. Пусть разбежавшиеся на большое расстояние части системы (находящейся в начале в чистом состоянии) спустя некоторое время снова оказываются в одном месте. В квантовом случае мы получаем при этом чистое состояние, а в классическом случае, сопровождающемся редукцией, - смешанное состояние. В случае спонтанной редукции это приводит к противоречию с Шредингеровской эволюцией. Парадоксы снова не исчезают, а лишь принимают другое обличие.

4. Определение полной физической системы в теории измерений.

В теории измерений необходимо включать наблюдателя и окружающую среду в полную систему, поскольку во многих случаях даже их малым влиянием невозможно пренебречь. Как мы увидим в дальнейшем это верно не только для квантовой, но и классической механики. В общем случае полная система, к которой прикладываются законы физики, состоит из трех частей: **наблюдаемая система, окружающая среда, и сам наблюдатель**. Наблюдатель также состоит из трех частей: **измерительный прибор, сама личность наблюдателя и память наблюдателя**, необходимая для запоминания последовательности наблюдений для их дальнейшего сравнения с теорией. Необходимо ответить, что **память должна быть изолирована от всего ее окружения**, кроме самого канала получения информации. Если внешние факторы могут влиять на неё, менять или стирать её содержимое, никакие эксперименты с ее участием для проверки теории не являются релевантными. Последнее положение очень важно. Оно разрешает многие парадоксы, связанные с мысленными экспериментами, включающими измерения, которые мы рассмотрим в следующей главе.

Конечным пунктом полной физической системы является память наблюдателя. Система включает только одного наблюдателя с его памятью. Конечно, наблюдателей может быть несколько, но для описания эксперимента мы должны выбрать лишь одного, остальные будут просто частью наблюдаемой системы или окружения. Какого из них выбрать? Вопрос решается аналогично теории относительности – можно выбрать любого. Важно лишь все факты и парадоксы толковать с его точки зрения и не смешивать их, чтобы не возникала путаница. В случае с парадоксом Шредингеровского Кота наблюдателем может быть как сам Кот, так и внешний наблюдатель-экспериментатор.

5. Разрешение парадокса Шредингеровского кота.

Напомним, что парадокс Шредингеровского кота заключается в противоречии между спонтанной редукцией, наблюдаемой котом и Шредингеровской эволюцией, запрещающей подобную редукцию. Чтобы правильно понять парадокс Шредингеровского кота нужно рассмотреть его с точки зрения двух наблюдателей: внешнего наблюдателя-экспериментатора или самого Кота, т.е. **самонаблюдение**.

В случае внешнего наблюдателя-экспериментатора парадокса не возникает. Если экспериментатор пытается посмотреть, жив кот или нет, он оказывает неизбежное в квантовой механике воздействие на наблюдаемую систему, что приводит к редукции. Система не замкнута и, следовательно, не может описываться уравнением Шредингера. Редуцирующую роль наблюдателя может играть и окружающая среда. Этот случай описывает декогеренция. Здесь роль наблюдателя более естественна и сводится лишь к фиксации результата декогеренции. В обоих случаях происходит запутывание состояния измеряемой системы с окружением или наблюдателем, т.е. появляются корреляции измеряемой системы с окружением или наблюдателем.

Что будет, если мы рассмотрим замкнутую полную физическую систему, включающую наблюдателя и окружение? Такой случай самонаблюдения – это сам Кот с его окружением в ящике. Следует отметить, что **полное самонаблюдение (полное в смысле квантовой механики) и полная проверка законов квантовой механики невозможны в замкнутой системе, в которую включен наблюдатель**. Мы можем в принципе сколь угодно точно измерить и проанализировать состояние внешней системы. Но если мы включаем и себя в описание, то возникают естественные ограничения, связанные с необходимостью записи в память и анализа состояний молекул с помощью самих, же этих молекул. Предположение о такой возможности приводит к противоречиям. **(Приложение М)** Поэтому и возможности найти в реальном эксперименте противоречие между Шредингеровской эволюцией и спонтанной редукцией при самонаблюдении для замкнутых систем ограничены.

Проверим, можно ли поставить мысленный эксперимент, приводящий к противоречию между Шредингеровской эволюцией и спонтанной редукцией.

1) Первый пример связан с обратимостью квантовой эволюции. Пусть мы ввели гамильтониан, способный обратить квантовую эволюцию системы кот-ящик.[37], [38] Хотя практически это почти невозможно, теоретического запрета нет. Если спонтанная редукция происходит, то процесс был бы необратим. Если спонтанной редукции нет, то система Кот-ящик вернётся в исходное чистое состояние. Однако, подобную проверку может сделать лишь внешний наблюдатель. Сам же Кот не сможет это сделать путем самонаблюдения, поскольку память Кота сотрётся, вернувшись в исходное состояние.

С точки зрения внешнего наблюдателя никакого парадокса тоже не было, поскольку он спонтанной редукции, приводящей к парадоксу, не наблюдал.

2) Второй пример связан с необходимостью возврата квантовой системы к исходному состоянию, согласно теореме Пуанкаре, вытекающей из уравнения Шредингера. Пусть исходное состояние было чистое, а затем наблюдался процесс спонтанной редукции в процессе самонаблюдения Кота, приводящий к смешанному состоянию. Тогда возврат был бы уже невозможен – смешанное состояние уже не может перейти в чистое состояние согласно уравнению Шредингера. Таким образом, зафиксировав возврат, Кот пришел бы к противоречию между спонтанной редукцией и наличием возврата. Но Кот не сможет зафиксировать возврат (в случае верности квантовой механики), поскольку процесс возврата сотрет память Кота. А значит, нет и парадокса.

С точки зрения внешнего наблюдателя (который на самом деле может наблюдать этот возврат, измерив начальное и конечное состояние этой системы) никакого парадокса тоже нет. На самом деле, внешний наблюдатель никакой спонтанной редукции, приводящей к парадоксу, и не наблюдает.

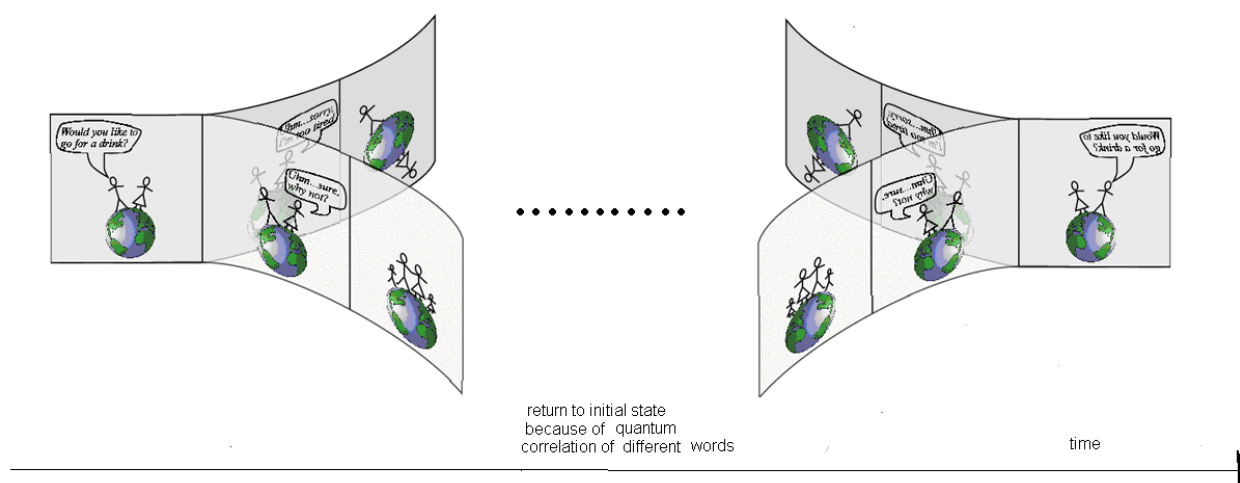


Рис 18. Возврат системы к исходному состоянию из-за квантовых корреляций между «Мирами» в Многомировой интерпретации. Этот возврат не может быть зафиксирован при самонаблюдении из-за стирания памяти.

Здесь следует отметить, что противоречие между спонтанной редукцией и Шредингеровской эволюцией может быть экспериментально наблюдаемо только в тех случаях, когда спонтанная редукция зарегистрирована в памяти наблюдателя и эта память не стерта и не повреждена. Все описанные выше эксперименты не попадают под это условие. Таким образом, эти примеры ясно показывают, что хотя спонтанная редукция и приводит к нарушению Шредингеровской эволюции, это нарушение экспериментально не наблюдаемо.

3) Приведем третий пример. Предположим, мы имеем суперпозицию живого и мертвого кота в ящике. Теоретически внешний наблюдатель всегда может провести измерение, одной из базисных функций которого будет суперпозиция живого и мертвого кота. Такое измерение не изменит состояния ящик-кот, в отличие от измерения, базисными функциями которого будет живой и мертвый кот. Сообщив коту о результатах измерения, мы войдем в противоречие с наблюдаемой котом спонтанной редукцией, которая имела место как до, так и после измерения. [40], [41] Такое рассуждение содержит двойную ошибку.

Во-первых, подобный эксперимент ставится для проверки наличия спонтанной редукции Кота, когда наблюдателем является сам Кот. Он не должен влиять на память Кота в любом случае, включая возможность спонтанной редукции. Но внешний наблюдатель не влияет на память Кота только лишь тогда, когда спонтанной редукции нет, и состояние Кота является суперпозицией живого и мертвого состояний. Как мы уже упоминали выше, при возможности влияния эксперимента на память наблюдателя он не легитимен для проверки достоверности теории.

С точки же зрения внешнего наблюдения (который не видит спонтанной редукции и не наблюдает, следовательно, и парадокса) подобная проверка вполне возможна и легитимна. Ведь она не влияет на память самого внешнего наблюдателя. Более того, подобные проверки, не нарушающие эволюцию наблюдаемой системы, позволяют измерять не только начальное и конечное состояние системы, но и все промежуточные, т.е. вести непрерывное наблюдение системы, не оказывая на нее влияния! Правда, создание в реальности системы способной проводить такие измерения – почти невыполнимая задача.

Во-вторых, передача данных коту о его состоянии, записывается в его память и таким образом меняет как состояние, так и всю дальнейшую эволюцию наблюдаемой системы, включающей Кота, т.е. система перестает быть изолированной.

Следует отметить, что для внешнего наблюдателя реальное наблюдение суперпозиции живого и мертвого кота теоретически возможно, но практически почти невыполнимо. В то же время для малых квантовых систем наблюдение суперпозиции вполне посильная задача. Это приводит к тому, что квантовую механику обычно рассматривают как теорию малых систем. Но для небольших макроскопических (**мезоскопических**) объектов такое наблюдение также возможно. Примером может быть большой коллектив частиц при низких температурах или некоторые фотонные состояния [43].

6. Разрешение парадоксов Лошмидта и Пуанкаре в классической механике. Объяснение закона роста макроскопической энтропии.

Мы также рассмотрим тут два случая – когда наблюдатель включен в наблюдаемую систему, и когда он находится вне нее.

Основное противоречие классической статистической механики – это противоречие между законом возрастания энтропии и обратимыми классическими законами движения. Оно находит выражение в парадоксах Пуанкаре и Лошмидта.

В случае классической механики, в отличие от квантовой механики, более простой случай самонаблюдения, когда наблюдатель включен в описываемую систему. Возврат Пуанкаре системы в исходное состояние приводит к стиранию памяти, аналогично тому, как мы описали в предыдущей главе, и делает невозможным экспериментальное наблюдение парадокса Пуанкаре. Обращение скоростей действительно приводит к уменьшению энтропии, однако само направление времени относительно понятие, и мы должны логично определить положительное направление стрелы времени. Разумно выбрать ее в направлении роста энтропии. Назовем ее **собственной стрелой времени** системы. Относительно такого направления стрелы времени энтропия растет, и парадокс Лошмидта исчезает. Следует отметить, что в разрешении обих парадоксов происходит как стирание памяти в конечном состоянии системы, так и рост энтропии в направлении *собственной* стрелы времени системы. При приближении к конечному состоянию направление собственной стрелы времени меняется (реверсируется) по отношению к стреле времени вблизи начального состояния. Основной причиной, делающей парадоксы ненаблюдаемыми, является **невозможность полного знания состояния системы для случая самонаблюдения**.

Для внешнего наблюдателя ситуация сложнее. Теоретически, взаимодействие между наблюдателем и наблюдаемой системой может быть сделано сколь угодно малым в классической механике. Следовательно, ничто не препятствует наблюдать уменьшение энтропии. В этом случае направления собственных стрел времени наблюдателя и наблюдаемой системы противоположны.

Но возможно ли это на самом деле? Теоретически да, но практически это почти невозможно. Все дело в том, что подавляющее большинство реальных физических систем являются системами с перемешиванием (хаотическими системами). Это означает, что их фазовые траектории экспоненциально неустойчивы по отношению к малому шуму. Малое же взаимодействие наблюдателя или окружающей среды с наблюдаемой системой почти

всегда неизбежно присутствует. Напомним, что для хаотических систем верна следующая теорема:

Для внешнего наблюдателя процессы изменения *макропараметров*, протекающие с уменьшением макроскопической энтропии, сильно неустойчивы по отношению к малому внешнему шуму. При этом процессы изменения *макропараметров*, связанные с ростом макроскопической энтропии, являются наоборот устойчивыми.

Поэтому неизбежное малое взаимодействие приводит к прекращению процесса с убыванием энтропии и *синхронизации направлений собственных стрел времени* наблюдателя и наблюдаемой системы. Система оказывается незамкнутой, и парадоксы верные для классической механики замкнутых систем недействительны. Малое взаимодействие со стороны окружающей среды на наблюдателя и наблюдаемую систему будет иметь тот же эффект, что и взаимодействие наблюдателя и наблюдаемой системы – синхронизация направлений всех собственных стрел времени подсистем. В этом случае роль наблюдателя более пассивна и естественна.

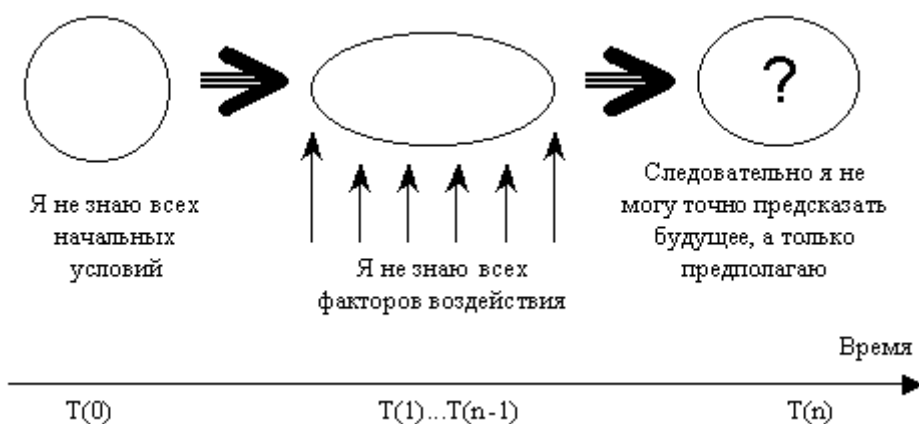


Рис. 19 Две причины, приводящие к несоответствию реальных законов движения законам классической и квантовой динамики. Это внешний шум и погрешность начальных условий. Эти факторы приводят к разрешению парадоксов в квантовой механике и классической статистической физике. Они объясняют отклонение от законов идеальной динамики в этих парадоксах.

В литературе [2], [28], [44], [45] часто с недоумением рассматривается синхронность стрел времени в окружающем нас мире. Почему мы никогда не встречаем процессов с уменьшением энтропии, хотя их вероятность обнаружения равна вероятности обнаружения процессов, идущим с увеличением энтропии? Часто при этом пытаются найти объяснения в особенностях происхождения нашей Вселенной⁸. [2], [28], [44], [45] Ничего подобного не нужно. Достаточным объяснением является неизбежное очень малое взаимодействие между системами, синхронизирующее все собственные стрелы подсистем.

Таким образом, пути, ведущие к уменьшению энтропии, просто не устойчивы к малому шуму со стороны внешнего наблюдателя. В случае квантовой механики такой шум даже теоретически неизбежен при измерении, если мы не знаем истинного начального

⁸ Почему наша нынешняя Вселенная не была создана неким «Создателем» из Хаоса путем процесса с направлением времени, обратного теперешнему времени? [44], [45] Это было бы чем-то вроде гигантской флуктуации! Почему ее началом стало очень низкоэнтропийное состояние, приведшее к Большому Взрыву? Ответ дает статья Элицура [60]. В ней он показывает, что оптимальным процессом для создания низкоэнтропийного состояния с точки зрения некоего «Создателя» является создание начального еще более низкоэнтропийного состояния. Этот метод он называет «лыжный лифт». Он проводит аналогию с лыжным подъемником на гору, на которую стоит вначале полностью подняться, прежде чем частично спуститься.

состояния измеряемой системы. Измерение состояния приводит к неизбежному нарушению этого измеряемого состояния. В классической механике измерение может быть теоретически проведено сколь угодно точно. Поэтому мы должны вводить малый внешний шум и/или погрешности начального состояния «руками», чтобы объяснить рост энтропии для наблюдателя.

В реальных измерениях такой малый внешний шум всегда присутствует. И требуются огромные усилия, приводящие к росту энтропии окружения, чтобы от этого шума избавиться. При этом такой рост энтропии намного превышает выигрыш от уменьшения энтропии наблюдаемой системы вследствие исчезновения шума. Таким образом, закон роста энтропии опять будет выполняться. Здесь есть аналогия с разрешением парадокса Демона Максвелла [49], [18], который использует сортировку молекул для уменьшения энтропии. Получение информации необходимой для сортировки приводит к увеличению энтропии, компенсирующее ее уменьшение в сортируемой системе.

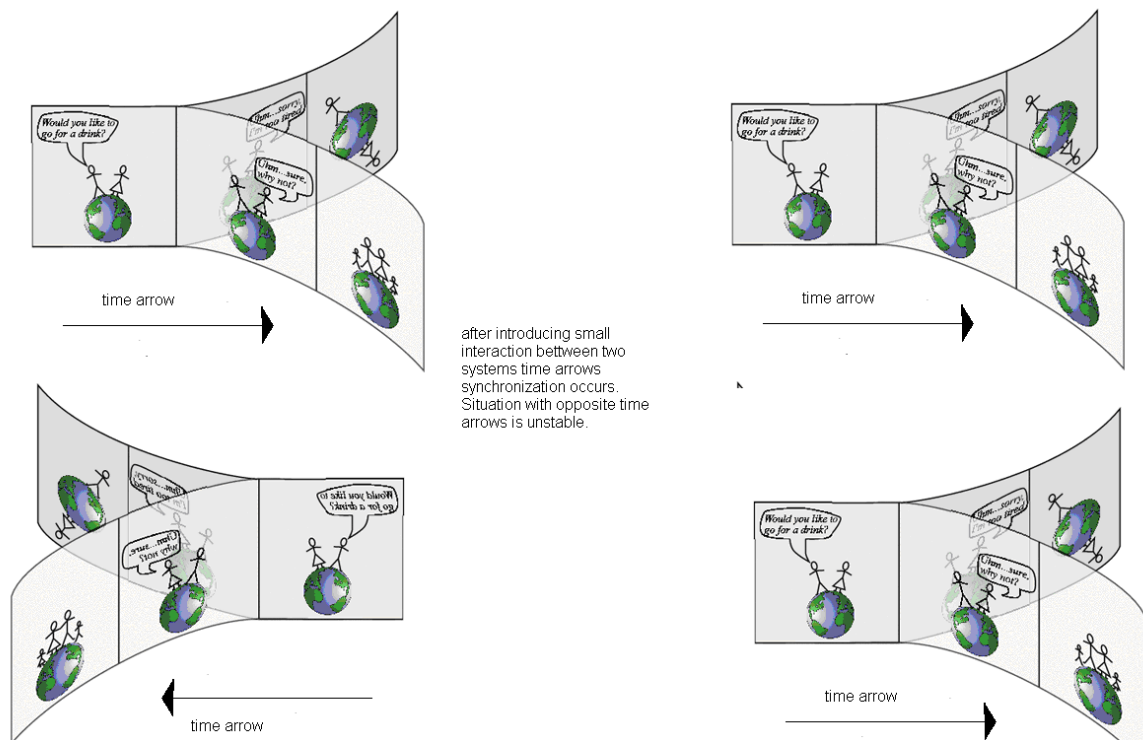


Рис. 20 Состояние с противоположными стрелами времени у двух подсистем неустойчиво. Малое взаимодействие между системами приводит к синхронизации стрел времени. Поэтому всюду во Вселенной стрелы времени сонаправлены. Положительное направление стрелы времени идет в направлении роста энтропии. Поэтому энтропия, повсюду во Вселенной только растет.

Хотя борьба с малым и всепроникающим взаимодействием систем очень трудная задача, но для очень малых систем она легко выполнима. И мы повсеместно наблюдаем малые флуктуации, которые и являются наблюдаемым отклонением от закона роста энтропии. Также вполне возможно наблюдать обратимость и возвраты для динамики небольшого количества тел, если пренебречь трением. Это происходит в небесной механике.

7. Аналогия между квантовой механикой (КМ) и классической статистической механикой (КСМ). (Приложение N)

Из приведенных выше соображений можно догадаться, что существует почти полная аналогия между свойствами и парадоксами КСМ и КМ конечных замкнутых систем, а также между методами их разрешения. Приведем эти аналогии более подробно

- 1) Обе механики обратимы во времени.
- 2) Для обеих механик применима теорема Пуанкаре о возвратах. Однако если для КСМ системы с почти периодическими возвратами являются довольно узким классом систем, для КМ все системы в ограниченном объеме являются почти периодическими.
- 3) В КСМ возможны корреляции, вытекающие из знания макросостояния, и скрытые дополнительные микроскопические корреляции, связанные со знанием ее «истории». В квантовой механике также возможны два типа корреляции: классические корреляции, определяемые диагональными элементами матрицы плотности и сохраняющиеся при редукции и скрытые квантовые корреляции, определяющиеся недиагональными элементами и приводящие к парадоксам. Малый внешний шум со стороны наблюдателя или окружения уничтожает дополнительные корреляции в классических системах и приводит к огрублению функции фазовой плотности. Аналогично этому, запутывание наблюдаемой системы с наблюдателем (взаимодействие при измерении) или окружением (декогеренция за счет взаимодействия) приводят к исчезновению квантовых корреляций (недиагональных членов матрицы плотности) и редукции волновой функции.
- 4) В случае самонаблюдения регистрация возвратов Пуанкаре или Лошмидта невозможна из-за стирания памяти. Из-за этого при самонаблюдении невозможна и регистрация дополнительных (в КСМ) или квантовых (в КМ) корреляций, приводящих к парадоксам.
- 5) В КМ и КСМ можно определяются два вида энтропии - энтропия ансамблей (или функции фазовой плотности) и макроскопическая энтропия. Энтропия ансамблей при обратимой эволюции остается неизменной, макроэнтропия может как возрастать, так и убывать. При самонаблюдении убывание энтропии становится ненаблюдаемым. Для внешнего наблюдателя малое взаимодействие этого наблюдателя с наблюдаемой системой или системы с окружением также делает невозможным (или очень труднодостижимым) убывание энтропии. Для изоляции от окружения и наблюдения систем с убыванием энтропии требует увеличение энтропии большее, чем выигрывается от ее убывания в результате изоляции. Это связано с отсутствием в реальном мире абсолютно изолированных и непроницаемых полостей и бесконечно легких регистрирующих частиц, а также наличием малых, но всепроникающих взаимодействий.
- 6) Процесс спонтанной редукции в КМ связан с отбросом квантовых корреляций и переходом из чистого состояния в смешанное что, таким образом, приводит к увеличению макроскопической энтропии. Интересно, что подобным образом водиться и рост макроскопической энтропии для уравнения Больцмана в КСМ. Это достигается путем введением «гипотезы молекулярного хаоса», когда отбрасывается корреляции между парами частиц (т.е. их положения и координаты рассматриваются как независимые). При этом функция распределения двух частиц рассматривается как произведение одночастичных функций. Таким образом,

введение спонтанной редукции в уравнения КМ эквивалентно введению закона возрастания макроскопической энтропии в уравнения КСМ.

- 7) Законы КМ статистические. Наблюдения в КМ при условии, что состояние системы нам неизвестно, неизбежно ведет к воздействию на эволюцию наблюдаемой системы. Поскольку большинство систем в КСМ являются системами с перемешиванием, в реальности их поведение также случайно. Это связано, во-первых, с наличием малого, но конечного взаимодействия с наблюдателем или окружением. Во-вторых, с конечной точностью знания начального состояния. Однако в пределах очень высокой точности измерений и изоляции их поведение можно предсказать сколь угодно точно. Достижение такой точности в реальности требует огромных затрат энтропии.
- 8) В обоих случаях парадоксы возникают лишь для макросистем. Законы поведения микросистем оказываются не применимыми к ним в полной мере из-за малого внешнего шума и конечной точности знания начального состояния. Единственная серьезная разница между КМ и КСМ заключается в том, что в КСМ малое, но конечное взаимодействие при измерении (наблюдении) или малые погрешности начального состояния приходится вводить «руками», а в КМ они возникают естественно, само собой⁹.

Подводя итог мы приходим к неожиданному выводу: парадокс Шредингерова Кота в КМ является по сути дела квантовым аналогом закона возрастания энтропии в КСМ. Поскольку в КМ обычно исследуются микросистемы, а в КСМ обычно макросистемы, эти, по сути, эквивалентные парадоксы, имеют столь разную внешнюю форму.

⁹ Очень часто приводят примеры «чисто квантовых парадоксов», якобы не имеющих аналогии в классической статистической механике. Примером является парадокс Элитцура-Вайдмана [61] с бомбой, которую можно обнаружить без взрыва:

- 1) Пусть волновая функция одного кванта света разветвляется по двум каналам некоего устройства. В конце эти каналы снова объединяются, и происходит интерференция двух волн вероятности. Внесение в один из каналов бомбы нарушит процесс интерференции и позволит таким образом обнаружить бомбу, даже если квант света не подорвет ее. (Квант света считается способным взорвать бомбу)
- 2) Полной аналогией является следующий эксперимент КСМ. В один из рукавов, где нет бомбы, пустим макроскопический поток многих легких частиц. В другой канал, где может быть есть бомба – только одну легкую частицу. Эта частица не способна взорвать ее, но бомба может отклонить ее назад. Эта частица не обнаружима макроскопически из-за конечной чувствительности приборов. Но если поток частиц в конце канала имеет хаотическую динамику, даже наличие одной дополнительной частицы может сильно ее изменить (так называемый «эффект бабочки»). Это позволит зарегистрировать новую частицу, которая пройдет через второй канал, если бомбы нет. Полная аналогия КМ и КСМ!

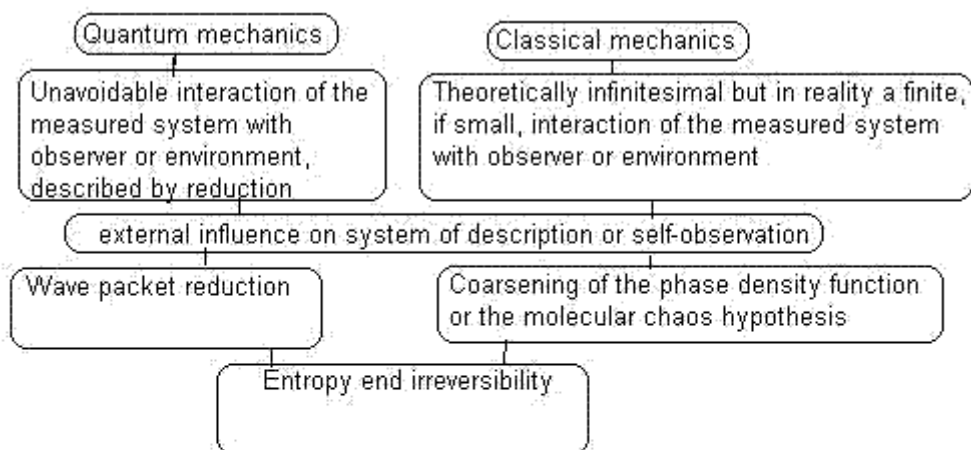


Figure 21. Sources of irreversibility and entropy in physics.

8. Синхронизация стрел времени/декогеренция [88-94].

Может появиться следующий вопрос. Предположим, что существует процесс, в котором уменьшается энтропия. Для определенности, позвольте нам рассмотреть спонтанную реконструкцию здания (ранее разрушенного землетрясением). Позвольте также взять простой пример газа, расширяющегося из маленькой области пространства в центре полости. Если после некоторого времени все скорости молекул газа будут полностью обращены, то газ вернется в стартовый маленький объем. Пусть мы включаем камеру, чтобы получить серию кадров, записывающих различные стадии спонтанной реконструкции здания/ (сжатия газа). Мы ожидаем, что камера сделает эту запись. Почему же камера не будет в состоянии сделать это? Что точно помешает камере?

Ответ этот вопрос следующий: даже очень маленькое взаимодействие между камерой и наблюдаемой системой разрушает обратный процесс уменьшения энтропии и приводит к синхронизации стрел времени наблюдателя и наблюдаемой системы. (Стрела времени определена в направлении увеличения энтропии). Это очень маленькое взаимодействие появляется из-за света, испущенного наблюдаемым объектом и отраженного камерой (и также из-за света, испущенного камерой). В отсутствие камеры роль наблюдателя может играть среда, испускающая и отражающая свет. (Процесса без наблюдателя не имеет никакого физического смысла. Он должен появиться на некоторой стадии процесса. Но его влияние намного меньше чем влияние среды). Внешний шум (воздействие) от среды или наблюдателя разрушает корреляцию между молекулами наблюдаемой системы. Это приводит к прекращению обратного процесса с уменьшением энтропии. В квантовой механике такой процесс определен как "декогеренция". Здание не будет восстановлено / (газ не будет сжиматься). В противоположность этому процессы увеличения энтропии устойчивы.

Декогеренция (синхронизация стрел времени и перепутывание) и релаксация (во время релаксации система переходит в термодинамически равновесное состояние) являются совершенно различными физическими процессами! Во время релаксации макроскопические переменные (энтропия, температура, давление) сильно изменяются до равновесных величин, а невидимые микроскопические корреляции между частями

системы увеличиваются. Во время декогеренции макроскопические переменные (энтропия, температура, давление) являются почти постоянными. Невидимые микроскопические корреляции внутри подсистем (среда, наблюдатель, наблюдаемая система) сильно разрушаются, а новые корреляции между этими подсистемами появляются. Это называют "перепутыванием" в квантовой механике. Во время этого процесса также происходит синхронизация стрел времени. Время релаксации намного больше чем время декогеренции.

Позвольте взять простой пример газа, расширяющегося из маленькой области пространства в большой объем. В этом процессе с увеличением энтропии изменение макроскопических параметров во времени устойчиво к маленьким внешним возмущениям. Если после некоторого времени все скорости молекул газа будут полностью обращены, то газ вернется в стартовый маленький объем; но это верно только в отсутствие любого внешнего возмущения. Этот процесс, идущий с уменьшением энтропии, с очевидностью нестабилен, и даже маленькое внешнее возмущение вызвало бы его переключение на процесс с ростом энтропии. Таким образом, процессы, идущие с увеличением энтропии устойчивы, а с ее уменьшением - нет.

Следующий пример - цитата из статьи Маккони [69], [70]:
"Однако, наблюдатель является макроскопическим по определению, и все удаленно взаимодействующие макроскопические системы становятся коррелированными очень быстро (Например, Борель сделал замечательное вычисление, что перемещение грамма материала на звезде Сириус на 1 м может влиять на траектории частиц в газе на Земле на временных масштабах порядка секунды [20])"

Но нет никакой проблемы полностью обратить во времени как наблюдателя (камера) так и наблюдаемую систему совместно. Из-за теоремы о возвращении Пуанкаре для замкнутой системы (включающей как наблюдателя, так и наблюдаемую систему) это должно произойти автоматически после очень большого времени. Однако стирание памяти наблюдателя не позволит ему зарегистрировать этот процесс.

Большинство реальных систем является *хаотическими*, т.е. слабое возмущение может привести к значительному расхождению траекторий, и также между двумя всегда есть незначительное взаимодействие между наблюдаемой системой и наблюдателем/средой. Но *в принципе* и в квантовой и в классической механике мы можем сделать невозмущающее наблюдение за процессом, идущим с уменьшением энтропии. Хороший пример такого мезоскопического устройства - это квантовый компьютер: никакого закона увеличения энтропии не существует для такой системы. Это устройство очень хорошо изолировано от среды и от наблюдателя. Но *на практике* невозмущающее наблюдение почти невозможно для макроскопических систем. Мы можем заключить, что закон возрастания энтропия - это *FAPP закон* (т.е. закон, применимый во всех *практических* случаях).

Позвольте рассмотреть синхронизацию стрел времени для двух систем, не взаимодействующих ранее некоторого начального момента времени. У этих систем стрелы времени были первоначально противоположны. Это означает, что существует две невзаимодействующие системы таким образом, что в одной из них потоки времени (то есть, увеличение энтропии) идет в одном направлении, в то время как в другой время течет в другом (противоположном) направлении. Однако, когда они входят во взаимодействие друг с другом, тогда одна из них ("более сильная") перенаправит другую ("более слабую") таким образом, чтобы в конечном счете у них обоих было время, текущее в том же самом направлении, что и в "более сильной".

Что точно это означает быть "более сильным"? Это что-то, что увеличивается с числом степеней свободы системы? Это не верно. "Более сильная" или "более слабая" не зависит от числа степеней свободы систем. Для первой системы взаимодействие появляется в ее *будущем* после начального момента времени. (В начальный момент системы имеют *противоположно направленные* стрелы времени). Во второй системе взаимодействие

было в ее *прошлом*. Таким образом ситуация не *симметрична во времени*, и первая система всегда "более сильная". Это происходит из-за неустойчивости процессов с уменьшением энтропии и стабильности процессов с увеличением энтропии, что было описано выше.

Действительно, предположим, что у нас есть два первоначально изолированных сосуда с газом. В первом газ расширяется (увеличение энтропии). Во втором газ сжимается (уменьшение энтропии).

В первом сосуде газ расширяется из маленького объема в центре сосуда. Скорости молекул направлены от центра сосуда к его границе. Физически очевидно, что маленькое изменение скоростей не может остановить расширение газа. Действительно, скорости после случайного маленького изменения продолжают быть направлены от центра сосуда к его границе. Возмущение может даже усилить расширение. Таким образом, процесс расширения устойчив.

Во втором сосуде газ сжимается из полного объема сосуда к его центру. Скорости всех молекул направлены к центру сосуда. Физически очевидно, что маленькое случайное изменение скоростей может легко остановить сжатие газа. Действительно, скорости даже после маленького изменения не будут направлены к центру сосуда. Таким образом, процесс сокращения будет остановлен. Следовательно, мы можем заключить, что процесс сжатия неустойчив. Этот процесс сжатия может быть получен путем обращения расширения газа во времени. Если мы полностью обращаем скорости молекул расширяющегося газа *перед* столкновениями молекул друг с другом и границей сосуда, такая неустойчивость будет линейна и слаба. Но при обращении скоростей уже *после* столкновений эта неустойчивость становится экспоненциальной и значительно более сильной.

Оба направления времени играют одинаковую роль. Но маленькое случайное взаимодействие нарушает эту симметрию для описанных выше двух систем из-за неустойчивости процессов с уменьшением энтропии. Симметрия времени существует только для *полной* системы, включающей эти две, определенные выше подсистемы. Но стрелы времени взаимодействующих подсистем должны быть сонаправлены.

В действительности, взаимодействие в течение бесконечного временем может быть заменено взаимодействием в течение большого, но конечного времени T , которое выберем много меньше, чем время возвращения Пуанкаре. Тогда в первой системе взаимодействие происходит во время $[0, T]$, а во второй - во время $[-T, 0]$. Остаются ли наши аргументы по-прежнему релевантными? Вместо асимметрии сил в этом случае мы получаем асимметрию начальных условий: Для первой системы координат $([0, T])$ у этих двух сосудов различные собственные стрелы времени в начальный момент 0 . Однако, для второй системы координат $[-T, 0]$ у этих двух сосудов одинаковые собственные стрелы времени в отрицательном направлении в начальный момент $-T$. Только если время T точно равно времени возврата Пуанкаре, ситуация будет действительно симметрична. Для такой ситуации две собственные стрелы времени являются также различными в момент T , но противоположны их направлениям в момент времени 0 . Снова у "более сильной" системы силы взаимодействия находятся в ее будущем относительно собственной стрелы времени.

Эта теория объясняет, почему энтропия растет во всех частях Вселенной в одном направлении. Однако она не может объяснить низкую начальную величину энтропии Вселенной. Думается, что это результат антропного принципа [66].

9. Закон возрастания энтропии и синхронизация стрел времени/декогеренция в теории гравитации.

В общей теории относительности Эйнштейна движение так же, как и в классической механике обратимо. Но имеется и важное отличие от классической механики. Это *неоднозначность* решения задачи Коши: получения конечного состояния системы из полного набора начальных и граничных условий. В общей теории относительности два различных состояния за *конечное* время могут дать бесконечно близкие состояния. Это происходит, например, при образовании черной дыры в результате коллапса. Рассмотрим обратный процесс, описывающий белую дыру. В этом процессе бесконечно близкие начальные состояния за *конечное* время могут дать разные конечные состояния. Это означает, что наблюдатель/окружение, даже бесконечно слабо взаимодействующий с белой дырой может значительно повлиять на ее эволюцию за конечное время. Это свойство приводит к тому, что закон возрастания энтропии превращается из приближенного (FAPP, для всех практических целей) закона в точный, а энтропия становится фундаментальным понятием. Действительно, появляется такая фундаментальная величина, как энтропия черной дыры. Появление этой энтропии также можно объяснить пертурбацией (создаваемой наблюдателем), которая в отличие от классической механики теперь может быть даже бесконечно малой. Образование черной дыры идет с увеличением энтропии. Обращение времени приводит к появлению белой дыры и ведет к уменьшению энтропии.

Белая дыра не может существовать в реальности по тем же причинам, что невозможны процессы с уменьшением энтропии в классической механике: из-за ее неустойчивости (много более сильной, чем в классической механике) и вытекающей из этого синхронизации собственных стрел времени белой дыры и наблюдателя/окружения. Направление собственной стрелы времени белой дыры меняется на противоположное, совпадающее со стрелой времени наблюдателя/окружения. Белая дыра превращается в черную.

Здесь же возникает и знаменитый информационный парадокс [71] – информация, которая в классической и квантовой механике сохраняется, в черной дыре исчезает навсегда. Казалось бы здесь нет никакой проблемы – возможно внутри черной дыры она хранится в какой-либо форме. Однако хаотическое излучение Хокинга делает этот процесс потери информации явным – черная дыра испаряется, а информация не восстанавливается.

Излучение Хокинга относится к квазиклассической гравитации. Однако парадокс может быть сформулирован и в рамках общей теории относительности. Сферическая черная дыру можно превратить в белую дыру в некоторый момент и процесс обращается во времени [95]. Информация при этом может не восстанавливаться из-за неоднозначности (бесконечно большой нестабильности) эволюции белой дыры.

Обычно рассматривают только два ответа на этот вопрос. Либо информация действительно пропадает, либо из-за внутренних корреляций излучения Хокинга (или точного обращения сжатия черной дыры при ее превращении в белую дыру) информация сохраняется. Но, скорее всего, верным является третий ответ. Из-за неизбежного влияния наблюдателя/окружения экспериментально различить эти две ситуации просто невозможно! А что нельзя проверить экспериментально, не является предметом науки.

Как для общей теории относительности, так и для квазиклассической гравитации разрешение парадокса находится с помощью учета влияния наблюдателя/окружения. Даже если бы излучение Хокинга было коррелированным, а не случайным (или белая дыра была в точности обратна черной дыре) бесконечно малое влияние наблюдателя/окружения приводило бы к нарушению этих корреляций за конечное время и делало бы потерю информации неизбежной. Включение наблюдателя в систему бессмысленно – полное самоописание и самоанализ невозможен. Закон сохранения информации не может быть проверен для такого случая, даже если он выполняется.

Мы не имеем сейчас законченную теорию квантовой гравитации. Однако для частного случая 5 мерного анти-де-Ситтеровского мира этот парадокс ныне многими учеными

считается разрешенным в пользу сохранения информации, вследствие гипотезы о AdS/CFT дуальности, т. е. гипотезы о том, что квантовая гравитация в анти-де-ситтеровском (то есть с отрицательным космологическим членом) 5-мерном пространстве математически эквивалентна конформной теории поля на 4-поверхности этого мира. Она была проверена в некоторых частных случаях, но пока не доказана в общем виде. Полагают, что если эта гипотеза действительно верна, то это автоматически влечёт за собой разрешение проблемы об исчезновении информации. Дело в том, что конформная теория поля, по построению, унитарна. Если она дуальна квантовой гравитации, то значит и соответствующая квантовогравитационная теория тоже унитарна, а значит, информация в этом случае не теряется.. Отметим, что это не так. Процесс образования черной дыры и ее дальнейшее испарение происходит на *всей* поверхности анти-де-Ситтеровского мира (описываемого квантовой теорией поля), который включает также и наблюдателя/окружение. Но наблюдатель не может точно знать начальное состояние и анализировать систему, частью которой он сам и является! А значит не может и сделать свое влияние на нее пренебрежимо малой даже теоретически. Таким образом, экспериментальная проверка информационного парадокса снова становится невозможной!

Рассмотрим с точки зрения энтропии и такой парадоксальный объект общей теории относительности, как кротовая нора [72] (червоточина). Выберем ее вариант, предложенный Торном [73]. Путем очень простой процедуры (погружение одного из концов на космический корабль, его движение со скоростями сравнимыми со световыми, а затем возвращение этого конца на прежнее место) пространственная кротовая нора может быть преобразована во временную (wormhole traversing space into one traversing time). В том числе она может быть использована как машина времени, приводя к знаменитому парадоксу дедушки. Как же может быть разрешен этот парадокс?

Для макроскопических кротовых нор разрешение может быть найдено с помощью закона возрастания энтропии, обеспечиваемого неустойчивостью процессов с убыванием энтропии и вытекающей из этого синхронизацией стрел времени.

Действительно, пространственная кротовая дыра не приводит к парадоксу. Объекты поглощенные ее одним концом выходят из другого конца в более позднее время. Таким образом, объекты из более упорядоченного низкоэнтропийного прошлого попадают в менее упорядоченное высокоэнтропийное будущее. При движении вдоль кротовой норы они также переходят из более упорядоченного состояния в менее упорядоченное. Таким образом, собственные стрелы времени путешествующего в кротовой норе объекта и окружающего мира сонаправлены. Тоже верно для путешествия по временной кротовой норе из прошлого в будущее.

Однако для путешествия из будущего в прошлое стрелы времени путешественника в кротовой норе и окружающего мира будут уже противоположны. Действительно, сам объект путешествует из менее упорядоченного будущего в более упорядоченное прошлое, но при этом его собственная энтропия растет, а не убывает! Как мы говорили ранее, такой процесс неустойчив и будет предотвращен (принудительно обращен) процессом синхронизации стрел времени в тот момент, когда движущийся вход кротовой норы вернется в начальное положение. «Свобода воли» позволяет нам инициировать лишь устойчивые процессы с ростом энтропии, но не с ее убыванием. Таким образом, мы не сможем послать объект из будущего в прошлое. Процесс синхронизации стрел времени и вытекающий из него закон роста энтропии запрещает начальные условия, необходимые для путешествия макроскопических объектов в прошлое и реализацию парадокса дедушки.

В работе [74] доказывается, что собственная термодинамическая стрела времени не может все время иметь одинаковую ориентацию с собственной координатной стрелой времени при путешествии по замкнутой временноподобной траектории (closed timelike curve) вследствие закона роста энтропии. Процесс синхронизации стрел времени (связанный с бесконечно большой неустойчивостью, неоднозначностью процессов с

убыванием энтропии) и является тем самым *физическим механизмом*, который фактически обеспечивает как эту невозможность, так и выполнение закона роста энтропии для всех подсистем вдоль их единой собственной стрелы времени.

Для микроскопических кротовых нор ситуация совершенно иная. Если начальные условия совместимы с путешествием в прошлое по кротовой норе, нет никаких причин, которые могут помешать ему. Если сколь угодно малое (даже бесконечно малое малое!) изменение начальных условий приводит к противоречию с существованием кротовой норы, она может всегда быть легко разрушена [75]. Действительно, здесь реализуется уже ранее отмеченное замечательное свойство экстремальной неустойчивости общей теории относительности: бесконечно малое изменение начальных условий может повлечь значительное изменение конечного состояния за конечное время!

Однако, это не является решением парадокса дедушки, который является макроскопическим, а не микроскопическим явлением. Действительно, предположим, что существуют два процесса с противоположными стрелами времени: весь Космос и космонавт, путешествующий по червоточине из будущего Космоса в его прошлое. Тогда для собственной стрелы времени космонавта это будет путешествием из его прошлого в его будущее. Для общей теории относительности описанная выше ситуация невозможна даже в принципе (в противоположность с классической механикой): даже бесконечно малое взаимодействие приводит к синхронизации стрел времени из-за бесконечно большой неустойчивости (неоднозначности) процессов с убыванием энтропии (в данном случае процесс с убыванием энтропии - это космонавт, путешествующий из будущего в прошлое). Эта синхронизация стрел времени может сопровождаться как разрушением червоточины [75], так и сохранением червоточины и изменением только начальных условий [74]. Но в действительности закон о росте энтропии (и соответствующая синхронизация стрел времени) *не позволяет даже появление* таких ситуаций с противоречием между макроскопическими начальными условиями и первоначально определенной (заданной и неизменной) макроскопической топологией пространства-времени (включающей ряд червоточин) [74]. Сформулируем окончательный вывод: для макроскопических процессов бесконечно большая неустойчивость (неоднозначность) процессов с убыванием энтропии и сопутствующая ей синхронизация стрел времени делает невозможным появление начальных условий несовместимых с существованием заданных червоточин, и тем самым предотвращает как их разрушение, так и путешествия по ним макроскопических тел в прошлое, приводящее к «парадоксу дедушки»

Подведем и общие итоги. Мы видим необыкновенную вещь. Те же самые соображения, которые нам позволили разрешить парадокс редукции, парадоксы Лошмидта (Loshmidt) и Пуанкаре позволяют разрешить информационный парадокс черных дыр и парадокс дедушки для кротовых нор. Замечательная универсальность!

10. Идеальная и Наблюдаемая Динамика.

10.1 Определение Идеальной и Наблюдаемой Динамики. Почему необходима Наблюдаемая Динамика?

Мы видим, что точные уравнения квантовой и классической механики описывают **ИДЕАЛЬНУЮ** динамику, которая обратима и приводят к возвратам Пуанкаре. Уравнения физики, описывающие **НАБЛЮДАЕМУЮ** динамику, например, уравнения гидродинамики вязкой жидкости, уравнение Больцмана в термодинамике, закон роста энтропии в изолированных системах (*master equations*) - необратимы и исключают возвраты Пуанкаре в исходное состояние.

. Дадим определения Наблюдаемой и Идеальной Динамик, а также объясним необходимость введения Наблюдаемой Динамики. **Идеальной Динамикой** мы будем

называть точные законы квантовой или классической механики. Почему мы назвали их идеальными? Потому что для большинства реальных систем выполняется закон возрастания энтропия или спонтанная редукция, противоречащие законом Идеальной Динамики. Как видно из объяснения этих противоречий, нарушения Идеальной Динамики связано или с незамкнутостью измеряемых систем (т.е. объясняется влиянием внешней среды или наблюдателя), или невозможностью полного самоизмерения и самоанализа для замкнутых и полных физических систем, включающих как внешнюю среду, так и наблюдателя. Что же делать в таких случаях? Реальная система незамкнута или неполна, т.е. Идеальная Динамика невозможна и мы должны отказаться от использования физики? Отнюдь нет! Очень многие такие системы могут быть описаны уравнениями точной (или вероятностной) динамики, несмотря на незамкнутость или неполноту описания. Мы будем называть её **Наблюдаемой Динамикой**. Большинство уравнений физики, называемые *master equations* (такие как, например, как уравнения гидродинамики вязкой жидкости, уравнение Больцмана в термодинамике, закон роста энтропии в замкнутых системах) являются уравнениями Наблюдаемой Динамики.

Для того чтобы обладать указанным выше свойством Наблюдаемая Динамика должна отвечать определенным условиям. Она не может оперировать полным набором **микропеременных**. В Наблюдаемой Динамике мы определяем лишь много меньшее число **макропеременных**, которые являются некими функциями микропеременных. Это делает ее много устойчивее по отношению к ошибкам в задании начальных условий и шуму. Действительно, изменение микросостояния не приводит неизбежно к изменению макросостояния, поскольку одному макросостоянию отвечает большой набор микросостояний. Для газа макропеременными являются, например, плотность, давление, температура и энтропия. Микропеременными же являются скорости и координаты всех его молекул.

Как из Идеальной Динамики получается Наблюдаемая Динамика? Они получаются или введением в идеальные уравнения малого, но конечного внешнего шума или же введением погрешностей начального состояния. Погрешности и/или шумы должны быть достаточно большими, чтобы нарушить ненаблюдаемую реально обратимость движения или возвраты Пуанкаре. С другой стороны они должны быть достаточно малы, чтобы не влиять на протекание реально наблюдаемых процессов с ростом энтропии.

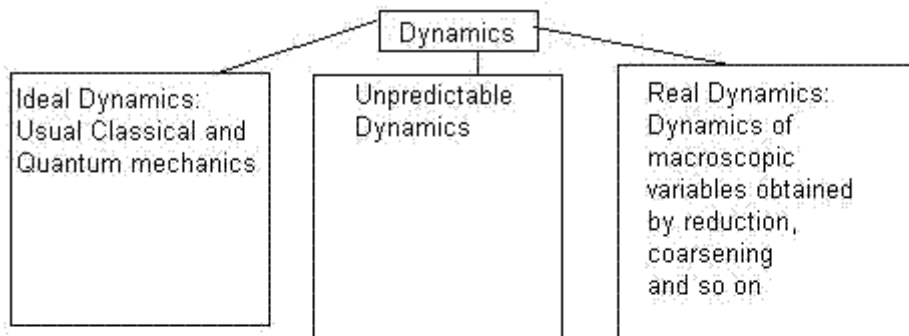


Figure 22 Three types of Dynamics.

Наблюдаемая Динамика для процессов с ростом энтропии дает результат совпадающий с Идеальной Динамикой. Однако обратные процессы, идущие с уменьшением энтропии, и возвраты Пуанкаре в ней невозможны.

Возможность введения Наблюдаемой Динамики связана с указанной выше устойчивостью процессов, идущих с ростом энтропии, по отношению к ошибкам в задании начальных условий и внешнему шуму. С другой стороны, **процессы, идущие с уменьшением энтропии, и возвраты Пуанкаре неустойчивы** даже к малому шуму и погрешностям начальных условий. Но эти явления и не наблюдаются в реальных экспериментах.

С чем связана (при удачном выборе макропеременных) в Наблюдаемой Динамике устойчивость по отношению к шуму для процессов, идущих с ростом энтропии? На две основные причины указал ещё Шредингер [11].

Первая уже нами была указана. Она заключается в том, что макросостояние определяется параметрами огромного числа молекул. Хотя внешний шум может сильно менять состояние отдельной молекулы, суммарный их вклад в макросостояние остается неизменным. Это связано с законом больших чисел в теории вероятности [56]. Примером термодинамического закона, связанного с этим, может служить макроскопические законы движения жидкости или газа.

Вторая причина связана с дискретностью состояний в квантовой механике. Поскольку разные квантовые состояния дискретны и сильно отличаются энергией, малый шум не может их изменить. Это приводит, например, к устойчивости химической связи и позволяет рассматривать, например, термодинамику макромолекулы

Зачем нужно использовать именно Наблюдаемую, а не Идеальную динамику, если они дают одинаковый результат во всех важных экспериментальных ситуациях, связанных с ростом энтропии? Потому что **описание, даваемое Наблюдаемой Динамикой, много проще, чем даваемое Идеальной.** Наблюдаемая Динамика отбрасывает ненаблюдаемые процессы (вроде обратных процессов с убыванием энтропии или возвраты), оперирует с меньшим числом переменных и описывается более простыми уравнениями. Кроме того, она позволяет отвлечься от малого внешнего шума или неполноты описания системы, позволяя сделать точное или вероятностное описание системы.

Мы знаем, что истинной теорией является Идеальная Динамика. Наблюдаемая Динамика дает отличные от нее результаты. Можно ли экспериментально обнаружить эту разницу между теориями, при условии истинности Идеальной Динамики? Та или иная теория может быть верной или неверной только в том случае если может быть поставлен реальный эксперимент, способной опровергнуть теорию. Такая теория называется **фальсифицируемой** в смысле определенном **Карлом Поппером [42]**. Предположим, что Идеальная Динамика верна. Является ли Наблюдаемая Динамика фальсифицируемой в определенном выше смысле?

Для полной физической системы, включающей наблюдателя, наблюдаемую систему и окружающую среду наблюдаемая динамика не фальсифицируема в смысле Поппера (при условии верности Идеальной Динамики). Т.е. разницу между Идеальной и Наблюдаемой Динамикой в этом случае невозможно наблюдать в эксперименте.¹⁰

¹⁰ Тем не менее, она может иметь самостоятельную ценность, позволяя более просто проводить вычисления или понять физику явления.

Так, например, Галлилеевская система отсчета, связанная с солнцем, позволила гораздо проще и точнее рассчитать динамику планет, чем Птолемеяевская, связанная с Землей. Хотя за начало отсчета мы вправе выбрать любую из них. Соответственно выбор «что вокруг чего вращается» остается за нами и определяется лишь красотой описания и нашим удобством.

Аналогично этому, в математической науке выбор определений и аксиом определяется лишь нашим удобством и требованием непротиворечивости аксиом. Теория, объясняющая как делать тот или иной выбор, отсутствует (в отличие от теоремы Геделя о неполноте) Обычно

Для измеряемой системы без включения в нее наблюдателя и окружения Наблюдаемая Динамика **в принципе фальсифицируема**. Для этого надо исключить даже очень малое шумовое взаимодействие с окружающей средой и наблюдателем, подготовить некое точно заданное начальное состояние, а затем измерить конечное и сравнить полученный результат с теорией. Тут возникает соблазн спросить: а может на самом деле исходно верной является не Идеальная, а некая Наблюдаемая Динамика [10], [44], [45]? Например, предположим, что спонтанная редукция происходит для достаточно больших макроскопических систем. То-есть, спонтанная редукция наблюдается не только при самонаблюдении, но также и для внешнего наблюдателя при полной изоляции макросистемы от шума окружения. Однако в случаях небольших изолированных систем, когда Идеальная Динамика экспериментально проверяема, она всегда оказывается верной.¹¹

Однако, поскольку для макроскопических систем исключить это очень малое шумовое взаимодействие практически невероятно трудно, то выполняется **практическая нефальсифицируемость** Наблюдаемой Динамики для измеряемой системы. Т.е. теоретически опровергнуть её можно, но в реальном эксперименте сделать это очень трудно

Сделаем тут очень важное примечание. Вполне возможны и случаи, когда введение такой динамики невозможно и система остается все-таки непредсказуемой, вследствие незамкнутости или неполноты описания. Это случай **Непредсказуемой Динамики**, обсуждаемой в следующей главе.

10.2 Чем ограничивается выбор макроскопических переменных Наблюдаемой динамики?

Очень важно отметить, что **выбор макропараметров не может быть произвольным**. Наблюдаемая динамика должна приводить к закону возрастания энтропии и необратимости. Следовательно, макропеременные должны вводиться таким образом, чтобы макросостояния и описываемые ими процессы, ведущие к росту энтропии (определяемой этими макропеременными), были устойчивы по отношению к внешнему шуму. Они также должны происходить аналогично процессам, описываемых идеальной динамикой изолированных систем при возрастании энтропии. Процессы идеальной динамики, связанные с уменьшением макроскопической энтропии, должны быть наоборот неустойчивыми и нарушаться. Это условие накладывает серьезные ограничения на выбор возможных макроскопических состояний. Так в классической статистической механике,

прибегают к аргументу «красоты» и «всеобщности» теорем, получающихся при подходящим задании аксиом и определений. Однако эти вещи требуют более точных определений. [13]

¹¹ *Подобные эксперименты существуют и проводятся на системах промежуточного размера между макро и микро, так называемых мезоскопических системах. Все эти эксперименты подтверждают Идеальную, а не Наблюдаемую Динамику. В этих экспериментах наблюдается квантовая интерференция (при отсутствии спонтанной редукции) и происходят флуктуации энтропии.* [43],[10].

Однако для действительно больших макроскопических систем аналогичный эксперимент поставить в ближайшее время вряд ли будет возможно. В фундаментальной физике аналогичная ситуация существует для Струнных Теорий и Великих Объединений. Эксперимента, который сможет подтвердить или опровергнуть их, нужно ждать сотни лет, если не случиться чуда. Впрочем, и в теории гравитации Эйнштейна, которая проверена точно лишь для не слишком большой силы гравитации, ситуация похожа. (вспомним, например, загадочное темное вещество и энергию, а также новые теории гравитации Мильгрота [53] и Логунова [54]).

если мы рассмотрим набор всех микросостояний соответствующих некому макросостоянию, то в фазовом пространстве они имеют вид компактной, выпуклой капли. Это макросостояние и его динамика, идущая с ростом энтропии, будут устойчивыми по отношению к малому внешнему шуму.

Возьмем набору точек, соответствующему расплывшейся фазовой капле с множеством узких ответвлений («рукавов») и обратим скорости всех молекул. Такому ансамблю не соответствует никакого макросостояния. Хотя ансамбли (т.е. наборы точек в фазовом пространстве), обладающие таким свойством существуют и соответствуют начальным состояниям процессов с убыванием энтропии. Невозможность введения такого макросостояния связана с тем, что подобное макросостояние было бы неустойчивым к малому шуму. Неустойчивостью (для систем с перемешиванием) объясняется и невозможность выбора в качестве макропараметров (даже в качестве некоего предельного случая) самих микропараметров, т.е. скоростей и координат всех молекул. Конечно, еще одной причиной для этого является и огромное число таких параметров.

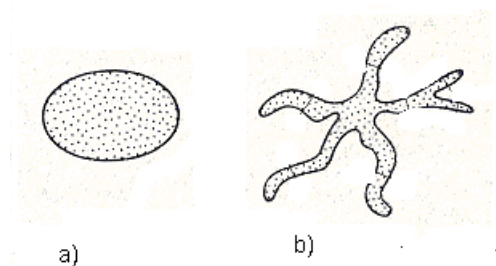


Рис 23 а) возможное макросостояние б) невозможное макросостояние

Аналогично этому в КМ часто возникает вопрос: почему для основных макросостояний Шредингерского кота мы выбираем состояния живой или мертвый кот, а не их разницу и сумму [14]? Связано это с тем, что состояния живой или мертвый кот устойчивы к флуктуациям внешней среды. В тоже время, их сумма или разность в очень короткое время запутываются с окружением и переходят в смесь живой и мертвый кот. Мы уже раньше назвали этот процесс декогеренцией. Он происходит много быстрее, чем все иные термодинамические релаксационные изменения. [15], [16], [47], [48] Т.е. выбор состояний как именно живой или мертвый кот диктуется необходимостью устойчивости к внешнему шуму.

Какое же свойство уравнений идеальной динамики приводит к приоритету подобных состояний? Это свойство **локальности взаимодействия**. Сильно взаимодействуют друг с другом лишь близкие в пространстве молекулы. Поскольку состояния живой и мертвый кот пространственно сильно разделены их суперпозиция легко редуцируется в их смесь.

Определение таких приоритетных макроскопических состояний (*pointer states*) в случае квантовой механики описано в работах Зурека [39], [31]. Если бы сила взаимодействия между молекулами или атомами определялась бы не близостью координат, а, например, близостью импульсов частиц ситуация была бы совсем другая.

Для систем близких к состоянию термодинамического равновесия приоритетные макроскопические состояния (*pointer states*) соответствуют собственным функциям энергии. В энергетическом представлении при термодинамическом равновесии матрица плотности диагональна.

Отметим тут, что выбор, как уравнений Наблюдаемой Динамики, так и набора макропеременных неоднозначен. Существует огромное количество различных и непротиворечивых между собой Наблюдаемых Динамик. По сути дела, все **master equations** термодинамики (например, уравнения гидродинамики вязкой жидкости, уравнение Больцмана в термодинамике, закон роста энтропии в изолированных системах) являются уравнениями Наблюдаемой Динамики. Различные Наблюдаемые Динамики

отличаются как по степени их «макроскопичности», так и по выбору конкретных наборов макропеременных.

Равновесный ансамбль, находящийся в равновесии с термостатом, в квантовой механике в энергетическом представлении описывается диагональной матрицей плотности. Аналогично этому, в классической механике, в равновесии отсутствуют корреляции между молекулами, являющимися аналогами недиагональных элементов матрицы плотности. Нарушение равновесия проявляется **двояко. Во-первых**, через наличие макроскопических корреляций макропараметров. Они определяются неравновесными значениями диагональных элементов матрицы плотности в энергетическом представлении для КМ. Эти корреляции исчезают при переходе к равновесному состоянию в процессе, называемом релаксацией. **Во-вторых**, через неустойчивые микроскопические корреляции (квантовые корреляции в КМ или дополнительные корреляции в КСМ). Квантовые корреляции соответствуют не равным нулю недиагональным элементам матрицы плотности в энергетическом представлении. Эти микроскопические корреляции много более неустойчивы и гораздо быстрее затухают, чем макроскопические. Процесс их исчезновения был назван выше декогеренцией. Время декогеренции много меньше времени релаксации.

10.3 Методы получения Наблюдаемой Динамики.(Master equations)

Рассмотрим методы получения Наблюдаемой Динамики. В соответствии с двумя основными причинами, приводящими к необходимости применения Наблюдаемой Динамики (внешний шум или неполнота знаний о состоянии системы) мы можем разбить все методы получения Наблюдаемой Динамики на две группы.

Первый метод связан с введением малого неконтролируемого шума от внешнего большого термостата (например, вакуум является термостатом с нулевой температурой). [15] Этот шум уничтожает дополнительные корреляции, приводящие к возвратам и обратимости.

Второй метод связан с неполнотой знания о состоянии полной физической системы для самонаблюдения, что позволяет провести огрубление («размазывание») функции, описывающей состояния системы [35], [2], (**Приложение К**). Для КСМ такой функцией является фазовая плотность, для КМ – матрица плотности. Если мы рассмотрим случай КСМ, то огрублением («размазыванием») может служить сглаживание (усреднение) функции фазовой плотности в окрестности каждой точки с некоторым периодом времени. Между сглаживаниями эволюция описывается обычными уравнениями Идеальной Динамики. Для КМ аналогичная процедура связана с периодической редукцией волновой функции [3] и использования уравнения Шредингера во временных промежутках между редукциями. Подобные методы огрубления уничтожают дополнительные корреляции, приводящие к возвратам и обратимости. Как мы уже отмечали выше, эти корреляции экспериментально не наблюдаемы для случая самонаблюдения.

Наблюдаемая динамика (при самонаблюдении) должна описывать поведение системы (с ростом энтропии) и давать результаты, совпадающие с Идеальной Динамикой, только в течение некоторого ограниченного интервала времени. Это время много меньшего времени возврата. Ведь система просто не может быть наблюдаема экспериментально в течение большего времени из-за стирания памяти наблюдателя при возвратах.

10.4 Разрешение парадокса Зенона с точки зрения Наблюдаемой Динамики. Экспоненциальный распад частиц– закон Наблюдаемой, а не Идеальной Динамики.

В связи с необходимостью введения Наблюдаемой Динамики, мы можем тут вспомнить ранее уже упомянутый квантовый **парадокс Зенона**. Разрешение второй части этого парадокса (о не экспоненциальном характере распада) мы находим в рамках Наблюдаемой Динамики.

Пусть количество нераспавшихся частиц N (с небольшой возможной ошибкой) является измеряемым макропараметром. В начальный момент t_0 было N_0 нераспавшихся частиц. Идеальная квантовая динамика дальнейшего распада не экспоненциальная. Но квантовое измерение распада неизбежно вносит искажение в Идеальную динамику, делая ее неприменимой. Мы можем лишь свести помехи, вносимые измерением, к минимуму, выбрав большие интервалы между измерениями. Временной интервал между измерениями (редукциями) с одной стороны должен быть достаточно большим, чтобы не влиять существенно на динамику распада. ($\Delta t \gg \hbar/\Delta E$, где Δt – временной интервал между редукциями, \hbar – постоянная планка, ΔE – разница энергий между состояниями распавшаяся и не распавшаяся частицы) С другой стороны, его нужно выбрать меньше среднего времени жизни частицы. ($\hbar/\Delta E \ll \Delta t < \tau$, где τ – среднее время жизни распавшейся частицы). Общее время наблюдения процесса должно быть много меньше времени возврата Пуанкаре для замкнутых систем конечного объема (включающей наблюдателя), поскольку подобные возвраты не наблюдаемы из-за стирания памяти наблюдателя. ($n \cdot \Delta t \ll T_{\text{return}}$, где n – число наблюдений [редукций], T_{return} – время возврата Пуанкаре) Пусть временной интервал между измерениями распавшихся частиц и общее время наблюдения выбраны корректно, т.е. отвечают всем этим условиям. Для такой ситуации полученный закон распада является уже строго экспоненциальным и не зависит от конкретной точной величины выбранного временного интервала между измерениями (редукциями). Этот **экспоненциальный закон распада** ($N = N_0 \cdot \exp(-(t - t_0)/\tau)$) является уже **законом Наблюдаемой динамики, а не Идеальной динамики**, согласно самому определению понятия Наблюдаемой динамики.

10.5 Примеры различных методов получения Наблюдаемых Динамик путем «огрубления» («размазывания»): уравнение Больцмана и Новая Динамика Пригожина.

Примером Наблюдаемой Динамики является **уравнение Больцмана**. [1],[2] Огрубление («размазывание») (**Приложение К**) проводится при его получении в два этапа. Вначале фазовая функция заменяется функцией распределения для одной частицы. Это, по сути, соответствует усреднению фазовой плотности по всем частицам, кроме одной. Полученное уравнение для одночастичной функции остается обратимым уравнением Идеальной динамики и зависит от двухчастичной функции распределения. Уравнение Наблюдаемой Динамики получают путем дальнейшего огрубления. Вводится «гипотеза молекулярного хаоса». Корреляции между любыми двумя частицами принимаются нулевыми, и двухчастичная функция распределения заменяется произведением двух одночастичных функций. Подставляя полученную двухчастичную функцию в полученное ранее уравнение, приходим к необратимому и нелинейному уравнению Больцмана. Это очень напоминает редукцию в КМ, когда все корреляции между возможными результатами измерения отбрасываются (т.е. обнуляются недиагональные элементы матрицы плотности).

Еще одним примером получения Наблюдаемой динамики методом огрубления может служить «**Новая Динамика**» Пригожина. [9], [12], (**Приложение L**) Она дает очень красивые методы получения уравнений. Как само огрубление («размазывание»), так и уравнения движения (получающиеся простой подстановкой функции, обратной огрубленной, в уравнения Идеальной динамики) являются линейными. При этом в КСМ фазовая функция распределения в окрестности каждой точки огрубляется анизотропно. Как мы описывали ранее для систем с перемешиванием, в окрестности каждой точки есть

направление, вдоль которого траектории расходятся экспоненциально (**направление расширения**). Также есть и направление, вдоль которого траектории сходятся экспоненциально (**направление сжатия**). Только вдоль направления сжатия и производится огрубление («размазывание») фазовой функции.

Рассмотрим макроскопическое состояние, которому соответствует некая компактная выпуклая «фазовая капля». Первоначальная компактная «фазовая капля», растекаясь по фазовому пространству, приобретает много «веток». Направление сжатия перпендикулярно этим «веткам». Поэтому огрубление функции вдоль них приводит к росту площади растекшейся «фазовой капли», и, соответственно, росту числа микросостояний и энтропии.

Теперь рассмотрим обратный процесс. Начальное состояние определяется набором точек фазового пространства, полученных из конечного состояния прямого процесса (растекшейся «фазовой капли») путем обращением скоростей всех молекул. При обращении скоростей форма растекшейся «фазовой капли» не меняется. Но направление сжатия из-за обращения скоростей уже не перпендикулярно, а параллельно её «веткам». Поэтому при огрублении этой вдоль направления сжатия площадь растекшейся фазовой капли почти не меняется. Соответственно, число микросостояний и энтропия тоже почти не меняются в противоположность с увеличением энтропии растекшейся «фазовой капли» при прямом процессе.

Таким образом, **анизотропное огрубление нарушает симметрию по отношению к обращению времени**, и полученные уравнения оказываются также необратимыми.

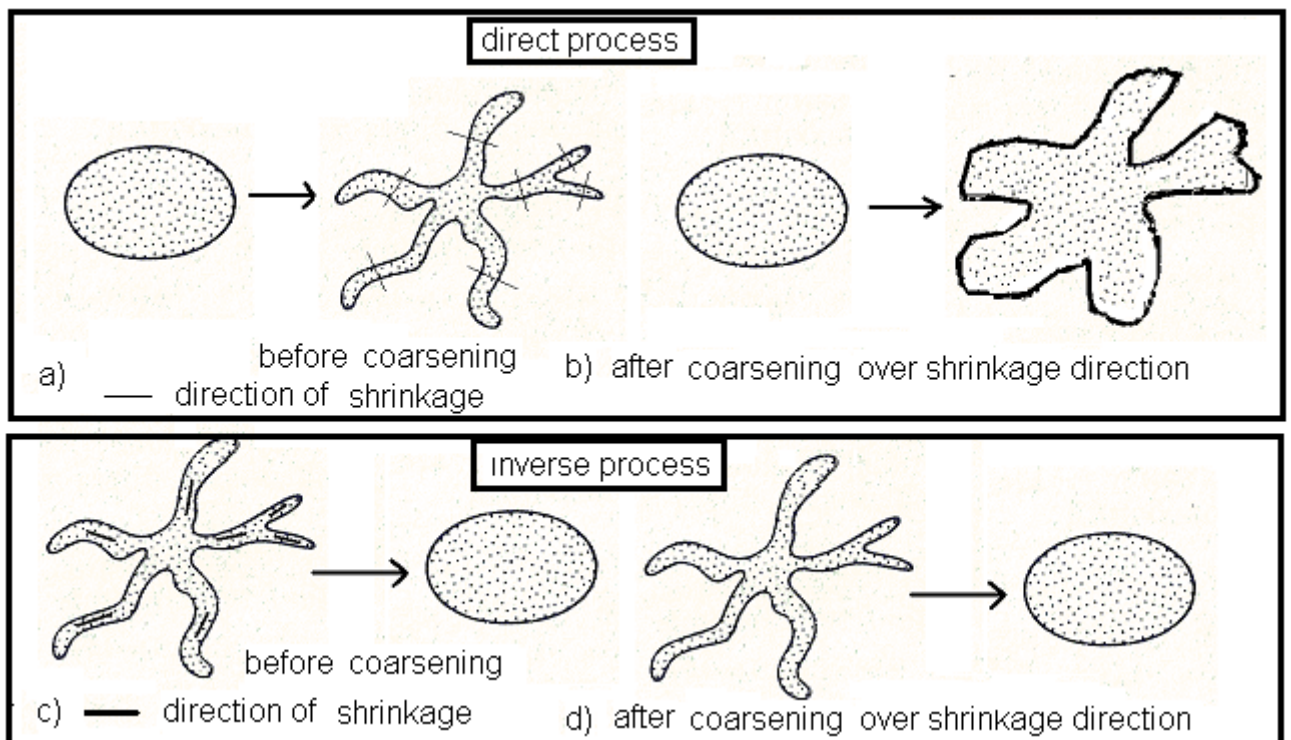


Рис. 24 Огрубление («размазывание») фазовых капель в направлении сжатия приводит к нарушению обратимости во времени. Прямой и обратный процессы после огрубления протекают уже не симметрично. («Новая динамика» Пригожина.)

Рассмотрим «Новую Динамику» для квантовых систем. Подобную линейную анизотропную процедуру огрубления можно провести и в случае КМ, но лишь для бесконечно больших квантовых систем (в бесконечном объеме или бесконечным числом частиц). Конечные квантовые системы с конечным числом частиц являются почти

периодическими, и имеют конечное время возврата. Для них «Новая Динамика» уже не применима¹².

Пригожин предлагает рассматривать все реальные квантовые системы как бесконечно большие. Решение, однако, может быть много проще. Наблюдаемая динамика имеет смысл только в течение времени, много меньше времени возврата. Описание в течение большего времени не имеет смысла. Ведь система не может быть наблюдаема экспериментально в течение большего времени из-за стирания памяти при возвратах (при самонаблюдении). В течение такого времени в термодинамическом пределе (объем стремится к бесконечности, но отношение числа частиц к объему остается постоянной) большие конечные системы, для которых существует такой предел, почти не отличаются от бесконечных систем. Если же у нас имеется система, для которой термодинамический предел вообще не существует (например, макромолекула) ее можно просто погрузить в резервуар (окружение) для которого такой предел есть. Все эти приемы позволяют использовать уравнения «Новой Динамики» и для конечных систем квантовой механики.

Часто «Новую Динамику» подвергают критике.[28] Основной аргумент при этом заключается в том, что все парадоксы КМ и КСМ можно объяснить, не прибегая к «Новой Динамике». Это верно, и мы проделали это в данной работе. Соответственно, говорят эти критики, «Новая Динамика» не нужна и избыточна! Однако нужно рассматривать «Новую Динамику» не как замену КМ или КСМ (что, к сожалению, пытается сделать и сам Пригожин), а лишь как одну из полезных форм Наблюдаемой Динамики. Она позволяет удобно описать физические системы, исключая ненаблюдаемые в реальности обратимость и возвраты. В этом и состоит ее преимущество.

Обсудим теперь ситуацию, когда Наблюдаемую Динамику ввести не возможно. Это случай мы назвали выше Непредсказуемой Динамикой.

11. Непредсказуемая Динамика.

Не во всех случаях нарушенная внешним шумом (или неполная при самонаблюдении) Идеальная Динамика может быть заменена предсказуемой Наблюдаемой Динамикой. Для ряда систем их динамика становится в принципе непредсказуемой. Назовем динамику, описывающую такую систему, **Непредсказуемой Динамикой**. Как следует из самого определения таких систем, для них невозможно ввести макропараметры, характерные для Наблюдаемой Динамики и предсказывать их поведение. Их динамика не описывается и не предсказывается научными методами. Таким образом, **наука сама ставит границы своей применимости**.

Мы не сомневаемся в верности и универсальности основных законов физики. Но невозможность полного знания состояния или законов динамики системы (из-за взаимодействия с наблюдателем или окружением или неполноты при самонаблюдения) делает в некоторых случаях невозможным их полную экспериментальную проверку. Это дает нам некоторую свободу их произвольно изменять, не входя в противоречие с экспериментом. Когда эти изменения приводят к предсказуемой динамике системы, она называется Наблюдаемой Динамикой. В тех же случаях, когда никакая предсказуемая динамика становится вообще невозможна, мы говорим уже о Непредсказуемой Динамике.

Приведем несколько примеров Непредсказуемой Динамики.

- 1) Точки фазовых переходов или точки бифуркаций. В этих точках макроскопическая система, описываемая Наблюдаемой Динамикой, в процессе эволюции во времени или в процессе изменения какого-либо внешнего параметра может перейти не в

¹² Также Новая Динамика не применима к почти периодическим системам КСМ. Впрочем, большинство реальных систем КСМ является системами с перемешиванием (хаотическими). Поэтому для КСМ эта проблема менее важна

одно, а в несколько различных макроскопических состояний. То есть, в этих точках Наблюдаемая Динамика теряет свою однозначность. В этих точках возникают огромные макроскопические флуктуации и использование макропараметров становится бессмысленным. Эволюция также становится непредсказуемой, т.е. возникает Непредсказуемая Динамика.

- 2) В современных космологических моделях есть дополнительные явления, кроме уже описанных выше явлений. Они связаны с потерей информации и ведут к неполноте нашего знания о состоянии системы и, следовательно, ее непредсказуемости. Так, за конечное время разные начальные состояния вследствие коллапса приводят к одинаковому конечному состоянию - Черной Дыре. Это приводит к потере информации в Черной Дыре и непредсказуемости динамики системы, ее включающей. (Таким, например, однозначно непредсказуемым явлениям, например, как Хокинговское испарение Черной Дыры.) Тот же эффект потери информации имеет и ускоренное расширение Вселенной – появляются ненаблюдаемые области, откуда до нас не доходит даже свет. Следовательно, они ненаблюдаемые, и содержащаяся в них информация потеряна. Это опять ведет к непредсказуемости.
- 3) Возьмем микроскопическую или мезоскопическую систему, описываемую Идеальной Динамикой, изолированную от внешней декогеренции. Ее динамика зависит от неконтролируемых микроскопических **квантовых корреляций**. Эти корреляции очень неустойчивы и вследствие декогеренции (т.е. запутывания с окружением или наблюдателем) исчезают. Пусть некий первый наблюдатель фиксирует лишь начальное и конечное состояние системы. В промежутке времени между ними система полностью или почти изолирована от окружения или этого наблюдателя. В таком случае эти микроскопические корреляции не исчезают и влияют на динамику. Рассмотрим другого внешнего наблюдателя, не знающего начального состояния системы. В отличие от первого наблюдателя, знающего начального состояния системы, поведение системы для второго наблюдателя становится непредсказуемым! Т.е. с точки зрения такого наблюдателя возникает Непредсказуемая Динамика. В квантовой области примерами таких систем являются **квантовые компьютеры** и **квантовые криптографические передающие системы**. [16], [47], [48]



Рис. 25 Схема квантового компьютера

Квантовые компьютеры имеют не только свойство непредсказуемости для наблюдателя, не информированного об их состоянии при запуске вычислений. Другим важным свойством является их высокая параллельность вычисления. Оно достигается

за счет того, что начальное состояние является суперпозицией многих возможных начальных состояний «квантовых битов информации». За счет линейности уравнений квантовой механики эта суперпозиция сохраняется и «обработка» всех состояний, входящих в суперпозицию, происходит одновременно (параллельно). Эта параллельность приводит к тому, что многие задачи, которые обычный компьютер решает очень медленно из-за того, что рассматривает все случаи последовательно, квантовый решает очень быстро. С этим свойством и связаны надежды на практическую пользу квантовых компьютеров.

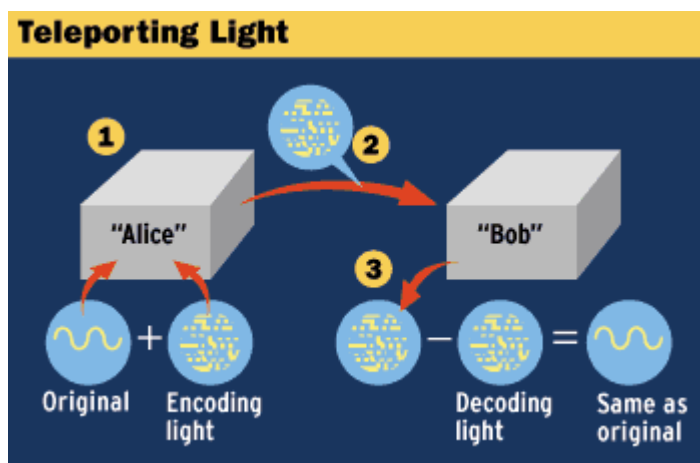


Рис 26. Квантовое кодирование в квантовых криптографических передающих системах. (Рис. из [102])

Квантовые криптографические передающие системы используют в первую очередь свойство своей непредсказуемости «передаваемых сообщений» (на самом деле, просто неких специальных систем, описываемых квантовыми законами) для внешнего наблюдателя, не информированного об их состоянии при начале передачи. Любая попытка прочесть передаваемое сообщение приводит к его взаимодействию с этим наблюдателем и, следовательно, «разрушению» передаваемого сообщения и невозможности прочесть это сообщение. Таким образом, перехват сообщений оказывается **в принципе невозможным** по законам физики.

Следует особо отметить, что вопреки широко распространенному мнению, как квантовые компьютеры так и квантовая криптография [16], [47], [48] имеют классические аналоги. Действительно, в классических системах в отличие от квантовых систем измерение можно провести абсолютно точно, не искажая измеряемое состояние. Однако и в классических хаотических системах имеются **неконтролируемые и неустойчивые микроскопические дополнительные корреляции**, обеспечивающие обратимость и возвраты системы. Введём «руками» конечное, но малое взаимодействие в классическое измерение или конечную погрешность в начальные условия, которые в реальных ситуациях, и на самом деле, всегда существуют. Они стирают разницу между классической и квантовой системой, как мы уже отмечали выше. В реальных системах всегда присутствует мный внешний шум, выполняющий эту роль. Изолируя хаотическую классическую систему от этого шума, мы получаем **классические аналоги изолированных квантовых устройств с квантовыми корреляциями** [86-87].

Аналогом квантовых компьютеров являются **молекулярные компьютеры** [52, 86-87]. Большое количество молекул обеспечивает параллельность вычислений. Неконтролируемые и неустойчивые микроскопические дополнительные корреляции, обеспечивающие обратимость и возвраты системы, делают динамику неопределенной для наблюдателя, не информированного о состоянии компьютера в момент старта.

Введение конечного, но малого взаимодействия приведет к тому, что такой наблюдатель нарушит нормальный запланированный ход вычислений при попытке чересчур точно померить координаты и скорости молекул, чтобы предсказать результат работы компьютера.

Аналогичные аргументы могут быть использованы для создания **классических криптографических передающих систем**, использующих явление классических неустойчивых микроскопических дополнительных корреляции. Неустрашимое малое взаимодействия с перехватчиком сообщений разрушает эти корреляции. Тем самым оно делает ненаблюдаемый перехват принципиально невозможным также и в классическом случае.

- 4) Сохранение неустойчивых микроскопических корреляций может быть обеспечено не только за счет пассивной изоляции от внешней среды и наблюдателя, но и за счет динамического, компенсирующего помехи механизма. Это происходит в так называемых физических **стационарных системах**, в которых равновесие системы поддерживается за счет непрерывного **потока энергии или вещества через систему**. Примером могут служить микромазеры [25] – маленькие и хорошо проводящие полости с электромагнитным излучением внутри. Размер полостей настолько мал, что излучение уже необходимо описывать квантово. Оно постепенно затухает из-за взаимодействия со стенками. Эту систему оптимально описывать матрицей плотности в базисе состояний, соответствующих различным собственным энергиям системы. Этот базис наиболее устойчив к внешним шумам для любой системы близкой к термодинамическому равновесию и, следовательно, наиболее подходит для Наблюдаемой Динамики. Микроскопические корреляции соответствуют недиагональным элементам матрицы плотности и стремятся к нулю много быстрее, чем диагональные элементы при затухании излучения. (Иными словами, время декогеренции много меньше времени релаксации.) Однако пропускание через микромазер пучка возбужденных частиц приводит к сильному замедлению затухания недиагональных элементов матрицы плотности (иными словами микрокорреляций) и отличному от нуля стационарному излучению.
- 5) Примером **очень сложных стационарных систем** являются **живые системы**. Они находятся в состоянии очень далеко от термодинамического равновесия и крайне сложны. Они упорядочены, хоть эта упорядоченность сильно отличается от периодичного неживого кристалла. Низкоэнтропийное неравновесное состояние живого поддерживается за счет роста энтропии в окружении¹³. Неравновесное состояние поддерживается за счет метаболизма – непрерывного потока вещества и энергии через живой организм. С другой стороны само это неравновесное состояние является катализатором метаболического процесса, т.е. создает и поддерживает его на необходимом уровне. Поскольку состояние живых систем является сильно неравновесным, оно может поддерживать и существующие неустойчивые микрокорреляции, препятствуя процессу декогеренции. Эти корреляции могут быть как между частями самой живой системы, так и между живой системой и другими (живыми или неживыми) системами. Если это происходит, то динамику живой системы можно отнести к Непредсказуемой Динамике. Несомненные успехи молекулярной биологии позволяют предсказать и описать многие черты динамики живых систем. Но нет никаких фактов, свидетельствующих, что она будет способна **полностью** описать всю сложность процессов в живой системе, даже с учетом ее дальнейших достижений. Довольно трудно проанализировать реальные живые системы в рамках концепций Идеальной, Наблюдаемой и Непредсказуемой Динамик из-за их огромной сложности. Но возможно построить математические модели гораздо менее

¹³ Так, например, растет энтропия Солнца, служащего источником энергии для жизни на Земле.

сложных неравновесных стационарных систем с метаболизмом и понять возможную роль всех трех Динамик для таких систем. Эта важная задача для дальнейшей работы физиков и математиков в этой области. Некоторые шаги в этом направлении сделаны в ниже следующей главе о Синергетике.

Следует отметить очень важное обстоятельство. Неустойчивые микрокорреляции существуют не только в квантовой, но и в классической механике. Например, классические системы с перемешиванием. Следовательно, подобные модели не должны носить только квантовый характер. Они могут быть и классическими! Очень многие допускают эту ошибку, считая, что только квантовая механика может описывать подобные явления.[44], [45] Как мы уже много раз указывали выше, введение «руками» малого, но конечного взаимодействия при классическом измерении и погрешностей начального состояния стирает разницу между свойствами квантовой и классической механики (при наличии неустойчивых микрокорреляций).

б) Описанными выше случаями не описывается все многообразие Непредсказуемых Динамик. Нахождение точных условий, при которых Идеальная Динамика переходит в Наблюдаемую и Непредсказуемую Динамику – еще полностью не решенная задача для математики и физики. Также такой еще полностью не решенной проблемой (и, по-видимому, связанной с предыдущей задачей) является роль этих трех динамик в сложных стационарных системах. Решение этой проблемы позволит глубже понять физические принципы, лежащие в основе жизни. Этому вопросу мы посвятим следующую главу.

12. Жизнь и смерть.

Отметим с самого начала, что если предыдущие главы носили более или менее строгий характер, то данная глава в силу очевидных причин носит более гипотетический характер и является скорее набором гипотез.

Будем исходить в данной статье из положения, что жизнь полностью соответствует законам физики.

Следующие вопросы должны быть обсуждены ниже:

Что такое жизнь и смерть с точки зрения физики?

Есть ли у живой материи некие свойства не совместимые с физикой?

Чем живые системы отличаются от неживых систем с точки зрения физики?

Когда у живых систем появляется сознание и свобода воли с точки зрения физики?

Жизнь определяется, обычно, как особая высокоорганизованная форма существования органических молекул, обладающая способностью к обмену веществ, размножению, адаптации, движению, реакцией на внешние раздражители, способностью к самосохранению в течение долгого времени или даже повышению уровня самоорганизации. Это верное, но слишком узкое определение: многие из живых систем обладают лишь частью из этих свойств, некоторые из них присущи и неживой материи, вполне возможны и неорганические формы жизни.

12.1 Жизнь с точки зрения физики – предыдущие работы.

Первую попытку описать жизнь с точки зрения физики дал Шредингер [11]. В своей работе он определил жизнь как аperiодический кристалл, т.е. высокоупорядоченную¹⁴, но не основанную на простом повторении, в отличие от кристалла, форму материи. Он также

¹⁴ Т.е. обладающую низкой энтропией. Живая система «питается» негэнтропией из окружения. Таким образом, это принципиально открытая система.

привел две причины, делающие Наблюдаемую Динамику живых систем устойчивой к их внутреннему и внешнему шуму: статистический закон больших чисел и дискретность квантовых переходов, обеспечивающую устойчивость химических связей. Сам принцип действия живых организмов он уподобляет часам: и там и там возникает «порядок из порядка» несмотря на высокую температуру.

Следующий вклад в понимание жизни сделал Бор [26]. Он обратил внимание, что полное измерение состояния системы вносит в квантовой механике неизбежные искажения в поведение системы, чем возможно и объясняется принципиальная непознаваемость жизни. Критика этих взглядов Бора Шредингером [19] не состоятельна. Он пишет, что полное знание состояния квантовой системы возможно. Просто в отличие от классического случая полное знание состояния квантовой системы позволяет предсказать будущее лишь вероятностно. Проблема, однако, состоит в том, что измерение вносит неизбежные искажение в поведение системы, более сильные, чем вытекающие из вероятностного характера КМ. Т.е. предсказание нельзя делать даже вероятностно! В отсутствии измерения поведение было бы иным, чем при его наличии [20]. Измерение нарушает дополнительные (или квантовые) корреляции между частями системы, меняя ее поведение. Таким образом, измерение делает поведение системы в принципе непредсказуемым, а не только вероятностным. Это относится не только к квантовой механике, но и к классической механике, где между реальными системами существует малое конечное взаимодействие.

В своей работе Бауэр¹⁵ [17] определил, что не только высокая упорядоченность (и, соответственно, низкая энтропия) проявляются не только в неравновесности распределения веществ в живой материи, но и сама структура живой материи является низкоэнтропийной и сильно неустойчивой. Эта неустойчивая структура не только поддерживается за счет процесса обмена веществ, но и сама является катализатором этого обмена. Казалось бы, белки или вирусы имеют упорядоченную структуру и в кристаллической форме. Однако внутри живой материи можно встретить их более высокоупорядоченные и низкоэнтропийные модификации. С течением времени, тем не менее, происходит постепенная дегградация структуры. Это приводит к неизбежности смерти и необходимости размножения для самого сохранения жизни. Т.е. процесс обмена веществ лишь очень сильно замедляет распад сложной структуры живой материи, а не поддерживает ее все время неизменной. Экспериментальные результаты, приведенные Бауэром, подтверждают выделение энергии и соответственного увеличение энтропии в процессе автолиза. Автолиз - это распад живой материи в отсутствие поддерживающего ее обмена веществ. На первой стадии процесса энергия выделяется из-за разрушения сильно неустойчивой исходной структуры материи, а на второй стадией процесса - в результате действия протолитических (разлагающих) ферментов, освобождающихся или появляющихся при автолизе. Наличие этой избыточной *структурной* энергии Бауэр и считал неотъемлемой характеристикой жизни.

Во всех указанных выше работах дано рассмотрение отдельного живого организма, в то время как жизнь, как совокупность всех организмов в целом (биосфера) также может быть рассмотрено. Сюда же относится и вопрос о происхождении и источнике жизни. Наиболее полный и современный ответ на эти вопросы с точки зрения физики был дан в работе Элицура [18]. В ней он рассматривает источник жизни как ансамбль саморазмножающихся молекул. Проходя через сито Дарвиновского естественного отбора, жизнь накапливает в своих генах информацию (точнее *полезную* информацию (знания) в определении, данном Элицуром) об окружающей среде, повышая, тем самым, уровень своей организации (негоэнтропии) в соответствии со вторым началом термодинамики. Ламаркизм в его слишком прямолинейной формулировке приведен в противоречие с этим

¹⁵ Талантливый советский биофизик, трагически погибший в сталинских лагерях. Он намного опередил свое время.

законом физики. Обзор широкого спектра работ в этой области также сделан в этой статье [18]. К ее недостаткам относятся:

- 1) Рассмотрение верно для жизни в целом, как явления, но не для отдельно взятого живого организма.
- 2) Предложенное доказательство отвергает лишь слишком грубую, прямолинейную модель Ламаркизма, в то время как есть много гипотез и опытов, иллюстрирующих возможность реализации его элементов даже в реальной жизни [32]. Идея Ламаркизма заключается в том, что полезные изменения, происходящие в организме в течение его жизни, запоминаются и передаются потомству. Это противоречит Дарвиновской концепции отбора, когда случайные изменения происходят в наследственном веществе и удачные из них закрепляются у потомков естественным отбором, а неудачные отбрасываются.
- 3) За самоорганизующимися диссипативными системами, предложенными Пригожиным, например, ячейками Бернара [50], отрицается свойство адаптации, в отличие от живых организмов. Естественно, их адаптивные способности несравнимы с живыми системами, но в зачаточной форме, тем не менее, существуют. Так, например, ячейки Бернара [50] меняют свою геометрию или даже исчезают, как функция разницы температур между нижним и верхним слоем жидкости. Это и есть примитивная форма адаптации.

12.2 Жизнь как процесс сопротивления процессу релаксации и декогеренции. Сохранение при этом как макроскопических корреляций, так и дополнительных классических (или квантовых) корреляций.

Жизнь была определена Бауэром как самоподдерживающаяся за счет движения и обмена веществ сильная неустойчивость. Живые системы сопротивляются процессу перехода из неустойчивого состояния в более устойчивое. Но мы можем предположить, что большая часть этой неустойчивости проистекает также из сильно неустойчивых (дополнительных в КСМ или квантовых в КМ) микроскопических корреляций. Живые системы стремятся поддержать и сохранить эти корреляции, сопротивляясь также процессу декогеренции. Следует отметить, что живые системы могут поддерживать такие корреляции как между своими внутренними элементами, так и с окружением.

Напомним, что в физических системах мы выделяем два типа корреляций. Первый – это устойчивые к малому внешнему шуму макроскопические корреляции между параметрами системы. Например, связь между давлением, плотностью и температурой для идеального газа. Второй тип – это неустойчивые микроскопические корреляции, которые приводят к обратимости и возвратам Пуанкаре, как в квантовых, так и в классических системах. Декогеренция разрушает эти корреляции, нарушая обратимость и предотвращая возвраты. Это проявляется в законе возрастания энтропии. Мы предполагаем, что живые системы обладают способностью сохранять эти неустойчивые корреляции, тормозя или предотвращая процесс декогеренции.

Проведем сравнение живых и неживых систем по их свойству сопротивляться разрушению и переходу к термодинамическому равновесию. Системы могут активно сопротивляться процессу релаксации. Вспомним живые или неживые стационарные системы, обменивающиеся энергией или веществом с окружением. Однако система может сопротивляться процессу не только процессу релаксации, но и декогеренции. В неживых системах это достигается пассивным путем, т.е. просто изоляцией системы от окружения.

В живых открытых системах это достигается путем активного взаимодействия с окружением, внешним и внутренним движением, метаболизмом.

Способность жизни поддерживать не только макроскопические, но дополнительные (или квантовые) микроскопические корреляции делает жизнь в принципе непредсказуемой, как и предполагал Бор. Причем здесь необязательна квантовая механика, подобные корреляции присущи и классической механике. Аналогом квантовых корреляций являются дополнительные корреляции в КСМ.

Успехи молекулярной генетики не опровергают наличие неустойчивых и непредсказуемых корреляций, возможно свойственных жизни. Построение Наблюдаемой Динамики жизни в принципе возможно. Действительно, живые системы - это открытые системы, активно взаимодействующие со случайным окружением. Внешний наблюдатель взаимодействует с ними обычно много слабее и не может вызвать принципиальное изменение в их поведении. Однако попытка понять и предсказать жизнь слишком подробно и детально может нарушить сложные и тонкие корреляции, сохраняемые жизнью. Она может привести к Непредсказуемой Динамике живых систем и, т.е. дать предсказанный Бором эффект.

12.3 Синергетические системы - модели физических свойств сложных (живых) систем.

Введем понятие синергетических физических систем. Будем называть таковыми простые физические или математические системы, иллюстрирующие в зачаточной форме некие действительные или предполагаемые свойства сложных (живых) систем. Для нас важно создание в первую очередь синергетических моделей систем, способных противостоять шуму (декогеренции в КМ). Они сохраняют свои внутренние корреляции (квантовые или классические), приводящие к обратимости движения или возвратам Пуанкаре.

Существуют три метода сделать это

- 1) Пассивный метод – создание неких «стенок» непроницаемых для шума. Примером могут служить модели современных квантовых компьютеров.
- 2) Активный метод, обратный пассивному – подобно диссипативным или живым системам, сохраняющими свое неравновесное состояние благодаря активному взаимодействию и обмену энергией и веществом с окружением (метаболизмом). Думается, что будущие модели квантовых компьютеров должны братья из этой области.
- 3) Когда корреляции охватывают ВСЮ Вселенную. Внешний источник шума здесь просто отсутствует. Источник корреляций Вселенной в том, что Вселенная произошла из малой области путем Большого Взрыва. Назовем это явление глобальными корреляциями.

Следует отметить два обстоятельства:

- 1) Многие сложные системы в своем развитии проходят динамические точки бифуркации – когда существуют несколько альтернативных путей развития и выбор конкретного из них зависит от малейших изменений состояния системы в точке динамической бифуркации [62-64]. Тут даже слабые (и сохраненные, указанными выше путями) корреляции могут оказать огромное влияние. Наличие подобных корреляций ограничивает предсказательную силу науки, но отнюдь не ограничивает нашу личную интуицию. Поскольку мы являемся неотделимой частью нашего мира, то мы вполне способны на субъективном уровне «ощущать» эти корреляции, недоступные научному предсказанию (Но, ни в кое мере не противоречащие самим законам физики!)
- 2) Как пассивная, так и активная защита требуют огромных затрат негэнтропии, которая черпается из окружения, поэтому суммарная энтропия системы и окружения только растет. Закон возрастания энтропии остается незыблемым для

«большой» системы (наблюдаемая система + окружение + наблюдатель), хотя неверен для самой наблюдаемой системы. Уменьшения энтропии в большой системе согласно уравнениям Идеальной динамики происходят, но являются ненаблюдаемыми, как объяснено выше. Поэтому они могут просто игнорироваться.

Приведем примеры синергетических моделей физических процессов.

Так, рост кристаллов моделирует способность живых систем к размножению. Кстати, анализ этих систем позволяет найти слабое место [27] в аргументах Вигнера [6], видящем противоречие между способностью к размножению и квантовой механикой. Положим, что взаимодействие между размножающейся **квантовой** системой и окружением **случайно**. В этом случае Вигнер показывает, что вероятность размножения почти нулевая. Однако, на самом деле, это размножение не случайно, а задается кристаллической решеткой уже образовавшегося кристаллика. В случае же живых организмов оно определяется последовательностью нуклеотидов в ДНК и тоже не случайно. [27]

Активное замедление процессов декогеренции, более близкое к методам поддержания корреляций в живых системах, достигается в таких открытых системах, как микромазеры, уже описанные выше [25], которые являются еще одним примером синергетических систем.

Еще одним активным механизмом предотвращения декогеренции является, так называемая «**квантовая телепортация**»[47]. В результате этого процесса создается точная копия произвольного квантового состояния, сопровождающаяся разрушением самого копируемого состояния. (Создавать копии любого квантового состояния без разрушения его самого невозможно.[47]) Проводя подобный процесс много раз с малыми интервалами времени, можно долгое время сохранять исходное состояние квантовой системы, препятствуя декогеренции. Этот процесс эквивалентен сохранению исходного измеренного состояния в парадоксе «котелка, который никогда не закипит», наблюдаемого при многократном и частом измерении текущего состояния. Отличие состоит в том, что в процессе «квантовой телепортации» копируемое состояние остается не только неизменным, но и неизвестным.

Диссипативные системы тоже являются активными синергетическими системами и иллюстрируют свойства открытых живых систем к замедлению релаксации, поддержанию низкой энтропии и примитивной адаптации к изменению условий окружающей среды.

Другой пример - это квантовые изолированные системы (например, современные квантовые компьютеры при низких температурах). Они демонстрируют свойство сохранения неустойчивых квантовых корреляций. Это похоже на поддержание сильной неустойчивости в живых системах, связанной с сохранением подобных квантовых или классических корреляций. Однако, в отличие от живых систем, это сохранение пассивно.

Пример таких систем, возможно используемых мозгом для вычислений, дает Пенроуз.[44],[45] Это система молекул - димеров тубулинов, из которых состоят микротрубочки цитоскелета нейронов (клетки, составляющие мозг). Система молекул тубулинов рассматривается как некий квантовый компьютер. [16], [47], [48] Даже если эта гипотетическая модель неверна, она иллюстрирует **принципиальную возможность** существования квантовых корреляций в мозгу. Аналогом квантовых корреляций в КСМ являются дополнительные корреляции, а аналогом квантового компьютера – молекулярный компьютер с дополнительными корреляциями между молекулами. Подобные корреляции возникают в хаотических или почти хаотических классических системах с перемешиванием. Возможно построить модель мозга и на основе таких вполне классических систем. При этом они будут обладать всеми свойствами квантовых компьютеров – непредсказуемость, параллельность вычислений. Поскольку Пенроуз ошибочно считает классические хаотические системы непригодными для моделирования живых систем, он даже не рассматривает такую возможность.

Другим примером синергетических систем, иллюстрирующих свойства квантовых корреляций, являются квантовые осциллирующие, почти изолированные от окружения

системы.[10] Пусть имеется некое сверхпроводящее кольцо, и состояние А, например, соответствует движению тока по часовой стрелке, а состояние В – против часовой стрелке. Тогда эта осциллирующая квантовая почти изолированная система изменяются по следующей схеме: А -> сумма А и В -> В -> разность А и В-> А. «Сумма А и В» или «разность А и В» - это квантовые суперпозиции состояний А и В. Пусть мы хотим измерить направления тока в кольце. Это измерение нарушает состояния суперпозиции, если система в момент измерения находилось в таком состоянии. Оно, таким образом, меняет динамику системы и уничтожает корреляции между состояниями суперпозиции[10].

Можно придумать и другой, интересный для биологов и химиков пример таких чувствительных к измерениям колебательных систем. Они активно защищаются от влияния внешнего шума. Пусть у нас имеется процесс, состоящий из трех стадий. На первой стадии появляется белок (фермент) с неустойчивой конформацией А. На второй стадии он катализирует некий химический процесс, который, в свою очередь, препятствует разрушению конформации А. Усложним немного процесс. Пусть существуют две неустойчивые конформации А и В, которые способны катализировать процесс на второй стадии, и происходит непрерывный переход конформации из состояния А в В, из В в А и т.д.. На третьей стадии белок попадает в третью реакцию. Если в этот момент он был в конформации А он катализирует реакцию и сохраняется, если же в конформации В то не катализирует реакцию и разрушается. Таким образом, сохранение белка зависит в каком состоянии он покинул вторую стадию в А или В. Пусть во время второй стадии мы решили с помощью некоего метода (ядерный магнитный резонанс, например) померить текущую конформацию белка. Поскольку переход из А в В является неустойчивым, измерение нарушит фазу перехода из состояния А в В. Как результат, на третьей стадии белок может оказаться в конформации В вместо А и, таким образом, разрушиться, вместо того, чтобы сохраниться. То есть, измерение промежуточного состояния белка нарушит ход самого процесса, меняя его результат. Причем это может быть верно, как для квантовой, так и для классической механики. Перейдем к синергетическим моделям глобальных корреляций, охватывающих всю вселенную.

С помощью синергетических «игрушечных» моделей можно понять синхронистичность (одновременность) причинно не связанных процессов, а также явление глобальных корреляций.

Примером являются нестационарные системы с «обострением» (blow up) [62-64], рассмотренные школой Курдюмова. В этих процессах определяется некая функция на плоскости. Ее динамика описывается нелинейными уравнениями, подобными уравнению горения. Для решения с «обострением» значение функции может стремиться к бесконечности за *конечное* время в одной точке или нескольких изолированных точках на плоскости. Интересно, что функция достигает бесконечности во всех этих точках в один и тот же момент времени, то есть синхронно.

С помощью таких моделей иллюстрируют рост населения (или уровня технического развития цивилизаций) в мегаполисах нашей планеты [65]. Точки бесконечного роста – это мегаполисы, а плотность населения – это значение самой функции.

Усложним задачу. Пусть в некий момент этого процесса происходит очень быстрое расширение («инфляция») плоскости, в которой протекает процесс с «обострением». Тем не менее, процессы достижения бесконечности в изолированных точках остаются синхронными, несмотря на то, что они уже разделены большим расстоянием.

Этой более сложной моделью можно качественно объяснить синхронность развития процессов в очень далеких частях нашей резко расширившейся Вселенной в результате «инфляция» после Большого Взрыва. То, что эти процессы с «обострением» появляются лишь при некотором узком наборе коэффициентов уравнения горения, позволяет провести

аналогию с «антропным принципом»[66]. Антропный принцип утверждает, что фундаментальные постоянные имеют именно такие значения, чтобы в итоге могла возникнуть именно наша наблюдаемая Вселенной с «антропными» существами, способными ее наблюдать.

Также интересно проиллюстрировать сложные процессы с помощью «клеточных» моделей. Хорошей базой служат дискретная модель Хопфилда [67-68]. Эту систему можно описать как квадратную двухмерную решетку ячеек, которые могут быть либо черными, либо белыми. Зададим некоторое начальное состояние решетки. Коэффициенты линейного взаимодействия между ячейками неравны. Их можно выбрать так, что в процессе дискретной эволюции начальное состояние переходит в одно из возможных конечных состояний, из заранее заданного набора состояний (аттракторов). Пусть эти аттракторы - буквы А или В.

Существуют такие начальные неустойчивые состояния которые отличаются лишь на одну ячейку (критический элемент). При этом одно из них имеет в качестве аттрактора состояние А, а другое – состояние В. Подобная синергетическая модель хорошо иллюстрирует свойство *глобальной неустойчивости* сложных систем. Оно также показывает, что эта неустойчивость присуща всей системе в целом, а не ее части. Лишь внешний наблюдатель может привести к изменению значения критического элемента и изменить эволюцию системы. Внутренняя динамика самой системы сделать это не может. *Глобальная корреляция* между ячейками неустойчивого начального состояния определяет к какому именно аттрактору эволюционирует эта решетка (либо А, либо В).

Эта модель может интерпретироваться как нейронная сеть с обратной связью или как спиновая решетка (спиновое стекло) с неодинаковыми взаимодействиями между спинами. Подобная система используется для целей распознавания образов.

Можно несколько усложнить модель. Пусть каждая ячейка в описанной выше решетке сама является аналогичной подрешеткой. Пусть процесс происходит в два этапа.

На первом этапе крупные ячейки не взаимодействуют, взаимодействие есть лишь в подрешетках, которое идет по обычной схеме. Начальные состояния всех подрешеток можно выбрать неустойчивыми. Итоговое состояние А подрешетки будем ассоциировать как черную ячейку крупной решетки, а В – белую.

Второй этап эволюции определяется как обычную эволюция уже этой крупной решетки, без изменений в подрешетках. Ее возникшее на первом этапе начальное состояние тоже может быть неустойчивым.

Пусть итоговое состояние крупнозернистой решетки будет буква А, а каждой ее крупной ячейки - тоже буква А. Назовем его состоянием «А-А». Тогда наличие именно такого, а не иного финального состояния можно объяснить глобальными корреляциями неустойчивого начального состояния и конкретным выбором всех коэффициентов взаимодействия между ячейками.

Будем считать, что до начала описанного выше двухэтапного процесса, наша крупнозернистая решетка занимала очень малую область пространства, но в результате расширения («инфляции») расширилась до больших размеров, после чего и начался описанный выше процесс. Тогда наличие коррелированного неустойчивого начального состояния составной решетки, приводящего именно к итоговому состоянию «А-А» можно объяснить тем, что до «инфляции» все ячейки находились близко друг от друга. Специфический выбор коэффициентов взаимодействия ячеек, приводящий к итоговой асимптотике (состоянию «А-А»), можно объяснять по аналогии с «антропным принципом».

Действительно, всю эту крупнозернистую решетку в целом можно сравнить с нашей «Вселенной», а ее крупные ячейки (подрешетки) с «организмами», препятствующие (активно или пассивно) «декогеренции». «Декогеренции» - это влияние «окружения» некоторой крупной ячейки (т.е. влияние других ячеек) на процессы внутри этой ячейки.

Тогда глобальные корреляции неустойчивого начального состояний решетки могут служить аналогами возможных глобальных корреляций неустойчивого начального состояния нашей Вселенной, а коэффициенты взаимодействия ячеек соответствуют фундаментальным константам. Начальный процесс расширения решетки соответствует Большому Взрыву.

12.4 Гипотетические последствия взгляда на жизнь как средство сохранения корреляций.

Кстати, определение жизни, как систем, способствующих сохранению корреляций в противовес внешнему шуму, хорошо объясняет загадочное молчание КОСМОСА, т.е. отсутствие сигналов от других разумных миров. Вселенная произошла из единого центра (Большой Взрыв) и все ее части коррелированы, жизнь лишь поддерживает эти корреляции и существует на их основе. Поэтому процессы возникновения жизни в различных частях скоррелированы и находятся на одном уровне развития, т.е. сверхцивилизаций, способных достичь Земли пока просто нет.

Эффектами дальних корреляций можно объяснить и часть поистине чудесных проявлений человеческой интуиции и парапсихологических эффектов. Возможно, особо тонкая человеческая интуиция и некоторые парапсихологические эффекты и лежат в этой области Непредсказуемости. Об этом подробно писал известный психиатр Карл Юнг в своей статье «О «синхронистичности»» [55]. Приведем наиболее интересные отрывки из этой статьи. Вот отрывок, дающий определение "синхронистичности":

«... концепцией "синхронистичности". С точки зрения этимологии, этот термин каким-то образом связан со временем, или, если точнее, с чем-то вроде одновременности. Вместо "одновременности" мы можем также использовать концепцию "смыслового совпадения" двух или более событий, когда речь идет не о вероятности случая, а о чем-то другом. Статистическое - то есть вероятностное - совпадение событий, типа иногда имеющего место в больницах "дублирования случаев", относится к категории случайности....

Пространство и время, а значит и причинность, являются факторами, которые можно исключить, в результате чего становится возможным беспричинный феномен, еще называемый "чудом". Все природные явления такого рода являются уникальными и чрезвычайно любопытными комбинациями случайностей, образовавших единое целое благодаря общему для всех них значению. Хотя "смысловые совпадения" бесконечно разнообразны в своей феноменологии, будучи беспричинными событиями, они, тем не менее, образуют элемент, который является частью научной картины мира. Причинность - это способ, каким мы объясняем связь между двумя последовательными событиями. Синхронистичность указывает на параллельность времени и смысла между психическими и психофизическими событиями, которую наука пока что не способна свести к общему принципу. Сам этот термин ничего не объясняет, он просто указывает на существование "смысловых совпадений", которые сами по себе являются случайными происшествиями, но настолько невероятными, что мы вынуждены предположить, - они основаны на некоем принципе или на каком-то свойстве эмпирического мира. Между параллельными событиями нельзя проследить никакой взаимной причинной связи, и именно это и придает им характер случайности. Единственной заметной и доказуемой связью между ними является общность смысла или эквивалентности. Древняя теория соответствия была основана на ощущении таких связей - теория, высшей точкой, а заодно и временным концом которой стала идея Лейбница о заранее установленной гармонии. После чего эту теорию заменили причинностью. Синхронистичность - это современный и модернизированный вариант устаревшей концепции соответствия, взаимопонимания и гармонии. Он основан не на философских предположениях, а на эмпирических ощущениях и экспериментальной работе»

А вот цитата, дающая пример "синхронистичности" из личной практики Юнга:

«Поэтому я сосредоточил свое внимание на определенных наблюдениях и ощущениях, которые, как я могу с уверенностью сказать, "навязались" мне за время моей долгой врачебной

практики. Они относятся к спонтанным "смысловым совпадениям" такой низкой степени вероятности, что поначалу в них просто невозможно поверить. Поэтому я опишу вам только один случай такого рода, просто в качестве примера, характеризующего всю категорию этих явлений. Совершенно все равно, откажетесь ли вы поверить в этот конкретный случай или отмахнетесь от него с объяснением *ad hoc* (Для данного случая (лат.)). Я мог бы рассказать вам великое множество таких историй, которые, в принципе, не более удивительны или невероятны, чем неопровержимые результаты, полученные Рейном, и вы вскоре поймете, что почти каждый случай требует индивидуального объяснения. Но причинное объяснение, единственно возможное с точки зрения естественной науки, оказывается несостоятельным из-за психической относительности пространства и времени, которые являются обязательными условиями причинно-следственных связей.

Героиней этой истории является молодая пациентка, которая, несмотря на обоюдные усилия, оказалась психологически закрытой. Трудность заключалась в том, что она считала себя самой сведущей по любому вопросу. Ее великодушное образование дало ей в руки идеально подходящее для этой цели "оружие", а именно, слегка облагороженный картезианский рационализм с его безупречно "геометрической" идеей реальности. После нескольких бесплодных попыток "разбавить" ее рационализм несколько более человечным мышлением, я „был вынужден ограничиться надеждой на какое-нибудь неожиданное и иррациональное событие, на что-то, что разнесет интеллектуальную реторту, в которой она себя запечатала. И вот, однажды, я сидел напротив нее, спиной к окну, слушая поток ее риторики. Этой ночью ее посетило впечатляющее сновидение, в котором кто-то дал ей золотого скарабея - ценное произведение ювелирного искусства. Она все еще рассказывала мне этот сон, когда я услышал тихий стук в окно. Я обернулся и увидел довольно большое насекомое, которое билось о стекло, явно пытаясь проникнуть с улицы в темную комнату. Мне это показалось очень странным. Я тут же открыл окно и поймал насекомое, как только оно залетело в комнату. Это был скарабеевидный жук или хрущ обыкновенный (*Cetonia aurata*), желто-зеленая окраска которого очень сильно напоминала цвет золотого скарабея. Я протянул жука моей пациентке со словами: "Вот ваш скарабей". Это событие пробило желаемую брешь в ее рационализме и сломало лед ее интеллектуального сопротивления. Теперь лечение могло принести удовлетворительные результаты.

Эта история - не более чем парадигма бесчисленных случаев "смысловых совпадений", которые наблюдались не только мною, но и многими другими, и обильно задокументированы. Они включают в себя все, что относится к категории ясновидения, телепатии и т. д., от подтвержденного очевидцами видения Сведеборгом большого пожара в Стокгольме до недавнего рассказа маршала авиации сэра Виктора Годара о сновидении неизвестного офицера, в котором была предсказана действительно имевшая впоследствии место авария самолета Годара.

Все упомянутые мною феномены можно разделить на три категории:

1) Совпадение психического состояния наблюдателя с происходящим в момент этого состояния, объективным внешним событием, которое соответствует психическому состоянию или его содержанию (например, скарабей), в котором не прослеживается причинная связь между психическим состоянием и внешним событием, и в котором, учитывая психическую относительность времени и пространства, такой связи не может и быть.

2) Совпадение психического состояния с соответствующим (происходящим более-менее в то же время) внешним событием, имеющим место за пределами восприятия наблюдателя, то есть на расстоянии, удостовериться в котором можно только впоследствии (например, стокгольмский пожар).

3) Совпадение психического состояния с соответствующим, но еще не существующим будущим событием, которое значительно отдалено во времени и реальность которого тоже может быть установлена только впоследствии.

События групп 2 и 3 еще не присутствуют в поле зрения наблюдателя, но уже ему известны, если, конечно, их реальность будет подтверждена. Поэтому я назвал эти события "синхронистическими", что не следует путать с "синхронными"»

Эту, указанную Юнгом «синхронистичность» можно объяснить с научной точки зрения не только лишь случайным совпадением, но и проявлениям неустойчивых скрытых корреляций между живыми организмами и окружающими объектами. Как мы уже говорили выше, процессы метаболизма могут поддерживать такие корреляции и препятствовать их «перепутыванию» с окружением в процессе декогеренции. Поскольку

эти корреляции неустойчивы, то они не наблюдаемы (т.е. соответствуют Непредсказуемой динамике). Причем здесь необязательна квантовая механика, подобные корреляции присущи и классической механике, имеющей аналоги квантовых корреляций. Подобные корреляции часто ошибочно увязывают лишь с квантовой механикой.

Ненаблюдаемость этих корреляций для внешнего наблюдателя отнюдь не означает, что они не могут регистрироваться нашим субъективным опытом в форме некоего «предчувствия нечто». Так, внешний наблюдатель не может померить или предсказать результат вычислений квантового компьютера, не исказив его. Предположим, что у квантового компьютера существует своё «сознание». Тогда он может «предчувствовать» свое будущее в отличие от внешнего наблюдателя.

Данные рассуждения **не «доказывают»** однако, что «синхроничность» на самом деле связана с неустойчивыми корреляциями. Они лишь говорят о том, что подобные явления не противоречат физике, даже если их рассматривать не только как случайные совпадения. Экспериментальная проверка этой гипотезы вообще вряд ли возможна **в принципе**. Причиной является **принципиальная ненаблюдаемость** самих этих **корреляций**.

Так, например, пусть некий человек, запустил два изначально коррелированных квантовых компьютера и знал их начальное состояние. В дальнейшем он погиб или исчез. Тогда мы никогда не сможем заранее предсказать результаты их совместной работы. Мы не сможем определить, случайна ли корреляция между результатами их работы или она бала заложена изначально. Ведь любая попытка определить внутреннее состояние квантового компьютера приводит неизбежно к нарушению его работы! Подобные рассуждения верны не только для квантовых, но и для хаотических классических систем с неустойчивыми дополнительными микроскопическими корреляциями.

Может весь наш мир живых существ на самом деле и есть набор таких коррелированных компьютеров с ненаблюдаемыми неустойчивыми корреляциями между ними? И роль живой материи состоит лишь в поддержании этих корреляций? Ведь их точное начальное состояние мог бы знать лишь Бог, если допустить его существование. Возможность таких корреляций вполне возможна, поскольку весь наш мир произошел из одной точки в результате «Большого Взрыва». Да и все живые организмы на нашей планете, возможно, являются потомком одной единственной «протоклетки».

Особо тонкая человеческая интуиция и некоторые парапсихологические эффекты могут лежать в узкой области на грани постижимости точной наукой. Эта область Непредсказуемой динамики. Их принципиальная неуловимость и неустойчивость не дает естественному отбору усилить эти свойства [21], [22]. По причине неустойчивости и непредсказуемости также нет возможности постичь полностью эти явления средствами науки. Хотя эти явления не противоречат законам физики.

Менский [46] в своей книге также пытается обосновать некоторые тонкости человеческой интуиции и парапсихологические эффекты через специфические особенности квантовой механики. Однако он допускает несколько очень характерных ошибок

- 1) Для обоснования этих эффектов нет необходимости в «нарушениях» квантовой механики, например, перехода с помощью «силы сознания» «медиума» в другие Миры, описываемых Многомировой интерпретацией. Достаточно предположить лишь корреляцию между желанием «медиума» и происходящими событиями. За счет этих корреляций окружение может «подыгрывать» нашим желаниям. Сознание, в свою очередь, за счет этих корреляций может «предчувствовать» будущее. Попытка же заранее «померить» или «обнаружить» эти неустойчивые квантовые корреляции приведет лишь к их исчезновению и необратимому изменению дальнейшей динамики этих событий. Никакого «нарушения» обычных законов квантовой механики «медиумом» тут не нужно.
- 2) Эффекты, подобные квантовым, происходят и в классических системах близким к хаотическим. Соответственно, все эти эффекты могут быть промоделированы и классически, без обращения к квантовой механике.

3) Менский пишет о сложности и даже невозможности проверки индивидуальной истории системы с научной точки зрения. Ведь в процессе такой истории происходят разнородные события. Они характеризуются различными распределениями вероятности. Действительно, обычно, в науке для проверки вероятностной теории используют ансамбль однородных событий и используют «закон больших чисел».[56] Тем не менее, существует формулировка «закона больших чисел» и для разнородных событий! (Обобщенная теорема Чебышева, Теорема Маркова) [56] И с помощью такой формулировки может быть проверена на соответствие законам физики также и индивидуальная история системы.

13. Заключение.

Приведенная статья **не является** лишь **философским** абстрактным построением. Не понимание ее основ приводит к конкретным физическим ошибкам. Подавляющее большинство реальных систем не описывается идеальными уравнениями квантовой или классической механики. Из-за всегда существующего (и неизбежно существующего для измерений в квантовой механике) воздействия измерительной аппаратуры и окружения системы на эту систему эти уравнения нарушаются. Попытка включить измерительные приборы и окружение в описываемую систему приводит к самонаблюдаемой системе. **(Приложение М)** Такая система не может измерить и запомнить в полной мере собственные состояния и ее даже приближенное самописание имеет смысл лишь для промежутков времени много меньших времени возврата, определяемого согласно теореме Пуанкаре, после которого, вся память о прошлом неизбежно стирается. Однако систему можно описать в этой ситуации не Идеальной, а Наблюдаемой динамикой. Наблюдаемая динамика может быть получена и на основе огрубления фазовой функции распределения или редукции матрицы плотности, поскольку начальное состояние точно не определено при самонаблюдении. Наблюдаемая динамика может быть получена и введением малых внешних шумов, источником которых является внешний наблюдатель или окружение. Это возможно, поскольку, для широкого интервала величин внешних шумов свойства этой динамики не зависят от величины и вида этих шумов, а определяются лишь свойствами самой системы. Введение такой Наблюдаемой динамики разрешает все известные парадоксы классической и квантовой механики.

Приведем несколько конкретных примеров ошибок, сделанных из-за непонимания этих основ сделанных, например, в теории полюсов для задачи движения фронта пламени и роста «пальца» на поверхности раздела жидкостей.

Севащинский[23] утверждал, что Идеальная Динамика полюсов приводит к ускорению фронта пламени, и это ускорение не вызвано шумом, поскольку оно не меняется при уменьшении шума и зависит лишь от свойств самой системы. Но ведь также Наблюдаемая Динамика, связанная с шумом, не зависит от него в широком интервале значений.

Танвир [24] нашел различие в росте «пальца» в теории и численных экспериментах, не поняв, что эта разница связана с численным шумом, приводящим к новой Наблюдаемой Динамике. Это лишь два рядовых примера, взятых из повседневной практики автора статьи, а встретить их можно много. Изложенные в этой статье результаты необходимы для понимания основ нелинейной динамики, термодинамики и квантовой механики.

В обычных задачах физики обычно не возникает необходимости в глубоком анализе ситуации, сделанном в этой статье. Связано это с тем, что обычные физические системы – это либо системы с малым числом частиц, либо системы многих частиц близких к

состоянию термодинамического равновесия. В таких системах можно либо использовать достаточно точно Идеальную динамику, либо использовать упрощенные «приближенные» методы получения уравнений Наблюдаемой Динамики. Это, например, редукция в КМ или уравнение Больцмана в КСМ. Поэтому интерес многих физиков к статьям подобной этой довольно мал. Однако достаточно много физических систем не входит в класс, описываемой Идеальной или Наблюдаемой Динамикой. Их поведение в принципе непредсказуемо, даже вероятно. Мы определяем их поведение как Неопределенную Динамику. К таким системам относятся, например, квантовые компьютеры с точки зрения наблюдателя, не присутствовавшего при их «запуске». К системам с Неопределенной Динамикой могут относиться и некоторые стационарные системы, далекие от термодинамического равновесия. Живые организмы тоже могут являться подобными стационарными системами. Даже если подобные системы могут быть частично или полностью описаны Наблюдаемой Динамикой, ее получение становится нетривиальной задачей. Когда физика попытается описать подобные сложные системы, понимание методов разрешения ее парадоксов, изложенных в этой статье, становится необходимостью. На многие вопросы необходимо найти еще ответы физикам и математикам:

1) Каковы методы получения Наблюдаемой Динамики сложных систем, которая полностью или частично их описывает?

2) Когда получение Наблюдаемой Динамики невозможно и система описывается Неопределенной Динамикой?

3) Можно ли создать «на бумаге» «синергетические» системы (подобные, например, тубулинам Пенроуза), которые бы иллюстрировали саму **принципиальную возможность** возникновения и существования сложных стационарных систем (как классических, так и квантовых), описываемых Неопределенной Динамикой? Мы приведем здесь лишь некоторые догадки, как можно получить подобные системы:

а) Системы, описываемые Неопределенной Динамикой, должны быть способны сопротивляться декогеренции и сохранять неустойчивые дополнительные классические (или квантовые) корреляции как внутри сложных систем, так и между самими системами.

б) Такие системы могут обладать несколькими неустойчивыми состояниями, возможно способными переходить друг в друга с течением времени. Поток негэнтропии, вещества или энергии (т.е. метаболизм) позволит поддерживать и сохранять эти неустойчивые состояния или процессы, не влияя на них, но защищая их от влияния внешнего шума. С другой стороны, сами неустойчивые системы могут служить катализаторами этого метаболизма. В таких системах будут возможны как обратные процессы, так и возвраты Пуанкаре. Ведь они защищены от внешнего шума (декогеренции) метаболизмом. Внешний шум должен стать настолько малым, чтобы стать неспособным уничтожить эти процессы или состояния. Попытка измерить текущее состояние или процесс в неустойчивой системе приведет к нарушению ее динамики. Таким образом, их динамика будет ненаблюдаемой. Такие системы могут быть не только квантовыми, но и классическими.

в) В физике обычно макросостояние рассматривается как некая пассивная функция микросостояния. Однако можно рассмотреть случай, когда система **сама** измеряет как свое макросостояние, так и макросостояние окружения. Таким образом **обратная связь макросостояний через микросостояние** появляется. [58] (Приложения М и V)

д) Это могут быть саморазмножающиеся клеточные автоматы. [57]

Последние годы были опубликованы очень интересные работы в направлении создания таких «синергетических» систем, возможно подобных живым организмам [76], [77], [78].

Следует отметить, что построение таких моделей является задачей физики и математики, а не философии.

Приложение А Функция фазовой плотности. [1], [2], [9]

В данный момент времени t состояние системы N одинаковых частиц с точки зрения классической механики определяется заданием значений координат $\mathbf{r}_1, \dots, \mathbf{r}_N$ и импульсов $\mathbf{p}_1, \dots, \mathbf{p}_N$ всех N частиц системы. Для краткости будем использовать обозначение

$$x_i = (\mathbf{r}_i, \mathbf{p}_i) \quad (i=1, 2, \dots, N)$$

для совокупности значений координат и компонент импульса отдельной частицы и обозначение

$$X = (x_1, \dots, x_N) = (\mathbf{r}_1, \dots, \mathbf{r}_N, \mathbf{p}_1, \dots, \mathbf{p}_N)$$

для совокупности значений координат и значений импульсов всех частиц системы. Такое пространство $6N$ переменных называют $6N$ -мерным фазовым пространством.

Чтобы определить понятие функции распределения состояний системы, рассмотрим набор одинаковых макроскопических систем - ансамбль Гиббса. Для всех этих систем условия опыта одинаковы. Поскольку, однако, эти условия определяют состояние системы неоднозначно, то разным состояниям ансамбля в данный момент времени t будут соответствовать разные значения X .

Выделим в фазовом пространстве объем dX около точки X . Пусть в данный момент времени t в этом объеме заключены точки, характеризующие состояния dM систем ансамбля из их полного числа M . Тогда предел отношения этих величин

$$\lim_{M \rightarrow \infty} dM/M = f_N(X, t) dX$$

и определяет фазовую функцию плотности распределения в момент времени t .

$$\int f_N(X, t) dX = 1$$

Уравнение Лиувилля для функции фазовой плотности

Можно записать в виде

$$i \frac{\partial f_N}{\partial t} = L f_N = \{H, f_N\}$$

где L - линейный оператор:

$$L = -i \frac{\partial H}{\partial p} \frac{\partial}{\partial x} + i \frac{\partial H}{\partial x} \frac{\partial}{\partial p},$$

где H - энергия системы.

Приложение В Определения энтропии. [1], [2], [9], [29]

В качестве определения энтропии укажем выражение

$$S = -k \int_{(X)} f_N(X, t) \ln f_N(X, t)$$

Для квантовой механики через матрицу плотности [29]

$$S = -k \operatorname{tr} \rho \ln \rho$$

где tr - след матрицы.

Эти энтропии ансамбля не меняются при обратимой эволюции. Чтобы получить меняющиеся энтропии в качестве f_N или ρ используются их огрубленные величины. [35]

Приложение С. Доказательство теоремы Пуанкаре о возвратах. [2]

Число фазовых точек, покидающих при своем движении заданный фазовый объем g и не возвращающихся в него, с течением времени будет меньше любой сколько-нибудь заметной доли полного числа фазовых точек. Докажем это положение.

Рассмотрим систему, имеющую конечный общий фазовый объем G . Выделим внутри этого объема некоторую *фиксированную* поверхность σ , ограничивающую малый объем g . Рассмотрим фазовые точки, вытекающие через поверхность σ из объема g . Скорость перемещения фазовой точки по фазовой траектории зависит только от фазовых координат, поэтому число точек, вытекающих в единицу времени через фиксированную поверхность σ , не зависит от времени. Обозначим через g' объем, занимаемый фазовыми точками, которые вытекают в единицу времени из фазового объема g , не возвращаясь в него вновь. За время T из объема g вытекает $g'T$ объемов фазовой жидкости. Поскольку вытекший объем $g'T$, по предположению, не возвращается более в объем g , поскольку он должен заполнять остальную часть полного фазового объема G . Фазовая жидкость несжимаема, поэтому вытекший из g объем $g'T$ не должен превышать объем, в который он вытечет, т. е.

$$Tg' < G - g < G. \quad (1)$$

Объем G конечен, поэтому при конечном g' это неравенство может быть удовлетворено только для конечного времени T . Если же $T \rightarrow \infty$, то неравенство (1) удовлетворяется лишь при $g' \rightarrow 0$, что и требовалось доказать.

Приложение D . Корреляция. [56]

Рассмотрим следующую задачу. Была проведена серия измерений двух случайных величин X и Y , причем измерения проводились попарно: т.е. за одно измерение мы получали два значения - x_i и y_i . Имея выборку, состоящую из пар (x_i, y_i) , мы хотим определить, имеется ли между этими двумя переменными зависимость. Эта зависимость носит название **корреляции**. Корреляция может существовать не только между двумя, но и большим числом величин.

Зависимость между случайными величинами может иметь функциональный характер, т.е. быть строгим функциональным отношением, связывающим их значения. Однако при обработке экспериментальных данных гораздо чаще встречаются зависимости другого рода: статистические зависимости. Различие между двумя видами зависимостей состоит в том, что функциональная зависимость устанавливает строгую взаимосвязь между переменными, а статистическая зависимость лишь говорит о том, что распределение случайной величины Y зависит от того, какое значение принимает случайная величина X .

Коэффициент корреляции Пирсона

Существует несколько различных коэффициентов корреляции, к каждому из которых относится сказанное выше. Наиболее широко известен коэффициент корреляции Пирсона,

характеризующий степень линейной зависимости между переменными. Он определяется, как

$$r = \frac{\sum_i (x_i - \bar{x})(y_i - \bar{y})}{\sqrt{\sum_i (x_i - \bar{x})^2} \sqrt{\sum_i (y_i - \bar{y})^2}}$$

Приложение Е. Термодинамическое равновесие изолированной системы. Микростатистическое распределение. [2], [9]

Нас будут интересовать *адиабатическая система* — система, изолированная от внешних тел и имеющая определенную, строго заданную энергию E .

МИКРОКАНОНИЧЕСКОЕ РАСПРЕДЕЛЕНИЕ

Рассмотрим адиабатическую систему, т. е. систему, которая при неизменных внешних параметрах не может обмениваться энергией с внешними телами. Для такой системы, очевидно,

$$H(X, a) = E = \text{const} \quad (1)$$

и функция фазового распределения $\phi(\varepsilon)$ должна иметь вид острого максимума, поскольку энергия системы может быть практически точно фиксирована и не будет изменяться с течением времени. Но фазового распределения $\phi(\varepsilon)$ в пределе при $\Delta E \rightarrow 0$ превращается, с точностью до постоянного множителя, в дельта-функцию $\delta\{\varepsilon - E\}$. Таким образом, для адиабатически изолированной системы можно положить:

$$\omega(X) = \frac{1}{\Omega(E, a)} \delta\{E - H(X, a)\}, \quad (2)$$

где $1/\Omega(E, a)$ — нормирующий множитель, определяемый из условия нормировки, т. е.

$$\Omega(E, a) = \int_{(X)} \delta\{E - H(X, a)\} dX \quad (3)$$

Выражение (2) называется микростатистическим распределением Гиббса, при помощи которого можно вычислять фазовые средние любых физических величин для адиабатически изолированной системы по формуле

$$\bar{F} = \int_{(X)} F(X) \frac{1}{\Omega(E, a)} \delta\{E - H(X, a)\} dX \quad (4)$$

Величина $\Omega(E, a)$ имеет наглядный геометрический смысл. $\Omega(E, a)dE$ имеет смысл фазового объема бесконечно тонкого слоя, заключенного между гиперповерхностями $H(X, a) = E$ и $H(X, a) = E + dE$.

Приложение F. Теорема о неизменности объема фазовой «жидкости». [1], [2]

Пусть каждая материальная точка системы описывается декартовыми координатами

$$x_k, y_k, z_k \quad (k = 1, 2, \dots, N).$$

Совокупность этих трех координат мы будем также иногда обозначать вектором \vec{r}_k . Эта система N материальных точек может описываться также $3N$ обобщенными координатами:

$$q_n(x_1, \dots, z_N) \quad (n=1, 2, \dots, 3N).$$

Уравнениями движения такой консервативной системы являются уравнения Лагранжа:

$$\frac{d}{dt} \frac{\partial L}{\partial \dot{q}_k} - \frac{\partial L}{\partial q_k} = 0 \quad (k=1, 2, \dots, 3N). \quad (1)$$

где $L=K-U$ —функция Лагранжа, или лагранжиан; K — кинетическая энергия; U —потенциальная энергия системы. Однако в статистической физике удобнее пользоваться уравнениями движения в гамильтоновой форме:

$$\left. \begin{aligned} \dot{q}_k &= \frac{\partial H}{\partial p_k} \\ \dot{p}_k &= -\frac{\partial H}{\partial q_k} \\ H &= \sum_{k=1}^{3N} p_k \dot{q}_k - L, \quad p_k = \frac{\partial L}{\partial \dot{q}_k} \end{aligned} \right\} k=1,2,\dots,3N, \quad (2)$$

— функция Гамильтона, или гамильтониан, а $(q_1, q_2, \dots, q_{3N}; p_1, p_2, \dots, p_{3N})$ — совокупность канонических переменных. В общих выводах все канонические переменные мы будем обозначать буквой X , полагая:

$$q_k = X_k, \quad p_k = X_{k+3N} \quad \{k=1, 2, \dots, 3N\}. \quad (3)$$

Для сокращения формул вся совокупность переменных $(X_1, X_2, \dots, X_{6N})$ часто будет обозначаться одной буквой (X) , а произведение всех дифференциалов $dX_1, dX_2, \dots, dX_{6N}$ будет обозначаться через dX .

Уравнения Гамильтона представляют систему дифференциальных уравнений первого порядка, в силу чего значения всех переменных X в момент t полностью определяются, если известны значения этих переменных X^0 в момент $t=0$. Это свойство гамильтоновой формы механически позволяет ввести геометрически наглядное изображение системы и ее движения в фазовом пространстве. Движение фазового ансамбля в фазовом пространстве можно рассматривать как движение фазовой жидкости, по аналогии с движением обычной жидкости в трехмерном пространстве. Иначе говоря, точки фазового пространства отождествляются с точками воображаемой фазовой жидкости, заполняющей пространство.

Легко доказать, что для систем, удовлетворяющих уравнениям Гамильтониана, фазовая жидкость несжимаема. Действительно, плотность обычной трехмерной несжимаемой жидкости постоянна. Следовательно, в силу уравнения непрерывности

$$-\frac{\partial \rho}{\partial t} = \text{div } \bar{v} \rho = \rho \text{ div } \bar{v} + \bar{v} \cdot \nabla \rho \quad (4)$$

и условия $\rho = \text{const}$ для несжимаемой жидкости имеем:

$$\text{div } \bar{v} = \frac{\partial \dot{x}}{\partial x} + \frac{\partial \dot{y}}{\partial y} + \frac{\partial \dot{z}}{\partial z} \quad (5)$$

Для жидкости в многомерном пространстве эта теорема без труда обобщается, а следовательно, для несжимаемой фазовой жидкости должно удовлетворяться условие равенства нулю многомерной дивергенции, т. е.

$$\sum_{k=1}^{6N} \frac{\partial \dot{X}_k}{\partial X_k} = 0 \quad (6)$$

Легко, однако, видеть, что в силу уравнений Гамильтона (2)

$$\sum_{k=1}^{6N} \frac{\partial \dot{X}_k}{\partial X_k} = \sum_{k=1}^{6N} \left(\frac{\partial \dot{q}_k}{\partial q_k} + \frac{\partial \dot{p}_k}{\partial p_k} \right) = \sum_{k=1}^{6N} \left(\frac{\partial^2 H}{\partial q_k \partial p_k} - \frac{\partial^2 H}{\partial p_k \partial q_k} \right) \equiv 0 \quad (7)$$

что и требовалось доказать.

Поскольку фазовая жидкость несжимаема, поскольку при ее движении остается неизменным фазовый объем, занимаемый любой частью этой жидкости.

Приложение G. Основные понятия квантовой механики. [36], [3], [15]

Волновая функция.

Основу математического аппарата квантовой механики составляет утверждение, что состояние системы может быть описано определенной (вообще говоря, комплексной) функцией координат $\Psi(q)$, причем квадрат модуля этой функции определяет распределение вероятностей значений координаты q : $|\Psi|^2 dq$ есть вероятность того, что произведенное над системой измерение обнаружит значения координат в элементе dq пространства. Функция Ψ называется *волновой функцией* системы.

Наблюдаемые величины.

Рассмотрим некоторую физическую величину f , характеризующую состояние квантовой системы. Строго говоря, в нижеследующих рассуждениях следовало бы говорить не об одной величине, а сразу о целом полном их наборе. Однако все рассуждения от этого по существу не меняются, и в целях краткости и простоты мы говорим ниже всего лишь об одной физической величине.

Значения, которые может принимать данная физическая величина, называют в квантовой механике ее *собственными значениями*, а об их совокупности говорят как о *спектре* собственных значений данной величины. В классической механике величины пробегают, вообще говоря, непрерывный ряд значений. В квантовой механике тоже существуют физические величины (например, координаты), собственные значения которых заполняют непрерывный ряд; в таких случаях говорят о *непрерывном спектре*, собственных значений. Наряду с такими величинами в квантовой механике существуют, однако, и другие, собственные значения которых образуют некоторый дискретный набор; в таких случаях говорят о *дискретном спектре*.

Будем считать сначала для простоты, что рассматриваемая величина f обладает дискретным спектром. Собственные значения величины f обозначим как f_n , где индекс n пробегает значения 1, 2, 3, Обозначим волновую функцию системы в состоянии, в котором величина f имеет значение f_n посредством Ψ_n . Волновые функции Ψ_n называют *собственными функциями* данной физической величины f . Каждая из этих функций предполагается нормированной, так что

$$\int |\Psi_n|^2 dq = 1. \quad (1)$$

Если система находится в некотором произвольном состоянии с волновой функцией Ψ , то произведенное над нею измерение величины f даст в результате одно из собственных значений f_n . В соответствии с принципом суперпозиции можно утверждать, что волновая функция Ψ должна представлять собой линейную комбинацию тех из собственных функций Ψ_n которые соответ-

ствуют значениям f_n , могущим быть обнаруженными с отличной от нуля вероятностью при измерении, произведенном над системой, находящейся в рассматриваемом состоянии. Поэтому в общем случае произвольного состояния функция Ψ может быть представлена в виде ряда

$$\Psi = \sum a_n \Psi_n \quad (2)$$

где суммирование производится по всем n , а a_n — некоторые постоянные коэффициенты.

Таким образом, мы приходим к выводу, что всякая волновая функция может быть, как говорят, разложена по собственным функциям любой физической величины. О системе функций, по которым можно произвести такое разложение, говорят как о *полной системе функций*.

Разложение (2) дает возможность определить вероятности обнаружения (путем измерений) у системы в состоянии с волновой функцией ψ того или иного значения f_n величины f . А именно, квадрат модуля $|a_n|^2$ каждого из коэффициентов разложения (2) определяет вероятность соответствующего значения f_n величины f в состоянии с волновой функцией Ψ . Сумма вероятностей всех возможных значений f_n должна быть равна единице; другими словами, должно иметь место соотношение

$$\sum_n |a_n|^2 = 1 \quad (3)$$

Наблюдаемые величины могут быть определены с помощью операторов, действующих над пространством функций. Результатом действия оператора на функцию также является функция. Тогда собственные функции наблюдаемой ψ_k и её собственные значения λ_k являются просто решением операторного уравнения на собственные функции и собственные значения:

$$A \psi_k = \lambda_k \psi_k \quad (4)$$

Где A — оператор наблюдаемой величины.

Обозначение H обычно используют для Гамильтониана - оператора энергии.

Для одной частицы во внешнем поле $U(x, y, z)$ он определяется следующей формулой:

$$H \equiv -\frac{\hbar^2}{2m} \Delta + U(x, y, z) \quad (5)$$

Где $\Delta = \frac{\partial^2}{\partial x^2} + \frac{\partial^2}{\partial y^2} + \frac{\partial^2}{\partial z^2}$ - оператор Лапласа

Матричная форма квантовой механики.

Давайте разложим функцию, на которую действует оператор, и функцию, являющуюся результатом действия оператора, по собственным функциям некоторой наблюдаемой. Тогда обе эти функции могут быть записаны как столбцы коэффициентов этого разложения. Сам оператор наблюдаемой может быть записан в виде квадратной матрицы. Произведение этой матрицы на столбец коэффициентов разложения первой функции даст коэффициенты разложения второй функции. Подобная форма записи операторов и функций носит название **матричной формой квантовой механики**.

Уравнение Шредингера.

Выпишем здесь волновое уравнение движения для частицы во внешнем поле

$$i\hbar \frac{\partial \Psi}{\partial t} = -\frac{\hbar^2}{2m} \Delta \Psi + U(x, y, z) \Psi. \quad (6)$$

Уравнение (6) было установлено Шредингером в 1926 г. и называется *уравнение Шредингера*.

Соотношение неопределенности Гейзенберга.

Если характеризовать неопределенности координат и импульсов средними квадратичными флуктуациями

$$\delta x = \sqrt{(x - \bar{x})^2}, \quad \delta p_x = \sqrt{(p_x - \bar{p}_x)^2},$$

то можно дать точную оценку наименьшего возможного значения их произведения.

Рассмотрим одномерный случай — пакет с волновой функцией $\psi(x)$, зависящей только от одной координаты; предположим для простоты, что средние значения x и p_x в этом состоянии равны нулю. Исходим из очевидного неравенства

$$\int_{-\infty}^{+\infty} \left| \alpha x \varphi + \frac{d\varphi}{dx} \right|^2 dx \geq 0$$

где α — произвольная вещественная постоянная. При вычислении этого интеграла замечаем, что

$$\int x^2 |\varphi|^2 dx = (\delta x)^2,$$

$$\int \left(x \frac{d\varphi}{dx} \varphi + x \varphi \frac{d\varphi}{dx} \right) dx = \int x \frac{d|\varphi|^2}{dx} dx = -\int |\varphi|^2 dx = -1,$$

$$\int \frac{d\varphi}{dx} \frac{d\varphi}{dx} dx = -\int \varphi \frac{d^2 \varphi}{dx^2} dx = \frac{1}{\hbar^2} \int \varphi \hat{p}_x^2 \varphi dx = \frac{1}{\hbar^2} (\delta p_x)^2,$$

и получаем

$$\alpha^2 (\delta x)^2 - \alpha + \frac{(\delta p_x)^2}{\hbar^2} \geq 0$$

Для того чтобы этот квадратичный (по α) трехчлен был положительным при любых значениях α , его дискриминант должен быть отрицательным. Отсюда получаем неравенство

$$\delta x \delta p_x \geq \hbar/2 \quad (7)$$

Наименьшее возможное значение произведения равно $\hbar/2$.

Эти *соотношения неопределенности* (7) были установлены Гейзенбергом в 1927 г.

Мы видим, что чем с большей точностью известна координата частицы (т. е. чем меньше δx), тем больше неопределенность δp_x в значении компоненты импульса вдоль той же оси, и наоборот. В частности, если частица находится в некоторой строго определенной точке пространства ($\delta x = \delta y = \delta z = 0$), то $\delta p_x = \delta p_y = \delta p_z = \infty$. Это значит, что все значения импульса при этом равновероятны. Наоборот, если частица имеет строго определенный импульс p , то равновероятны все ее положения в пространстве.

Приложение I. Матрица плотности. Чистое и смешанное состояние. [15], [29]

Определение чистых и смешанных состояний, а также матрицы плотности.

Рассмотрим для простоты случай двух базисных ортонормальных состояний частицы, которые могут определяться, например, значением проекции спина (собственного момента частицы) вдоль некой оси. При этом частица может находиться в **чистых состояниях** с волновыми функциями $|\chi_a\rangle$, $|\chi_b\rangle$ или их суперпозиции. Выберем набор базисных ортонормальных состояний, соответствующих спину направленному вверх и вниз вдоль оси z (обычно $|+1/2\rangle$ и $|-1/2\rangle$) и разложим состояния $|\chi_a\rangle$ и $|\chi_b\rangle$ по этому набору согласно соотношению

$$\begin{aligned} |\chi_a\rangle &= a_1^{(a)} | +1/2 \rangle + a_2^{(a)} | -1/2 \rangle, \\ |\chi_b\rangle &= a_1^{(b)} | +1/2 \rangle + a_2^{(b)} | -1/2 \rangle. \end{aligned}$$

Применяя правила умножения матриц, получим для матрицы плотности ρ_a чистого состояния $|\chi_a\rangle$:

$$\rho_a = \begin{pmatrix} a_1^{(a)} \\ a_2^{(a)} \end{pmatrix} \begin{pmatrix} a_1^{(a)*} & a_2^{(a)*} \end{pmatrix} = \begin{pmatrix} |a_1^{(a)}|^2 & a_1^{(a)} a_2^{(a)*} \\ a_1^{(a)*} a_2^{(a)} & |a_2^{(a)}|^2 \end{pmatrix}$$

и аналогичное выражение для для матрицы плотности ρ_b чистого состояния $|\chi_b\rangle$:

$$\rho_b = \begin{pmatrix} a_1^{(b)} \\ a_2^{(b)} \end{pmatrix} \begin{pmatrix} a_1^{(b)*} & a_2^{(b)*} \end{pmatrix} = \begin{pmatrix} |a_1^{(b)}|^2 & a_1^{(b)} a_2^{(b)*} \\ a_1^{(b)*} a_2^{(b)} & |a_2^{(b)}|^2 \end{pmatrix}$$

Наблюдаемые в квантовой механике можно рассматривать как в матричной, так и в операторной форме. Подобно этому, матрицу плотности в квантовой механике можно записать не только в матричной форме, но и в форме оператора над пространством функций. Оператор матрицы плотности, соответствующий состоянию $|\chi_a\rangle$:

$$\rho_a = |\chi_a\rangle \langle \chi_a|$$

Результат действия оператора ρ_a на функцию $|\psi\rangle$ определяется следующим выражением:

$$\rho_a |\psi\rangle = \langle \chi_a | \psi \rangle |\chi_a\rangle,$$

где $\langle \chi_a | \psi \rangle$ число, определяющееся следующей формулой: $\langle \chi_a | \psi \rangle = \int \psi \chi_a^* dV$

Возможно и смешанное состояние: рассмотрим пучок из N_a частиц, приготовленных в состоянии с волновой функцией $|\chi_a\rangle$, и еще один независимый от первого пучок из N_b частиц, приготовленных в состоянии с волновой функцией $|\chi_b\rangle$. Для описания объединенного пучка введем матрицу плотности ρ смешанного состояния.

. Матрица плотности смешанного состояния будет определяться как взвешенная сумма этих двух матриц плотности;

$$\rho = W_a \rho_a + W_b \rho_b = \begin{pmatrix} W_a |a_1^{(a)}|^2 + W_b |a_1^{(b)}|^2 & W_a a_1^{(a)} a_2^{(a)*} + W_b a_1^{(b)} a_2^{(b)*} \\ W_a a_1^{(a)*} a_2^{(a)} + W_b a_1^{(b)*} a_2^{(b)} & W_a |a_2^{(a)}|^2 + W_b |a_2^{(b)}|^2 \end{pmatrix}$$

где $W_a = N_a/N$, $W_b = N_b/N$, $N = N_a + N_b$.

Поскольку при выводе этого выражения были использованы базисные состояния $|\pm 1/2\rangle$, полученное выражение называют матрицей плотности в $\{|\pm 1/2\rangle\}$ -представлении. Можно написать матрицы плотности всех этих состояний и в представлении функций $|\chi_a\rangle, |\chi_b\rangle$, **если они являются ортонормальными**. В этом представлении

$$\rho_a = \begin{pmatrix} 1 & 0 \\ 0 & 0 \end{pmatrix}$$

$$\rho_b = \begin{pmatrix} 1 & 0 \\ 0 & 0 \end{pmatrix}$$

а матрица плотности смешанного состояния будет иметь очень простой диагональный вид:

$$\rho = W_a \rho_a + W_b \rho_b = \begin{pmatrix} W_a & 0 \\ 0 & W_b \end{pmatrix}$$

Статистическая матрица плотности P_0 ,

Мы знаем, что в классической статистической термодинамике все возможные макроскопические состояния системы рассматриваются как априори равновероятными (другим словами, они считаются равновероятными, если нет каких-либо сведений о значении полной энергии или о контакте с термостатом, поддерживающим постоянную температуру системы, и т.д.). По аналогии с этим в волновой механике все состояния системы, определяемые различными функциями, образующие полную систему ортонормированных функций, можно априори предполагать равновероятными. Пусть $\varphi_1, \dots, \varphi_k$ - такая система базисных функций φ_k ; зная, что система характеризуется смесью состояний φ_k , в отсутствие какой-либо другой информации можно считать, что статистическая матрица системы имеет вид

$$P_0 = \sum_k p P_{\varphi_k}, \text{ где } \sum_k p = 1,$$

т.е., что P_0 - статистическая диагональная матрица такого смешанного состояния, для которого все диагональные веса равны между собой. Принимая φ_k за базисные функции, матрицу P_0 можно представить в виде

$$(P_0)_{kl} = p \delta_{kl}$$

Эта матрица обладает замечательным свойством. Пусть статистическое состояние ансамбля систем в начальный момент времени характеризуется матрицей P_0 . Если во всех системах ансамбля провести измерение одной и той же величины A , то статистическое состояние ансамбля будет по-прежнему характеризоваться той же матрицей P_0 .

Уравнения движения для матрицы плотности ρ .

$$i \frac{\partial \rho_N}{\partial t} = L \rho_N$$

где L - линейный оператор:

$$L\rho = H\rho - \rho H = [H, \rho],$$

где H - оператор энергии системы.

Если A – оператор некой наблюдаемой величины,

Среднее значение этой величины может быть найдено следующим образом:

$$\langle A \rangle = \text{tr} A \rho$$

Где tr – оператор следа.

Приложение J. Редукция матрицы плотности и теория измерения. [6], [3]

Пусть при измерении некоторого объекта мы «четко различаем» состояния $\sigma^{(1)}, \sigma^{(2)}, \dots$.

Производя измерения над объектом, находящимся в этих состояниях, мы получаем числа

$\lambda_1, \lambda_2, \dots$. Начальное состояние измерительного прибора обозначим через a. Если

измеряемая система сначала находилась в состоянии $\sigma^{(v)}$, то состояние полной системы

«объект измерения плюс измерительный прибор» до того, как они вступили во

взаимодействие будет определяться прямым произведением $a \times \sigma^{(v)}$. После измерения:

$$a \times \sigma^{(v)} \rightarrow a^{(v)} \times \sigma^{(v)}$$

Пусть теперь начальное состояние будет не «четко различимым», а произвольной

комбинацией $\alpha_1 \sigma^{(1)} + \alpha_2 \sigma^{(2)} + \dots$

таких состояний. В этом случае из линейности квантовых уравнений следует

$$a \times [\sum \alpha_v \sigma^{(v)}] \rightarrow \sum \alpha_v [a^{(v)} \times \sigma^{(v)}]$$

В итоговом состоянии, возникающем в результате измерения,

существует статистическая корреляция между состоянием объекта и состоянием прибора:

одновременное измерение у системы «объект измерения плюс измерительный прибор»

двух величин (первой- подлежащий измерению характеристики исследуемого объекта и

второй- положение стрелки прибора) всегда приводит к согласующимся результатам.

Вследствие этого одно из названных измерений становится излишним - к заключению о

состоянии объекта измерения можно прийти на основании наблюдения за прибором.

Результатом измерения является не вектор состояния, представляемый в виде суммы,

стоящей в правой части найденного соотношения, а так называемая смесь, т.е. один из

векторов состояния вида

$$a^{(v)} \times \sigma^{(v)}$$

и что при взаимодействии между объектом измерения и измерительным прибором это

состояние возникает с вероятностью $|\alpha_v|^2$. Данный переход называется редукцией

волнового пакета и соответствует переходу матрицы плотности из недиагонального $\alpha_v \alpha_\mu^*$

в диагональный вид $|\alpha_v|^2 \delta_{v\mu}$. Этот переход не описывается квантовыми уравнениями

движения.

Приложение K. Огрубление функция фазовой плотности и гипотеза молекулярного хаоса. [33], [2]

Огрублением функции плотности будем называть ее замену на приближенную величину.

Например

$$f_N^*(X, t) = \int_{(Y)} g(X-Y) f_N(Y, t)$$

где

$$g(X)=1/\Delta D(X/\Delta)$$

$$D(x)= 1 \text{ for } |X|<1$$

$$D(x)= 0 \text{ for } |X|\geq 1$$

Другой пример огрубления - «гипотеза молекулярного хаоса»

Замена двухчастичной функции распределения на произведение одночастичных функций
 $f(x_1, x_2, t) \rightarrow f(x_1, t)f(x_2, t)$

Приложение L. «Новая динамика» Пригожина. [9], [12]

В статье неоднократно упоминается “Новая Динамика” Пригожина. Дадим здесь ее очень краткое изложение, опираясь на книги [9, 12]

Позвольте ввести линейный оператор Λ на функции ρ фазовой плотности или матрицы плотности

$$\tilde{\rho} = \Lambda^{-1} \rho$$

$$\Lambda^{-1} 1=1$$

$$\int \tilde{\rho} = \int \rho$$

Λ^{-1} сохраняет положительность.

Такой, что функция $\tilde{\rho}$ обладает свойством: для функции Ω определенной как

$$\Omega = \text{tr} \tilde{\rho}^+ \tilde{\rho} \quad \text{или} \quad \Omega = \text{tr} \tilde{\rho} \ln \tilde{\rho}$$

имеем $d\Omega/dt \leq 0$

Уравнение движения для ρ

$$\frac{\partial \tilde{\rho}}{\partial t} = \Phi \tilde{\rho}$$

где $\Phi = \Lambda^{-1} L \Lambda$

Φ -необратимая марковская полугруппа

$$\Lambda^{-1}(L) = \Lambda^{-1}(-L)$$

Для функции фазовой плотности оператор Λ^{-1} соответствует огрублению в направлении сжатия фазового объема. Для квантовой механики такой оператор может быть найден лишь для бесконечного объема или бесконечного числа частиц. Введем в квантовой механике проекционный оператор P , обнуляющий недиагональные элементы матрицы плотности. Оператор Φ и базисные вектора матрицы плотности выбираются таким образом, чтобы сделать оператор Φ перестановочным с оператором P :

$$\frac{\partial P \tilde{\rho}}{\partial t} = P \Phi \tilde{\rho} = \Phi P \tilde{\rho}$$

Приложение M. Невозможность самопредсказания системы.

Предположим, что существует мощная вычислительная машина способная предсказать будущее свое и окружения на основе расчета движения всех молекул. Пусть ее

предсказания - выкатывание черного или белого шара из некоего устройства, входящего в одну систему с машиной и описываемого ею. Устройство выкатывает белый шар, если машина предсказывает черный и наоборот черный шар при предсказании белого. Ясно, что предсказания машины всегда не верны. Так как выбор окружающей среды произволен, следовательно, этот контрпример доказывает невозможность точного самонаблюдения и самовычисления. Так как результат действия устройства всегда противоречит предсказаниям компьютера, следовательно, полное самопредсказание системы, включая и компьютер, и устройство невозможно.

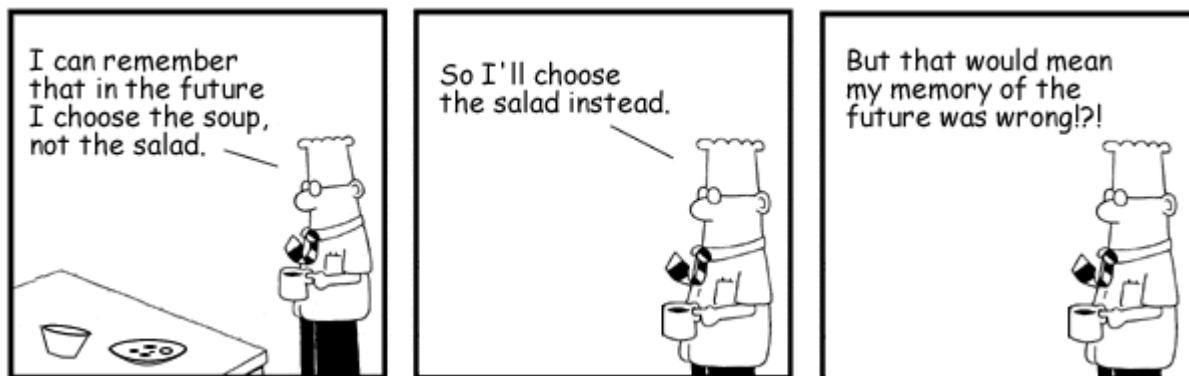


Рис. 27. Невозможность самопредсказания. (Рис. из [101])

Приложение N. Соответствие квантовой и классической механик. Таблицы.

<i>Квантовая механика</i>	<i>Классическая механика</i>
Матрица плотности	Функция фазовой плотности
Уравнение движения для матрицы плотности	Уравнение Лиувилля
Редукция волнового пакета	Огрубление функции фазовой плотности или гипотеза молекулярного хаоса
Неустранимое воздействие наблюдателя или окружения, описываемое редукцией	Теоретически бесконечно малое, но в реальности конечное взаимодействие системы с наблюдателем или окружением
Ненулевые недиагональные элементы матрицы плотности	Корреляции между скоростями и положениями молекул в разных частях системы

Таблица. Вероятностные формулировки классической и квантовой механик.
[3]

	Классическая механика	Квантовая механика
Чистое состояние	Точка (q, p) фазового пространства	Вектор состояния $ \psi\rangle$
Общее метасостояние	Плотность вероятности $\rho(q, p)$	Положительный эрмитов оператор ρ
Условие нормировки	$\int \rho dq dp = 1$	$\text{tr } \rho = 1$
Условие того, что состояние чистое	$\rho = \delta$ -функции	$\rho = \psi\rangle\langle\psi $ (ранг оператора ρ равен 1)
Уравнение движения	$\frac{\partial \rho}{\partial t} = \{H, \rho\}$	$i\hbar \frac{\partial \rho}{\partial t} = [H, \rho]$
Наблюдаемая	Функция $A(q, p)$	Эрмитов оператор A

Приложение О. Редукция системы при измерении. [29], [3]

Рассмотрим ситуацию, когда прибор вначале находился в состоянии $|\alpha_0\rangle$, а объект — в суперпозиционном состояний $|\psi\rangle = \sum_i c_i |\psi_i\rangle$, где $|\psi_i\rangle$ — собственные состояния эксперимента. Начальный статистический оператор дается выражением

$$\rho_0 = |\psi\rangle\langle\psi| |\alpha_0\rangle\langle\alpha_0|. \quad (5.40)$$

Парциальный след этого оператора, совпадающий со статистическим оператором системы, составленной из одного объекта, имеет вид

$$\text{tr}_A(\rho_0) = \sum_n \langle\varphi_n|\rho_0|\varphi_n\rangle$$

где $|\varphi_n\rangle$ — какая-то полная система состояний прибора. Таким образом,

$$\text{tr}_A(\rho_0) = \sum |\psi\rangle\langle\varphi_n|\alpha_0\rangle\langle\alpha_0|\varphi_n\rangle\langle\psi| = |\psi\rangle\langle\psi|, \quad (5.41)$$

где использовано соотношение $\sum |\varphi_n\rangle\langle\varphi_n|=1$ и тот факт, что состояние $|\alpha_0\rangle$ нормировано. Мы получили в точности тот статистический оператор, который должны были приписать объекту, если бы он находился в состоянии $|\psi\rangle$. После акта измерения возникает корреляция между состояниями прибора и состояниями объекта, так что состояние комбинированной системы, составленной из прибора и объекта, описывается вектором состояния

$$|\Psi\rangle=\sum c_i e^{i\theta_i} |\psi_i\rangle |\alpha_0\rangle. \quad (5.42)$$

а статистический оператор дается выражением

$$\rho_0=|\Psi\rangle\langle\Psi|=\sum c_i c_j^* e^{i(\theta_i-\theta_j)} |\psi_i\rangle |\alpha_i\rangle \langle\alpha_j| \langle\psi_j|. \quad (5.43)$$

Парциальный след этого оператора равен

$$\begin{aligned} \text{tr}_A(\rho) &= \sum_n \langle\varphi_n| \rho |\varphi_n\rangle = \\ &= \sum_{(ij)} c_i c_j^* e^{i(\theta_i-\theta_j)} |\psi_i\rangle \langle\varphi_n| \langle\alpha_j| \langle\varphi_n\rangle \langle\psi_j| = \\ &= \sum_{(ij)} c_i c_j^* \delta_{ij} |\psi_i\rangle \langle\psi_j| \end{aligned} \quad (5.44)$$

(так как различные состояния $|\alpha_i\rangle$ прибора ортогональны друг другу); таким образом,

$$\text{tr}_A(\rho) = \sum |c_i|^2 |\psi_i\rangle \langle\psi_i|. \quad (5.45)$$

Мы получили статистический оператор для системы, состоящей из одного объекта, описывающий ситуацию, когда имеются вероятности $|c_i|^2$ пребывать объекту в состояниях $|\psi_i\rangle$. Итак приходим к формулировке следующей теоремы.

Теорема 5.5 (об измерении). Если две системы S и A взаимодействуют таким образом, что каждому состоянию $|\psi_i\rangle$ системы S соответствует определенное состояние $|\alpha_i\rangle$ системы A , то статистический оператор $\text{tr}_A(\rho)$ над полной системой (S и A) воспроизводит действие редукции, применяемого к акту измерения, производимого над системой S , находившейся до измерения в состоянии $|\psi\rangle = \sum c_i |\psi_i\rangle$. ■

Метасостояние системы, находясь в котором она не имеет определенного состояния, но является частью большей системы, которая находится в чистом состоянии, называется *несобственным смешанным состоянием*.

Приложение Р. Теорема о декогеренции при взаимодействии с макроскопическим прибором.[3], [30]

Учтем теперь, что прибор является макроскопической системой. Это означает, что каждая различимая конфигурация прибора (например, положение его стрелки) не является чистым квантовым состоянием, никоим образом ничего не утверждая о состоянии движения каждой отдельной молекулы стрелки. Таким образом, в вышеприведенном рассуждении начальное состояние прибора $|\alpha_0\rangle$ следует заменить некоторым статистическим распределением по микроскопическим квантовым состояниям $|\alpha_{0,s}\rangle$; начальный статистический оператор не дается выражением (5.40), а равен

$$\rho_0 = \sum_s p_s |\psi\rangle |\alpha_{0,s}\rangle \langle\alpha_{0,s}| \langle\psi|. \quad (5.46)$$

Каждое состояние прибора $|\alpha_{0,s}\rangle$ будет реагировать на каждое собственное состояние $|\psi_i\rangle$ объекта тем, что превратится в некоторое другое состояние $|\alpha_{i,s}\rangle$, которое является одним из квантовых состояний, макроскопическое описание которого состоит в указании, что стрелка занимает положение i ; точнее имеем формулу

$$e^{iH\tau/\hbar} (|\psi\rangle |\alpha_{0,s}\rangle) = e^{i\theta_{i,s}} |\psi_i\rangle |\alpha_{i,s}\rangle. \quad (5.47)$$

Обратим внимание на появление фазового множителя, который зависит от индекса s . Разности энергий квантовых состояний $|\alpha_{0,s}\rangle$ с учетом времени τ должны быть такими, чтобы фазы $\theta_{i,s} \pmod{2\pi}$ были случайно распределены между 0 и 2π .

Из формул (5.46) и (5.47) следует, что при $|\psi\rangle = \sum_i c_i |\psi_i\rangle$ статистический оператор после измерения будет даваться следующим выражением:

$$\rho = \sum_{(s,i,j)} p_s c_i c_j^* e^{i(\theta_{i,s} - \theta_{j,s})} |\psi_i\rangle \langle \alpha_{i,s} | \langle \alpha_{j,s} | \langle \psi_j | \quad (5.48)$$

Так как из (5.48) получаем тот же результат (5.45), то видим, что статистический оператор (5.48) воспроизводит действие редукции, примененной к данному объекту. Он также практически воспроизводит действие редукции, примененной к одному прибору («практически» в том смысле, что речь идет о «макроскопической» наблюдаемой). Такая наблюдаемая не различает разные квантовые состояния прибора, соответствующие одному и тому же макроскопическому описанию, т. е. матричные элементы этой наблюдаемой между состояниями $|\psi_i\rangle \langle \alpha_{i,s}$ и $|\psi_j\rangle \langle \alpha_{i,s}$ не зависят от r и s . Среднее значение такой макроскопической наблюдаемой A равно

$$\begin{aligned} \text{tr}(\rho A) &= \sum_{(s,i,j)} p_s c_i c_j^* e^{i(\theta_{i,s} - \theta_{j,s})} \langle \alpha_{i,s} | \langle \psi_j | A | \psi_i \rangle | \alpha_{i,s} \rangle = \\ &= \sum_{(i,j)} c_i c_j^* a_{ij} \sum_s p_s e^{i(\theta_{i,s} - \theta_{j,s})} \end{aligned} \quad (5.49)$$

Так как фазы $\theta_{i,s}$ распределены случайным образом, суммы по s обращаются в нуль при $i \neq j$; следовательно,

$$\text{tr}(\rho A) = \sum |c_i|^2 a_{ii} = \text{tr}(\rho' A). \quad (5.50)$$

где

$$\rho' = \sum |c_i|^2 a_{ii} p_s |\psi_i\rangle \langle \alpha_{i,s} | \langle \alpha_{j,s} | \langle \psi_j | \quad (5.48)$$

Получаем статистический оператор, который воспроизводит действие редукции прибора. Если стрелка прибора наблюдается в положении i , состояние прибора при некотором s будет $|\alpha_{i,s}\rangle$, причем вероятность того, что оно будет именно состоянием $|\alpha_{i,s}\rangle$, равна вероятности того, что до акта измерения было состояние $|\alpha_{i,s}\rangle$. Таким образом, приходим к формулировке следующей теоремы.

Теорема 5.6. О декогеренции макроскопического прибора. Пусть квантовая система взаимодействует с макроскопическим прибором таким образом, что возникает хаотическое распределение фаз состояний прибора. Пусть ρ — статистический оператор прибора после измерения, рассчитанный с использованием уравнения Шредингера, а ρ' — статистический оператор, полученный в результате применения редукции к оператору ρ . Тогда невозможно произвести такой эксперимент с макроскопическим прибором, который зарегистрировал бы различие между ρ и ρ' . ■

Для широкого класса приборов доказано, что хаотичность в распределении фаз, о которой идет речь в теореме 5.6, действительно имеет место, если при проведении очередного измерения прибор эволюционирует необратимым образом.

Это так называемая теорема *Данери — Лойнжера — Проспери* [30].

Приложение R. Парадокс Зенона. Теорема о непрерывно наблюдаемом котелке, который никак не закипает. [3]

Теорема:

Пусть A — наблюдаемая квантовой системы, имеющая собственные значения 0 и 1. Предположим, что измерения наблюдаемой A производятся в моменты времени $0 = t_0, t_1, \dots, t_N = T$ на временном интервале $[0, T]$ и редукция применяется после каждого такого измерения. Пусть p_n — вероятность того, что измерение в момент t_n дает результат 0. Тогда, если $N \rightarrow \infty$, причем так, что $\max(p_{n+1} - p_n) \rightarrow 0$, то

$$p_N - p_0 \rightarrow 0 \quad (5.52)$$

(так что, если система находилась в собственном состоянии наблюдаемой A в момент времени $t = 0$, она будет иметь то же значение наблюдаемой A и в момент времени $t = T$).

Доказательство. Пусть P_0 обозначает проекционный оператор на собственное пространство наблюдаемой A , соответствующее собственному значению 0, и пусть $P_1 = 1 - P_0$ обозначает проекционный оператор на собственное пространство с собственным значением 1. Пусть ρ_n — статистический оператор, характеризующий состояние системы непосредственно перед измерением в момент времени t_n . Тогда, статистический оператор после измерения дается выражением

$$\rho_n' = P_0 \rho_n P_0 + P_1 \rho_n P_1 \quad (5.53)$$

так что статистический оператор, характеризующий состояние системы непосредственно перед измерением, производимым в момент времени t_{n+1} , будет равен

$$\rho_{n+1} = e^{-iH\tau_n} \rho_n' e^{iH\tau_n} \quad (5.54)$$

где H — гамильтониан системы, а $\tau_n = t_{n+1} - t_n$. Заметим, что если оператор ρ_n равен сумме k слагаемых вида $|\psi\rangle\langle\psi|$, то оператор ρ_{n+1} будет суммой не более чем $2k$ таких слагаемых; поскольку $\rho_n = |\psi_0\rangle\langle\psi_0|$, отсюда следует, что оператор ρ_n является суммой конечного числа указанных слагаемых. Согласно (5.54), имеем

$$\rho_{n+1} = \rho_n' - i\tau_n[H, \rho_n'] + O(\tau_n^2). \quad (5.55)$$

Так как $P_0^2 = P_0$, $P_0 P_1 = 0$, то

$$P_0 \rho_{n+1} P_0 = P_0 \rho_n P_0 - i\tau_n [P_0 H P_0, P_0 \rho_n P_0] + O(\tau_n^2). \quad (5.56)$$

Следовательно, вероятность того, что измерение в момент времени t_n даст результат 0, равна

$$\begin{aligned} p_{n+1} &= \text{tr}(\rho_{n+1} P_0) = \text{tr}(P_0 \rho_{n+1} P_0) = \\ &= \text{tr}(P_0 \rho_n P_0) - i\tau_n \text{tr}[P_0 H P_0, P_0 \rho_n P_0] + O(\tau_n^2). \end{aligned} \quad (5.57)$$

причем второе равенство справедливо потому, что $P_0^2 = P_0$. Учтем теперь, что оператор $P_0 \rho_n P_0$ равен сумме конечного числа слагаемых вида $|\psi\rangle\langle\psi|$ и для любого оператора X справедливо соотношение

$$\text{tr}(X |\psi\rangle\langle\psi|) = \langle\psi|X|\psi\rangle = \text{tr}(|\psi\rangle\langle\psi| X). \quad (5.58)$$

Следовательно, след коммутатора в (5.57) обращается в нуль, поэтому

$$p_{n+1} = p_n + O(\tau_n^2). \quad (5.59)$$

Обозначим максимальное значение τ_n через τ ($\tau = \max \tau_n$); тогда существует такая постоянная k , что

$$p_{n+1} - p_n \leq k\tau_n^2 \leq k\tau\tau_n \quad (5.60)$$

поэтому

$$p_N - p_0 = \sum_{n=0}^{N-1} (p_{n+1} - p_n) \leq k\tau \sum_{n=0}^{N-1} \tau_n = k\tau T \rightarrow 0$$

при $\tau \rightarrow 0$. ■

Приложение S. Парадокс Эйнштейна — Подольского — Розена. [3]

Можно встать на точку зрения, что обсуждавшиеся в квантовой механике трудности связаны исключительно с тем, что квантово-механический вектор состояния не дает нам всех сведений о состоянии системы: что существуют другие переменные, скрытые от нас в настоящее время, называемые скрытыми переменными, значения которых полностью характеризуют состояние системы и определяют ее будущее поведение более полно, чем это позволяет сделать квантовая механика. Серьезный аргумент в пользу существования таких дополнительных скрытых переменных выдвинули Эйнштейн, Подольский и Розен в 1935 г. Рассмотрим электрон и позитрон, рожденные одновременно в состоянии с полным спином 0. Это спиновое состояние представляет собой антисимметричную комбинацию спиновых состояний двух частиц со спином 1/2, т. е. будет иметь вид

$$|\Psi\rangle = \frac{1}{\sqrt{2}}(|\uparrow\rangle|\downarrow\rangle - |\downarrow\rangle|\uparrow\rangle) \quad (5.62)$$

где $|\uparrow\rangle$ и $|\downarrow\rangle$ — одночастичные собственные состояния компоненты спина s_z с собственными значениями $+1/2$ и $-1/2$ соответственно, причем в двухчастичном спиновом состоянии (5.62) спиновое состояние электрона записано первым множителем.

Так как состояние с нулевым угловым моментом инвариантно относительно вращений, оно должно иметь вид (5.62) независимо от того, какая ось использована для определения базиса одночастичных спиновых состояний. Таким образом, можно также записать

$$|\Psi\rangle = \frac{1}{\sqrt{2}}(|\rightarrow\rangle|\leftarrow\rangle - |\leftarrow\rangle|\rightarrow\rangle) \quad (5.63)$$

где $|\leftarrow\rangle$ и $|\rightarrow\rangle$ — одночастичные собственные состояния компоненты спина s_x .

Предположим теперь, что электрон и позитрон движутся в противоположных направлениях, пока не удалятся друг от друга на большое расстояние, а затем производится измерение z -компоненты спина электрона. Таким образом, измеряется наблюдаемая $s_z(e^-)$ полной системы; после такого измерения состояние системы спроектируется на некоторое собственное состояние данной наблюдаемой: если измерение даст значение $+1/2$, то после акта измерения система перейдет в состояние $|\uparrow\rangle|\downarrow\rangle$. Это означает, что позитрон будет находиться в состоянии $|\downarrow\rangle$ и измерение z -компоненты его спина $s_z(e^+)$ с полной определенностью даст значение $-1/2$. Заметим, что эта информация о позитроне получена посредством эксперимента, произведенного над электроном, находящимся на большом расстоянии от позитрона, без какой-либо возможности физически влиять на него. Эйнштейн, Подольский и Розен заключили поэтому, что обнаруженный в описываемом эксперименте результат в отношении позитрона (а именно что $s_z(e^+) = -1/2$) должен быть реальным объективным фактом, который имел место и до проведения эксперимента с электроном.

Предположим теперь, что в эксперименте над электроном измеряли не z -компоненту, а x -компоненту его спина. Тогда из (5.63) следует, что состояние системы будет спроектировано либо на состояние $|\leftarrow\rangle|\rightarrow\rangle$, либо на состояние $|\rightarrow\rangle|\leftarrow\rangle$, так что позитрон будет иметь теперь определенное значение x -компоненты $s_x(e^+)$. Такое состояние позитрона также должно было существовать до проведения последнего эксперимента. Следовательно, до эксперимента позитрон имел определенные значения $s_z(e^+)$, и $s_x(e^+)$. Но это несовместные наблюдаемые, и они не имеют одновременных собственных состояний: нет такого квантово-механического состояния, в котором они обе могли бы иметь определенные значения. Эйнштейн, Подольский и Розен сделали отсюда заключение, что квантово-механическое описание неполное и имеются «элементы/реальности», которые квантовая механика не учитывает. Прежде чем приступить к описанию попыток превращения квантовой механики в более полную

теорию, как того требует приведенный аргумент, рассмотрим более подробно, как ситуацию Эйнштейна, Подольского, Розена (ЭПР) объясняет ортодоксальная квантовая механика. После эксперимента, проведенного над электроном, вся система действительно перешла в собственное состояние $|\uparrow\rangle|\downarrow\rangle$, если измерялась наблюдаемая $s_z(e^-)$ и было получено ее значение $+1/2$, или в собственное состояние $|\rightarrow\rangle|\leftarrow\rangle$, если измерялась наблюдаемая $s_x(e^-)$ и было получено ее значение $+1/2$. Это означает, что после эксперимента позитрон находится в определенном состоянии, либо $|\downarrow\rangle$, либо $|\leftarrow\rangle$ соответственно, и это состояние отлично от того, в котором позитрон находился до эксперимента. Но это не означает, что состояние позитрона было изменено экспериментом, проведенным над электроном, так как позитрон вообще не имел какого-либо определенного состояния до проведения эксперимента. Если все же настаивать на том, что позитрон должен как-то описываться отдельно, то следует обратиться к его статистическому оператору. Согласно (5.62) и (5.63), этот оператор (до эксперимента) дается выражением

$$\rho_e = \text{tr}_e |\Psi\rangle\langle\Psi| = \frac{1}{2} (|\uparrow\rangle\langle\uparrow| + |\downarrow\rangle\langle\downarrow|) = \quad (5.64)$$

$$= \frac{1}{2} (|\rightarrow\rangle\langle\rightarrow| + |\leftarrow\rangle\langle\leftarrow|) \quad (5.65)$$

т. е. равен единичному оператору, умноженному на $1/2$, в двумерном спиновом пространстве позитрона. Рассмотрим теперь статистический оператор позитрона непосредственно после проведения эксперимента, но до того, как информация о его результате дойдет до позитрона. Если в эксперименте с электроном измерялась компонента s_z , то состояние позитрона было бы либо $|\uparrow\rangle$, либо $|\downarrow\rangle$ с равной вероятностью, и статистический оператор имел бы вид (5.64). Если же в эксперименте с электроном измерялась компонента s_x , то состояние позитрона было бы либо $|\rightarrow\rangle$, либо $|\leftarrow\rangle$ с равной вероятностью, и статистический оператор имел бы вид (5.65), т. е. в точности тот же, что в предыдущем случае и до проведения эксперимента с электроном. Хотя эти три ситуации (до эксперимента, после эксперимента по измерению s_z и после эксперимента по измерению s_x) по-разному описываются с использованием состояний позитрона, но они все соответствуют одному и тому же статистическому оператору, и между ними нет никакого экспериментально наблюдаемого различия. Таким образом, нет никакого экспериментально обнаруживаемого действия на расстоянии между электроном и удаленным позитроном, т. е. эксперимент ЭПР нельзя использовать для передачи информации со скоростью больше скорости света.

Приложение Т. Неравенство Белла.[3]

Покажем теперь, что мгновенное действие на расстоянии неизбежно для всякой теории со скрытыми переменными, которая приводит к тем же следствиям, что и квантовая механика.

Рассмотрим ситуацию, в которой эксперименты проводятся над двумя разделенными в пространстве частицами, и выведем следствия из допущения, что результаты эксперимента, проведенного над одной из частиц, определяются только самим этим экспериментом и не зависят от результатов эксперимента, который может проводиться над другой частицей. В этом состоит предположение о *локальности* теории. Ниже будет показано, что требование локальности накладывает такие ограничения на корреляции между экспериментами, производимыми над разными частицами, которые противоречат предсказаниям квантовой механики.

В принципе между локальностью и детерминизмом связи нет. Свойством локальности может обладать теория, которая делает только вероятностные высказывания в отношении результатов экспериментов. Ее можно развить следующим образом. Предположим, что вероятности определяются некоторым числом переменных, совокупность которых обозначим символом λ (в случае двух разделенных в пространстве частиц эти переменные могут состоять из переменных, описывающих индивидуально обе частицы, и переменных, описывающих общие устройства, оказывающие одновременное действие на обе частицы). Тогда для каждого эксперимента E можно указать вероятность $p_E(\alpha|\lambda)$ получения результата α , когда переменные имеют значения λ . Теория будет *локальной*, если эксперименты E и F , которые разделены в пространстве, независимы в смысле теории вероятностей. Отсюда заключаем, что

$$p_{E\oplus F}(\alpha \oplus \beta | \lambda) = p_E(\alpha | \lambda) p_F(\beta | \lambda). \quad (5.75)$$

Любая локальная теория, которая воспроизводит все предсказания квантовой механики в отношении эксперимента ЭПР для разделенных двух частиц со спином 1/2, будет эквивалентна детерминированной теории. Пусть в эксперименте E измеряется компонента спина электрона в определенном направлении, а в эксперименте F измеряется компонента спина удаленного на большое расстояние позитрона в том же направлении. Обозначим стрелками \uparrow и \downarrow два возможных результата измерений. Тогда, поскольку полный спин равен нулю, нам известно, что эксперименты E и F всегда будут давать противоположные результаты; согласно теории вероятностей,

$$p_{E\oplus F}(\uparrow \oplus \uparrow) = p_{E\oplus F}(\downarrow \oplus \downarrow) = 0 \quad (5.76)$$

Пусть $\rho(\lambda)$ — плотность вероятностей, характеризующая вероятность того, что переменные имеют значения λ ; тогда полная вероятность (5.76) равна

$$\begin{aligned} p_{E\oplus F}(\uparrow \oplus \uparrow) &= \int p_{E\oplus F}(\uparrow \oplus \uparrow) \rho(\lambda) d\lambda = \\ &= \int p_E(\uparrow | \lambda) p_F(\uparrow | \lambda) \rho(\lambda) d\lambda \end{aligned} \quad (5.77)$$

Так как полная вероятность равна нулю, подынтегральное выражение, будучи положительным, должно всюду обращаться в нуль. Следовательно,

$$\text{либо } \rho(\lambda) = 0, \text{ либо } p_E(\uparrow | \lambda) = 0, \text{ либо } p_F(\uparrow | \lambda) = 0. \quad (5.78)$$

Аналогично заключаем, что

$$\text{либо } \rho(\lambda) = 0, \text{ либо } p_E(\downarrow | \lambda) = 0, \text{ либо } p_F(\downarrow | \lambda) = 0. \quad (5.79)$$

Поскольку эксперимент E имеет только два результата \downarrow и \uparrow , имеем эквивалентные утверждения

$$p_E(\uparrow | \lambda) = 0 \Leftrightarrow p_E(\downarrow | \lambda) = 1 \quad (5.80)$$

Из (5.78) — (5.80) следует, что если $\rho(\lambda) \neq 0$, то все четыре вероятности должны быть равны либо 0, либо 1. Следовательно, для всех значений λ , которые возможны в действительности, результаты экспериментов полностью определяются значением λ .

Таким образом, если считать, что на распределение вероятностей скрытых переменных не оказывает влияние то, какой эксперимент производится над частицами, то мы придем к выводу, что должны рассматриваться только детерминированные теории.

Предположим, что каждая из двух удаленных друг от друга частиц может быть подвергнута одному из трех экспериментов A, B, C , каждый из которых может дать только два результата (скажем «да» или «нет»). Тогда в детерминированной локальной теории результат эксперимента A над частицей 1 определяется свойством системы, которое обозначим a_1 : это переменная, которая может принимать значения $+$ и $-$. Имеем также аналогичные переменные b_1, c_1, a_2, b_2, c_2 . Предположим теперь, что эксперимент A всегда дает противоположные значения для двух частиц; тогда $a_1 = -a_2$. Аналогично будем

считать, что эксперименты B и C тоже дают противоположные результаты для обеих частиц, т. е. $b_1 = -b_2$ и $c_1 = -c_2$.

Рассмотрим теперь частицы, которые готовятся с фиксированной вероятностью наборов значений a , b и c .

Пусть $P(a=1, b=1)$ обозначает вероятность того, что частица имеет указанные значения a и b . Тогда

$$P(b=1, c=-1) = P(a=1, b=1, c=-1) + P(a=-1, b=1, c=-1) \leq P(a=1, b=1) + P(a=-1, c=-1). \quad (5.81)$$

Следовательно, когда пары частиц готовятся с противоположными значениями a , b и c , имеем

$$P(b_1=1, c_2=1) \leq P(a_1=1, b_2=-1) + P(a_1=-1, c_2=1). \quad (5.82)$$

Каждое слагаемое в правой части этого неравенства дает вероятность результата эксперимента, проведенного над различными частицами; поэтому неравенство можно проверить даже в том случае, когда эксперименты A , B , C не могут быть проведены одновременно над одной частицей.

Неравенству (5.82) не удовлетворяют вероятности, рассчитанные согласно правилам квантовой механики, в следующем случае. Предположим, что две частицы со спином $1/2$ готовятся в состоянии с полным спином, равным 0 , как рассмотренные в начале этого параграфа электрон и позитрон; тогда мы знаем, что измерение компоненты спина в любом данном направлении даст противоположные результаты для обеих частиц. Пусть A , B , C обозначают эксперименты по измерению компонент спина вдоль трех осей, лежащих в одной плоскости, причем пусть угол между осями A и B равен θ , а угол между осями B и C равен φ . Вычислим вероятность $P(b_1=1, c_2=1)$, входящую в левую часть неравенства (5.82); ее следует интерпретировать как вероятность того, что оба измерения компонент спинов частиц 1 и 2 вдоль осей, угол между которыми равен φ , дадут одни и тот же результат $+1/2$. Возьмем в качестве оси для частицы 1 ось z ; тогда если при измерении компоненты спина частицы 1 вдоль указанной оси получим значение $1/2$, то после измерения частица 1 перейдет в собственное состояние $|\uparrow\rangle$, а частица 2 — в собственное состояние $|\downarrow\rangle$. Собственные состояния измерения, произведенного над частицей 2 , получаются поворотом состояний $|\uparrow\rangle$ и $|\downarrow\rangle$ на угол φ (скажем вокруг оси x); таким образом, собственное состояние, соответствующее собственному значению $+1/2$, имеет вид

$$\begin{aligned} |+\varphi\rangle &= e^{-i\varphi J_x} |\uparrow\rangle = [\cos(\frac{1}{2}\varphi) + 2iJ_x \sin(\frac{1}{2}\varphi)] |\uparrow\rangle = \\ &= \cos(\frac{1}{2}\varphi) |\uparrow\rangle + i \sin(\frac{1}{2}\varphi) |\downarrow\rangle \end{aligned} \quad (5.83)$$

Следовательно, искомая вероятность равна

$$P(b_1=1, c_2=1) = \frac{1}{2} |\langle +\varphi | \downarrow \rangle|^2 = \frac{1}{2} \sin^2(\frac{1}{2}\varphi) \quad (5.84)$$

(так как вероятность результата $+1/2$ для частицы 1 равна $1/2$). Аналогично можно вычислить входящие в (5.82) вероятности

$$P(a_1=1, b_2=-1) = \frac{1}{2} \cos^2(\frac{1}{2}\theta)$$

и

$$P(a_1=-1, c_2=1) = \frac{1}{2} \cos^2[\frac{1}{2}(\theta + \varphi)].$$

Таким образом, неравенство (5.82) сводится к неравенству

$$\sin^2(\frac{1}{2}\varphi) \leq \cos^2(\frac{1}{2}\theta) + \cos^2[\frac{1}{2}(\theta + \varphi)],$$

или к неравенству

$$\cos \theta + \cos \varphi + \cos(\theta + \varphi) \geq -1, \quad (5.85)$$

которые не выполняются при $\theta = \varphi = 3\pi/4$. В результате приходим к следующей теореме.

Теорема 5.8 (Белла). Пусть две удаленные одна от другой частицы могут быть подвержены одному из трех двузначных экспериментов, и один и тот же эксперимент, производимый над обеими частицами, всегда дает противоположные результаты. Если частицы описываются локальной теорией и тип экспериментов, которые мы собираемся произвести над ними, не влияет на вероятности обнаружения тех или иных свойств, то вероятности результатов экспериментов удовлетворяют неравенству (5.82).

Это неравенство не выполняется в квантовой механике для системы двух частиц со спином 1/2, имеющих полный спин, равный 0.

Приложение У. Теория волны-пилота де Бройля — Бома. [3]

Характерные особенности квантовой механики (в частности, интерференционные эффекты) затрудняют построение теории скрытых переменных в описанном выше смысле. Долгое время думали даже, что, доказана теорема (фон Неймана) [29], что никакая теория такого типа не может воспроизвести все следствия квантовой механики. Но это доказательство оказалось ошибочным, как показывает следующий контрпример. Рассмотрим отдельную простую частицу, движущуюся в потенциале $V(\mathbf{r})$. Предположим, что частица описывается в момент времени t не только волновой функцией $\psi(\mathbf{r}, t)$, но также некоторым вектором $\mathbf{q}(t)$, и волновая функция удовлетворяет обычному уравнению Шредингера

$$i\hbar \frac{\partial \Psi}{\partial t} = -\frac{\hbar^2}{2m} \Delta \Psi + U(x, y, z) \Psi. \quad (5.69)$$

а вектор \mathbf{q} удовлетворяет уравнению

$$\frac{d\mathbf{q}}{dt} = \frac{\mathbf{j}(\mathbf{q}, t)}{\rho(\mathbf{q}, t)}$$

где \mathbf{j} и ρ — плотность тока вероятности и плотность самой вероятности:

$$\mathbf{j} = \frac{\hbar}{m} \text{Im}[\bar{\psi} \nabla \psi], \quad \rho = |\psi|^2. \quad (5.71)$$

Предположим теперь, что в момент времени $t = 0$ имеем большое число таких частиц, каждая из которых описывается одной и той же волновой функцией $\psi(\mathbf{r}, 0)$, но своим вектором \mathbf{q} .

Пусть доля частиц, для которых значение этого вектора лежит в объеме dV , содержащем точку \mathbf{q} , равна $\sigma(\mathbf{q}, 0)dV$; пусть эта доля в момент времени t равна $\sigma(\mathbf{q}, t)dV$. Тогда, если считать \mathbf{q} координатой частицы, можно рассматривать весь коллектив частиц как жидкость с плотностью σ и полем скоростей $\mathbf{u} = \mathbf{j}/\rho$ согласно (5.70). Последние величины должны удовлетворять уравнению неразрывности

$$\frac{\partial \sigma}{\partial t} + \nabla \cdot (\sigma \mathbf{u}) = 0 \quad (5.72)$$

т.е.

$$\frac{\partial \sigma}{\partial t} = -\nabla \cdot \left(\frac{\sigma \mathbf{j}}{\rho} \right) \quad (5.73)$$

Уравнение неразрывности имеет единственное решение $\sigma(\mathbf{r}, t)$, если заданы $\sigma(\mathbf{r}, 0)$, $\mathbf{j}(\mathbf{r}, t)$ и $\rho(\mathbf{r}, t)$. Этому уравнению удовлетворяет также решение $\sigma = \rho$, так как при этом уравнение (5.73) превращается в уравнение неразрывности (3.42), которое, как было показано, является следствием уравнения Шредингера (5.69). Следовательно, если распределение значений \mathbf{q} по частицам описывается в момент $t = 0$ функцией ρ , то оно будет характеризоваться этой функцией и во все последующие моменты времени.

Таким образом, мы можем предположить, что каждая частица, волновая функция которой удовлетворяет уравнению Шредингера (5.69), имеет определенную координату q в пространстве и любое наше экспериментальное устройство, создающее частицы с волновой функцией ψ , производит частицы с определенным распределением их координат; доля этих частиц $|\psi(q)|^2 dV$ находится в объеме dV около точки q . Это справедливо, если экспериментальное устройство, создающее частицы с волновой функцией ψ , с вероятностью $|\psi(q)|^2 dV$ производит частицы в объеме dV . Так как величины ψ и q эволюционируют во времени, согласно детерминированным уравнениям (5.69), (5.70), такое распределение сохранится во все моменты времени, если оно имелось в какой-то начальный момент.

Можно также такую теорию обобщить на системы из нескольких частиц, но при этом возникает одна очевидная трудность. Рассмотрим, например, систему двух частиц. Переменными будут q_1 и q_2 , а двухчастичная волновая функция имеет вид $\psi(r_1, r_2)$. В качестве уравнений движения следует рассмотреть двухчастичное уравнение Шредингера и два уравнения

$$\frac{dq_1}{dt} = \frac{j_1}{\rho}, \quad \frac{dq_2}{dt} = \frac{j_2}{\rho},$$

Где

$$j = \frac{\hbar}{m} \text{Im}[\bar{\psi} \nabla_1 \psi], \quad j = \frac{\hbar}{m} \text{Im}[\bar{\psi} \nabla_2 \psi], \quad \rho = |\psi|^2.$$

Здесь j_1 , а следовательно, dq_1/dt может быть функцией q_2 : движение первой частицы зависит от положения второй частицы. Таким образом, имеется мгновенное действие на расстоянии между двумя частицами, и оно должно наблюдаться даже в том случае, когда вообще не будет никакого потенциала $V(r_1, r_2)$ сил взаимодействия между частицами. Это является отражением корреляций между частицами, возникающих в формализме квантовой механики, оперирующем с волновыми функциями. В частности, волновая функция ЭПР демонстрирует такого рода корреляции между отдельными частицами.

Приложение V. Водоворот Эшера, где скрещиваются все уровни. [58]
 Все рисунки из [58].



Figure 28. М. К. Эшер Картинная галерея (литография 1956)

Поразительно красивая и в то же время странно тревожащая иллюстрация "глаза" циклона, порожденного Запутанной Иерархией, дана нам Эшером в его "Картинной галерее (рис. 142). На этой литографии изображена картинная галерея, где стоит молодой человек, глядя на картину корабля в гавани небольшого городка, может быть, мальтийского, судя по архитектуре, с его башенками, куполами и плоскими каменными крышами, на одной из которых сидит на солнце мальчишка; а двумя этажами ниже какая-то женщина — может быть, мать этого мальчишки — глядит из окна квартиры, расположенной прямо над картинной галереей, где стоит молодой человек, глядя на картину корабля в гавани небольшого городка, может быть, мальтийского — Но что это!? Мы вернулись к тому же уровню, с которого начинали, хотя логически этого никак не могло случиться. Давайте нарисуем диаграмму того, что мы видим на этой картине (рис. 143):

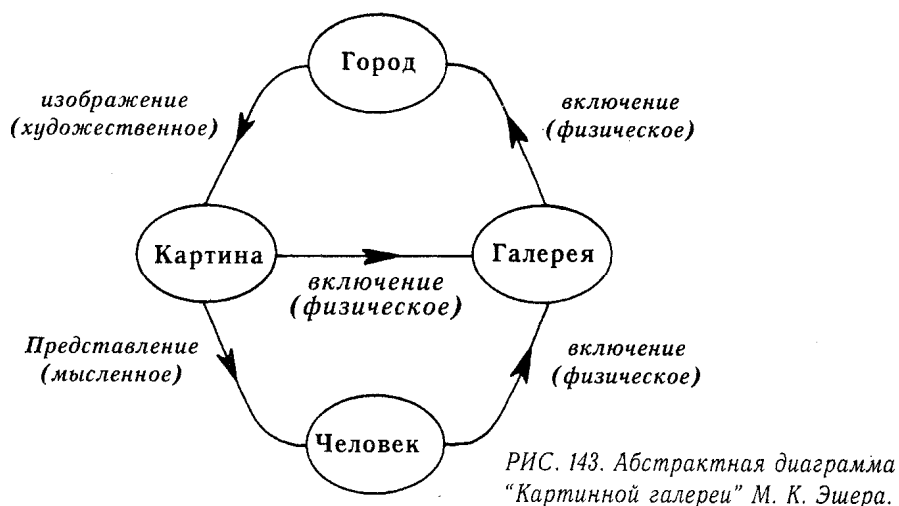


Figure 29. Абстрактная диаграмма «Картинная галерея» М. К. Эшера

На этой диаграмме показаны три вида включения. Галерея физически включена в город ("включение"); город художественно включен в картину ("изображение"); картина мысленно включена в человека ("представление") Хотя эта диаграмма может показаться точной, на самом деле она произвольна, поскольку произвольно количество показанных на ней уровней. Ниже представлен другой вариант верхней половины диаграммы (рис 144):

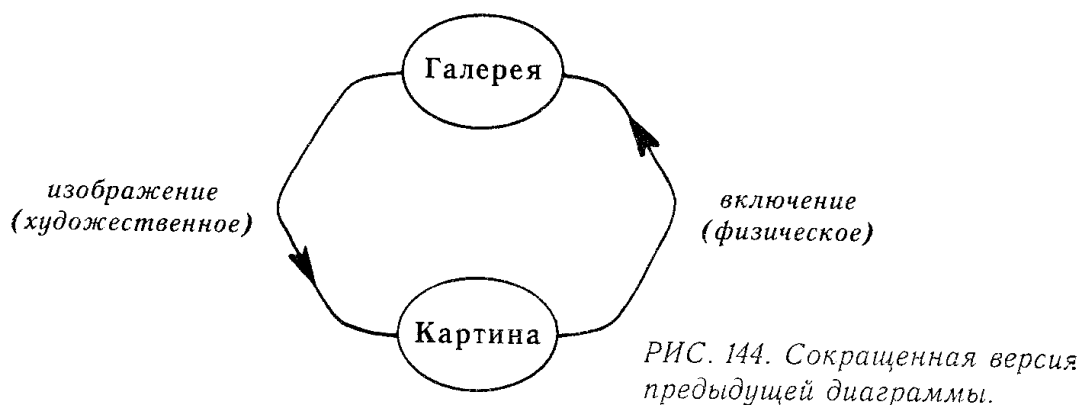


Figure 30. Сокращенная версия предыдущей диаграммы.

Мы убрали уровень города: хотя концептуально он полезен, без него можно вполне обойтись. Рис. 144 выглядит так же, как диаграмма "Рисующих рук": это двухступенчатая Странная Петля. Разделительные знаки произвольны, хотя и кажутся нам естественными. Это видно яснее из еще более упрощенной диаграммы "Картинной галереи":

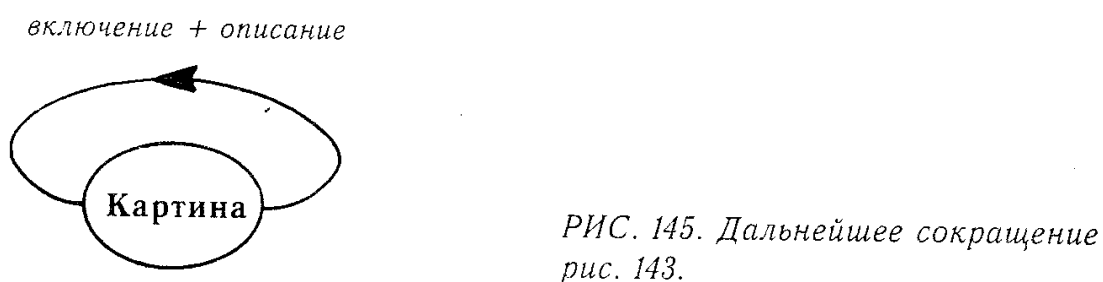


Figure 31. Дальнейшее сокращение рис 29.

Парадокс картины выражен здесь в крайней форме. Но если картина "включена в саму себя", то молодой человек тоже включен сам в себя? На этот вопрос отвечает рис. 146.

включение + описание + представление



РИС. 146. Другой способ сокращения рис. 143.

Figure 32. Другой способ сокращения рис 29.

Здесь мы видим молодого человека внутри самого себя, в том смысле, какой получается от соединения трех аспектов "внутренности".

Оказываются ли зрители, глядящие на "Картинную галерею", затянутыми "в самих себя"? На самом деле, этого не происходит. Нам удастся избежать этого водоворота благодаря тому, что мы находимся вне системы. Глядя на картину, мы видим то, что незаметно молодому человеку, — например, подпись Эшера "МСЕ" в центральном "слепом пятне". Хотя это пятно кажется дефектом, скорее всего, дефект заключается в наших ожиданиях, поскольку Эшер не мог бы закончить этот фрагмент картины без того, чтобы не вступить в противоречие с правилами, по которым он ее создавал. Центр водоворота остается — и должен оставаться — неполным. Эшер мог бы сделать его сколь угодно малым, но избавиться от него совсем он не мог. Таким образом, мы, глядя снаружи, видим, что "Картинная галерея" неполна, чего молодой человек на картине заметить не в состоянии. Здесь Эшер дал художественную метафору Теоремы Гёделя о неполноте. Поэтому Эшер и Гёдель так тесно переплетены в моей книге.

Литература.

1. Климонтович Ю.Л., Статистическая физика
Klimontovich, Statistical Physics, Nauka Publishers, Moscow, 1982 [in Russian].
2. Терлецкий Я.П., Статистическая физика
Terletsky J.P., Statistical physics, Vyshaja shkola Publishers, Moscow, 1973 [in Russian].
3. Садбери А., Квантовая механика и физика элементарных частиц.
Anthony Sudbery. Quantum Mechanics and the Particles of Nature: An Outline for Mathematicians. Cambridge University Press, New York, 1986
4. Гельфер Я.М., Любошиц В.Л., Подгорецкий М.И.,
Парадокс Гиббса и тождественность частиц в квантовой механике.
Gelfer J.M., Ljuboshits V.L., Podgoretskij M.I.,
Gibbs Paradox and identity of particles in quantum mechanics. Nauka Publishers, Moscow, 1975 [in Russian].
5. Х. Оганян, Что такое спин? Сборник Физика за рубежом
88
Ohanian, H.C. Amer. J. Phys., June 1986, v 54, N6, p. 5000
6. Вигнер, Е. Этюды о симметрии
Eugene P. Wigner, Symmetries and Reflection, Cambridge [Mass.]; London, The MIT Press, 1970
7. Пайерлс Р., Сюрпризы в теоретической физике
Rudolf Peierls, Surprises in theoretical physics.
Princeton, N.J.: Princeton University Press, 1979
8. Кальоти Дж., От восприятия к мысли

- Giuseppe Caglioti, *The Dynamics of Ambiguity*, with a preface by Hermann Haken, Springer, Berlin, Heidelberg, New York., 1992
9. Пригожин. И., От существующего к возникающему
Ilya Prigogine, *From being to becoming: time and complexity in the physical sciences*, San Francisco , W.H. Freeman, 1980.
 10. A.J. Leggett, *Quantum mechanics at the macroscopic level*, conferenciers LES HOUCHES session XLVI 30 Juin -1 Aout 1986 Chance and matter
 11. Шредингер ,Что такое жизнь? Физический аспект живой клетки.
Erwin Schrodinger, *What is life? The Physical Aspect of the Living Cell*, Cambridge University Press, New York, 1946
 12. Николис Г., Пригожин И., *Познание сложного*.
Gregoire Nicolis, Ilya Prigogine *Exploring Complexity*, New York, Freeman and Co., 1989
 13. D. Kazhdan, *Mathematics in the 20-th century*
D. Kazhdan, *Mathematics in the 20-th century*, On conference in Tel-Aviv University, 2000
 14. С. Хокинг Р. Пенроуз, *Природа пространства и времени*.
Stephen Hawking and Roger Penrose, *The Nature of Space and Time*, Princeton, NJ, Princeton University, 1996
 15. Блум К., *Теория матрицы плотности и ее приложения*
Karl Blum, *Density Matrix Theory and Applications*, Plenum Press, New York, 1981
 16. Валиев К.А., Кокин А.А., *Квантовые компьютеры: надежды и реальность*
Valiev K.A., Kokin A.A., *Quantum computers: Expectations and Reality*, Izhevsk, RKhD, 2004
 17. Бауэр Э., *Теоретическая биология*
Bauer E., *Theoretical biology*, Portland, Oregon, U.S.A, Intl Specialized Book Service Inc, 1984
 18. Avshalom C. Elitzur, *Let There Be Life*
Thermodynamic Reflections on Biogenesis and Evolution
Journal of Theoretical Biology, **168**, 429-459
 19. Шредингер, *Наука и Гуманизм Физика в наше время*
Erwin Schrodinger, *Science and Humanism Physics in Our Time*
 20. Brian D. Josephson, *Limits to the universality of quantum Mechanics*. Internet paper <http://www.tcm.phy.cam.ac.uk/~bdj10/papers/QMlimits.html>
 21. Станислав Лем, *Сумма Технологии*
Stanislav Lem, *the Total of the Process engineering*, SUMMA TECHNOLOGIAE ,Krakow, 1964,
<http://www.frankpr.net/Lem/Summa/contents.htm>
 22. Станислав Лем, *Маска*
Stanislav Lem, *the Mask, Maska*, Krakow, WL, 1976
part in *Mortal Engines*, Harvest/HBJ Book; Reissue edition ,1992
 23. M. Rahibe, N. Aubry, G.I. Sivashinsky and R. Lima,
Formation of wrinkles in outwardly propagating flames,
Phys. Rev. E 52 (4), 3675 (1995)
 24. Siegel M., Tanveer S. *PRL*, Vol 76, Nu0000m 3 (1996) p. 419- 422
 25. *The micromaser spectrum* ,Marlan O.Scully, H. Walther
Phys. Rev. A 44, 5992–5996 (1991)
 26. Bohr N., *Atomic Physics and Human Knowledge*
(Wiley, New York, 1987), Chapter 3
 27. М. Эйген *Самоорганизация материи и эволюция биологических макромолекул*, ИЗДАТЕЛЬСТВО «МИР» , Москва 1973

- MANFRED EIGEN, SELFORGANIZATION OF MATTER AND THE EVOLUTION OF BIOLOGICAL MACROMOLECULE , Die Naturwissenschaften , 58. Jahrgatig, Oktober 1971, Heft 10, Springer-Verlag, Berlin Heidelberg New York.
- Eigen M., Molecular self-organization and the early stages of evolution, Quarterly Review of Biophysics, 1971, vol. 4, p. 149
28. J. Bricmont , Science of Chaos or Chaos in Science?_ arXiv:chao-dyn/9603009 v1 <http://arxiv.org/abs/chao-dyn/9603009>
 29. Иоганн фон Нейман, Математические основы квантовой механики. J. von Neumann Mathematische Grundlagen der Quantenmechanik (Springer, Berlin, 1932)
 30. Daneri A., Loinger A., Prosperi G. M., Quantum theory of measurement and ergodicity conditions, Nuclear Phys., 1962, v 33, p.297-319
 31. Wheeler J.A., Zurek W.H (ed.), Quantum Theory and Measurement, Princeton, N.J.:Princeton University Press, 1983 .
 32. Э.Дж. Стил, Р.А. Линди, Р.В. Бланден Что, если Ламарк прав? Иммуногенетика и эволюция Edward J. Steele, Robyn A. Lindley and Robert V. Blanden, Lamark's signature. How retrogenes are changing Darwin's natural selection paradigm, Allen & Unwin, Sydney, Perseus Books, Reading, MT, USA, 1998 How retrogenes are changing Darwin's natural selection paradigm
 33. Пригожин И. Конец определенности, R&D, Москва-Ижевск, 2001 Prigogine Ilya The End of Certainty, The Free Press, NY, 1997
 34. Мун Ф. Хаотические колебания, «Мир», Москва, 1990 Francis C. Moon Chaotic Vibrations, A Wiley-Interscience Publication John Wiley & Sons, NY
 35. Заславский Г.М. Стохастичность динамических систем, «Наука», Москва, 1984
 36. Ландау Л.Д. Лифшиц Е.М. Квантовая механика. Том III Москва «Наука», 1989
 37. Lev Vaidman, Many-Worlds Interpretation of Quantum Mechanics, Stanford encyclopedia of philosophy 2002, <http://plato.stanford.edu/entries/qm-manyworlds/>
 38. Lev Vaidman, ON SCHIZOPHRENIC EXPERIENCES OF THE NEUTRON OR WHY WE SHOULD BELIEVE IN THE MANY-WORLDS INTERPRETATION OF QUANTUM THEORY, 1996, <http://arxiv.org/abs/quant-ph/9609006v1>
 39. Wojciech Hubert Zurek, Decoherence, einselection, and the quantum origins of the classical, REVIEWS OF MODERN PHYSICS, VOLUME 75, JULY 2003
 40. Albert, D. Z (1992), Quantum Mechanics and Experience. Cambridge: Harvard University Press.
 41. John Byron Manchak, Self-Measurement and the Uncertainty Relations, Department of Logic and Philosophy of Science, University of California. <http://philo.at/kollektion/index.php/record/view/8261>
 42. Поннер, К. Логика и рост научного знания. — М.: Прогресс, 1983 Karl Popper The Logic of Scientific Discovery, 1934 (as Logik der Forschung, English translation 1959),
 43. Alexei Ourjoumtsev, Hyunseok Jeong, Rosa Tualle-Brouri , Philippe Grangier, Generation of optical 'Schrödinger cats' from photon number states, *Nature* 448, 784-786 (16 August 2007)

44. Roger Penrose, *The Emperor's New Mind*, Oxford University Press, 1989
45. Roger Penrose, *Shadows of the Mind*, Oxford University Press, 1994
46. М.Б. Менский, *Человек и квантовый мир*, «Век2», Фрязино, 2007
47. Белокуров, Тимофеевская, Хрусталева *Квантовая телепортация – обыкновенное чудо*, «Регулярная и хаотическая динамика», Ижевск, 2000
48. Сборник, «Квантовый компьютер и квантовые вычисления», «Регулярная и хаотическая динамика», Ижевск, 2000 Включает классические работы Феймана, Дойча, Шора.
49. Расстригин Л. *Этот случайный, случайный, случайный мир*, Эврика, Москва, Молодая гвардия, 1969
50. Гетлинг, *Конвекция Релея-Бернара*, «Эдиториал УРСС», Москва, 1999
51. Erwin Schrödinger, *Naturwissenschaften*, 48, 807; 49, 823; 50, 844, November 1935
52. Nicolas H. Vöelcker, Kevin M. Guckian, Alan Saghatelian and M. Reza Ghadiri, "Sequence-addressable DNA Logic", *Small*, Volume 4, Issue 4, Pages 427 – 431, Published Online: 18 Mar 2008
- 53 Milgrom, Mordehai. "Does Dark Matter Really Exist?" *Scientific American* Aug. 2002: 42-50, 52
54. А.А. Логунова, М.А. Мествиришвили "Релятивистская теория гравитации" (М., Наука, 1989 г.) и А.А. Логунова "Теория гравитационного поля" (М., Наука, 2000 г.).
55. Карл Густав Юнг, «О синхроничности», сборник «Сознание и Бессознательное», «Университетская книга», Москва- Санкт-Петербург, 1997; *The Portable Jung* Edited by J. Campbell, NY, The Viking Press, 1971; *Jung, The Structure and Dynamics of the Psyche*, Collected Works, Vol. 8, pars. 969-997; (from "Man and Time" (Papers from the Eranos Yearbooks.3, NY and London, 1957) "On Synchronicity" Originally given as a lecture by C.G.Jung, at the 1951 Eranos conference, in Switzerland, and published in Zurich, 1952 <http://poetrylicence.blogspot.com/2009/06/on-synchronicity.html>
56. Вентцель, «Теория вероятностей», «Наука», Москва, 1969
- 57 Роберт Мэттьюз, *25 великих идей*, «Диля», М-СП, 2007 Robert Matthews, *25 Big Ideas*, Oneworld Oxford, England, 2005
58. Даглас Р. Хофштадтер «Гедель, Эшер, Бах», «Барах-М», 2001 Douglas R. Hofstadter *Godel, Escher, Bach: An Eternal Golden Braid*, Bask Books, USA, 1979
59. Avshalom C. Elitzur, Meir Shinitzky "P-Violation Manifested at the Molecular Level – A Simple Means for Absolute Definitions of "Left" vs. "Right", 2005, APS/123-QED

60. Goren Gordon, Avshalom Elitzur “The Ski-Lift Pathway: Thermodynamically Unique, Biologically Ubiquitous”, 2007
61. Avshalom Elitzur , Vaidman L. , Quantum mechanical interaction – free measurement, Found Phys., 29, 987-997
62. Князева Е.Н., Курдюмов С.П., Основания синергетики. Синергетическое мировоззрение. Москва, КомКнига 2005г.
63. Князева Е.Н., Курдюмов С.П., Основания синергетики. Синергетическое мировоззрение. Москва, КомКнига 2005г.
64. Samarskii A.A., Galaktionov V.A., Kurdyumov S.P., and Mikhailov A.P. «Blow-up in Quasilinear Parabolic Equations». Berlin: Walter de Gruyter, 1995.
65. Капица С. П., Курдюмов С. П., Малинецкий Г. Г. Синергетика и прогнозы будущего. М.: Наука, 1997.
66. Hogan J., «Why the Universe is Just So», Rev.Mod.Phys. 72 (2000) ([astro-ph/9909295](#))
67. Малинецкий Г.Г. Математические основы синергетики, Москва, Издательство ЛКИ, 2007
68. J. J. Hopfield, «Neural networks and physical systems with emergent collective computational abilities», Proceedings of National Academy of Sciences, vol. 79 no. 8 pp. 2554–2558, April 1982. PNAS Reprint (Abstract) PNAS Reprint (PDF)
69. L. Maccone, “Quantum Solution to the Arrow-of-Time Dilemma”, Phys. Rev. Lett. 103, 080401 (2009).
<http://arxiv.org/abs/0802.0438>
70. Oleg Kupervasser, Dimitri Laikov “Comment on “Quantum Solution to the Arrow-of-Time Dilemma” ” of L. Maccone (2009)
<http://arxiv.org/abs/0911.2610>
71. Black hole information paradox - Wikipedia, the free encyclopedia
http://en.wikipedia.org/wiki/Black_hole_information_paradox
72. Joaquin P. Noyola, Relativity and Wormholes, Department of Physics, University of Texas at Arlington, Arlington, TX 76019, (2006)
http://www.uta.edu/physics/main/resources/ug_seminars/papers/RelativityandWormholes.doc
73. M. Morris, and K. Thorne, Am. J. Phys. 56 (4), (1988).
74. Hrvoje Nikolic, CAUSAL PARADOXES: A CONFLICT BETWEEN RELATIVITY AND THE ARROW OF TIME, Foundations of Physics Letters, Volume 19, Number 3, June 2006 ,p. 259-267(9)
75. S. V. Krasnikov, The time travel paradox, Phys.Rev. D65 (2002) ,
<http://arxiv.org/abs/gr-qc/0109029>
76. George Musser, "Easy Go, Easy Come." (“How Noise Can Help Quantum Entanglement ”), Scientific American Magazine, November 2009,

<http://www.scientificamerican.com/sciammag/?contents=2009-11>

77. Michael Moyer, "Chlorophyll Power." ("Quantum Entanglement, Photosynthesis and Better Solar Cells"), September 2009,

<http://www.scientificamerican.com/article.cfm?id=quantum-entanglement-and-photo>

78. Jianming Cai, Sandu Popescu and Hans J. Briegel "Dynamic entanglement in oscillating molecules and potential biological implications",

<http://arxiv.org/abs/0809.4906>

85. Licata, I. ; Sakaji, A. Eds. Physics of Emergence and Organization, World Scientific, 2008
paper: Ignazio Licata, Emergence and Computation at the Edge of Classical and Quantum Systems

86. Siegelmann, H.T. Neural Network and Analog Computation: Beyond the Turing Limit, Birkhauser, 1998

87. Calude, C.S., Paun, G. Bio-steps beyond Turing, BioSystems, 2004, v 77, 175-194

88. H.D. Zeh, *The Physical Basis of the Direction of Time* (Springer, Heidelberg, 2007).

89. H. D. Zeh Remarks on the Compatibility of Opposite Arrows of Time *Entropy* 2005, 7(4), 199- 207

90. H. D. Zeh Remarks on the Compatibility of Opposite Arrows of Time II *Entropy* 2006, 8[2], 44-49

91. Schulman, L.S., Phys. Rev. Lett. 83, 5419 (1999).

92. Schulman, L.S., *Entropy* 7[4], 208 (2005)

93. [Oleg Kupervasser](#), [Hrvoje Nikolic](#), [Vinko Zlatić](#), arXiv:1011.4173

<http://arxiv.org/abs/1011.4173>

94. [Oleg Kupervasser](#), arXiv:0911.2610 <http://arxiv.org/abs/0911.2610>

95. Nikodem J. Popławski «Radial motion into an Einstein–Rosen bridge» *Physics Letters B* 687 (2010) 110–113

96. Russian geometrical portal <http://www.neive.by.ru>

97. aYp.ru Portal <http://fizika.ayp.ru/>

98. David M. Harrison, Department of Physics, University of Toronto "Schrodinger's Cat"

<http://www.upscale.utoronto.ca/PVB/Harrison/SchrodCat/SchrodCat.pdf>

99. [Josh Clark](#) "How Quantum Suicide Works" <http://science.howstuffworks.com/science-vs-myth/everyday-myths/quantum-suicide3.htm>

100. [Toy Anxiety's Blog](#) <http://toyanxiety.wordpress.com/2009/10/30/flash-forward-schrodingers-cat/>

101. "What Is Reality?" <http://www.ipod.org.uk/reality/index.asp>

102. "Quantum Teleportation" Kenneth Chang ABCNEWS.com